

การศึกษาวิเคราะห์และออกแบบการผลิตไฟฟ้าจากความร้อนสูญเสียเปล่าของ  
ระบบปรับอากาศด้วยเทอร์โมอิเล็กทริกเพื่อประจุแบตเตอรี่

ANALYSIS AND DESIGN OF POWER GENERATION FROM  
WASTE HEAT OF THE AIR CONDITIONING SYSTEM BY  
THERMO ELECTRIC TO CHARGE THE BATTERY

คณิต พิมพ์คำไหล

วิทยานิพนธ์นี้เป็นส่วนหนึ่งของการศึกษาตามหลักสูตร  
ปริญญาวิศวกรรมศาสตรมหาบัณฑิต สาขาวิชาวิศวกรรมไฟฟ้า  
คณะวิศวกรรมศาสตร์

มหาวิทยาลัยเทคโนโลยีราชมงคลธัญบุรี

พ.ศ. 2557

ลิขสิทธิ์ของมหาวิทยาลัยเทคโนโลยีราชมงคลธัญบุรี

การศึกษาวิเคราะห์และออกแบบการผลิตไฟฟ้าจากความร้อนสูญเสียเปล่าของ  
ระบบปรับอากาศด้วยเทอร์โมอิเล็กทริกเพื่อประจุแบตเตอรี่

คณิต พิมพ์คำไหล

วิทยานิพนธ์นี้เป็นส่วนหนึ่งของการศึกษาตามหลักสูตร  
ปริญญาวิศวกรรมศาสตรมหาบัณฑิต สาขาวิชาวิศวกรรมไฟฟ้า

คณะวิศวกรรมศาสตร์

มหาวิทยาลัยเทคโนโลยีราชมงคลธัญบุรี

ปีการศึกษา 2557

ลิขสิทธิ์ของมหาวิทยาลัยเทคโนโลยีราชมงคลธัญบุรี

หัวข้อวิทยานิพนธ์ การศึกษาวิเคราะห์และออกแบบการผลิตไฟฟ้าจากความร้อนสูญเสีย  
ของระบบปรับอากาศด้วยเทอร์โมอิเล็กทริกเพื่อประจุแบตเตอรี่  
Analysis and design of power generation from waste heat of air  
conditioning system by Thermo Electric for charging battery.

ชื่อ-นามสกุล นายคณิต พิมพ์คำไหล  
สาขาวิชา วิศวกรรมไฟฟ้า  
อาจารย์ที่ปรึกษา ผู้ช่วยศาสตราจารย์บุญยัง ปลั่งกลาง, Dr.-Ing.  
ปีการศึกษา 2557

---

คณะกรรมการสอบวิทยานิพนธ์

..... ประธานกรรมการ  
(รองศาสตราจารย์กฤษณ์ชนม์ ภูมิภิตติพิชญ์, Ph.D.)

..... กรรมการ  
(อาจารย์ฉัตรภัทร พันธุ์คง, Ph.D.)

..... กรรมการ  
(ผู้ช่วยศาสตราจารย์ประมุข อุณหเลขกะ, D.Eng)

..... กรรมการ  
(ผู้ช่วยศาสตราจารย์บุญยัง ปลั่งกลาง, Dr.-Ing.)

คณะวิศวกรรมศาสตร์ มหาวิทยาลัยเทคโนโลยีราชมงคลธัญบุรี อนุมัติวิทยานิพนธ์ฉบับนี้  
เป็นส่วนหนึ่งของการศึกษาตามหลักสูตรปริญญาวิทยาศาสตรบัณฑิต

..... คณบดีคณะวิศวกรรมศาสตร์  
(ผู้ช่วยศาสตราจารย์ศิวกร อ่างทอง, Ph.D.)

วันที่ เดือน พ.ศ.

หัวข้อวิทยานิพนธ์	การศึกษาวิเคราะห์และออกแบบการผลิตไฟฟ้าจากความร้อนสูญเสียเปล่าของระบบปรับอากาศด้วยเทอร์โมอิเล็กทริกเพื่อประจุแบตเตอรี่
ชื่อ – นามสกุล	นายคณิต พิมพ์คำไหล
สาขาวิชา	วิศวกรรมไฟฟ้า
อาจารย์ที่ปรึกษา	ผู้ช่วยศาสตราจารย์บุญยัง ปลั่งกลาง, Dr.-Ing.
ปีการศึกษา	2557

### บทคัดย่อ

วิทยานิพนธ์นี้มีวัตถุประสงค์เพื่อศึกษาวิเคราะห์และออกแบบการผลิตไฟฟ้าจากความร้อนสูญเสียเปล่าของระบบปรับอากาศด้วยเทอร์โมอิเล็กทริกเพื่อประจุแบตเตอรี่ เนื่องจากเครื่องปรับอากาศเป็นเครื่องใช้ไฟฟ้าที่มีการใช้งานกันอย่างแพร่หลาย ทำให้เกิดการใช้พลังงานไฟฟ้าเป็นจำนวนมาก เครื่องปรับอากาศอาศัยหลักการถ่ายเทความร้อนออกจากห้องปิดผ่านสารทำความเย็นและระบายความร้อนออกจากคอนเดนเซอร์ด้วยพัดลม ความร้อนนี้สามารถนำกลับมาผลิตเป็นพลังงานไฟฟ้าได้ด้วยเทอร์โมอิเล็กทริก โดยใช้ผลต่างของอุณหภูมิระหว่างผิวสัมผัสทั้งสองด้าน พลังงานไฟฟ้าที่ได้จะนำไปประจุแบตเตอรี่ขนาดพิกัด 12 โวลต์ ทำให้สามารถลดการใช้พลังงานไฟฟ้าและสามารถนำไปประยุกต์ใช้เป็นพลังงานทดแทนเพื่อใช้ในครัวเรือนได้ต่อไป

งานวิจัยได้นำเสนอการวิเคราะห์คุณสมบัติของเทอร์โมอิเล็กทริกโมดูล TEG – 12750D ด้วยการจำลองระบบด้วยโปรแกรม MATLAB/Simulink พร้อมทั้งสร้างชุดต้นแบบและทำการทดลองเพื่อนำผลที่ได้ไปเปรียบเทียบกับผลที่ได้จากการจำลองระบบ โดยทำการต่อเทอร์โมอิเล็กทริกแบบอนุกรมกันจำนวน 5 โมดูล แล้วนำมาขนานกันจำนวน 2 ชุด แรงดันไฟฟ้าที่ผลิตได้จะถูกนำมาต่อเข้ากับวงจรระดับแรงดันและควบคุมระดับแรงดันเพื่อทำการประจุแบตเตอรี่ขนาดพิกัด 12 โวลต์

จากผลการทดลองการทำงานต้นแบบที่สร้างขึ้นพบว่า อุณหภูมิที่ผิวสัมผัสทั้งสองด้านมีความแตกต่างระหว่างความร้อนสูญเสียเปล่าของเครื่องปรับอากาศและน้ำเย็นที่ได้จากการปรับอากาศมีอุณหภูมิเฉลี่ย 40 องศาเซลเซียส สามารถผลิตกำลังไฟฟ้าประจุแบตเตอรี่พิกัดแรงดัน 12 โวลต์ ด้วยกระแสไฟฟ้า 30 มิลลิแอมแปร์ เมื่อทำการเปรียบเทียบผลการทดลองจริงกับผลการจำลองระบบด้วยโปรแกรม MATLAB/Simulink พบว่ามีค่าใกล้เคียงกัน แสดงให้เห็นว่าพลังงานความร้อนสูญเสียเปล่าที่ได้จากเครื่องปรับอากาศสามารถพัฒนาให้ใช้เป็นพลังงานทดแทนในครัวเรือนได้

**คำสำคัญ:** เทอร์โมอิเล็กทริก วงจรแปลงผันไฟตรง ความร้อนสูญเสียเปล่าจากเครื่องปรับอากาศ

<b>Thesis Title</b>	Analysis and Design of Power Generation from Waste Heat of Air Conditioning System by Thermoelectric for Charging Battery.
<b>Name – Surname</b>	Mr. Kanit Pimkhamlai
<b>Program</b>	Electrical Engineering
<b>Thesis Advisor</b>	Assistant Professor Boonyang Plangklang, Dr.-Ing
<b>Academic Year</b>	2014

### ABSTRACT

This thesis is to study and analyze an application of using thermoelectric technology to produce electrical power from waste heat of air conditioning system. Since the split type air conditioning systems have been used increasingly, the energy consumption is also increase. According to the operation of air conditioning system, it generates waste heat from the condensing unit. The air conditioning system transfers heat from a closed room through the refrigerants and then the system removes heat via condenser unit. This waste heat of air conditioning system can be used to generate electric power from thermoelectric module for charging a 12 V battery and this can be used for renewable energy in households.

The research proposed a design and construction of power generation unit by thermoelectric modules TEG – 12750D. The designed unit was analyzed by the simulation using MATLAB/Simulink program. The prototype was developed and tested in order to investigate the results and compared with the simulation results. The designed thermoelectric unit was connected in from of 5 modules in series for 1 string and 2 strings connected in parallel. The power from the such module was seat into the DC – DC converter inorder to control the 12V battery charging.

From the experimental result, it shows that the prototype has temperature difference between waste heat and cooling water from evaporator at 40 degrees Celsius. This can generate power for charging a 12 V battery by 30 mA. When comparing experimental results with simulation results , both results are similar. This can prove that the waste heat from split type air conditioning system can be used for power generation for renewable energy household.

**Keywords:** thermoelectric, DC-DC converter, waste heat of air conditioning system

## กิตติกรรมประกาศ

วิทยานิพนธ์ฉบับนี้สำเร็จได้ด้วยการให้คำแนะนำด้วยความเมตตากรุณาอย่างสูงจาก ผู้ช่วยศาสตราจารย์.ดร. บุญยัง ปลั่งกลาง อาจารย์ที่ปรึกษาวิทยานิพนธ์ เป็นอย่างยิ่งที่ได้กรุณาให้คำปรึกษา คำแนะนำรวมถึงประสบการณ์ต่างๆที่เป็นแนวทางทำให้วิทยานิพนธ์ฉบับนี้สำเร็จลุล่วงตาม วัตถุประสงค์ที่ตั้งไว้ ขอขอบพระคุณ รองศาสตราจารย์ ดร.กฤษณ์ชนม์ ภูมิภักดีพิชญ์ ประธาน กรรมการสอบวิทยานิพนธ์ ดร.ณัฐภัทร พันธุ์กร กรรมการสอบวิทยานิพนธ์และ ผู้ช่วยศาสตราจารย์. ดร.ประมุข อุณหเลขกะ ผู้ทรงคุณวุฒิ ที่กรุณาให้คำแนะนำในการแก้ไขข้อบกพร่องต่างๆเพื่อให้ วิทยานิพนธ์ฉบับนี้มีความสมบูรณ์ยิ่งขึ้น ซึ่งผู้วิจัยขอกราบขอบพระคุณเป็นอย่างสูงไว้ ณ โอกาสนี้

ขอขอบพระคุณครูสุพจน์ วรวิพรหมมา ครูแผนกวิชาช่างไฟฟ้า วิทยาลัยเทคนิคหลวงพ่อกุณ ปริสุทฺโธ อ.ด่านขุนทด จ.นครราชสีมา ที่กรุณาให้ความรู้เกี่ยวกับโปรแกรม Math Lab ในการวิเคราะห์คุณสมบัติของชุดทดลอง และเอกสาร ข้อมูลต่างๆตลอดจนข้อเสนอแนะทั้งในภาคทฤษฎี และภาคการปฏิบัติอันเป็นประโยชน์ในการทดสอบคุณสมบัติเทอร์โมอิเล็กทริก จนสำเร็จลุล่วงไปได้ ด้วยดี

ขอขอบคุณผู้ทรงคุณวุฒิทั้ง 3 ท่าน ที่ให้ความอนุเคราะห์ประเมินผลรับรองต้นแบบชิ้นงาน วิจัยให้คำแนะนำอันเป็นประโยชน์ในการทำวิจัยและให้ความอนุเคราะห์ตรวจเครื่องมือที่ใช้ในการ วิจัย อีกทั้งยังสละเวลาอันมีค่าให้คำแนะนำอันเป็นผลให้งานวิจัยมีความชัดเจน ครบถ้วนและสามารถ นำมาประยุกต์ใช้งานได้จริง ขอขอบคุณสำนักงานคณะกรรมการการอาชีวศึกษาและวิทยาลัยเทคนิค หลวงพ่อกุณ ปริสุทฺโธ ที่ได้ให้เวลาและมอบทุนสนับสนุนเพื่อพัฒนาบุคลากรตลอดระยะเวลาใน การศึกษา ขอขอบพระคุณคณาจารย์ทุกท่านที่ได้ประสิทธิ์ประสาทวิชา บ่มเพาะจนผู้วิจัยสามารถ นำเอาหลักการมาประยุกต์ใช้และอ้างอิงในงานวิจัยครั้งนี้

สุดท้ายนี้ผู้วิจัยขอขอบพระคุณบุคคลที่เป็นกำลังใจคือ บิดา มารดา ตลอดจนคุณวิศรา พิมพ์คำไหล ที่คอยดูแลบุตร-ธิดาและผู้วิจัยเป็นอย่างดีตลอดเวลา อีกทั้งยังเป็นกำลังใจที่คอยผลักดันให้ การวิจัยครั้งนี้ประสบผลสำเร็จ คุณค่าอันพึงมีจากวิทยานิพนธ์ฉบับนี้ ขอมอบเพื่อบูชาพระคุณบิดา มารดา ครู อาจารย์ และผู้มีพระคุณทุกท่าน

คณิต พิมพ์คำไหล

## สารบัญ

	หน้า
บทคัดย่อภาษาไทย.....	(3)
บทคัดย่อภาษาอังกฤษ.....	(4)
กิตติกรรมประกาศ.....	(5)
สารบัญ.....	(6)
สารบัญตาราง.....	(10)
สารบัญภาพ.....	(12)
บทที่ 1 บทนำ.....	1
1.1 ความเป็นมาและความสำคัญของปัญหา.....	1
1.2 ความมุ่งหมายและวัตถุประสงค์ของการศึกษา.....	2
1.3 สมมุติฐานของการศึกษา.....	2
1.4 ขอบเขตของวิทยานิพนธ์.....	2
1.5 ขั้นตอนของการทำวิทยานิพนธ์.....	3
1.6 ข้อจำกัดของการทำวิทยานิพนธ์.....	3
1.7 ประโยชน์ที่คาดว่าจะได้รับ.....	3
บทที่ 2 ทฤษฎีและงานวิจัยที่เกี่ยวข้อง.....	5
2.1 เทอร์โมอิเล็กทริก.....	6
2.1.1 เทอร์โมอิเล็กทริก.....	6
2.1.2 วัสดุเทอร์โมอิเล็กทริก.....	6
2.1.2.1. กลุ่มโลหะ.....	7
2.1.2.2. กลุ่มสารกึ่งตัวนำและฉนวน.....	7
2.1.3 ปรากฏการณ์เทอร์โมอิเล็กทริก.....	11
2.1.3.1. ปรากฏการณ์ซีเบค (Seebeck effect).....	11
2.1.3.2. ปรากฏการณ์เพลทีเยอร์ (Peltier effect).....	13

## สารบัญ (ต่อ)

	หน้า
2.1.3.3. ปรากฏการณ์ทอมสัน (Thomson effect).....	16
2.1.4 แหล่งความร้อนเหลือทิ้ง.....	16
2.1.4.1 ที่มาของความร้อนเหลือทิ้ง.....	16
2.1.5 ระดับอุณหภูมิของแหล่งความร้อนเหลือทิ้ง.....	17
2.2. หลักการทำงานของเทอร์โมอิเล็กทริก.....	19
2.3. โครงสร้างและคุณสมบัติของเทอร์โมอิเล็กทริก.....	22
2.4. ประเภทของเทอร์โมอิเล็กทริก.....	25
2.4.1. เทอร์โมอิเล็กทริกแบบชั้นเดียว.....	25
2.4.2. เทอร์โมอิเล็กทริกแบบหลายชั้น.....	26
2.5. ทฤษฎีของเครื่องกำเนิดกำลังไฟฟ้าจากความร้อน.....	27
2.6. วงจรทระดับแรงดัน.....	28
2.6.1. เงื่อนไขในการทำงานของวงจรทระดับแรงดัน.....	29
2.6.2. หลักการทำงานของวงจรทระดับแรงดัน.....	29
2.6.3. การคำนวณค่าในวงจรทระดับแรงดัน.....	31
2.7. งานวิจัยที่เกี่ยวข้อง.....	36
บทที่ 3 วิธีการดำเนินงานวิจัย.....	39
3.1. ขั้นตอนการดำเนินงานวิจัย.....	39
3.2. การทดลองคุณสมบัติการต่อร่วมกันของโมดูลเทอร์โมอิเล็กทริก.....	40
3.3. การจำลองการทำงานด้วยโปรแกรม Matlab simulik.....	42
3.4. สร้างชุดต้นแบบการผลิตไฟฟ้าจากความร้อนสูญเสียของระบบปรับอากาศด้วยวิธีการเทอร์โมอิเล็กทริก.....	45

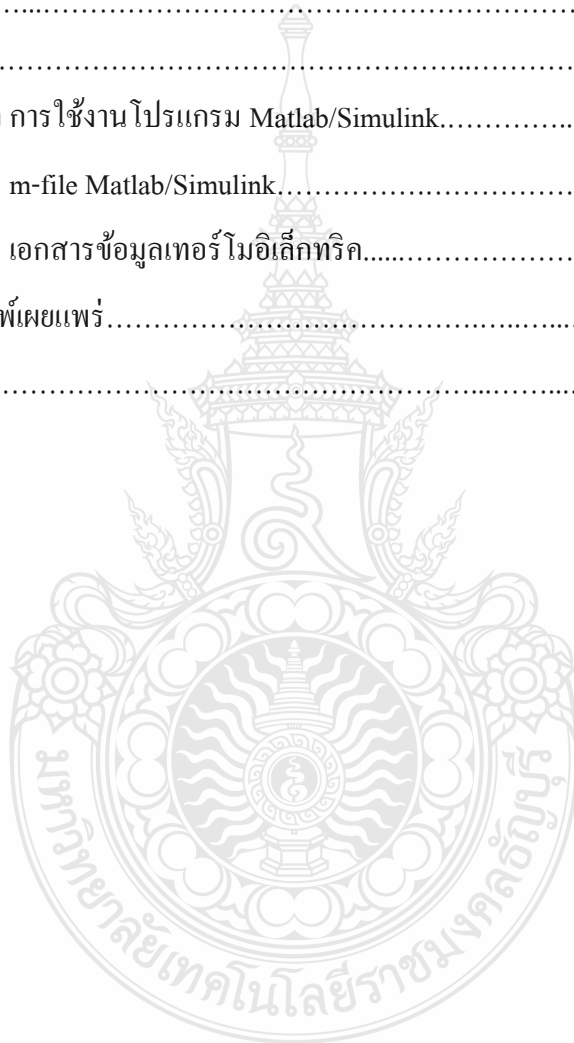


## สารบัญ (ต่อ)

	หน้า
3.4.1 ตรวจสอบวัตถุดิบทางด้านการคอนเดนเซอร์เพื่อหาจุดติดตั้งชุดต้นแบบการผลิตไฟฟ้า.....	48
3.4.2 ดำเนินการติดตั้งชุดผลิตไฟฟ้าด้วยโมดูลเทอร์โมอิเล็กทริกด้านหน้าชุดคอนเดนเซอร์ของเครื่องปรับอากาศ.....	49
3.4.3 ติดตั้งอุปกรณ์ชุดผลิตไฟฟ้าด้วยเทอร์โมอิเล็กทริก.....	50
3.4.4 ทดลองและเก็บข้อมูลผลการทดลองผลิตไฟฟ้าด้วยโมดูลเทอร์โมอิเล็กทริก	52
บทที่ 4 ผลการทดลอง.....	57
4.1 การทดลองต่อร่วมกันของโมดูลเทอร์โมอิเล็กทริก.....	57
4.1.1 คุณสมบัติของแต่ละโมดูล.....	59
4.1.2 การอนุกรมกันของโมดูลเทอร์โมอิเล็กทริก.....	61
4.1.3 การขนานกันของโมดูลเทอร์โมอิเล็กทริก.....	63
4.1.4 การอนุกรมและขนานกันของโมดูลเทอร์โมอิเล็กทริก.....	65
4.2 ผลการทดลองคุณสมบัติโมดูลเทอร์โมอิเล็กทริกเปรียบเทียบผลกับการจำลองการทำงานด้วยโปรแกรม Matlab simulik.....	66
4.2.1 คุณสมบัติของโมดูลเทอร์โมอิเล็กทริก.....	66
4.2.2 การอนุกรมกันของโมดูลเทอร์โมอิเล็กทริก.....	66
4.2.3 การขนานกันของโมดูลเทอร์โมอิเล็กทริก.....	67
4.2.4 การอนุกรมและขนานกันของโมดูลเทอร์โมอิเล็กทริก.....	67
4.3 ผลการทดสอบการจำลองการทำงานด้วยโปรแกรม Matlab simulik.....	68
4.4 การผลิตไฟฟ้าจากความร้อนสูญเสียเปล่าของระบบปรับอากาศแบบแยกส่วนด้วยวิธีการเทอร์โมอิเล็กทริก เพื่อประยุกต์เทอร์โมอิเล็กทริก.....	72
บทที่ 5 สรุปผลการวิจัยและข้อเสนอแนะ.....	79

## สารบัญ (ต่อ)

	หน้า
5.1 สรุปผลการวิจัย.....	79
5.2 ข้อเสนอแนะและแนวทางการพัฒนา.....	80
รายการอ้างอิง.....	82
ภาคผนวก.....	86
ภาคผนวก ก การใช้งาน โปรแกรม Matlab/Simulink.....	87
ภาคผนวก ข m-file Matlab/Simulink.....	100
ภาคผนวก ค เอกสารข้อมูลเทอร์โมอิเล็กทริก.....	105
ผลงานตีพิมพ์เผยแพร่.....	107
ประวัติผู้เขียน.....	148



## สารบัญตาราง

	หน้า
ตารางที่ 2.1 แสดงการเปรียบเทียบสมบัติการผันไฟฟ้าจากความร้อนของโลหะ สารกึ่งตัวนำ และฉนวน ที่ 300 K ที่มา [32].....	9
ตารางที่ 2.2 ระดับอุณหภูมิของแหล่งความร้อนเหลือทิ้งเกรดสูง .....	18
ตารางที่ 2.3 ระดับอุณหภูมิของแหล่งความร้อนเหลือทิ้งเกรดปานกลาง .....	18
ตารางที่ 2.4 ระดับอุณหภูมิของแหล่งความร้อนเหลือทิ้งเกรดต่ำ .....	19
ตารางที่ 2.5 แสดงค่าอัตราขยายแรงดันของวงจรทบระดับแรงดันที่ค่า Duty Cycle ต่างๆ.....	33
ตารางที่ 4.1 คุณสมบัติของโมดูลที่1 (ริมซ้าย) ที่ $T_h=190\text{ }^{\circ}\text{C}$ , $T_c=10\text{ }^{\circ}\text{C}$ .....	59
ตารางที่ 4.2 คุณสมบัติของโมดูลที่2 (ตัวที่ 2 จากซ้าย) ที่ $T_h=190\text{ }^{\circ}\text{C}$ , $T_c=10\text{ }^{\circ}\text{C}$ .....	59
ตารางที่ 4.3 คุณสมบัติของโมดูลที่2 (ตัวที่ 3 จากซ้าย) ที่ $T_h=190\text{ }^{\circ}\text{C}$ , $T_c=10\text{ }^{\circ}\text{C}$ .....	60
ตารางที่ 4.4 คุณสมบัติของโมดูลที่2 (ตัวริมขวา) ที่ $T_h=190\text{ }^{\circ}\text{C}$ , $T_c=10\text{ }^{\circ}\text{C}$ .....	60
ตารางที่ 4.5 ผลการอนุกรมโมดูลที่ 1 และ 2 ( $T_h=190\text{ }^{\circ}\text{C}$ , $T_c=10\text{ }^{\circ}\text{C}$ ).....	61
ตารางที่ 4.6 ผลการอนุกรมโมดูลที่ 1,2 และ 3 ( $T_h=190\text{ }^{\circ}\text{C}$ , $T_c=10\text{ }^{\circ}\text{C}$ ).....	62
ตารางที่ 4.7 ผลการอนุกรมโมดูลที่ 1,2,3 และ 4 ( $T_h=190\text{ }^{\circ}\text{C}$ , $T_c=10\text{ }^{\circ}\text{C}$ ).....	62
ตารางที่ 4.8 ผลการขนานโมดูลที่ 1 และ 2 ( $T_h=190\text{ }^{\circ}\text{C}$ , $T_c=10\text{ }^{\circ}\text{C}$ ).....	63
ตารางที่ 4.9 ผลการขนานโมดูลที่ 1,2 และ 3 ( $T_h=190\text{ }^{\circ}\text{C}$ , $T_c=10\text{ }^{\circ}\text{C}$ ).....	64
ตารางที่ 4.10 ผลการขนานโมดูลที่ 1, 2, 3 และ 4 ( $T_h=190\text{ }^{\circ}\text{C}$ , $T_c=10\text{ }^{\circ}\text{C}$ ).....	64
ตารางที่ 4.11 ผลการอนุกรมและขนานโมดูล ( $T_h=190\text{ }^{\circ}\text{C}$ , $T_c=10\text{ }^{\circ}\text{C}$ ).....	65
ตารางที่ 4.12 คุณสมบัติของโมดูลเทอร์โมอิเล็กทริก ขณะที่ $V_{oc} = 15.2\text{ V}$ , $I_{sc} = 30\text{ A}$ , $r_i = 0.35\text{ }\Omega$ , $T_h=190\text{ }^{\circ}\text{C}$ .....	66
ตารางที่ 4.13 ผลการอนุกรมโมดูลเทอร์โมอิเล็กทริก ขณะที่ $V_{oc} = 15.2\text{ V}$ , $I_{sc} = 30\text{ A}$ , $r_i = 0.35\text{ }\Omega$ , $T_h=190\text{ }^{\circ}\text{C}$ .....	67
ตารางที่ 4.14 ผลการขนานโมดูลเทอร์โมอิเล็กทริก ขณะที่ $V_{oc} = 15.2\text{ V}$ , $I_{sc} = 30\text{ A}$ , $r_i = 0.35\text{ }\Omega$ , $T_h=190\text{ }^{\circ}\text{C}$ .....	67
ตารางที่ 4.15 ผลการอนุกรมและขนานโมดูลเทอร์โมอิเล็กทริก ขณะที่ $V_{oc} = 15.2\text{ V}$ , $I_{sc} = 30\text{ A}$ , $r_i = 0.35\text{ }\Omega$ , $T_h=190\text{ }^{\circ}\text{C}$ .....	68

## สารบัญตาราง (ต่อ)

	หน้า
ตารางที่ 4.16 ผลการทดสอบระบบผลิตไฟฟ้ากับคอนเดนเซอร์.....	73



## สารบัญภาพ

หน้า

ภาพที่ 2.1 แสดงการเปลี่ยนแปลงของสัมประสิทธิ์ของซีเบค ( $\alpha$ ) สภาพนำไฟฟ้า $\sigma$ และ สภาพนำความร้อนแบบแลตทิซ ( $\kappa_L$ ) และแบบอิเล็กโทรอนิก ( $\kappa_e$ ) ที่เป็นฟังก์ชันของ ความเข้มข้นของพาหะประจุอิสระ n .....	9
ภาพที่ 2.2 แสดงความต่างศักย์ซีเบคและการไหลของกระแสไฟฟ้า.....	11
ภาพที่ 2.3 แสดงปรากฏการณ์ซีเบค.....	13
ภาพที่ 2.4 กราฟแสดงความสัมพันธ์ของ power factor และ Seebeck coefficient.....	13
ภาพที่ 2.5 ปรากฏการณ์เพลเทียร์ .....	14
ภาพที่ 2.6 แสดงการไหลเวียนของความร้อน และกระแสไฟฟ้า โลหะชนิด n.....	15
ภาพที่ 2.7 แสดงการไหลเวียนของความร้อน และกระแสไฟฟ้า โลหะชนิด p.....	15
ภาพที่ 2.8 แสดงวงจรเทอร์โมไดนามิกส์ของปรากฏการณ์ทอมสัน .....	16
ภาพที่ 2.9 ความร้อนเหลือทิ้งจากการใช้ พลังงานแหล่งต่าง ๆ.....	17
ภาพที่ 2.10 การทำงานของเทอร์โมอิเล็กทริก.....	20
ภาพที่ 2.11 วงจรการทำงานของเทอร์โมอิเล็กทริก.....	21
ภาพที่ 2.12 โครงสร้างของเซลล์เทอร์โมอิเล็กทริกและวงจรทางไฟฟ้า.....	22
ภาพที่ 2.13 โครงสร้างของอุปกรณ์เทอร์โมอิเล็กทริก.....	22
ภาพที่ 2.14 แผ่นฉนวนที่จัดเรียงเทอร์โมอิเล็กทริค.....	23
ภาพที่ 2.15 ภาพขยายส่วนฐานและเทอร์โมอิเล็กทริค.....	23
ภาพที่ 2.16 เทอร์โมอิเล็กทริกแบบขั้นเดียว (Single stage module) .....	26
ภาพที่ 2.17 เทอร์โมอิเล็กทริกแบบหลายขั้น (Multistage Module) .....	26
ภาพที่ 2.18 วงจรทระดับแรงดัน.....	28
ภาพที่ 2.19 วงจรสมมูลของวงจรทระดับแรงดันขณะสวิตช์นำกระแส.....	29
ภาพที่ 2.20 วงจรสมมูลของวงจรทระดับแรงดันขณะสวิตช์หยุดนำกระแส.....	30
ภาพที่ 2.21 รูปคลื่นแรงดันตกคร่อม และกระแสที่ไหลผ่านตัวเหนี่ยวนำในวงจรทระดับ แรงดัน.....	31
ภาพที่ 2.22 รูปคลื่นแรงดันขาเข้าและแรงดันขาออกของวงจรทระดับแรงดันเมื่อ 0.5.....	32

## สารบัญญภาพ (ต่อ)

	หน้า
ภาพที่ 2.23 กราฟความสัมพันธ์ระหว่างอัตราขยายแรงดันกับค่า Duty Cycle ของวงจรทระดับแรงดัน.....	33
ภาพที่ 2.24 รูปคลื่นกระแสไหลผ่านตัวเก็บประจุและแรงดันขาออกในวงจรทระดับแรงดัน.....	35
ภาพที่ 3.1 วงจรการต่อโมดูลเทอร์โมอิเล็กทริก.....	40
ภาพที่ 3.2 การติดตั้งชุดเทอร์โมอิเล็กทริกโมดูล.....	41
ภาพที่ 3.3 ชุดทดสอบการต่อเทอร์โมอิเล็กทริกโมดูลร่วมกัน.....	41
ภาพที่ 3.4 จำลองการทำงานของเทอร์โมอิเล็กทริกส์โดยใช้โปรแกรม Matlab Simulink.....	43
ภาพที่ 3.5 จำลองการทำงานการต่ออนุกรมกันของเทอร์โมอิเล็กทริกส์โดยใช้โปรแกรม Matlab Simulink.....	44
ภาพที่ 3.6 จำลองการทำงานการต่อขนานกันของเทอร์โมอิเล็กทริกส์โดยใช้โปรแกรม Matlab Simulink.....	44
ภาพที่ 3.7 จำลองการทำงานการต่ออนุกรมและขนานกันของเทอร์โมอิเล็กทริกส์โดยใช้โปรแกรม Matlab Simulink.....	45
ภาพที่ 3.8 ระบบต้นแบบที่น่าเสนอ.....	46
ภาพที่ 3.9 การต่อ โมดูลเทอร์โมอิเล็กทริกเจเนอเรเตอร์.....	46
ภาพที่ 3.10 ชุดอัดประจุไฟฟ้าด้วยเทอร์โมอิเล็กทริกเจเนอเรเตอร์.....	47
ภาพที่ 3.11 (ก)โมดูลเพิ่มแรงดัน DC Boost Converter รุ่น Low Voltage Boost (จ)อินเวอร์เตอร์ DC to AC ขนาด 150 วัตต์ และ(ค) ชุดไฟฟูกเงินแรงดันขนาด 12 โวลท์.....	47
ภาพที่ 3.12 ตรวจสอบอุณหภูมิด้านหน้าชุดคอนเดนเซอร์ของเครื่องปรับอากาศ.....	48
ภาพที่ 3.13 ตรวจสอบอุณหภูมิด้านหลังชุดคอนเดนเซอร์ของเครื่องปรับอากาศ.....	48
ภาพที่ 3.14 ติดตั้งชุดผลิตไฟฟ้าด้วยโมดูลเทอร์โมอิเล็กทริกด้านหน้าชุดคอนเดนเซอร์ของเครื่องปรับอากาศ.....	49
ภาพที่ 3.15 ติดตั้งชุดผลิตไฟฟ้าด้วยโมดูลเทอร์โมอิเล็กทริกด้านหลังชุดคอนเดนเซอร์ของเครื่องปรับอากาศ.....	49

## สารบัญญภาพ (ต่อ)

	หน้า
ภาพที่ 3.16 ติดตั้งอุปกรณ์ชุดผลิตไฟฟ้าด้วยโมดูลเทอร์โมอิเล็กทริก.....	50
ภาพที่ 3.17 ติดตั้งอุปกรณ์ควบคุมชุดผลิตไฟฟ้าด้วยโมดูลเทอร์โมอิเล็กทริก.....	50
ภาพที่ 3.18 เดินสายไฟฟ้าอุปกรณ์ควบคุมชุดผลิตไฟฟ้าด้วยโมดูลเทอร์โมอิเล็กทริก.....	51
ภาพที่ 3.19 ทดสอบการติดตั้งอุปกรณ์ควบคุมชุดผลิตไฟฟ้าด้วยโมดูลเทอร์โมอิเล็กทริก.....	51
ภาพที่ 3.20 ทดสอบการติดตั้งอุปกรณ์ควบคุมชุดผลิตไฟฟ้าด้วยโมดูลเทอร์โมอิเล็กทริกเพื่อ ตรวจสอบหาจุดบกพร่องของชุดผลิตไฟฟ้า.....	52
ภาพที่ 3.21 การทดสอบคุณสมบัติทางไฟฟ้าความร้อนของชุดเทอร์โมอิเล็กทริก.....	53
ภาพที่ 3.22 บันทึกและเก็บข้อมูลการทดสอบคุณสมบัติทางไฟฟ้าความร้อนของชุด เทอร์โมอิเล็กทริก.....	53
ภาพที่ 3.23 บันทึกและเก็บข้อมูลการทดสอบอุณหภูมิชุดคอนเดนเซอร์เครื่องปรับอากาศแบบ แยกส่วนขณะที่เครื่องปรับอากาศทำงาน.....	54
ภาพที่ 3.24 บันทึกและเก็บข้อมูลการทดสอบอุณหภูมิชุดคอนเดนเซอร์เครื่องปรับอากาศแบบ แยกส่วนขณะที่เครื่องปรับอากาศทำงาน.....	54
ภาพที่ 3.25 บันทึกและเก็บข้อมูลการผลิตไฟฟ้าชุดสาธิตขณะที่เครื่องปรับอากาศทำงาน.....	55
ภาพที่ 3.26 แสดงการผลิตไฟฟ้าซาร์จประจุแบตเตอรี่ไฟฟ้าสำรองของชุดสาธิตขณะที่ เครื่องปรับอากาศทำงาน.....	55
ภาพที่ 4.1 ชุดทดสอบการต่อเทอร์โมอิเล็กทริกโมดูลร่วมกัน.....	58
ภาพที่ 4.2 การวัดค่าการต่อโมดูลเทอร์โมอิเล็กทริก.....	58
ภาพที่ 4.3 กราฟคุณสมบัติของโมดูล.....	60
ภาพที่ 4.4 กราฟของค่ากำลังไฟฟ้าเทียบกับโหลดในการเชื่อมต่อโมดูลแบบอนุกรม.....	63
ภาพที่ 4.5 กราฟของค่ากำลังไฟฟ้าเทียบกับโหลดในการเชื่อมต่อโมดูลแบบขนาน.....	64
ภาพที่ 4.6 กราฟของค่ากำลังไฟฟ้าเทียบกับโหลดในการเชื่อมต่อโมดูลแบบอนุกรมและขนาน....	65
ภาพที่ 4.7 กราฟแสดงผลการทดลองที่จำลองการทำงานด้วยโปรแกรม Matlab simulik.....	68
ภาพที่ 4.8 กราฟแสดงผลการทดลองที่จำลองการทำงานการต่ออนุกรมกันของเทอร์โมอิเล็กทริก ด้วยโปรแกรม Matlab simulik.....	69

## สารบัญภาพ (ต่อ)

	หน้า
ภาพที่ 4.9 กราฟแสดงผลการทดลองที่จำลองการทำงานการต่อขนานกันของเทอร์โมอิเล็กทริก ด้วยโปรแกรม Matlab simulik.....	69
ภาพที่ 4.10 กราฟแสดงผลการทดลองที่จำลองการทำงานการต่ออนุกรมและขนานกันของ เทอร์โมอิเล็กทริกด้วยโปรแกรม Matlab simulik .....	70
ภาพที่ 4.11 กราฟแสดงการเปรียบเทียบผลการทดลองที่จำลองการทำงานด้วยโปรแกรม Matlab simulik (ก)และผลที่ได้จากการทดลอง(ข).....	70
ภาพที่ 4.12 กราฟแสดงการเปรียบเทียบผลการทดลองที่จำลองการทำงานการต่ออนุกรมกันของ เทอร์โมอิเล็กทริกด้วยโปรแกรม Matlab simulik (ก)และผลที่ได้จากการทดลอง(ข).....	71
ภาพที่ 4.13 กราฟแสดงการเปรียบเทียบผลการทดลองที่จำลองการทำงานการต่อขนานกันของ เทอร์โมอิเล็กทริกด้วยโปรแกรม Matlab simulik (ก)และผลที่ได้จากการทดลอง(ข).....	71
ภาพที่ 4.14 กราฟแสดงการเปรียบเทียบผลการทดลองที่จำลองการทำงานการต่ออนุกรมและ ขนานกันของเทอร์โมอิเล็กทริกด้วยโปรแกรม Matlab simulik (ก)และผลที่ได้จากการ ทดลอง(ข).....	72
ภาพที่ 4.15 กราฟของค่ากำลังไฟฟ้าเทียบกับโหลดในการเชื่อมต่อ โมดูลแบบอนุกรมและขนานที่ อุณหภูมิของคอนเดนเซอร์เครื่องปรับอากาศ.....	74
ภาพที่ 4.16 กราฟแสดงการเปรียบเทียบผลการทดลองที่จำลองการทำงานการต่ออนุกรมและ ขนานกันของเทอร์โมอิเล็กทริกที่อุณหภูมิของคอนเดนเซอร์เครื่องปรับอากาศด้วย โปรแกรม Matlab simulik (ก)และผลที่ได้จากการทดลอง(ข).....	75
ภาพที่ 4.17 คลื่นสัญญาณแรงดันขาออกของเทอร์โมอิเล็กทริก โมดูลที่ต่ออนุกรมและขนานกัน.....	75
ภาพที่ 4.18 คลื่นสัญญาณแรงดันที่ออกจากชุดยกระดับแรงดันไฟฟ้าก่อนทำการวัด.....	76
ภาพที่ 4.19 คลื่นสัญญาณแรงดันที่ออกจากชุดยกระดับแรงดันไฟฟ้า.....	77



# บทที่ 1

## บทนำ

### 1.1 ความเป็นมาและความสำคัญของปัญหา

ในสภาวะปัจจุบันแหล่งพลังงานต่าง ๆ เป็นสิ่งที่มีความจำเป็นในการดำเนินชีวิตประจำวัน พลังงานไฟฟ้าเป็นพลังงานที่มีความสำคัญต่อการดำเนินชีวิตประจำวันและภาคอุตสาหกรรมเป็นอย่างมาก พลังงานทั้งหมดที่ผลิตได้มาจากเชื้อเพลิงฟอสซิล คือ ก๊าซธรรมชาติ ถ่านหินและน้ำมันดีเซล พลังงานทดแทนที่ผลิตได้ เช่น พลังงานน้ำ พลังงานแสงอาทิตย์ หรือพลังงานจากชีวมวล ยังมีกำลังการผลิตที่น้อยมาก เป็นผลให้การผลิตไฟฟ้ามีราคาต้นทุนที่แพงขึ้นอย่างต่อเนื่องตามความต้องการของตลาดโลก ได้มีการคิดค้นและนำเทคโนโลยีต่างๆ รวมถึงแหล่งพลังงานที่บริสุทธิ์ไม่ทำลายสิ่งแวดล้อม เช่น การนำความร้อนจากแสงอาทิตย์ ความร้อนเหลือทิ้งจากแหล่งความร้อนต่างๆ มาใช้เป็นแหล่งผลิตพลังงาน และได้มีการศึกษาการนำความร้อนเหลือทิ้งมาใช้เป็นแหล่งพลังงานให้กับเทอร์โมอิเล็กทริกในการผลิตกระแสไฟฟ้า เช่น การผลิตไฟฟ้าจากเตาหุงต้ม [1] การใช้ความร้อนเหลือทิ้งจากตะเกียงเป็นแหล่งผลิตพลังงานให้กับเทอร์โมอิเล็กทริก [2]

จากการใช้พลังงานในปัจจุบันทำให้พลังงานเข้าสู่สภาวะขาดแคลน รวมทั้งสภาวะโลกร้อนในปัจจุบันด้วย พลังงานทดแทนจากแหล่งต่างๆ ได้ถูกคิดค้นและนำมาใช้เพื่อทดแทนพลังงานหลัก อย่างไรก็ตามก็ยังมีข้อจำกัดที่นำมาใช้ทดแทนได้จริงเนื่องจากความไม่ต่อเนื่องของพลังงานทดแทนน้อย

จากปัญหานี้จึงจำเป็นที่จะต้องหาแนวทางในการนำพลังงานจากแหล่งอื่นๆ มาช่วยในการประหยัดพลังงานด้วย ระบบปรับอากาศเป็นระบบที่มีอยู่แทบทุกที่ในประเทศไทยและเป็นระบบที่ใช้พลังงานไฟฟ้าเป็นจำนวนมากอีกทั้งยังสร้างความร้อนขึ้นด้วยในตัวระบบเอง จากความต้องการใช้เครื่องปรับอากาศที่เพิ่มขึ้นเราสามารถนำพลังงานเหล่านั้นนำกลับมาผลิตเป็นกระแสไฟฟ้าได้ ด้วยการนำเทคโนโลยีเทอร์โมอิเล็กทริกเข้ามาใช้ในการผลิตกระแสไฟฟ้าซึ่งเป็นการสร้างกระแสไฟฟ้าเพื่อนำไปใช้ประโยชน์และยังเป็นการประหยัดพลังงานอีกทางหนึ่ง ไม่ทำลายสิ่งแวดล้อม มีอายุการใช้งานที่ยาวนาน และมีขนาดเล็กกะทัดรัด โครงการวิจัยนี้จะศึกษาการผลิตกระแสไฟฟ้าด้วยเทอร์โมอิเล็กทริก โดยใช้พลังงานความร้อนเหลือทิ้งจากเครื่องปรับอากาศ ซึ่งสามารถนำมาผลิตเป็นกระแสไฟฟ้าได้มาผลิตไฟฟ้า โดยอาศัยหลักการแปลงพลังงานจากความร้อนเป็นพลังงานไฟฟ้าโดยตรง โดยการสร้างชุดผลิตกระแสไฟฟ้าจากเทอร์โมอิเล็กทริกแล้วทำการทดสอบหาประสิทธิภาพ

ของวงจร ทำให้สามารถลดการใช้พลังงานไฟฟ้า ข้อจำกัดของประสิทธิภาพการผลิตไฟฟ้าไม่ได้อยู่ที่แผ่นโมดูลเทอร์โมอิเล็กทริกเพียงอย่างเดียว แต่จะขึ้นอยู่กับ การดูดซับความร้อนทางด้านที่ป้อนความร้อนและการระบายความร้อนให้กับด้านเย็นด้วย เซลล์ต้นไฟฟ้าจากความร้อน อาจไม่ใช่แนวทางที่ให้ประสิทธิภาพการผลิตพลังงานสูงสุด แต่จัดเป็นแหล่งพลังงานทดแทนที่สะอาด และอาจพัฒนาให้เป็นอุปกรณ์ราคาถูก ที่มีประสิทธิภาพ ให้ปริมาณไฟฟ้าต่อบาทของการลงทุน มีค่าสูงพอที่จะนำมาใช้งานได้จริงในอนาคต

## 1.2 ความมุ่งหมายและวัตถุประสงค์ของการศึกษา

1.2.1 เพื่อศึกษาวิเคราะห์การทำงานของเทอร์โมอิเล็กทริก

1.2.2 เพื่อศึกษาและสร้างแบบจำลองการทำงานชุดทดลองการผลิตไฟฟ้าจากความร้อนสูญเสียเปล่าของระบบปรับอากาศด้วยวิธีการเทอร์โมอิเล็กทริก

1.2.3 เพื่อวิเคราะห์ประเมินผลการทำงานชุดทดลองการผลิตไฟฟ้าจากความร้อนสูญเสียเปล่าของระบบปรับอากาศด้วยวิธีการเทอร์โมอิเล็กทริก

1.2.4 เพื่อพัฒนาการผลิตไฟฟ้าจากเทอร์โมอิเล็กทริกจากความร้อนสูญเสียเปล่าของระบบเครื่องปรับอากาศเปรียบเทียบกับผลการทดลองกับแบบจำลอง

1.2.5 เพื่อศึกษาประสิทธิภาพการผลิตกระแสไฟฟ้าโดยใช้เทอร์โมอิเล็กทริก

## 1.3 สมมติฐานของการศึกษา

1.3.1 การใช้พลังงานความร้อนสูญเสียเปล่าของระบบปรับอากาศผลิตกระแสไฟฟ้าด้วยเทอร์โมอิเล็กทริกที่สร้างขึ้น สามารถผลิตกระแสไฟฟ้าได้

1.3.2 ทดสอบหาประสิทธิภาพของชุดผลิตกระแสไฟฟ้าด้วยเทอร์โมอิเล็กทริกจากพลังความร้อนสูญเสียเปล่าของระบบปรับอากาศด้วยวิธีการเทอร์โมอิเล็กทริก

## 1.4 ขอบเขตของวิทยานิพนธ์

1.4.1 ศึกษาและสร้างชุดต้นแบบการผลิตไฟฟ้าจากความร้อนสูญเสียเปล่าของระบบปรับอากาศด้วยวิธีการเทอร์โมอิเล็กทริก

1.4.2 ชุดต้นแบบการผลิตไฟฟ้าจากความร้อนสูญเสียเปล่าของระบบปรับอากาศด้วยวิธีการเทอร์โมอิเล็กทริก สามารถประจุแบตเตอรี่ไฟฟ้าสำรองขนาด 6 โวลต์ได้

1.4.3 วิเคราะห์หาประสิทธิภาพของชุดผลิตกระแสไฟฟ้าด้วยเทอร์โมอิเล็กทริกจากพลังความร้อนสูญเสียเปล่าของระบบปรับอากาศด้วยวิธีการเทอร์โมอิเล็กทริก

## 1.5 ขั้นตอนการทำวิทยานิพนธ์

1.5.1. ศึกษาทฤษฎีการผลิตกระแสไฟฟ้าด้วยเทอร์โมอิเล็กทริก

1.5.2. ศึกษาและวิเคราะห์ผลกระทบของการผลิตกระแสไฟฟ้าด้วยเทอร์โมอิเล็กทริก

1.5.3. ศึกษาและรวบรวมข้อมูลการสร้างและออกแบบชุดต้นแบบการผลิตไฟฟ้าจากความร้อนสูญเสียเปล่าของระบบปรับอากาศด้วยวิธีการเทอร์โมอิเล็กทริก

1.5.4. ศึกษาและรวบรวมข้อมูลการสร้างและออกแบบระบบการจัดและควบคุมชุดต้นแบบการผลิตไฟฟ้าจากความร้อนสูญเสียเปล่าของระบบปรับอากาศด้วยวิธีการเทอร์โมอิเล็กทริก

1.5.5. ออกแบบระบบในการสร้างและติดตั้งจริง

1.5.6. สร้างและติดตั้งระบบพร้อมทั้งทดสอบ

1.5.7. ทดสอบการจ่ายโหลดจริงและปรับปรุง

1.5.8. จัดทำรายงานการวิจัยและสรุปผล

## 1.6 ข้อจำกัดของวิทยานิพนธ์

1.6.1 วิเคราะห์ประสิทธิภาพการผลิตกระแสไฟฟ้าโดยใช้เทอร์โมอิเล็กทริก

1.6.2. วิเคราะห์ประเมินผลการทำงานชุดทดลองการผลิตไฟฟ้าจากความร้อนสูญเสียเปล่าของระบบปรับอากาศด้วยวิธีการเทอร์โมอิเล็กทริก

1.6.3. การศึกษาใช้โปรแกรมช่วยในการวิเคราะห์เพื่อศึกษาในเรื่องการผลิตไฟฟ้าจากความร้อนสูญเสียเปล่าของระบบปรับอากาศด้วยวิธีการเทอร์โมอิเล็กทริก ในงานวิจัยนี้ใช้โปรแกรม MATLAB ในวิเคราะห์การทำงานของชุดทดลองเทอร์โมอิเล็กทริก

## 1.7 ประโยชน์ที่คาดว่าจะได้รับ

1.7.1. สามารถออกแบบชุดทดสอบการผลิตไฟฟ้าจากความร้อนสูญเสียเปล่าของระบบปรับอากาศด้วยวิธีการเทอร์โมอิเล็กทริกได้

1.7.2. สามารถสร้างชุดต้นแบบการผลิตไฟฟ้าจากความร้อนสูญเสียเปล่าของระบบปรับอากาศด้วยวิธีการเทอร์โมอิเล็กทริกได้

1.7.3. สามารถเข้าใจการทำงานของเทอร์โมอิเล็กทริกได้

1.7.4. ส่งเสริมให้มีการใช้พลังงานจากความร้อนสูญเสียไป เพื่อการประหยัดพลังงานได้

1.7.5. สามารถเข้าใจหลักการกระบวนการผลิตกระแสไฟฟ้าด้วยเทอร์โมอิเล็กทริก

1.7.6. สามารถนำหลักการมาศึกษาและวิเคราะห์ประสิทธิภาพการผลิตกระแสไฟฟ้าด้วยเทอร์โมอิเล็กทริก

1.7.7. สามารถประยุกต์ใช้หลักการผลิตกระแสไฟฟ้าด้วยเทอร์โมอิเล็กทริกให้เหมาะสมกับแหล่งพลังงานประเภทอื่นได้



## บทที่ 2

### ทฤษฎีและงานวิจัยที่เกี่ยวข้อง

เทอร์โมอิเล็กทริกเป็นอุปกรณ์ที่ทำมาจากสารกึ่งตัวนำ สมบัติพิเศษของวัสดุที่สามารถผันความร้อนเป็นไฟฟ้าและสามารถผันไฟฟ้าเป็นความร้อน โดยอาศัยหลักการสั้นสะท้อนของโครงสร้างภายในของแข็งที่เป็นวัสดุเทอร์โมอิเล็กทริก ในเชิงควอนตัมฟิสิกส์ เรียกว่า โฟนอน (Phonon) เมื่อวัสดุเทอร์โมอิเล็กทริกได้รับอุณหภูมิที่แตกต่างกัน ที่อุณหภูมิสูงก็จะถ่ายเทไปยังที่มีอุณหภูมิต่ำกว่า นั่นคือมีอิเล็กตรอน (Electron) และ โฮล (Hole) เคลื่อนที่ ซึ่งจะได้ออกมา ซึ่งสามารถนำมาสร้างเครื่องกำเนิดไฟฟ้าและสร้างเครื่องทำความเย็นได้ การผลิตไฟฟ้าจากเทอร์โมอิเล็กทริกได้รับความนิยมเพิ่มมากขึ้นเนื่องจากเป็นแหล่งพลังงานที่สะอาด ในสภาวะปัจจุบันแหล่งพลังงานต่าง ๆ เป็นสิ่งที่มีความจำเป็นในการดำเนินชีวิตประจำวัน พลังงานไฟฟ้าเป็นพลังงานที่มีความสำคัญต่อการดำเนินชีวิตประจำวันและภาคอุตสาหกรรมเป็นอย่างมาก พลังงานทั้งหมดที่ผลิตได้ส่วนใหญ่มาจากเชื้อเพลิงฟอสซิล คือ ก๊าซธรรมชาติ ถ่านหินและน้ำมันดิบ พลังงานทดแทนที่ผลิตได้ เช่น พลังงานน้ำ พลังงานแสงอาทิตย์ หรือพลังงานจากชีวมวล ยังมีกำลังการผลิตที่น้อยมาก เป็นผลให้การผลิตไฟฟ้ามีราคาต้นทุนที่แพงขึ้นอย่างต่อเนื่องตามความต้องการของตลาดโลก

จากการใช้พลังงานในปัจจุบันทำให้พลังงานเข้าสู่สภาวะขาดแคลน รวมทั้งสภาวะโลกร้อนในปัจจุบันด้วย พลังงานทดแทนจากแหล่งต่างๆ ได้ถูกคิดค้นและนำมาใช้เพื่อทดแทนพลังงานหลัก อย่างไรก็ตามก็ยังไม่สามารถที่จะนำมาใช้ทดแทนได้จริงเนื่องจากความไม่ต่อเนื่องของพลังงานทดแทน ระบบปรับอากาศเป็นระบบที่มีอยู่แทบทุกที่ในประเทศไทยและเป็นระบบที่ใช้พลังงานไฟฟ้าเป็นจำนวนมากอีกทั้งยังสร้างความร้อนขึ้นด้วยในตัวระบบเอง จากความต้องการใช้เครื่องปรับอากาศที่เพิ่มขึ้นเราสามารถนำพลังงานเหล่านั้นนำกลับมาผลิตเป็นกระแสไฟฟ้าได้ ด้วยการนำเทคโนโลยีเทอร์โมอิเล็กทริกเข้ามาใช้ในการผลิตกระแสไฟฟ้าซึ่งเป็นการสร้างกระแสไฟฟ้าเพื่อนำไปใช้ประโยชน์และยังเป็นการประหยัดพลังงานอีกทางหนึ่ง ไม่ทำลายสิ่งแวดล้อม มีอายุการใช้งานที่ยาวนาน และมีขนาดเล็กกะทัดรัด

## 2.1 เทอร์โมอิเล็กทริก

### 2.1.1 เทอร์โมอิเล็กทริก

เทอร์โมอิเล็กทริกคือ สมบัติพิเศษของวัสดุที่สามารถผันความร้อนเป็นไฟฟ้า และสามารถผันไฟฟ้าเป็นความเย็น โดยอาศัยหลักการสั้นสะท้อนของโครงสร้างภายในของแข็งที่เป็นวัสดุเทอร์โมอิเล็กทริก ในเชิงควอนตัมฟิสิกส์ เรียกว่า โฟนอน (Phonon) เมื่อวัสดุเทอร์โมอิเล็กทริกได้รับอุณหภูมิที่แตกต่างกัน ที่อุณหภูมิสูงก็จะถ่ายเทไปยังที่ที่มีอุณหภูมิต่ำกว่า นั่นคือมีอิเล็กตรอน (Electron) และโฮล (Hole) เคลื่อนที่ ซึ่งจะได้อิเล็กตรอนออกมา ซึ่งสามารถนำมาสร้างเครื่องกำเนิดไฟฟ้าและสร้างเครื่องทำความเย็นได้ การทำงานของเทอร์โมอิเล็กทริก โมดูล แบ่งเป็น 2 โหมดดังนี้ โหมดแรก เรียกว่า “โหมดผลิตไฟฟ้า (Generator mode)” โดยให้ความต่างของอุณหภูมิมบนแผ่นเซรามิกด้านบนและล่าง ทำให้เกิดกระแสไฟฟ้าไหลเนื่องจากพาหะอิเล็กตรอนและโฮลในสารกึ่งตัวนำเหล่านั้น ในสารกึ่งตัวนำชนิดเอ็น ซึ่งมีพาหะข้างมากเป็นอิเล็กตรอน (Electron) หรือประจุลบ เมื่อมีความร้อนที่ผิวด้านบนมากกว่าด้านล่าง การไหลของความร้อนจะทำให้เกิดการไหลของพาหะข้างมากเหล่านั้น อิเล็กตรอนจะไหลจากผิวด้านบนไปสู่ด้านล่าง ส่วนในสารกึ่งตัวนำชนิดพี มีพาหะข้างมากเป็นโฮล (Hole) หรือประจุบวก เมื่อมีความร้อนที่ผิวด้านบนมากกว่าด้านล่าง โฮลก็จะไหลจากผิวด้านบนไปด้านล่างเช่นเดียวกัน ดังนั้นทิศทางของกระแสไฟฟ้าในเทอร์โมอิเล็กทริก โมดูลจึงไหลตามกันไปทิศทางเดียวกัน

การทำงานอีกโหมดหนึ่งในทางกลับกัน เมื่อผ่านกระแสไฟฟ้าเข้าไปในเทอร์โมอิเล็กทริก โมดูลจะทำให้เกิดความร้อนและความเย็นเกิดขึ้นที่ผิวด้านบนและด้านล่าง เรียกว่า “โหมดผลิตความเย็นด้วยไฟฟ้า (Refrigerator mode)” เมื่อมีแหล่งจ่ายไฟฟ้าจากภายนอก เช่น แบตเตอรี่ จะทำให้เกิดความแตกต่างของความร้อนและความเย็นที่ผิวแต่ละด้าน เนื่องจากการกระแสไฟฟ้าทำให้เกิดการเคลื่อนที่ของพาหะข้างมากซึ่งเป็นตัวทำให้เกิดการนำความร้อนจากด้านหนึ่งไปอีกด้านหนึ่ง “เทอร์โมอิเล็กทริก โมดูล” ได้ถูกนำมาประยุกต์ใช้แล้วในต่างประเทศที่มีอากาศหนาว เช่น โหมดการผลิตกระแสไฟฟ้า สามารถนำเทอร์โมอิเล็กทริก โมดูลด้านหนึ่งมาประกบเข้ากับแหล่งความร้อนที่สูญเสียต่างๆ เช่น เครื่องจักร เครื่องยนต์ประเภทใช้ทั้งไฟฟ้าและน้ำมัน (Hybrid) ท่อไอเสีย คอมเพรสเซอร์แอร์ เตาความร้อน หรือแม้แต่บนดาวเทียม ที่ผิวอีกด้านหนึ่งของเทอร์โมอิเล็กทริก โมดูลอากาศเย็นกว่า ก็จะเปลี่ยนรูปพลังงานความร้อนที่เหลือทิ้งนี้เป็นพลังงานไฟฟ้าได้ ส่วนโหมดผลิตเย็นด้วยไฟฟ้า

### 2.1.2 วัสดุเทอร์โมอิเล็กทริก

วัสดุเทอร์โมอิเล็กทริกแบ่งวัสดุออกเป็น 2 กลุ่มใหญ่ๆ ได้แก่กลุ่มโลหะกับกลุ่มสารกึ่งตัวนำและฉนวน

### 2.1.2.1. กลุ่มโลหะ

ในโลหะที่มีเพียงสถานะใกล้ระดับพลังงานเฟอร์มี (Fermi level,  $E_F$ ) มีอิทธิพลต่อกระแสแล้ว สัมประสิทธิ์ของซีเบคจะมีค่าต่ำมาก (A.F. Ioff, 1957) ได้แสดงให้เห็นว่า สำหรับโลหะแบบวาเลนซ์ เดียวที่ 300 K ประมาณได้เป็น

$$S \approx \pi^2 \frac{k_B}{e} \frac{k_B}{E_F} \approx 5 \mu\text{VK}^{-1} \quad (2.1)$$

ซึ่งทำให้เราได้ค่า  $Z = \frac{S^2 \sigma}{k} \approx 3 \times 10^{-6} \text{K}^{-1}$  ที่ 300 K จะเห็นได้ว่า  $Z$  มีค่าค่อนข้างต่ำ ดังนั้นโลหะ จึงไม่ใช่วัสดุที่เหมาะสมที่สุดสำหรับนำมาประดิษฐ์เครื่องกำเนิดกำลังไฟฟ้าจากความร้อน

### 2.1.2.2. กลุ่มสารกึ่งตัวนำและฉนวน

สารกึ่งตัวนำและฉนวนสามารถมีค่าประสิทธิภาพของซีเบคสูงกว่าของโลหะ โดยเฉพาะอย่างยิ่งเมื่อระดับเฟอร์มีวางอยู่ลึกลงไปภายในช่องว่างหวงห้าม (Forbidden gap) ทั้งนี้จะเห็นได้ ชัดเจนโดยการทำให้  $E^* (E_F/k_B T = \text{พลังงานเฟอร์มีแบบลดซึ่งวัดจากขอบของแถบการนำสำหรับ อิเล็กตรอนหรือโฮล ในหน่วยของ } k_B T) \text{ มีค่ามากขึ้นในสมการ}$

$$S = \frac{k_B}{q} [Q + E_F] \quad (2.2)$$

โดยที่

$q$  คือ ประจุของอิเล็กตรอน =  $1.66 \times 10^{-19} \text{ C}$

$Q$  คือ พลังงานความร้อนของการส่งผ่าน (J)

$k_B$  คือ Boltzmann's constant =  $1.38 \times 10^{-23} \text{ JK}^{-1}$

$E_F$  คือ พลังงานเฟอร์มี (eV)

ดังนั้น ค่าจำกัดของ  $S$  จะถูกจำกัดโดยค่าของช่องว่างของพลังงาน (energy gap) ในขณะที่ ระดับเฟอร์มีในวัสดุชนิด  $N$  เข้าใกล้กึ่งกลางของช่องว่าง (วัสดุจะกลายเป็นแบบอินทรีนสิกมากขึ้น)

การกระจายต่าง ๆ ต่อ จะถูกทำจากพาหะประจุต่างๆ ในแถบวาเลนซ์ ถ้ามีประจุทั้งของอิเล็กตรอน และ โฮลเกิดขึ้น สัมประสิทธิ์ของซีเบคที่ได้จะเท่ากับผลรวมของการกระจายความสัมพันธ์  $S_N$  และ  $S_p$  นั่นคือ

$$S = \frac{S_N \sigma_N + S_p \sigma_p}{\sigma_N + \sigma_p} \quad (2.3)$$

เมื่อ  $S$  = สัมประสิทธิ์ของซีเบครวม

$S_N$  = สัมประสิทธิ์ของซีเบคสาร n- type

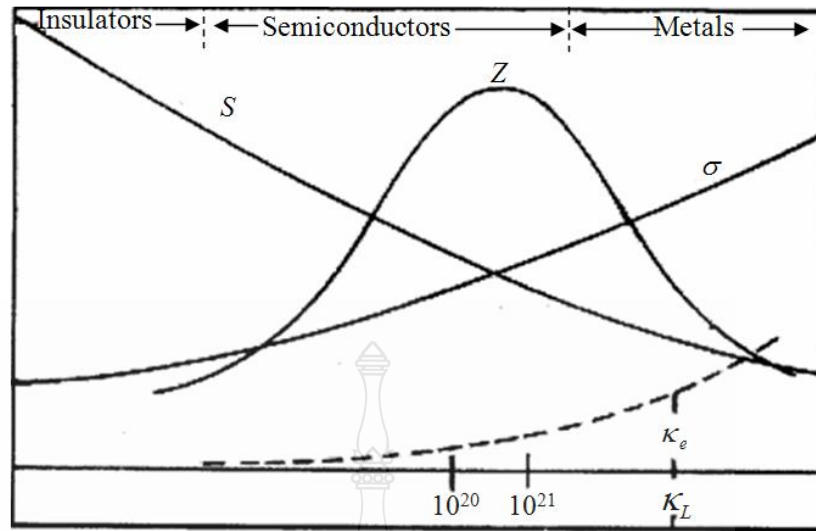
$S_p$  = สัมประสิทธิ์ของซีเบคสาร p- type

$\sigma_N$  = สภาพนำไฟฟ้าของสาร n- type

$\sigma_p$  = สภาพนำไฟฟ้าของสาร p- type

เนื่องจาก  $S_N$  และ  $S_p$  มีเครื่องหมายตรงกันข้าม  $S$  จึงมีค่าต่ำ ขนาดของการลดลงของ  $S$  ขึ้นกับอัตราส่วนของสภาพเคลื่อนที่ได้ (mobility) ของพาหะสัมพันธ์ในแถบทั้งสอง ดังนั้น ค่าสัมประสิทธิ์ของซีเบคที่สูงควรจะพบในวัสดุที่มีช่องว่างของพลังงานกว้างๆ เช่น วัสดุจำพวกฉนวนที่สามารถมีค่า  $E_f$  มากๆ และนำไปสู่การมีค่า  $S$  ในระดับ  $\sim 1$  mV หรือสูงกว่าได้ อย่างไรก็ตามสภาพนำไฟฟ้าสำหรับฉนวนค่อนข้างต่ำ ปกติแล้วอยู่ในระดับ  $10^{-12} \Omega^{-1} \text{cm}^{-1}$  หรืออาจต่ำกว่า ดังนั้น อาจทำให้ได้ค่า  $S^2 \sigma$  ที่ต่ำกว่าค่าที่พบ โดยทั่วไปในสารกึ่งตัวนำผลอันนี้สามารถเห็นได้โดยพิจารณาภาพที่ 2.1 และตารางที่ 2.1 ซึ่งเป็นตารางที่เปรียบเทียบค่า  $Z$  สำหรับโลหะ สารกึ่งตัวนำ และฉนวนที่อุณหภูมิ 300 K





ภาพที่ 2.1 แสดงการเปลี่ยนแปลงของสัมประสิทธิ์ของซีเบค  $S$  สภาพนำไฟฟ้า  $\sigma$  และสภาพนำความร้อนแบบแลตทิซ  $K_L$  และแบบอิเล็กโทรนิค  $K_e$  ที่เป็นฟังก์ชันของความเข้มข้นของพาหะประจุอิสระ  $n$  [31]

ตารางที่ 2.1 แสดงการเปรียบเทียบสมบัติการผันไฟฟ้าจากความร้อนของโลหะ สารกึ่งตัวนำและฉนวน ที่ 300 K [32]

สมบัติ	หน่วย	โลหะ	สารกึ่งตัวนำ	ฉนวน
$S$	$\mu V K^{-1}$	$\approx 5$	$\approx 200$	$\approx 1 \times 10^3$
$\sigma = ne\mu$	$\Omega^{-1} cm^{-1}$	$10^6$	$\approx 10^3$	$\approx 10^{-12}$
$K = K_e + K_L$	-	$\approx \lambda_L$	$\approx \lambda_L$	$\approx \lambda_L$
$\frac{K_e}{\sigma} = \frac{\pi^3}{3} \left( \frac{k_B}{e} \right)^2 T$	$V^2 K^{-1}$	$\approx 7.3 \times 10^{-6}$	$\approx 4.4 \times 10^{-6}$	$\approx 4.4 \times 10^{-6}$
$Z$	$K^{-1}$	$\approx 3 \times 10^{-6}$	$\approx 2 \times 10^{-3}$	$\approx 5 \times 10^{-17}$

จากที่ผ่านมามีพบว่าประสิทธิภาพของวัสดุชั้นไฟฟ้าจากความร้อน สามารถถูกประเมิน ค่าหรือเปรียบเทียบโดยพิจารณาจากค่า Figure of merit,  $Z = \frac{S^2\sigma}{\lambda}$  โดยที่ค่า S,  $\sigma$  และ  $\lambda$  เป็นค่าสมบัติพื้นฐานของวัสดุซึ่งขึ้นแก่กันและเป็นฟังก์ชันของความเข้มข้นของตัวพาหะโดยทั่วไปแล้ว S และ  $\sigma$  เปลี่ยนแปลงในทางกลับกัน ซึ่งทำให้การเพิ่มขึ้นของกำลังตัวแปร (power factor)  $S^2\sigma$  เป็นไปได้ยาก อย่างไรก็ตามทฤษฎีดั้งเดิมหลายทฤษฎีที่เกี่ยวข้องกับสารกึ่งตัวนำประเภทแถบกว้าง (broad band semiconductor) บอกเราได้ว่า สภาพเคลื่อนที่ของพาหะที่มีค่าสูงๆ สามารถทำให้ค่า S และ  $\sigma$  มีค่าสูงได้ (R.P. Chasmar and R.J. Stratton, 1959) จากผลอันนี้ทำให้แอลลอยด์กึ่งตัวนำและสารประกอบกึ่งตัวนำซึ่งมีสภาพเคลื่อนที่ได้ของพาหะสูงถูกนำมาศึกษาอย่างกว้างขวางในฐานะที่เป็นวัสดุชั้นไฟฟ้าจากความร้อน ตัวอย่างของวัสดุเหล่านี้ได้แก่ Bi<sub>2</sub>Te<sub>3</sub>, PbTe และแอลลอยด์ของ Si-Ge เป็นต้น

เมื่อคำนึงถึงการทำงานที่อุณหภูมิสูงในอากาศแล้วพบว่า ออกไซด์โลหะที่อยู่ในสถานะที่มีออกไซด์อยู่แล้วมีความได้เปรียบเนื่องจากวัสดุเหล่านี้มีความเสถียรต่อความร้อนเป็นเลิศ นอกจากนี้แล้วยังมีวัสดุออกไซด์อีกหลายชนิดที่มีการรายงานว่ามีความนำไฟฟ้าสูง มีความเสถียรทางความร้อนสูงและมีความต้านทานต่อการกัดกร่อนได้ดี ดังนั้นวัสดุกึ่งตัวนำออกไซด์โลหะ (metal oxide semiconductor) จึงควรนำมาศึกษาในแง่ของความเป็นไปได้ในการนำมาประยุกต์ใช้เป็นวัสดุชั้นไฟฟ้าจากความร้อนอุณหภูมิสูง (high temperature thermoelectric material) ต่อไป

ในปัจจุบันนี้วัสดุกึ่งตัวนำออกไซด์ เช่น (Zn<sub>1-x</sub>Al<sub>x</sub>)O<sub>2</sub>, BaSrPbO<sub>3</sub>, Na<sub>x</sub>Co<sub>2</sub>O<sub>4</sub>, CaCo<sub>12</sub>O<sub>28</sub>, Ca<sub>3</sub>Co<sub>4</sub>O<sub>9</sub>, (ZnO)<sub>5</sub>In<sub>2</sub>O<sub>3</sub>, Na<sub>x</sub>Ni<sub>x/2</sub>Ti<sub>1-x/2</sub>O<sub>2</sub>, Cd<sub>3</sub>TeO<sub>6</sub>, (Na,Li)NiO และอื่นๆ ได้ถูกศึกษาเพื่อหาความเป็นไปได้ในการนำมาใช้เป็นวัสดุชั้นไฟฟ้าจากความร้อนปัจจุบันมีทางเลือกใหม่อีกทางเลือกหนึ่ง คือกำเนิดไฟฟ้าเทอร์โมอิเล็กทริก (Thermo Electric Generator TEG) เครื่องกำเนิดไฟฟ้าชนิดนี้ใช้งานได้เหมือนกับเครื่องกำเนิดไฟฟ้าแบบเครื่องยนต์กล่าวคือสามารถผลิตไฟฟ้าแบบเดียวกับที่ใช้อยู่ทั่วไปในปัจจุบันสามารถใช้กับอุปกรณ์ไฟฟ้าต่างๆ ในบ้านได้ทุกชนิด เช่น ไฟฟ้าแสงสว่าง เครื่องปรับอากาศ หรือกรณีช่วงที่เกิดความตึงเครียด อุทกภัย หรือภัยพิบัติอื่นๆ ได้เป็นอย่างดี ข้อแตกต่างระหว่างเครื่องกำเนิดชนิดนี้กับเครื่องกำเนิดไฟฟ้าแบบเครื่องยนต์ กล่าวคือเครื่องกำเนิดไฟฟ้าแบบเทอร์โมอิเล็กทริกจะไม่มีเสียงรบกวนเนื่องจากเครื่องยนต์ ไม่มีส่วนที่เคลื่อนไหว ยกเว้น

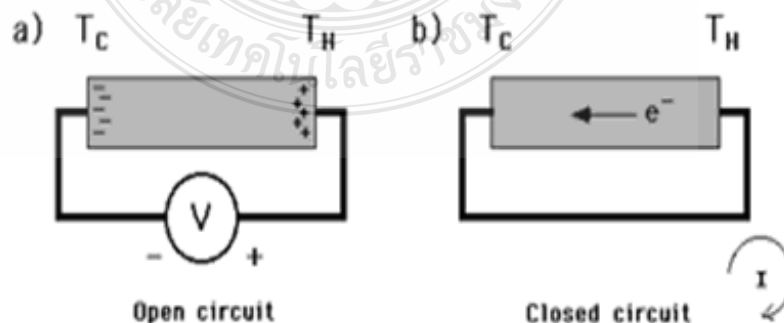
พัฒนากระบวนการทำความร้อนตัวเล็กๆเท่านั้น ทำให้มีการสีกหรือค่า ค่าดูแลบำรุงรักษาต่ำ (เทคโนโลยีนี้ได้เริ่มพัฒนาโดย บริษัท 3M สำหรับโครงการอพอลโลขององค์การนาซ่า) เครื่องกำเนิดไฟฟ้าชนิดนี้จะเปลี่ยนพลังงานความร้อนเป็นพลังงานไฟฟ้าโดยตรง โดยไม่มีชิ้นส่วนที่เคลื่อนไหว ความร้อนที่เกิดจากหัวเผาแก๊ซจะถูกส่งไปยังเทอร์โมอิเล็กทริก โมดูลในทิศทางเดียวกันกับตัวทำความเย็น ซึ่งติดอยู่กับอีกด้านหนึ่งของเทอร์โมอิเล็กทริกโมดูล ตัวทำความเย็นประกอบด้วยแผ่นคริปโลหะดูความร้อนและพัฒนาระบายความร้อนจากคริปโลหะออกสู่อากาศภายนอก

### 2.1.3 ปรากฏการณ์เทอร์โมอิเล็กทริก

อุปกรณ์เทอร์โมอิเล็กทริก เป็นอุปกรณ์ที่มีความสัมพันธ์ระหว่างไฟฟ้าและอุณหภูมิมิหลักการคือการผันความร้อนไปเป็นพลังงานไฟฟ้า หรืออาจผันไฟฟ้าไปเป็นความร้อนและความเย็น ซึ่งเป็นการนำเอาปลายของสารกึ่งตัวนำต่างกันสองชนิดมาเชื่อมต่อกัน เมื่อจุดเชื่อมทั้งสองข้างถูกกระตุ้นด้วยความร้อนและความเย็น จะเกิดกระแสไฟฟ้าขึ้นในระบบ พบว่าหากอุณหภูมิจุดเชื่อมทั้งสองมีค่าแตกต่างกันมากเท่าไร อัตราการผลิตกระแสไฟฟ้าก็จะเพิ่มมากขึ้นตามไปด้วย ปรากฏการณ์พื้นฐานทางการผันไฟฟ้าจากความร้อน มีอยู่ด้วยกันดังปรากฏการณ์ที่กล่าวมาแล้วคือ ปรากฏการณ์ซีเบค (Seebeck effect) ปรากฏการณ์เพลทีเยอร์ (Peltier effect) และ ปรากฏการณ์ทอมสัน (Thomson effect) ทั้งสามปรากฏการณ์นี้มีรากฐานอยู่ที่การผันความร้อนไปเป็นพลังงานไฟฟ้า หรืออาจผันไฟฟ้าไปเป็นความร้อน

#### 2.1.3.1. ปรากฏการณ์ซีเบค (Seebeck effect)

ในปี 1821 โทมัส โจแฮนน์ ซีเบค (Thomas Johann Seebeck) นักฟิสิกส์ชาวเยอรมัน กล่าวว่า “เมื่อให้ความร้อนที่รอยต่อของตัวนำสองชนิดจะเกิดกระแสไฟฟ้าไหลในวงจรปิด ”



ภาพที่ 2.2 แสดงความต่างศักย์ซีเบคและการไหลของกระแสไฟฟ้า [6]

ปรากฏการณ์ซีเบคเป็นปรากฏการณ์ที่มีรากฐานอยู่ที่การผันความร้อนเป็นไฟฟ้าความสำคัญทางกายภาพของมันสามารถเห็นได้โดยการพิจารณาปรากฏการณ์ของการบังคับเกรเดียนต์ของอุณหภูมิสม่ำเสมอให้ไหลไปตามตัวนำจำกัด ซึ่งในตอนเริ่มแรกตัวนำจะควบคุมการกระจายอย่างสม่ำเสมอของตัวพาหะประจุแต่ภายใต้เกรเดียนต์อุณหภูมิหนึ่งพาหะอิสระต่างๆที่ปลายด้านร้อน(Hot end)จะมีพลังงานจลน์มากกว่าที่ปลายด้านเย็น (Cold end) และมีแนวโน้มที่จะแพร่ไปปลายด้านเย็น การเกิดขึ้นของประจุทำให้เกิดแรงเคลื่อนไฟฟ้ากลับ (Back electromotive force หรือ back e.m.f) ซึ่งตรงกันข้ามกับการไหลของประจุ ความต่างศักย์วงจรเปิดเมื่อไม่มีกระแสไหลที่เกิดขึ้น เรียกว่า ความต่างศักย์ซีเบค (Seebeck voltage) สำหรับสมการของ Seebeck effect ถ้าเขียนในรูปของความต่างศักย์และค่าความแตกต่างระหว่างอุณหภูมิ จะได้ว่า

$$\Delta V = \alpha \Delta T \quad (2.4)$$

ซึ่งสมการ (2.4) สามารถที่จะเขียนให้อยู่ในรูปของสนามไฟฟ้าและ gradient ของอุณหภูมิได้ว่า

$$E^r = \alpha \nabla T \quad (2.5)$$

$V$  = ความต่างศักย์ไฟฟ้า, V

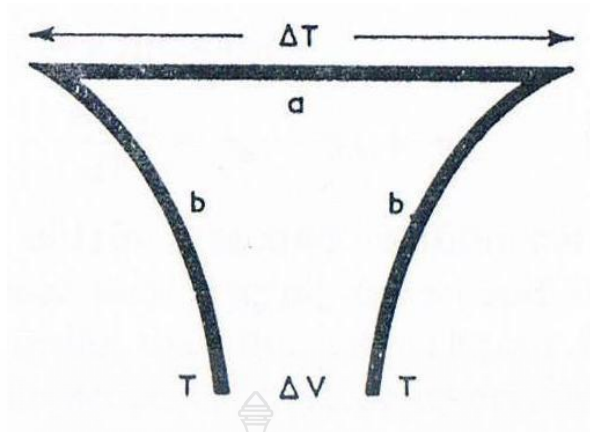
$E^r$  = เวกเตอร์สนามไฟฟ้า, V/m

$\alpha$  = สัมประสิทธิ์ซีเบค, V/K

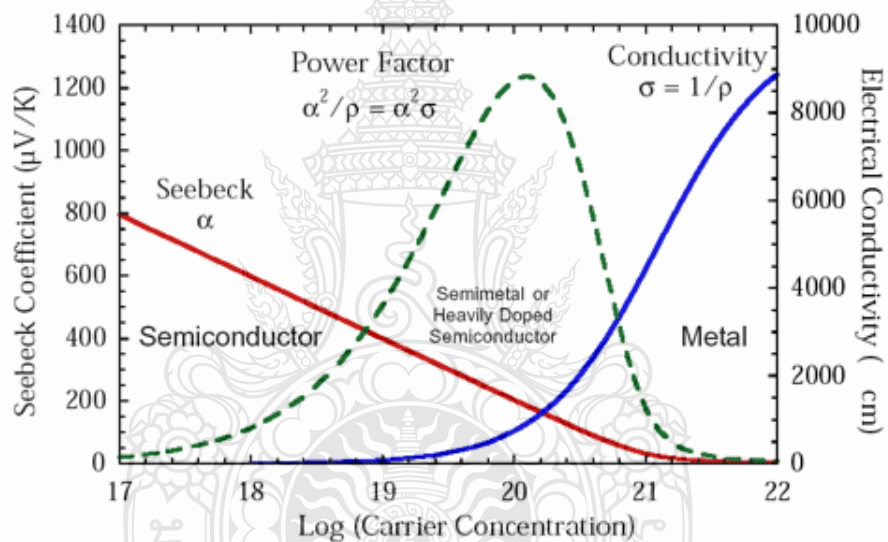
$T$  = อุณหภูมิ, K

วัสดุที่มีค่าสัมประสิทธิ์ซีเบค (Seebeck coefficient) ไม่เท่ากับศูนย์จะเป็นวัสดุ thermoelectric และจะมีค่าสัมประสิทธิ์ซีเบคเป็นได้ทั้งบวกและลบ ขึ้นอยู่กับคุณสมบัติของวัสดุนั้นๆ เช่น ในกรณีของสารกึ่งตัวนำ N-type จะมี seebeck coefficient เป็นลบ แต่ P-type จะมี seebeck coefficient เป็นบวก เป็นต้นสำหรับความแตกต่างกันของอุณหภูมิน้อยๆ ความสัมพันธ์ข้างต้นจะเป็นแบบเชิงเส้น และนิยามสัมประสิทธิ์ซีเบคคือ  $\alpha_{ab}$  สำหรับรอยต่อ นั้น ดังนั้น สัมประสิทธิ์ของซีเบคของรอยต่อระหว่างสองวัสดุ  $a$  และ  $b$  เท่ากับความแตกต่างระหว่างสัมประสิทธิ์สมบูรณ์ของสองวัสดุนั้น

$$\alpha_{ab} = \alpha_a - \alpha_b \quad (2.6)$$



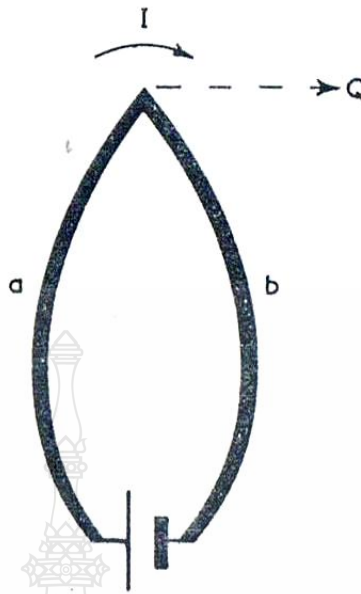
ภาพที่ 2.3 แสดงปรากฏการณ์ซีเบค [6]



ภาพที่ 2.4 กราฟแสดงความสัมพันธ์ของ power factor และ Seebeck coefficient [6]

2.1.3.2. ปรากฏการณ์เพลทีเยอร์ (Peltier effect)

ในปี 1834 ยีน เพลทีเยอร์ ชาร์เลส อะธานาส (Jean Charles Athanase Peltier) นักฟิสิกส์ชาวฝรั่งเศส กล่าวว่า “ เมื่อมีกระแสไฟฟ้าไหลจะมีความร้อนเกิดขึ้นที่รอยต่อของตัวนำ ความร้อนจะเพิ่มขึ้นหรือลดลงขึ้นอยู่กับทิศทางไหลของกระแสไฟฟ้า ”



ภาพที่ 2.5 ปราณุกการณ์เพลทีเยอร์ [6]

ปรานุกการณ์เพลทีเยอร์เป็นปรานุกการณ์หนึ่งซึ่งคู่กันกับปรานุกการณ์ซีเบค และถูกนำมาใช้ประโยชน์ในการทำระบบหล่อเย็นจากการผันความร้อนจากไฟฟ้า (Thermoelectric refrigeration) ในที่นี้ อัตราของการดูดซับความร้อนแบบกลับได้ (Rate of reversible heat absorption ,  $Q$ ) ซึ่งส่งมาพร้อมกับการผ่านกระแสไฟฟ้า ( $I$ ) ผ่านรอยต่อ คือ

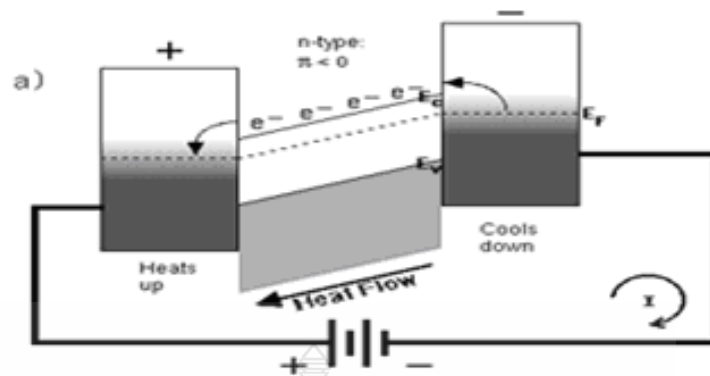
$$Q = \pi_{ab} I \quad (2.7)$$

โดยที่  $\pi$  คือ สัมประสิทธิ์ของเพลทีเยอร์ของรอยต่อ หาได้จาก

$$\pi = \alpha T \quad (2.8)$$

$\pi < 0$  ; ค่าสัมประสิทธิ์ เพลทีเยอร์เป็นลบ

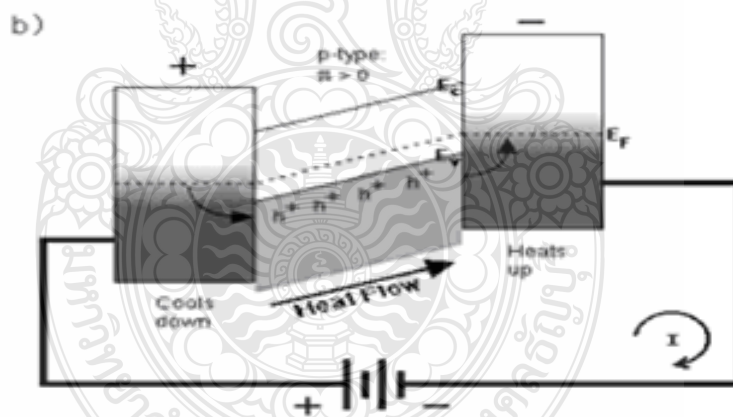
อิเล็กทรอนิกส์ของอะตอมพลังงานสูงเคลื่อนย้ายจากขั้วบวกมาขั้วลบ การไหลเวียนของความร้อน และกระแสไฟฟ้ามักมีทิศทางตรงกันข้าม ดังแสดงในภาพที่ 2.6



ภาพที่ 2.6 แสดงการไหลเวียนของความร้อน และกระแสไฟฟ้า โลหะชนิด N [6]

$\pi > 0$  ; ค่าสัมประสิทธิ์ เพลทีเยร์เป็นบวก

หลุมพลังงานสูงเคลื่อนย้ายจากซ้ายมาขวาการไหลเวียนของความร้อน และกระแสไฟฟ้ามีทิศทางเดียวกัน ดังแสดงในภาพที่ 2.7

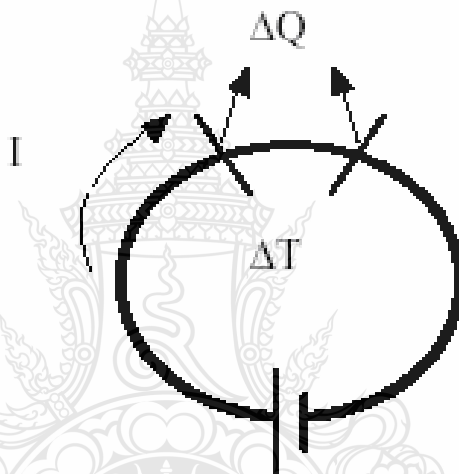


ภาพที่ 2.7 แสดงการไหลเวียนของความร้อน และกระแสไฟฟ้า โลหะชนิด P [6]

### 2.1.3.3. ปราบกฎการทอมสัน (Thomson effect)

ในปี 1954 วิลเลียม ทอมสัน (William Thomson) หรือ หลอด เคลวิน (Lord Kelvin) นักฟิสิกส์ชาวสก็อตกล่าวว่า “ เมื่อมีกระแสไฟฟ้าผ่านตัวนำไฟฟ้าสองจุดที่มีอุณหภูมิแตกต่างกัน ทิศทางความร้อนขึ้นอยู่กับการไหลของกระแสไฟฟ้าจากจุดเย็นไปจุดร้อนหรือจากจุดร้อนไปจุดเย็น ”

ปรากฏการณ์ทอมสัน เป็นปรากฏการณ์ที่เกี่ยวข้องกับอัตราการแพร่ของความร้อนแบบกลับได้  $\Delta'Q$  ซึ่งเกิดขึ้นมาเนื่องจากการผ่านของกระแสไฟฟ้าตามตัวนำเดี่ยวอันหนึ่งเมื่อมีเกรเดียนต์  $\Delta T$  อุณหภูมิดังแสดงในภาพที่ 2.8



ภาพที่ 2.8 แสดงวงจรเทอร์โมไดนามิกส์ของปรากฏการณ์ทอมสัน [30]

ความสัมพันธ์ระหว่าง  $\alpha$  และ  $\tau$  เป็น

$$\tau = T \frac{d\alpha}{dT} \quad (2.9)$$

$\tau$  คือ thomson coefficient (VK-1)

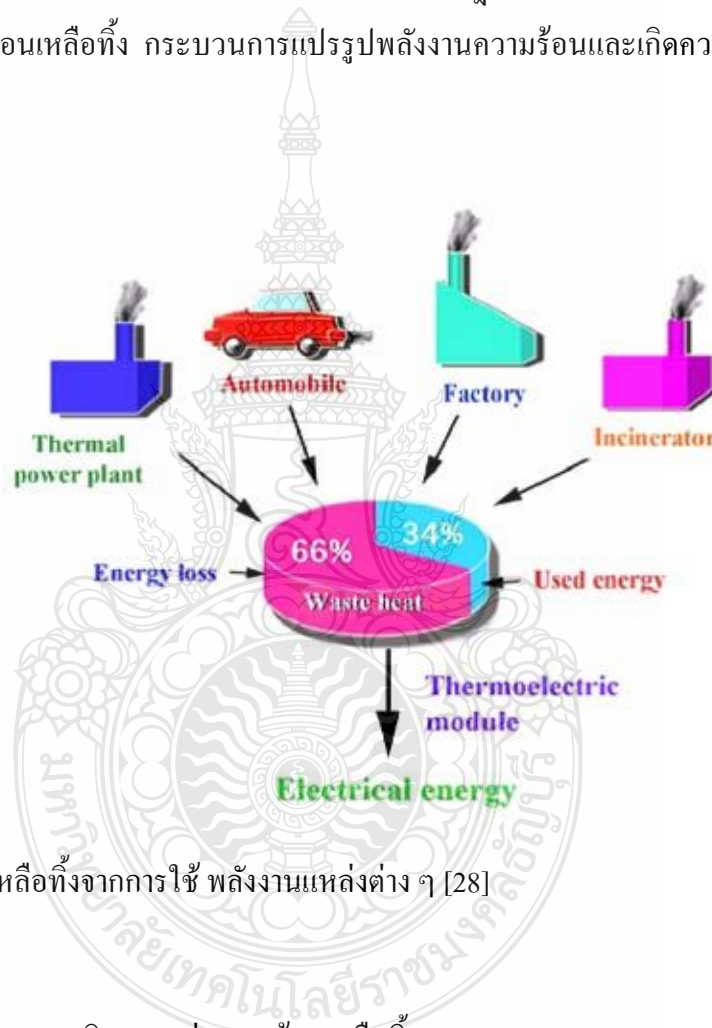
### 2.1.4 แหล่งความร้อนเหลือทิ้ง

#### 2.1.4.1 ที่มาของความร้อนเหลือทิ้ง

การเปลี่ยนรูปพลังงานจากการเผาไหม้เชื้อเพลิงต่าง ๆ ได้แก่เชื้อเพลิงฟอสซิล เชื้อเพลิงชีวมวลหรือปฏิกิริยานิวเคลียร์ เป็นต้น ไปเป็นพลังงานความร้อนเพื่อใช้ประโยชน์ในชีวิตประจำวัน



และงานด้านอุตสาหกรรมต่าง ๆ เช่นการใช้ความร้อนสำหรับจักรกลไอน้ำเพื่อผลิตกระแสไฟฟ้า การใช้ความร้อนเพื่อแปรรูปโลหะ การสันดาปเครื่องยนต์ การเผาขยะในระบบปิด และการทำความเย็นแบบ absorption เป็นต้น พบว่าประสิทธิภาพของการนำความร้อนจากแหล่งพลังงานดังกล่าวไปใช้ประโยชน์นั้นทำได้เพียง 30%-40% เท่านั้น ความร้อนส่วนเกินต้องทิ้งไปกับระบบระบายความร้อนในระบบแลกเปลี่ยนความร้อนของเครื่องระบายความร้อนซึ่งต้องสูญเสียพลังงานไป 60%-70% เนื่องจากข้อจำกัดของประสิทธิภาพคาร์โนต์ในการแปรผันพลังงานตามวัฏจักรคาร์โนต์เรียกความร้อนที่ไม่ก่อประโยชน์นี้ว่า ความร้อนเหลือทิ้ง กระบวนการแปรรูปพลังงานความร้อนและเกิดความร้อนเหลือทิ้งแสดงในรูปที่ 2.9



ภาพที่ 2.9 ความร้อนเหลือทิ้งจากการใช้ พลังงานแหล่งต่าง ๆ [28]

### 2.1.5 ระดับอุณหภูมิของแหล่งความร้อนเหลือทิ้ง

ความร้อนเหลือทิ้งจากแหล่งกำเนิดความร้อนขนาดใหญ่ในโรงงานอุตสาหกรรมโลหะและโรงเผาขยะ นับเป็นแหล่งความร้อนเกรดสูง (high grade source) มีอุณหภูมิมากกว่า 650 °C ส่วนโรงงานผลิตพลังงานไฟฟ้า และความร้อนจากปล่องไอเสียเครื่องยนต์ จะมี อุณหภูมิปานกลาง ประมาณ 120 °C – 650 °C ขณะที่ ความร้อนจากการหุงต้มหรือกระบวนการทางอุตสาหกรรมที่ใช้ไอน้ำแรงดันต่ำจะเป็นความร้อนเกรดต่ำ (low grade source) มีอุณหภูมิสูงในช่วง 60 °C – 120 °C

โดยประมาณ ดังแสดงข้อมูลเปรียบเทียบระดับอุณหภูมิ ของแหล่งความร้อนเหลือทิ้งประเภทต่าง ๆ ในตารางที่ 2.2, 2.3 และ 2.4 ซึ่งความร้อนจากแหล่งความร้อนเหลือทิ้งดังกล่าวสามารถนำกลับมาคืนใช้ได้ แทนที่จะทิ้งไปกับระบบระบายความร้อนสู่บรรยากาศโดยเปล่าประโยชน์ อีกประการหนึ่ง ลักษณะของความร้อนเป็นแหล่งพลังงานที่ให้ความร้อนต่อเนื่องและมีอุณหภูมิ ที่ไม่เปลี่ยนแปลงมาก จึงสามารถนำมาใช้กับระบบผลิตไฟฟ้าด้วยเซลล์ความร้อนเพื่อคืนกลับพลังงานเหลือทิ้งมาเป็นพลังงานไฟฟ้า อันจะช่วยให้เกิดการใช้พลังงานไฟฟ้าเสริมตามหลักการอนุรักษ์พลังงาน

ตารางที่ 2.2 ระดับอุณหภูมิของแหล่งความร้อนเหลือทิ้งเกรดสูง [33]

Type of device	Temperature, °C	Temperature, °F
Nickel refining furnace	1371 – 1649	2500 – 3000
Aluminum refining furnace	649 – 760	1200 – 1400
Zinc refining furnace	760 – 1093	1400 – 2000
Copper refining furnace	760 – 816	1400 – 1500
Steel heating furnace	927 – 1038	1700 – 1900
Glass melting furnace	982 – 1538	1800 – 2800
Solid waste incinerators	649 – 982	1200 – 1800

ตารางที่ 2.3 ระดับอุณหภูมิของแหล่งความร้อนเหลือทิ้งเกรดปานกลาง [33]

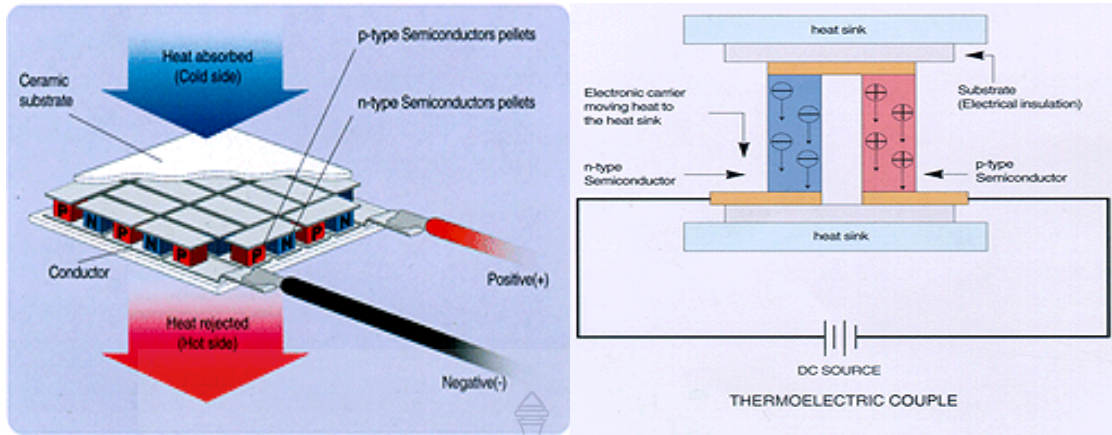
Type of device	Temperature, °C	Temperature, °F
Steam boiler exhausts	123 – 482	450 – 900
Gas turbine exhausts	371 – 538	700 – 1000
Reciprocating engine exhausts	316 – 593	600 – 1100
Heat treating furnace	427 – 649	800 – 1200
Drying and backing ovens	232 – 593	450 – 1100

ตารางที่ 2.4 ระดับอุณหภูมิของแหล่งความร้อนเหลือทิ้งเกรดต่ำ [33]

Type of device	Temperature, °C	Temperature, °F
Process steam condensate	54 - 88	130 - 190
Cooling water from : Furnace	32 - 55	90 - 130
Cooling water from : Bearing	32 - 88	90 - 190
Cooling water from : Welding machines	32 - 88	90 - 190
Cooling water from : Injection molding machines	32 - 88	90 - 190
Cooling water from : Air compressor	27 - 46	80 - 120
Cooling water from : Internal combustion engines	66 - 121	150 - 250
Air - cond. and refrig. Condensers	62 - 43	90 - 110

## 2.2. หลักการทำงานของเทอร์โมอิเล็กทริก

ในยุควิกฤตพลังงาน และสภาวะโลกร้อน การแสวงหาเทคโนโลยีพลังงานทดแทนจึงเป็นสิ่งสำคัญมาก ต่อการพัฒนาประเทศ เทคโนโลยีพลังงานทดแทนในประเทศไทย ก็มีอยู่หลายประเภท เช่น เซลล์สุริยะที่เปลี่ยนแสงเป็นไฟฟ้า แต่ก็มีเทคโนโลยีพลังงานทดแทนชนิดหนึ่งที่สามารถเปลี่ยนความร้อนให้เป็นไฟฟ้าได้เช่นกัน นั่นก็คือ เทคโนโลยีเทอร์โมอิเล็กทริก โดยเซลล์เทอร์โมอิเล็กทริก ประกอบไปด้วยวัสดุเทอร์โมอิเล็กทริกสองชนิด คือ ชนิด p และชนิด n ต่อกันเป็น ขั้ว p - n แบบอนุกรม มีหลักการทำงานอยู่สองลักษณะคือ เมื่อเซลล์เทอร์โมอิเล็กทริกได้รับความร้อนจะไปกระตุ้นให้เกิดการไหลของอิเล็กตรอนนั้นได้ไฟฟ้าออกมา เรียกว่าการผันความร้อนเป็นไฟฟ้า อีกลักษณะหนึ่งคือเมื่อเราให้กระแสไฟฟ้ากับเซลล์เทอร์โมอิเล็กทริก กระแสไฟฟ้าจะไปกระตุ้นให้อิเล็กตรอนนำความร้อนออกจากเซลล์ทำให้เกิดความเย็น เรียกว่า การผันไฟฟ้าเป็นความเย็น



ภาพที่ 2.10 การทำงานของเทอร์โมอิเล็กทริก [27]

เมื่อต่อกันครบวงจร ดังภาพที่ 2.10 P-type จะดูดอิเล็กตรอนเข้ามาทางขวาซึ่งมีอยู่ตรงรอยต่อ (Junction) ทำให้ด้านขวามือเป็นลบเมื่อโปรตอนจากความร้อนมากระทบ จะทำให้ประจุบวกกลับ ซึ่งเป็นกลางแยกออกจากกัน เรียกว่า Hole-Pair ทำให้ประจุลบจากขวาวิ่งผ่านรอยต่อไป ทางซ้ายเป็นการเคลื่อนที่ของประจุลบ (ทวนเข็มนาฬิกา) ทำให้เกิดกระแสไฟฟ้า เคลื่อนที่ไปในทิศสวนกลับ คือ ตามเข็มนาฬิกา เทอร์โมอิเล็กทริกสามารถเปลี่ยนพลังงานความร้อนให้เป็นพลังงานไฟฟ้าได้โดยสมการการถ่ายเทความร้อนที่ด้านเย็นหรือด้านร้อน เทอร์โมอิเล็กทริก จะสามารถที่จะผลิตไฟฟ้าได้โดยความแตกต่างของอุณหภูมิที่กระทบกับพื้นที่ของตัวเทอร์โมอิเล็กทริก จากนั้นอิเล็กตรอนจะแลกเปลี่ยนและเกิดกระแสไฟฟ้าได้ ซึ่งไฟฟ้าที่ผลิตได้จะเป็นไฟฟ้ากระแสตรง จึงสามารถที่จะนำไปแปลงเป็นไฟฟ้ากระแสสลับหรือนำไปชาร์จแบตเตอรี่ได้ ระบบการทำงานของเทอร์โมอิเล็กทริก จะผลิตไฟฟ้าได้ตามความสัมพันธ์ของอุณหภูมิที่แตกต่างกันของพื้นที่รับอุณหภูมิ ตามสมการที่ 2.10

$$Q_c = n(\alpha I T_c - 0.5 I^2 R + K t \Delta T) \quad (2.10)$$

โดยที่  $Q_c / Q_h$  คือ ปริมาณความเย็นหรือความร้อนที่ให้กับเทอร์โมอิเล็กทริก (W)

$\alpha$  คือ สัมประสิทธิ์ของซีเบ็ค (V/K)

$\Delta T$  คือ ผลต่างระหว่างอุณหภูมิด้านร้อนและอุณหภูมิด้านเย็น (K)

$R$  คือ ความต้านทานไฟฟ้าของเทอร์โมอิเล็กทริก

$I$  คือ กระแสไฟฟ้า (A)

$T_c / T_h$  คือ อุณหภูมิด้านเย็นหรือด้านร้อนของเทอร์โมอิเล็กทริก (K)

$K_t$  คือ ค่าสภาพนำความร้อนของเทอร์โมอิเล็กทริก (Watt/cm-K)

$n$  คือ จำนวนเทอร์โมอิเล็กทริกใน 1 โมดูล

และจะได้ค่ากำลังเอาต์พุตคือ

$$P_{out} = I^2 R_L \quad (2.11)$$

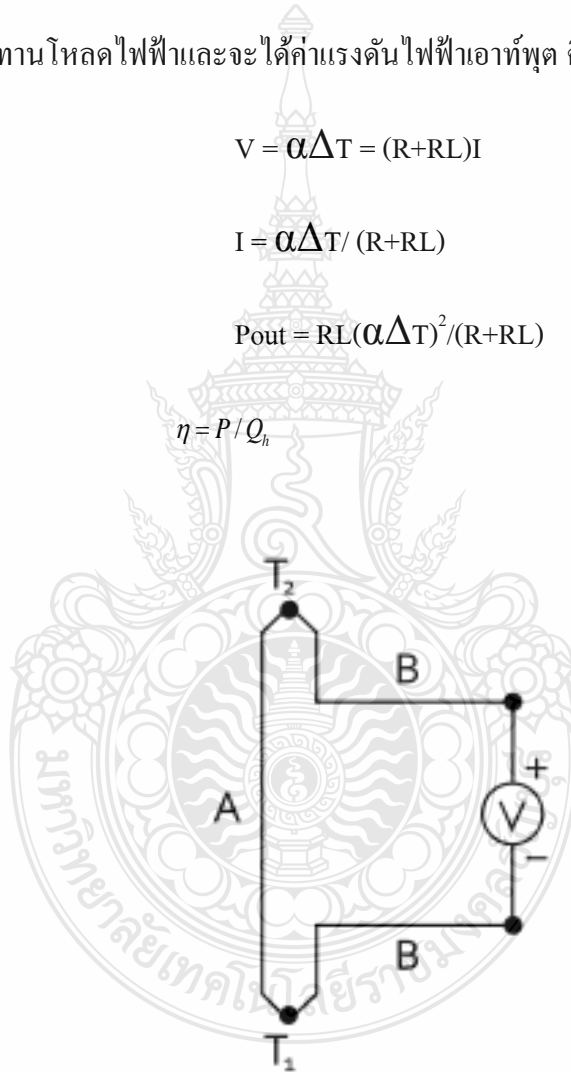
เมื่อ  $R_L$  คือ ความต้านทานโหลดไฟฟ้าและจะได้ค่าแรงดันไฟฟ้าเอาต์พุต คือ

$$V = \alpha \Delta T = (R + R_L) I \quad (2.12)$$

$$I = \alpha \Delta T / (R + R_L) \quad (2.13)$$

$$P_{out} = R_L (\alpha \Delta T)^2 / (R + R_L) \quad (2.14)$$

$$\eta = P / Q_h \quad (2.15)$$



ภาพที่ 2.11 วงจรการทำงานของเทอร์โมอิเล็กทริก [4]

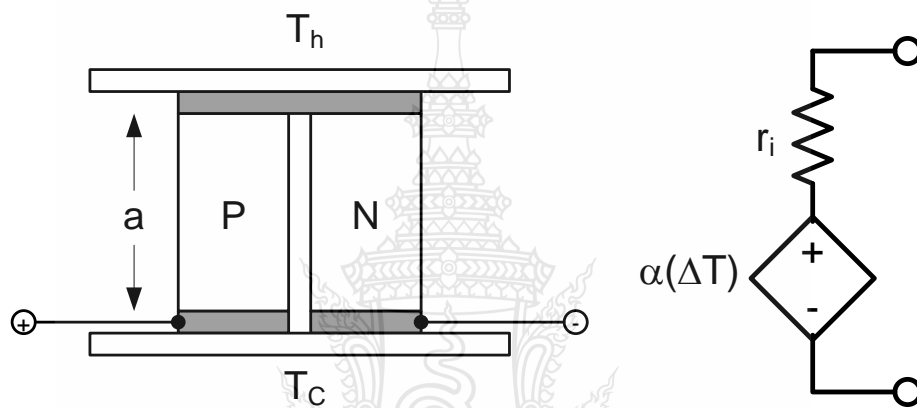
วงจรสมมูลย์ ภาพที่ 2.11 ซึ่งเมื่ออุณหภูมิ  $T_1$  แตกต่างจาก  $T_2$  ก็จะทำให้เกิดแรงดันไฟฟ้าได้

ซึ่งแรงดันไฟฟ้าจะเป็นไปตามสมการ (2.15)

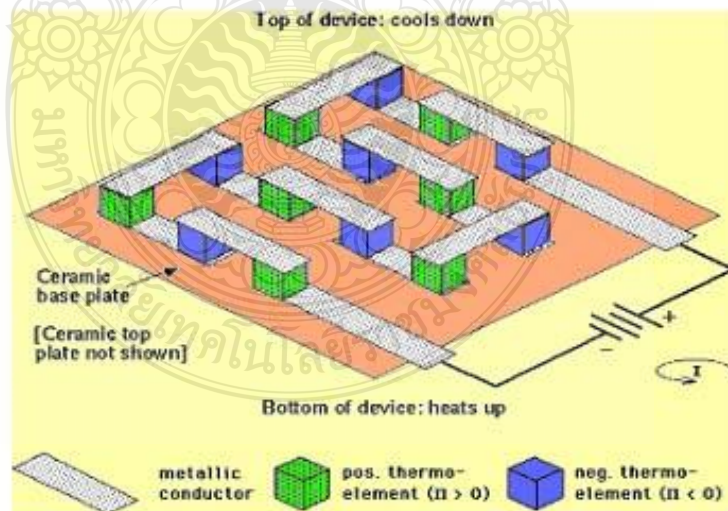
$$V = \int_{T_1}^{T_2} (S_B(T) - S_A(T)) dT. \quad (2.16)$$

ซึ่งจะส่งผลให้แรงดันที่เกิดขึ้นได้ขึ้นอยู่กับอุณหภูมิที่แตกต่างนั่นเอง

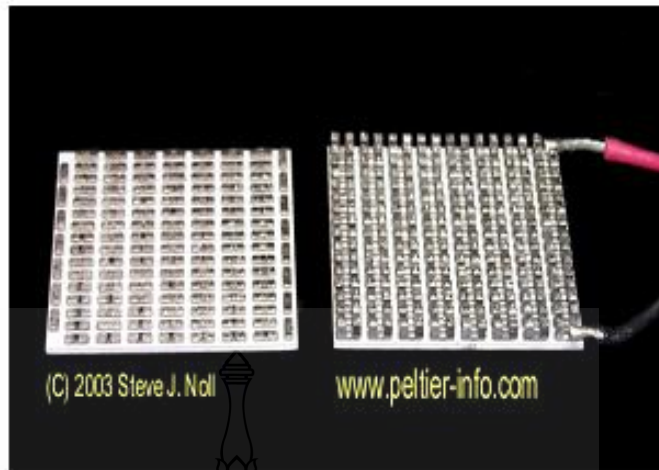
### 2.3. โครงสร้างและคุณสมบัติของเทอร์โมอิเล็กทริก



ภาพที่ 2.12 โครงสร้างของเซลล์เทอร์โมอิเล็กทริกและวงจรทางไฟฟ้า [4]



ภาพที่ 2.13 โครงสร้างของอุปกรณ์เทอร์โมอิเล็กทริก [8]



ภาพที่ 2.14 แผ่นฉนวนที่จัดเรียงเทอร์โมอิเล็กทริก [8]



ภาพที่ 2.15 ภาพขยายส่วนฐานและเทอร์โมอิเล็กทริก [8]

เทอร์โมอิเล็กทริกประกอบด้วยสารกึ่งตัวนำสองชนิดคือสาร N-Type และสาร P-Type ซึ่งต่ออนุกรมกันทางไฟฟ้าและต่อขนานกันทางความร้อน การผลิตพลังงานไฟฟ้าจะเกิดขึ้น เมื่อป้อนพลังงานความร้อนเข้าที่ด้านหนึ่งของเทอร์โมอิเล็กทริกและควบคุมอุณหภูมิอีกด้านหนึ่งไว้ที่ระดับต่ำกว่าโดยใช้ตัวระบายตัวระบายความร้อน ผลของอุณหภูมิที่แตกต่างกัน จะทำให้เกิดกระแสไฟฟ้าไหลได้ถ้ามีภาระทางไฟฟ้าต่ออยู่ภายนอกทำให้วงจรสมบูรณ์ แรงดันและกำลังงานที่เทอร์โมอิเล็กทริก

ผลิตได้นั้นจะขึ้นอยู่กับพลังงานความร้อนที่ได้รับ ระบบระบายความร้อน และจำนวนของโมดูลที่นำมาต่อรวมกัน

เทอร์โมอิเล็กทริกสร้างพลังงานไฟฟ้าจากความแตกต่างอุณหภูมิระหว่างผนังรอยต่อ P-N กับผนังอีกด้านของสาร P,N ค่าแเกรเดียนของอุณหภูมิที่เกิดขึ้นระหว่างผนังทั้งสองด้านนี้กระตุ้นให้เกิดปรากฏการณ์ซีเบ็ค (Seebeck) ผลักดันให้เกิดการเคลื่อนตัวของพาหะไฟฟ้าในสารกึ่งตัวนำ P และ N ก่อตัวเป็นอำนาจสนามไฟฟ้าภายในที่มีศักย์ไฟฟ้าเกิดขึ้นสัมพันธ์กับอุณหภูมิตามสมการ

$$v = \alpha(\nabla T) \quad (2.17)$$

โดยที่  $\alpha$  คือ ค่าสัมประสิทธิ์ซีเบคในสารกึ่งตัวนำ  $T$  คือฟังก์ชันอุณหภูมิระหว่างผนังของเทอร์โมอิเล็กทริกและเมื่อพิจารณาถึงรายละเอียดที่เกิดขึ้นในสารกึ่งตัวนำทั้งสองขณะใช้งานพบว่า

$$v = - \left( \frac{\alpha_n \sigma_n + \alpha_p \sigma_p}{\alpha_n + \alpha_p} \right) \Delta T \quad (2.18)$$

และค่าความต้านทานภายในที่เกิดขึ้นในสารกึ่งตัวนำมีค่าเป็นตามสมการ

$$r_i = \frac{2a}{(\sigma_n + \sigma_p)} \left( 1 + \frac{\rho_p}{\rho_n} \frac{1}{\xi a \operatorname{acth} \xi a + 2\tau S a \xi^2} \right) \quad (2.19)$$

โดยที่  $\xi^{-1} = \sqrt{\frac{2\tau T_0}{e^2 n_0} \frac{\sigma_n \sigma_p}{(\sigma_n + \sigma_p)}}$  เป็น Diffusion ที่เกิดขึ้นในสารกึ่งตัวนำ และ  $\tau = \frac{1}{2\gamma_i n_0}$ , โดยที่  $\gamma_i$

คือ capture coefficient ในสารกึ่งตัวนำ  $n_0, p_0$  คือปริมาณพาหะการนำไฟฟ้าในสารชนิด N,P  $\alpha_n, \alpha_p$  คือค่าสัมประสิทธิ์ซีเบ็คในสาร N,P  $\sigma_n = \rho_n \mu_n, \sigma_p = \rho_p \mu_p$  คือสภาพความนำไฟฟ้าของสาร N,P  $\rho_n, \rho_p$  คือความหนาแน่นของพาหะนำไฟฟ้าในสาร N,P  $\mu_n, \mu_p$  คือสภาพความคล่องตัวของพาหะนำไฟฟ้าในสาร N,P และ  $S$  คือพื้นที่ผิวที่เกิด Recombination ซึ่งในกรณีที่มีกระแสไหลมาทุก



แล้ว ( $S \rightarrow \infty$ ), ( $\tau \rightarrow 0$ ) ค่าความต้านทานของสารกึ่งตัวนำจะลดรูปเป็น

$$r_i = \frac{2a}{\sigma_n + \sigma_p} \quad (2.20)$$

เทอร์โมอิเล็กทริกโมดูลนอกจากผลิตไฟฟ้าแล้วยังสามารถทำให้เกิดอุณหภูมิร้อนและเย็นได้ โดยการป้อนไฟฟ้าเข้าไปยังเทอร์โมอิเล็กทริกโมดูล จะทำให้เกิดความร้อนด้านหนึ่งและความเย็นอีกด้านหนึ่ง อุณหภูมิความเย็นจะเย็นหรือร้อนอยู่ได้ในระยะเวลานานจะต้องมีอุปกรณ์ระบายความร้อนหรือ ระบายความเย็นให้แก่ด้านร้อนหรือด้านเย็น เมื่อมีการจ่ายไฟฟ้า และมีอุปกรณ์ระบายความร้อนหรือระบายความเย็น ที่เหมาะสมแล้ว ก็จะได้ความร้อนหรือความเย็นตามต้องการ

## 2.4. ประเภทของเทอร์โมอิเล็กทริก

เทอร์โมอิเล็กทริกโมดูลสามารถแบ่งออกตามลักษณะได้ 2 แบบคือ

2.4.1. เทอร์โมอิเล็กทริกแบบขั้นเดียว (Single Stage Module) เป็นเทอร์โมอิเล็กทริกที่มีผลต่างของอุณหภูมิด้านร้อนกับด้านเย็นในการใช้งาน ไม่สูงมาก ซึ่งมีค่าประมาณ 67 องศาเซลเซียส ซึ่งเป็นผลต่างของอุณหภูมิจังหวะที่ไม่มีภาระความร้อน ลักษณะของเทอร์โมอิเล็กทริกมีหลายรูปแบบ ทั้งขนาดและรูปร่าง อีกทั้งมีสมบัติหลายอย่างให้เลือกตามลักษณะการใช้งานเช่น ค่ากระแสไฟฟ้า ค่าแรงดัน และความสามารถในการถ่ายเทความร้อน โดยสามารถสรุปลักษณะและสมบัติได้ดังนี้

- ขนาดพื้นที่ผิวหน้าเซรามิก 1.8 x 3.4 ตารางมิลลิเมตร ถึง 62 x 62 ตารางมิลลิเมตร
- ขนาดความสูงตั้งแต่ 2.54 มิลลิเมตร ถึง 5.8 มิลลิเมตร
- ค่าการถ่ายเทความร้อนสูงสุดตั้งแต่ 0.2 ถึง 125 วัตต์
- ค่ากระแสสูงสุดตั้งแต่ 0.8 ถึง 60 แอมป์
- ค่าแรงดันสูงสุดตั้งแต่ 0.4 ถึง 15.4 โวลต์



ภาพที่ 2.16 เทอร์โมอิเล็กทริกแบบชั้นเดียว (Single stage module) [8]

2.4.2. เทอร์โมอิเล็กทริกแบบหลายชั้น (Multistage Module) เป็นเทอร์โมอิเล็กทริกที่มีการต่อตั้งแต่ 2 ชั้นขึ้นไป ลักษณะและสมบัติของเทอร์โมอิเล็กทริกแบบหลายชั้นที่สำคัญคือ

- พื้นที่ผิวด้านเย็นมีขนาดตั้งแต่ 3.2 x 3.2 ตารางมิลลิเมตร ถึง 62 x 62 ตารางมิลลิเมตร และมีพื้นที่ผิวด้านร้อนขนาดตั้งแต่ 3.8 x 3.8 ตารางมิลลิเมตร ถึง 62 x 62 ตารางมิลลิเมตร
- ขนาดความสูงตั้งแต่ 3.8 มิลลิเมตร ถึง 21.4 มิลลิเมตร
- ค่าการถ่ายเทความร้อนสูงสุดตั้งแต่ 0.39 ถึง 59 วัตต์
- ค่ากระแสสูงสุดตั้งแต่ 0.7 ถึง 9.5 แอมป์
- ค่าแรงดันสูงสุดตั้งแต่ 0.8 ถึง 14 โวลต์

ซึ่งจำนวนชั้นของเทอร์โมอิเล็กทริกแบบหลายชั้น มีการเชื่อมต่อตั้งแต่ 2 ชั้น ถึง 6 ชั้น



ภาพที่ 2.17 เทอร์โมอิเล็กทริกแบบหลายชั้น (Multistage Module) [9]

## 2.5. ทฤษฎีของเครื่องกำเนิดกำลังไฟฟ้าจากความร้อน

เมื่อโหลดความต้านทาน  $R_L$  ถูกต่อไว้ระหว่างปลายด้านเย็นที่แขนของเทอร์โมคัปเปิล a พลังงานความร้อนที่ให้เข้าไปที่รอยต่อร้อนจะขับเคลื่อนผ่านวงจรและส่งกำลังไปยัง  $R_L$  ประสิทธิภาพของเครื่องกำเนิดกำลังไฟฟ้าถูกกำหนดโดยความสัมพันธ์

$$\eta = \frac{\text{กำลังที่ให้กับโหลด } R_L}{\text{ความร้อนดูดซับที่รอยต่อ}} \quad (2.21)$$

ถ้าสมมติให้สภาพนำไฟฟ้า สภาพนำความร้อนและสัมประสิทธิ์ของซีเบ็คของตัวนำ a และ b มีค่าคงที่และไม่คิดความต้านทานสัมผัสที่รอยต่อร้อนและเย็นแล้ว ประสิทธิภาพสามารถเขียนได้ดังนี้

$$\eta = \frac{I^2 R_L}{\alpha I T_H + \lambda p (T_H - T_C) - \frac{1}{2} I^2 R} \quad (2.22)$$

โดยที่  $\lambda p$  คือ การนำความร้อนของ a และ b แบบขนาน และ  $R$  คือความต้านทานรวมของ a และ b ในวัสดุสันไฟฟ้าจากความร้อน  $\sigma$ ,  $\lambda$  และ  $\alpha$  จะเปลี่ยนแปลงตามอุณหภูมิ อย่างไรก็ตาม สมการที่ 2.22 ยังสามารถใช้ได้ถ้าค่าเฉลี่ยที่เหมาะสมของตัวแปรต่าง ๆ ที่พิจารณาในช่วงอุณหภูมิที่สนใจถูกนำมาพิจารณาด้วยสมการความสัมพันธ์ระหว่างกระแสและความร้อนที่เราให้แก่ ด้านร้อน

$$Q = IT_h + K \Delta T - \frac{1}{2} RI^2 \quad (2.23)$$

- เมื่อ  $Q$  = ปริมาณความร้อนที่ให้แก่ด้านร้อน (จูล)  
 $\alpha$  = สัมประสิทธิ์ของซีเบ็ค (โวลต์ต่อเคลวิน)  
 $\Delta T$  = ผลต่างระหว่างอุณหภูมิด้านร้อนและอุณหภูมิด้านเย็น (องศาเคลวิน)  
 $R$  = ความต้านทานภายในของเทอร์โมอิเล็กทริก (โอห์ม)  
 $I$  = กระแสไฟฟ้า (แอมป์)  
 $T_h$  = อุณหภูมิด้านความร้อนของเทอร์โมอิเล็กทริก (องศาเคลวิน)

$K$  = ค่าการนำความร้อนของ เทอร์โมอิเล็กทริก (วัดต่อเซนติเมตรเคลวิน)

เราได้ กำลังไฟฟ้าจ่าย ออกมาคือ

$$P_{out} = I^2 R_L \quad (2.24)$$

เมื่อ  $R_L$  = ค่าความต้านทานของโหลดทางไฟฟ้า

ค่าแรงดันไฟฟ้าใช้งาน จะออกมาในรูปแบบ Seebeck effect คือ

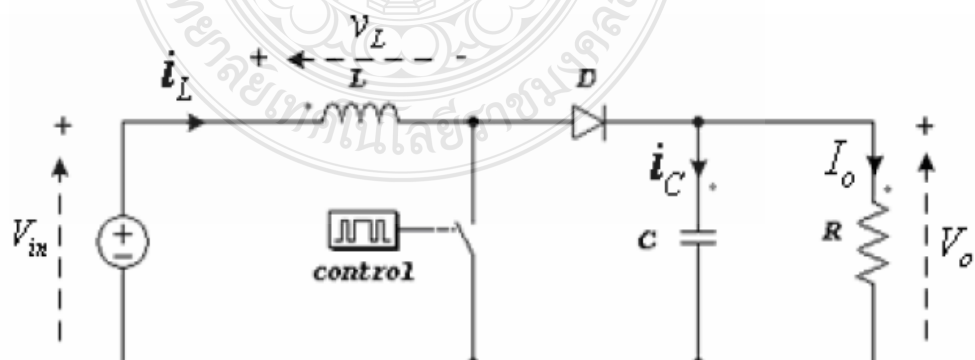
$$V = \alpha \Delta T = (R + R_L) I \quad (2.25)$$

$$\therefore I = \frac{\alpha \Delta T}{R + R_L} \quad (2.26)$$

$$\therefore P_{out} = R_L \frac{(\alpha \Delta T)^2}{(R + R_L)^2} \quad (2.27)$$

## 2.6 วงจรทบทระดับแรงดัน

วงจรทบทระดับแรงดันไฟตรง หรือวงจร Boost Converter เป็นวงจรที่ทำให้แรงดันขาออกของวงจรมีค่าสูงกว่าแรงดันขาเข้า และเนื่องจากรูปคลื่นแรงดันขาออกมีการกระเพื่อมจากสัญญาณควบคุม จึงนิยมต่อวงจรกรองความถี่ต่ำผ่าน (Low pass Filter) แบบวงจร Pure C ขนานทางด้านขาออก เพื่อให้แรงดันขาออกมีความเป็นไฟตรงมากๆ ลักษณะวงจรทบทระดับแรงดันเป็นดังรูป อุปกรณ์สวิตช์อิเล็กทรอนิกส์กำลังที่ใช้เชิงปฏิบัติในวงจรถูกแทนด้วยสวิตช์ควบคุมเชิงอุดมคติดังรูป



ภาพที่ 2.18 วงจรทบทระดับแรงดัน [25]

### 2.6.1 เงื่อนไขในการทำงานของวงจรถระดับแรงดัน

เพื่อให้่ายต่อการวิเคราะห์การทำงานของวงจรถระดับแรงดันในสภาวะอยู่ตัว จะต้องมีการกำหนดเงื่อนไขการทำงานเสียก่อน เช่นเดียวกับในวงจรถอนระดับแรงดัน

2.6.1.1. รูปคลื่นกระแสที่ไหลผ่านตัวเหนี่ยวนำที่ตำแหน่งเดียวกันในแต่ละคาบ จะค่าเท่ากันและเป็นบวกเสมอ

2.6.1.2. ค่าแรงดันเฉลี่ยตกคร่อมตัวเหนี่ยวนำในแต่ละคาบเวลาจะเท่ากับศูนย์ ซึ่งจะทำให้ผลรวมค่าผลคูณของแรงดันตกคร่อมตัวเหนี่ยวนำกับเวลา (Volt-second) เป็นศูนย์

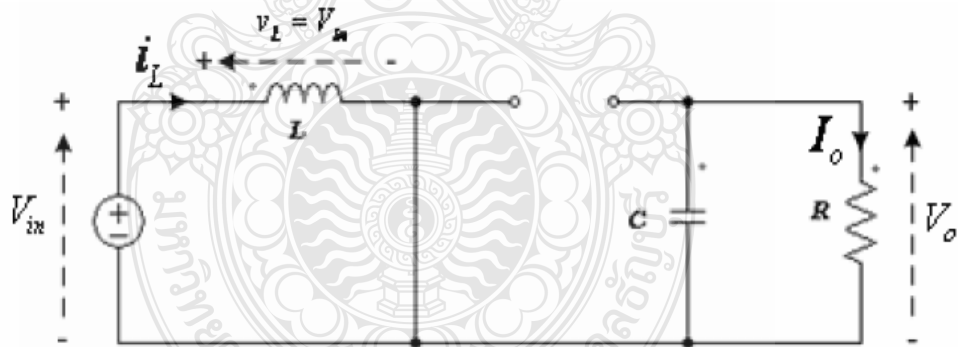
2.6.1.3. ค่ากระแสเฉลี่ยที่ไหลผ่านตัวเก็บประจุในแต่ละคาบเวลาจะเท่ากับศูนย์

2.6.1.4. กำลังไฟฟ้าขาเข้าเท่ากับกำลังไฟฟ้าขาออก (พิจารณาวงจรถทำงานแบบอุดมคติ)

### 2.6.2 หลักการทำงานของวงจรถระดับแรงดัน

การทำงานของวงจรถแบ่งออกเป็น 2 จังหวะคือ ขณะสวิตช์นำกระแสและไม่นำกระแส

#### 2.6.2.1 ขณะสวิตช์นำกระแส



ภาพที่ 2.19 วงจรถสมมูลของวงจรถระดับแรงดันขณะสวิตช์นำกระแส [25]

ขณะสวิตช์นำกระแส กระแสจากแหล่งจ่ายจะไหลวนผ่านตัวเหนี่ยวนำดังแสดงในภาพที่ 2.22 ในขณะเดียวกันไดโอดจะได้รับการไบอัสย้อนกลับ (Reverse Bias) กระแสจึงไม่สามารถไหลผ่านได้ ทำให้สมการของวงจรถเป็นดังนี้

$$V_{in} + v_L = 0 \quad (2.27)$$

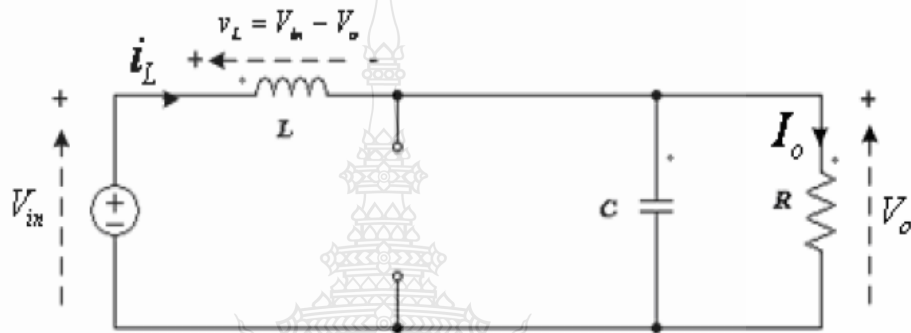
$$v_L = V_{in} = L \frac{di_L}{dt} \quad (2.28)$$

$$\frac{v_{in}}{L} = \frac{di_L}{dt} \quad (2.29)$$

$$\frac{di_L}{dt} = \frac{\Delta i_L}{DT} = \frac{v_{in}}{L} \quad (2.30)$$

$$\Delta i_{L,on} = \left( \frac{V_{in}}{L} \right) DT \quad (2.31)$$

### 2.6.2.2 ขณะสวิตช์หยุดนำกระแส



ภาพที่ 2.20 วงจรสมมูลของวงจรทระดับแรงดันขณะสวิตช์หยุดนำกระแส [25]

ขณะสวิตช์หยุดนำกระแส กระแสไฟฟ้าในตัวเหนี่ยวนำไม่สามารถเปลี่ยนแปลงได้โดยทันทีทันใด ไดโอดจะถูกไบอัสไปหน้า (Forward Bias) ให้นำกระแส เป็นผลทำให้กระแสสามารถไหลผ่านตัวเหนี่ยวนำได้อย่างต่อเนื่อง ซึ่งจะได้สมการแรงดันตกคร่อมตัวเหนี่ยวนำได้ดังนี้

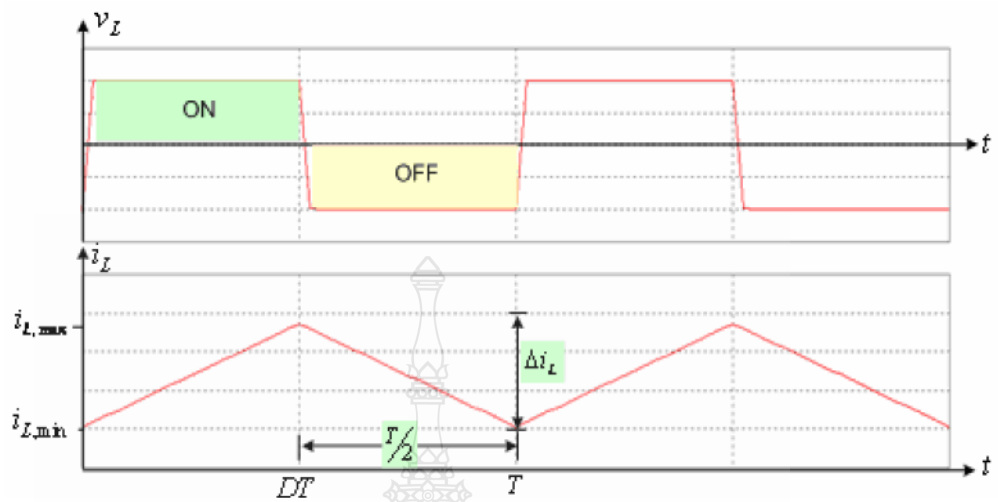
$$-V_{in} + v_L + V_o = 0 \quad (2.32)$$

$$v_L = (V_{in} - V_o) = L \frac{di_L}{dt} \quad (2.33)$$

$$\frac{di_L}{dt} = \frac{(V_{in} - V_o)}{L} \quad (2.34)$$

ในขณะสวิตช์หยุดนำกระแส ซึ่งอัตราการเปลี่ยนแปลงแหล่งกระแสที่ไหลผ่านตัวเหนี่ยวนำมีค่าคงที่ และการลดลงของกระแสจะเป็นเชิงเส้นดังแสดงในรูปทั้งนี้สมการการเปลี่ยนแปลงของกระแสผ่านตัวเหนี่ยวนำขณะสวิตช์หยุดนำกระแสจะเป็นดังนี้

$$\Delta i_{L,off} = \frac{(V_{in} - V_o)}{L} \cdot (1 - D)T \quad (2.35)$$



ภาพที่ 2.21 รูปคลื่นแรงดันตกคร่อม และกระแสที่ไหลผ่านตัวเหนี่ยวนำในวงจรทระดับแรงดัน [25]

### 2.6.3 การคำนวณค่าในวงจรทระดับแรงดัน

ในวงจรทระดับสามารถคำนวณหาค่าต่างๆ ในขณะที่สถานะอยู่ตัว (Steady state) ได้

#### 2.6.3.1 ค่าอัตราขยายแรงดันของวงจร

อัตราขยายแรงดันของวงจรทระดับแรงดันสามารถคำนวณได้จากเงื่อนไขข้อที่หนึ่ง ซึ่งกำหนดว่ากระแสที่ไหลผ่านตัวเหนี่ยวนำแต่ละคาบเวลา จะมีค่าเท่ากัน ซึ่งสามารถเขียนสมการได้เป็น

$$\Delta i_{L,on} + \Delta i_{L,off} = 0 \quad (2.36)$$

$$\left(\frac{V_{in}}{L}\right)DT + \left\{\frac{(V_{in}-V_o)}{L} \cdot (1-D)T\right\} = 0 \quad (2.37)$$

$$(V_{in})D + (V_{in} - V_o) \cdot (1-D) = 0 \quad (2.38)$$

$$V_{in} - V_o(1-D) = 0 \quad (2.39)$$

$$\frac{V_o}{V_{in}} = \frac{1}{(1-D)} \quad (2.40)$$

$$v_{L,av} = (v_{L,on})(t_{on}) + (v_{L,off})(t_{off}) = 0 \quad (2.41)$$

$$V_{in}(t_{on}) + (V_{in} - V_o)(t_{off}) = 0 \quad (2.42)$$

$$t_{on} = DT, t_{off} = (1-D)T \quad (2.43)$$

$$(V_{in}DT) + (V_{in} - V_o)(1-D)T = 0 \quad (2.44)$$

$$V_{in}DT + V_{in} - V_o - V_{in}DT + V_oDT = 0 \quad (2.45)$$

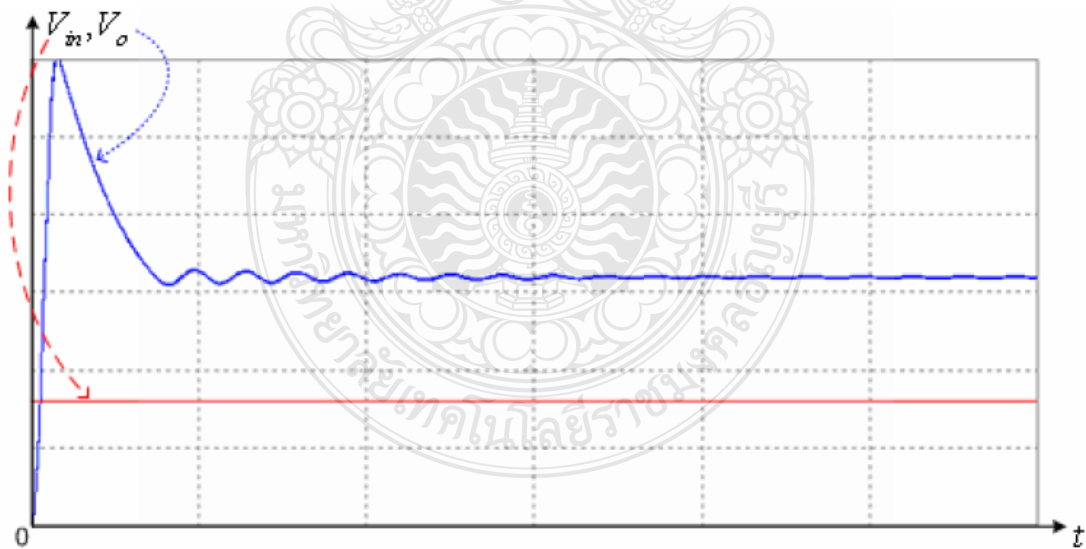
$$V_{in}DT - V_o(1-DT) = 0 \quad (2.46)$$

$$\frac{V_o}{V_{in}} = \frac{1}{(1-D)} \quad (2.47)$$

$v_{L,av}$  เป็นแรงดันเฉลี่ยตกคร่อมตัวเหนี่ยวนำ

$v_{L,on}$  เป็นแรงดันตกคร่อมตัวเหนี่ยวนำขณะสวิตช์นำกระแส

$v_{L,off}$  เป็นแรงดันตกคร่อมตัวเหนี่ยวนำขณะสวิตช์หยุดนำกระแส

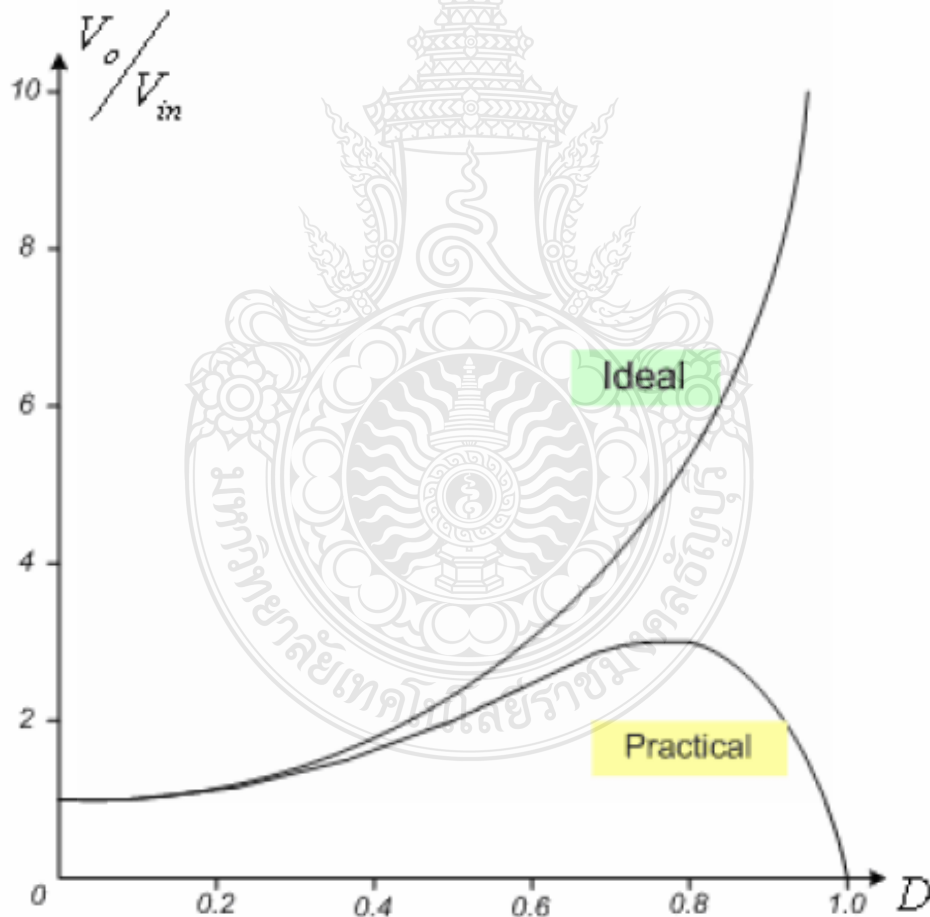


ภาพที่ 2.22 รูปคลื่นแรงดันขาเข้าและแรงดันขาออกของวงจรทบทระดับแรงดันเมื่อ 0.5 [25]



ในภาพที่ 2.25 แสดงค่าแรงดันขาเข้าและขาออกของวงจรขณะกำหนดให้ค่า Duty Cycle เท่ากับ 0.5 (หรือ) ซึ่งแรงดันขาออกขณะอยู่ตัวของวงจรจะเป็น 200% ของขนาดแรงดันขาเข้า 0.5 กราฟความสัมพันธ์ระหว่างค่าอัตราขยายแรงดันกับ Duty Cycle ของวงจรแสดงดังตาราง จะเห็นว่าในเชิงอุดมคติอัตราขยายสามารถเพิ่มสูงขึ้นได้จนถึงค่าอนันต์ แต่ในทางปฏิบัติ แรงดันขาออกไม่สามารถมีค่าสูงขึ้นได้มากเท่าทางอุดมคติ เนื่องจากมีกำลังไฟฟ้าสูญเสียในแต่ละส่วนของวงจร ตารางที่ 2.5 แสดงค่าอัตราขยายแรงดันของวงจรทบระดับแรงดันที่ค่า Duty Cycle ต่างๆ [25]

ค่า Duty Cycle	0	0.1	0.2	0.3	0.4	0.5	0.6	0.7	0.8	0.9	1.0
ค่าอัตราขยายแรงดัน	1.00	1.10	1.25	1.43	1.67	2.00	2.50	3.33	5.00	10.00	$\infty$



ภาพที่ 2.23 กราฟความสัมพันธ์ระหว่างอัตราขยายแรงดันกับค่า Duty Cycle ของวงจรทบระดับแรงดัน [25]

### 2.6.3.2 การหาค่าความเหนี่ยวนำที่เล็กที่สุดสำหรับวงจรทระดับแรงดัน

แรงดัน กระแสขาออกและกระแสที่ไหลผ่านตัวเหนี่ยวนำของวงจรทระดับแรงดันควรรอยู่ในโหมดต่อเนื่อง การคำนวณหาขนาดค่าที่เล็กที่สุดของตัวเหนี่ยวนำที่ทำให้วงจรทำงานในโหมดกระแสต่อเนื่อง จะเริ่มที่การคำนวณค่ากระแสเฉลี่ยไหลผ่านตัวเหนี่ยวนำในสภาวะวิกฤติ ซึ่ง  $\min OLI =$

จากสมมติฐาน วงจรมีกำลังไฟฟ้าสูญเสียเป็นศูนย์ ดังนั้น

$$P_{in} = P_o = \frac{V_o^2}{R} \quad (2.48)$$

$$P_{in} = V_{in} \cdot I_{in} = V_{in} \cdot I_L \quad (2.49)$$

$$V_{in} \cdot I_L = \frac{V_o^2}{R} \quad (2.50)$$

$$V_{in} \cdot I_L = \frac{\left(\frac{V_{in}}{1-D}\right)^2}{R} \quad (2.51)$$

$$I_L = \frac{V_{in}}{(1-D)^2 \cdot R} \quad (2.52)$$

ค่ากระแสสูงสุดและต่ำสุดที่ไหลผ่านตัวเหนี่ยวนำหาได้จากสมการ

$$I_{L,max} = \left(\frac{V_{in}}{(1-D)^2 \cdot R}\right) + \frac{1}{2} \left(\frac{V_{in} DT}{L}\right) \quad (2.53)$$

$$I_{L,min} = \left(\frac{V_{in}}{(1-D)^2 \cdot R}\right) - \frac{1}{2} \left(\frac{V_{in} DT}{L}\right) \quad (2.54)$$

ดังนั้นค่ากระแสไหลผ่านตัวเหนี่ยวนำต่ำสุด ขณะสภาวะวิกฤติ

$$I_{L,min} = \left(\frac{V_{in}}{(1-D)^2 \cdot R}\right) - \frac{1}{2} \left(\frac{V_{in} DT}{L}\right) = 0 \quad (2.55)$$

$$\left(\frac{V_{in}}{(1-D)^2 \cdot R}\right) = \frac{1}{2} \left(\frac{V_{in} DT}{L}\right) \quad (2.56)$$

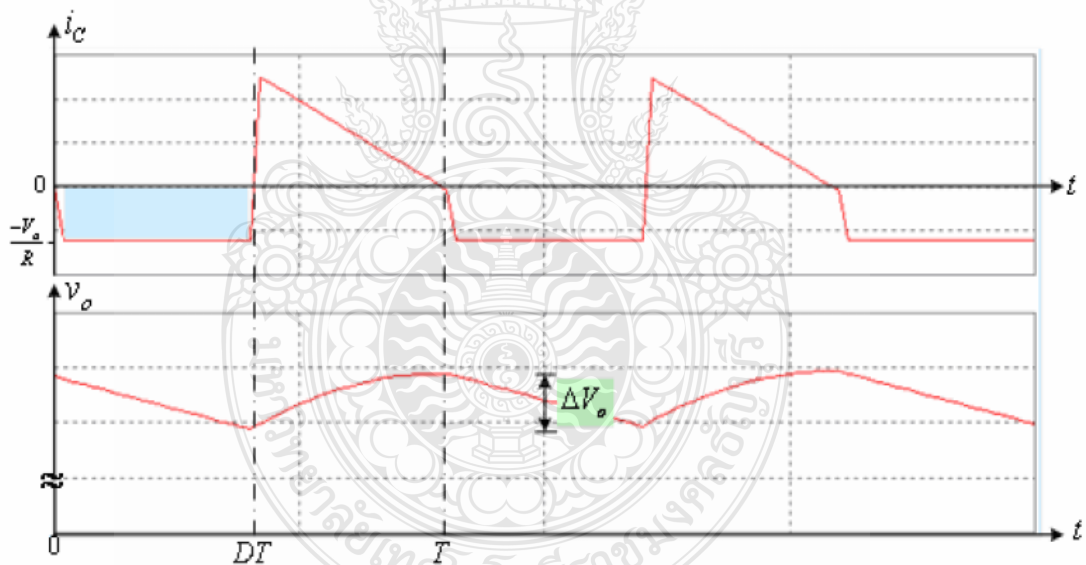
$$L_{\min} = \left( \frac{D(1-D)^2 \cdot R}{2 \cdot f} \right) \quad (2.57)$$

$$f = \left( \frac{D(1-D)^2 \cdot R}{2 \cdot L_{\min}} \right) \quad (2.58)$$

ค่าความเหนี่ยวนำเล็กที่สุดทำได้โดยการปรับค่า Duty Cycle ความต้านทานโหลด หรือความถี่สวิตช์

### 2.6.3.3 อัตราระลอกคลื่น (Ripple Factor) ของแรงดันขาออก

รูปคลื่นกระแสไหลผ่านตัวเก็บประจุและแรงดันขาออกในวงจรแสดงรูปที่ 2.27 ซึ่งจะเห็นว่าการกระเพื่อมของแรงดันขาออกสัมพันธ์กับการเปลี่ยนแปลงค่าของกระแสที่ไหลผ่านตัวเก็บประจุ



ภาพที่ 2.24 รูปคลื่นกระแสไหลผ่านตัวเก็บประจุและแรงดันขาออกในวงจรทบทระดับแรงดัน [25]

ในทางปฏิบัติจะไม่นิยมใช้ตัวเก็บประจุที่มีขนาดใหญ่เนื่องจากมีราคาแพงและใช้พื้นที่ติดตั้งมาก ขนาดของตัวเก็บประจุซึ่งสัมพันธ์กับค่าระลอกคลื่นแรงดันขาออกนี้สามารถคำนวณได้ดังนี้

จาก  $\Delta Q = C \cdot \Delta V_o = I_o \cdot t_{on}$

ดังนั้น  $\Delta V_o = \frac{I_o \cdot t_{on}}{C} = \frac{V_o DT}{RC}$

จะได้  $\frac{\Delta V_o}{V_o} = \frac{DT}{RC} = \frac{D}{RC \cdot f}$

เมื่อ  $i_o = \frac{V_o}{R}$  และ  $t_{on} = DT$

ค่าระลอกคลื่นของแรงดันจะมีค่าน้อยลง ถ้าวงจรมีค่า Duty Cycle เข้าใกล้ค่าศูนย์ หรือโดยการเพิ่มค่าความต้านทานโหลด หรือเลือกใช้ค่าความถี่สวิตช์  $f$  สูงๆ

## 2.7 งานวิจัยที่เกี่ยวข้อง

ณัฐ จันทร์ครบ นัศรชัย เอี่ยมพรสิน อมร สมเจตน์เลิศเจริญ และเจนศักดิ์ เอกบุรณะวัฒน์ [1] นำเสนอการศึกษาความเป็นไปได้ในการผลิตไฟฟ้าด้วยเทอร์โมอิเล็กทริกโดยใช้ความร้อนจากเตาหุงต้ม โดยทำการติดตั้งเทอร์โมอิเล็กทริกบนตัวรับความร้อนที่ทำจากฮีตซิงค์สองอันที่หันหน้าเข้าหากัน และใช้ครีปเป็นตัวรับความร้อนทำให้มีพื้นที่รับความร้อนเพิ่มขึ้น โดยที่อีกด้านหนึ่งของเทอร์โมอิเล็กทริกมีตัวระบายความร้อนติดตั้งอยู่ ทดสอบประสิทธิภาพในการผลิตไฟฟ้าด้วยการประกอบอาหารจากเตาหุงต้มประจำวัน เช้า – เย็น โดยได้มีการทดสอบหาตำแหน่งในการติดตั้งตัวเทอร์โมอิเล็กทริกให้เหมาะสมและทดสอบประจุไฟฟ้าลงในแบตเตอรี่โดยใช้เชื้อเพลิงต่างชนิดกัน เช่น ถ่าน ไม้ ฟืน กะลามะพร้าว

เจริญพร เลิศสถิตชนกร,ณัฐวุฒิ สุวรรณทา [2] นำเสนอการผลิตไฟฟ้าจากความร้อนทิ้งของตะเกียงโดยใช้เทอร์โมอิเล็กทริกยึดติดกับส่วนบนของฝาครอบตะเกียงซึ่งใช้วัสดุที่ทำจากสแตนเลส ส่วนด้านเย็นยึดติดกับเครื่องแลกเปลี่ยนความร้อนแบบครีปสี่เหลี่ยมผืนผ้าผลิตจากอลูมิเนียมการปรับเปลี่ยนความร้อนที่ให้กับเทอร์โมอิเล็กทริกทำได้โดยการปรับวาล์วปรับอัตราการไหลของก๊าซปิโตรเลียมเหลวที่ใช้เป็นแหล่งพลังงานความร้อน

นพพร พัชรประภคิต\*, ยุทธสิทธิ์ แสนเรือน และพันธัชชัย กาวิชัย [3] นำเสนอการผลิตไฟฟ้าด้วยความร้อนที่อุณหภูมิต่ำกว่า 100 องศาเซลเซียสด้วยอุปกรณ์ทำความเย็นเพลเทียร์หรือเทอร์โมอิเล็กทริกตามปรากฏการณ์ซีเบค ซึ่งได้เป็นพลังงานไฟฟ้ากระแสตรงและแรงดันไฟฟ้ากระแสตรงที่ผลิตได้จากเทอร์โมอิเล็กทริกจะถูกนำไปปรับระดับแรงดันด้วยวงจรบูสต์คอนเวอร์เตอร์ซึ่งการปรับระดับแรงดันควบคุมทำได้ด้วยเทคนิคมอดูเลทความกว้างพัลส์ (PWM) ที่ความถี่ 2-20 กิโลเฮิร์ต เพื่อทำการควบคุมจังหวะการปิด-เปิดของสวิตช์ และพลังงานที่ปรับแรงดันแล้วจะนำไปอัดประจุแบตเตอรี่ด้วย

หลักการอัดประจุแบบแรงดันคงที่จากทดสอบวงจรโดยใช้ แผงเทอร์โมอิเล็กทริกขนาด 12 โวลต์ 12 ตัวกับแหล่งความร้อนสองชนิด คือชนิดไหลความร้อนคอนเดนเซอร์ อุณหภูมิประมาณ 50 องศาเซลเซียส ( ผลต่างอุณหภูมิ 10 องศาเซลเซียส ) กำลังไฟฟ้าที่ได้ 2.1 วัตต์ และชนิดไหลความร้อนฮีตเตอร์ อุณหภูมิ 90 องศาเซลเซียส ( ผลต่างอุณหภูมิ 40 องศาเซลเซียส ) กำลังไฟฟ้าที่ได้ 4.05 วัตต์ ซึ่งไหลความร้อนทั้งสองชนิดสามารถนำไปอัดประจุแบตเตอรี่ ขนาด 12 โวลต์ ได้

ณัฐ จันท์กรบ,เสรี ชื่นอารมณฺ์,เจนศักดิ์ เอกบูรณะวัฒน์ [4] นำเสนอผลการวิเคราะห์รูปแบบการต่อโมดูลเทอร์โมอิเล็กทริกหลายโมดูลให้ทำงานร่วมกันอย่างมีประสิทธิภาพโดยการนำโมดูลเทอร์โมอิเล็กทริกที่คุณสมบัติใกล้เคียงกันกับแตกต่างกันมาต่อร่วมกันในลักษณะขนานกับอนุกรม ผลการทดลองพบว่าการต่ออนุกรมจะให้อัตราการเปลี่ยนแปลงกำลังไฟฟ้ต่อไหลต่ำกว่าแบบขนาน ขณะที่แบบขนานจะให้กำลังไฟฟ้ดีที่สุดสูงกว่าแบบอนุกรม การต่ออนุกรมจึงเหมาะกับการใช้งานที่ปราศจากวงจรแปลงผันไฟฟ้ ส่วนแบบขนานเหมาะสมกับการใช้งานที่มีวงจรแปลงผันไฟฟ้ที่สามารถติดตามกำลังไฟฟ้สูงสุดได้ และเมื่อเพิ่มจำนวนโมดูลมากขึ้น เปอร์เซนต์กำลังไฟฟ้จริงที่ได้จากการต่อใช้งานแบบขนานจะสูงกว่าการต่อแบบอนุกรมประมาณ 3 เท่า โดยการต่อแบบขนานจะให้เปอร์เซนต์กำลังไฟฟ้จริงลดลง 3.44% ส่วนการต่ออนุกรมทำให้เปอร์เซนต์กำลังไฟฟ้จริงลดลง 10.69% ต่อการเพิ่ม 1 โมดูล

Eakburanawat, J. and Boonyaroonate, I., [5] นำเสนอผลการวิเคราะห์รูปแบบการต่อโมดูลเทอร์โมอิเล็กทริกหลายโมดูลให้ทำงานร่วมกันอย่างมีประสิทธิภาพโดยการนำโมดูลเทอร์โมอิเล็กทริกที่คุณสมบัติใกล้เคียงกันกับแตกต่างกันมาต่อร่วมกันในลักษณะขนานกับอนุกรม เพื่อศึกษาถึงคุณลักษณะการต่อใช้งานและการนำไปใช้ให้เกิดประสิทธิภาพการทำงานของโมดูลเทอร์โมอิเล็กทริกสูงสุด

เจนศักดิ์ เอกบูรณะวัฒน์ [6] นำเสนอผลการจำลองการทำงานและออกแบบสร้างระบบประจุแบตเตอรี่แบบใช้พลังงานจากความร้อนทิ้ง โดยระบบจะเปลี่ยนรูปพลังงานความร้อนทิ้งเป็นพลังงานไฟฟ้กระแสตรงเพื่อประจุลงในแบตเตอรี่ ระบบที่นำเสนอประกอบด้วยตัวเทอร์โมอิเล็กทริกที่ใช้เปลี่ยนรูปพลังงานความร้อนเป็นไฟฟ้กระแสตรง และวงจรแปลงผันไฟฟ้ตรงแบบ SEPIC เป็นที่ใช้เป็นตัวควบคุมการประจุ โดยได้มีการทดสอบหาคุณลักษณะของตัวเทอร์โมอิเล็กทริกที่ระดับอุณหภูมิต่างๆ และจำลองการทำงานของระบบโดยใช้โปรแกรม Orcad PSpice พร้อมทั้งสร้างเครื่องต้นแบบและทำการทดลองเพื่อนำผลที่ได้เปรียบเทียบกับผลที่ได้จากการจำลองระบบ จุดมุ่งหมายของงานวิจัย

นี่ก็คือ เพื่อศึกษาคุณลักษณะของตัวเทอร์โมอิเล็กทริก และประยุกต์ใช้งานให้เป็นเครื่องประจุ  
แบตเตอรี่ที่สามารถใช้พลังงานจากความร้อนทิ้ง หรือแหล่งพลังงานความร้อนอื่นๆ ได้โดยตรง



## บทที่ 3

### วิธีดำเนินการวิจัย

ในบทนี้จะแสดงถึงการวิเคราะห์รูปแบบการเชื่อมต่อโมดูลเทอร์โมอิเล็กทริกหลายโมดูลให้ทำงานร่วมกันอย่างมีประสิทธิภาพ การผลิตไฟฟ้าจากความร้อนสูญเสียเปล่าของระบบปรับอากาศแบบแยกส่วนด้วยวิธีการเทอร์โมอิเล็กทริกเพื่อชาร์จแบตเตอรี่ไฟฟ้าสำรองขนาด 12 โวลต์ โดยผู้วิจัยได้ทำการศึกษาคุณสมบัติการทำงานของชุดผลิตไฟฟ้าด้วยโมดูลเทอร์โมอิเล็กทริกแต่ละโมดูลเปรียบเทียบกับผลการจำลองการทำงานด้วยโปรแกรม Matlab Simulink และ รวบรวมข้อมูลที่เกี่ยวข้องต่างๆ เพื่อนำมาวิเคราะห์หาความสัมพันธ์ในการสร้างชุดต้นแบบการผลิตไฟฟ้าจากความร้อนสูญเสียเปล่าของระบบปรับอากาศแบบแยกส่วนด้วยวิธีการเทอร์โมอิเล็กทริกสามารถประจุแบตเตอรี่ไฟฟ้าสำรองขนาด 12 โวลต์ เพื่อใช้ในการพัฒนาการผลิตไฟฟ้าต่อไป

#### 3.1 ขั้นตอนการดำเนินงานวิจัย

งานวิจัยนี้ได้กำหนดขั้นตอนการดำเนินงานทั้งในส่วนของการทดสอบในสภาพจริงกับการทดสอบด้วยแบบจำลอง ดังต่อไปนี้

ขั้นตอนที่ 1 ศึกษา ค้นคว้า ทฤษฎีที่เกี่ยวข้อง โดยศึกษาเกี่ยวกับคุณสมบัติการทำงานของโมดูลเทอร์โมอิเล็กทริก การเชื่อมต่อกันในการผลิตไฟฟ้าของโมดูลเทอร์โมอิเล็กทริก และรวบรวมข้อมูลคุณสมบัติของชุดโมดูลเทอร์โมอิเล็กทริกที่ใช้ในการผลิตไฟฟ้า เปรียบเทียบกับการจำลองการทำงานด้วยโปรแกรม Matlab Simulink

ขั้นตอนที่ 2 รวบรวมข้อมูลการสร้างและออกแบบระบบการจัดและควบคุมชุดต้นแบบการผลิตไฟฟ้าจากความร้อนสูญเสียเปล่าของระบบปรับอากาศด้วยวิธีการเทอร์โมอิเล็กทริก ทดสอบการทำงานในสภาพจริงโดยการนำเทอร์โมอิเล็กทริกโมดูล TEG 12750 D ทำการทดสอบหากำลังไฟฟ้าสูงสุดที่ผลิตได้, ทดสอบคุณสมบัติการผลิตไฟฟ้าของโมดูลเทอร์โมอิเล็กทริกแต่ละโมดูลและทดสอบการเชื่อมต่อกันในการผลิตไฟฟ้าแบบต่าง ๆ

ขั้นตอนที่ 3 นำผลการทดสอบในสภาพจริงและข้อมูลของชุดโมดูลเทอร์โมอิเล็กทริกจากผู้ผลิต, สมการทางคณิตศาสตร์และนำค่าต่างๆเหล่านี้มาใช้ในการสร้างแบบจำลองทางคณิตศาสตร์ด้วย

โปรแกรม MATLAB SIMULINK สร้างชุดต้นแบบการผลิตไฟฟ้าจากความร้อนสูญเสียเปล่าของระบบปรับอากาศด้วยวิธีการเทอร์โมอิเล็กทริก สามารถประจุแบตเตอรี่ไฟฟ้าสำรองขนาด 6 โวลต์

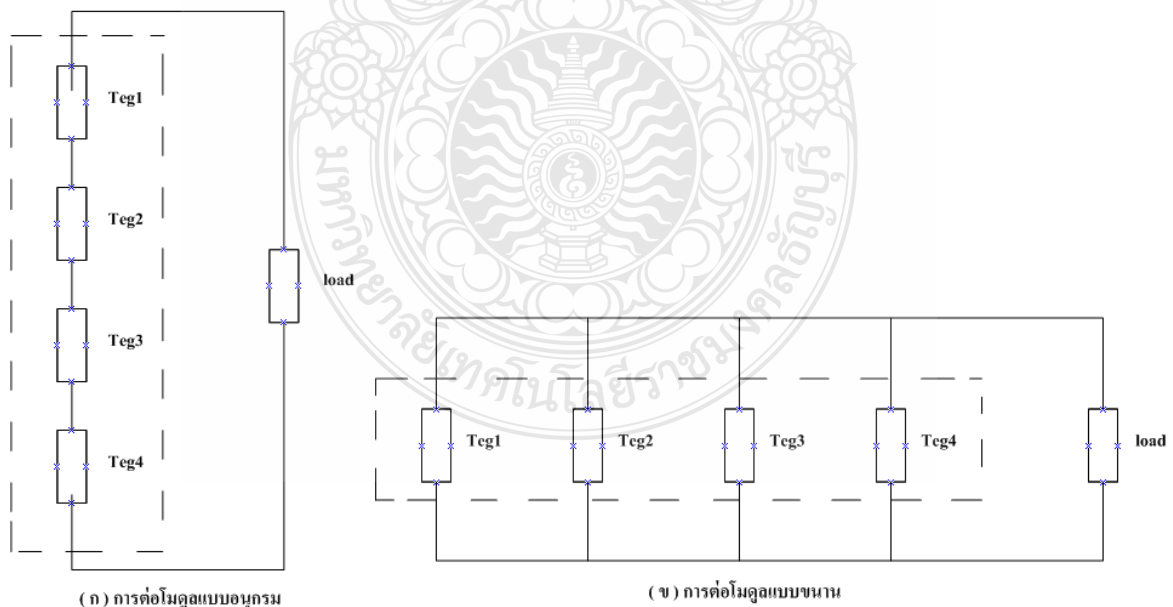
ขั้นตอนที่ 4 ทำการทดสอบแบบจำลองและบันทึกผลการทดสอบแบบจำลอง ปรับปรุงแก้ไขชุดทดสอบการผลิตไฟฟ้าจากความร้อนสูญเสียเปล่าของระบบปรับอากาศแบบแยกส่วนด้วยวิธีการเทอร์โมอิเล็กทริกเพื่อชาร์จแบตเตอรี่ไฟฟ้าสำรองขนาด 6 โวลต์

ขั้นตอนที่ 5 นำผลการทดสอบกับแบบจำลองมาเปรียบเทียบกับผลการทดสอบในสภาพจริง แล้วอธิบายข้อแตกต่างและผลจากการเปรียบเทียบ

ขั้นตอนที่ 6 สรุปผลจากงานวิจัยเล่มนี้

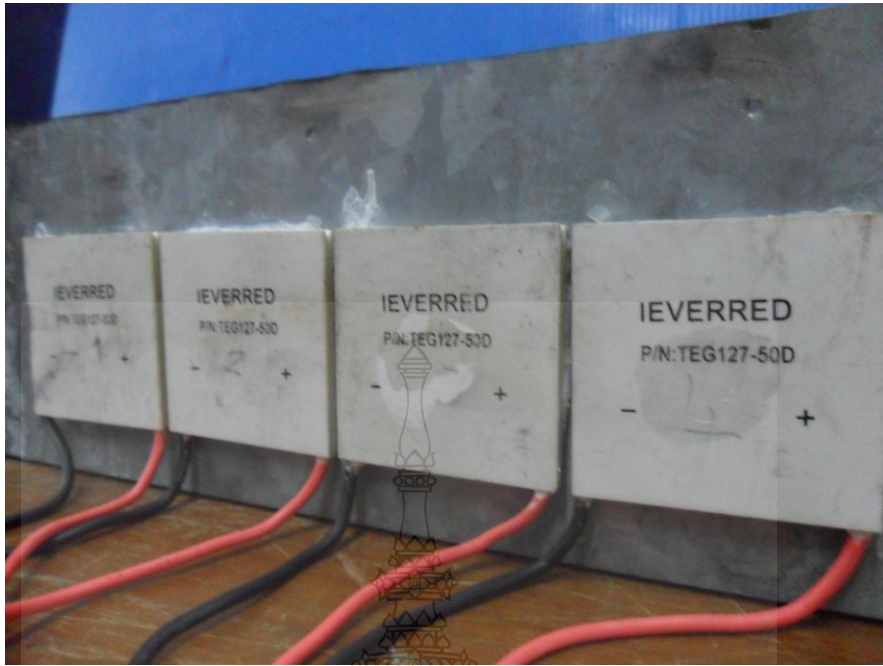
### 3.2 การทดลองคุณสมบัติการต่อร่วมกันของโมดูลเทอร์โมอิเล็กทริก

การเชื่อมต่อ โมดูลเทอร์โมอิเล็กทริกหลายๆ โมดูลให้ทำงานร่วมกันสามารถทำได้ 3 ลักษณะด้วยกันคือ การเชื่อมต่อโมดูลเทอร์โมอิเล็กทริกแบบอนุกรม การเชื่อมต่อโมดูลเทอร์โมอิเล็กทริกแบบขนาน และการเชื่อมต่อโมดูลเทอร์โมอิเล็กทริกแบบผสม จากความไม่สม่ำเสมอในคุณสมบัติของโมดูลเทอร์โมอิเล็กทริกแต่ละโมดูล ทำให้การเชื่อมต่อโมดูลเทอร์โมอิเล็กทริกในแต่ละแบบให้ประสิทธิภาพกำลังไฟฟ้าที่แตกต่างกันออกไป จะมากหรือน้อยขึ้นอยู่กับความแตกต่างในคุณสมบัติของโมดูลเทอร์โมอิเล็กทริกแต่ละ โมดูลที่นำมาเชื่อมต่อกัน



ภาพที่ 3.1 วงจรการต่อโมดูลเทอร์โมอิเล็กทริก





ภาพที่ 3.2 การติดตั้งชุดเทอร์โมอิเล็กทริก โมดูล



ภาพที่ 3.3 ชุดทดสอบการต่อเทอร์โมอิเล็กทริก โมดูลร่วมกัน

ในการทดสอบคุณสมบัติทางไฟฟ้าความร้อน จะใช้เทอร์โมอิเล็กทริกจำนวน 4 โมดูล ประกอบอยู่บนโครงสร้างระบบเดียวกัน โดยยึดติดผนังด้านร้อนของระบบด้วย ฮีทเตอร์ ขนาด 1000 วัตต์ และผนังด้านเย็นของระบบระบายความร้อนออกด้วยน้ำเหลือทิ้งจากเครื่องปรับอากาศจะทำการทดสอบคุณสมบัติความสามารถในการจ่ายกำลังไฟฟ้าของแต่ละโมดูล และทดสอบขีดความสามารถในการจ่ายกำลังไฟฟ้าเมื่อนำมาต่อร่วมกัน ทั้งในลักษณะการขนานและการอนุกรม โดยปรับเปลี่ยนค่าโหลดเพื่อหาค่ากำลังไฟฟ้าสูงสุด

### 3.3 การจำลองการทำงานด้วยโปรแกรม Matlab simulik

สร้างแบบจำลองทางคณิตศาสตร์โมดูลเทอร์โมอิเล็กทริกส์ในโปรแกรม Matlab Simulink เพื่อใช้วิเคราะห์การทำงานเปรียบเทียบกับชุดต้นแบบการผลิตไฟฟ้าจากความร้อนสูญเสียของระบบปรับอากาศด้วยวิธีการเทอร์โมอิเล็กทริก ปรากฏการณ์ซีเบคเป็นปรากฏการณ์ที่มีรากฐานอยู่ที่การผันความร้อนเป็นไฟฟ้า สมการของ Seebeck effect ถ้าเขียนในรูปของความต่างศักย์และค่าความแตกต่างระหว่างอุณหภูมิ จากสมการที่ 2.4 นำมาเขียนสมการจำลองการทำงานของ โมดูลเทอร์โมอิเล็กทริกดัง สมการ 3.1

$$\Delta v = \alpha(\nabla T) \quad (3.1)$$

โดยที่  $\alpha$  คือ ค่าสัมประสิทธิ์ซีเบคในสารกึ่งตัวนำ  $T$  คือฟังก์ชันอุณหภูมิระหว่างผนังของเทอร์โมอิเล็กทริก และเมื่อพิจารณาถึงรายละเอียดที่เกิดขึ้นในสารกึ่งตัวนำทั้งสองขณะใช้งาน[2] พบว่า

$$v = - \left( \frac{\alpha_n \sigma_n + \alpha_p \sigma_p}{\alpha_n + \alpha_p} \right) \Delta T \quad (3.2)$$

และค่าความต้านทานภายในที่เกิดขึ้นในสารกึ่งตัวนำมีค่าเป็นตามสมการ

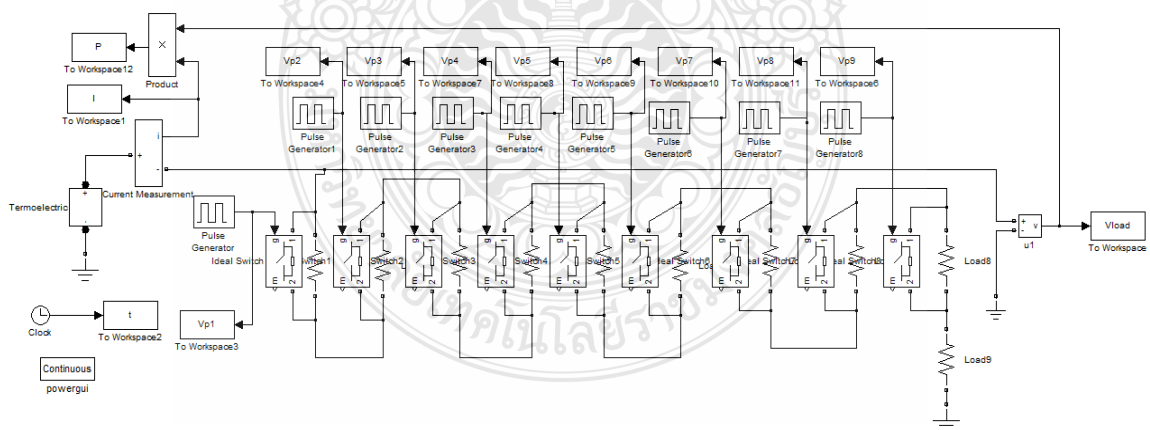
$$r_i = \frac{2a}{(\sigma_n + \sigma_p)} \left( 1 + \frac{\rho_p}{\rho_n} \frac{1}{\xi \operatorname{acth} \xi a + 2\tau S a \xi^2} \right) \quad (3.3)$$

โดยที่  $\xi^{-1} = \sqrt{\frac{2\tau T_0}{e^2 n_0} \frac{\sigma_n \sigma_p}{(\sigma_n + \sigma_p)}}$  เป็น Diffusion ที่เกิดขึ้นในสารกึ่งตัวนำ และ  $\tau = \frac{1}{2\gamma_i n_0}$ , โดยที่  $\gamma_i$

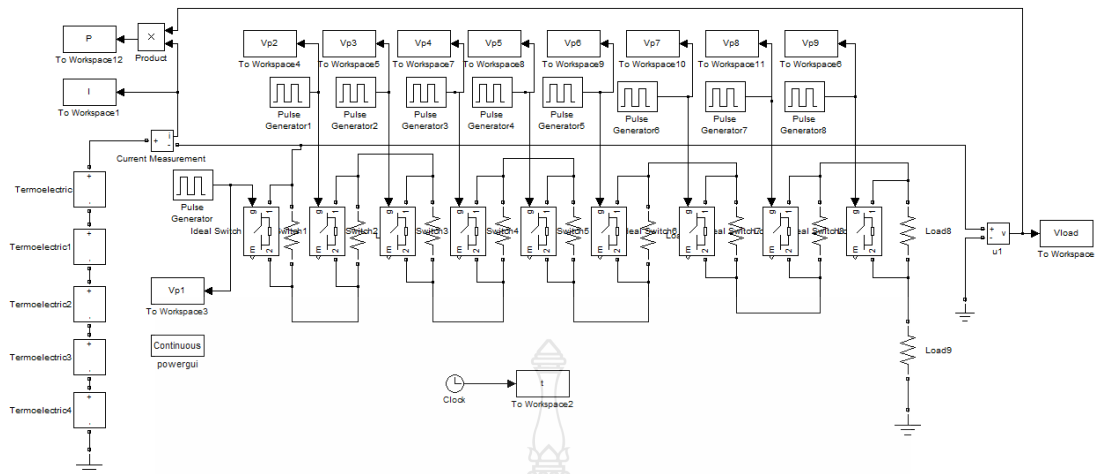
คือ capture coefficient ในสารกึ่งตัวนำ  $n_0, p_0$  คือ ปริมาณพาหะการนำไฟฟ้าในสารชนิด N,P  $\alpha_n, \alpha_p$  คือค่าสัมประสิทธิ์ซีเบคในสารN,P  $\sigma_n = \rho_n \mu_n, \sigma_p = \rho_p \mu_p$  คือสภาพความนำไฟฟ้าของสาร N,P  $\rho_n, \rho_p$  คือความหนาแน่นของพาหะนำไฟฟ้าในสาร N,P  $\mu_n, \mu_p$  คือสภาพความคล่องตัวของพาหะนำไฟฟ้าในสาร N,P และ S คือพื้นที่ผิวที่เกิด Recombination ซึ่งในกรณีที่มีกระแสไหลมาากๆ แล้ว ( $S \rightarrow \infty$ ), ( $\tau \rightarrow 0$ ) ค่าความต้านทานของสารกึ่งตัวนำจะลดรูปเป็นดังสมการ

$$r_i = \frac{2a}{\sigma_n + \sigma_p} \quad (3.4)$$

ความไม่สม่ำเสมอในกระบวนการผลิตในแต่ละช่วงเวลาของการผลิตจะส่งผลให้เกิดปริมาณพาหะการนำไฟฟ้าในสารกึ่งตัวนำที่แตกต่างกัน ซึ่งผลดังกล่าวนี้ทำให้สัถยภาพในการผลิตไฟฟ้าและค่าความต้านทานภายในของโมดูลเทอร์โมอิเล็กทริกเปลี่ยนแปลงไปจากเดิม และเมื่อนำโมดูลเทอร์โมอิเล็กทริกหลายๆ โมดูลมาเชื่อมต่อกัน ความแตกต่างเหล่านี้จะส่งผลถึงการด้อยประสิทธิภาพลงในการจ่ายกำลังไฟฟ้าของเทอร์โมอิเล็กทริกโดยรวม

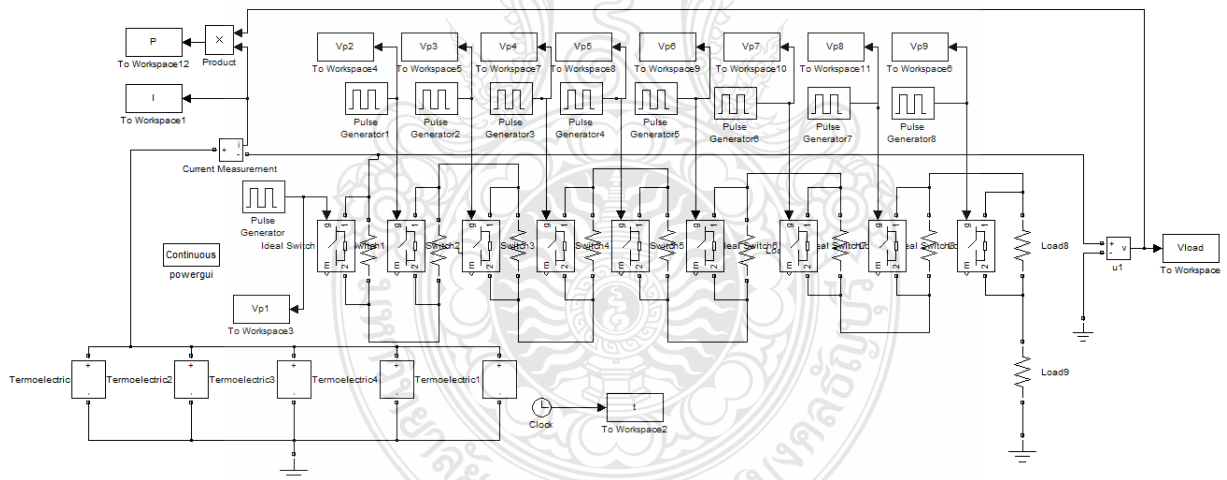


ภาพที่ 3.4 จำลองการทำงานของเทอร์โมอิเล็กทริกส์โดยใช้โปรแกรม Matlab Simulink

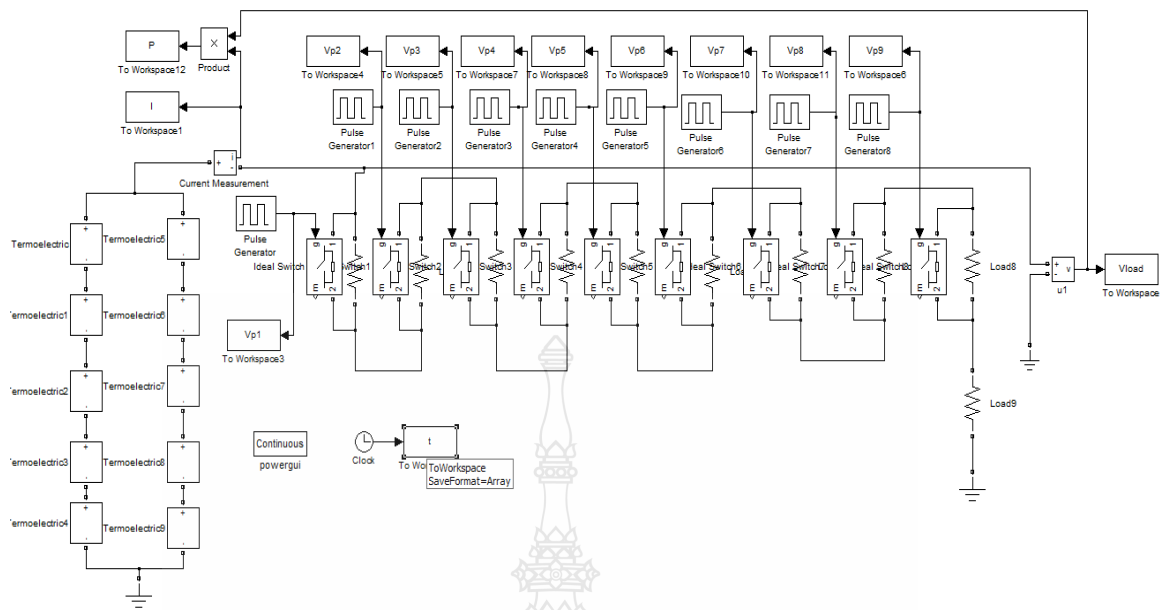


ภาพที่ 3.5 จำลองการทำงานการต่ออนุกรมกันของเทอร์โมอิเล็กทริกส์โดยใช้โปรแกรม Matlab

Simulink



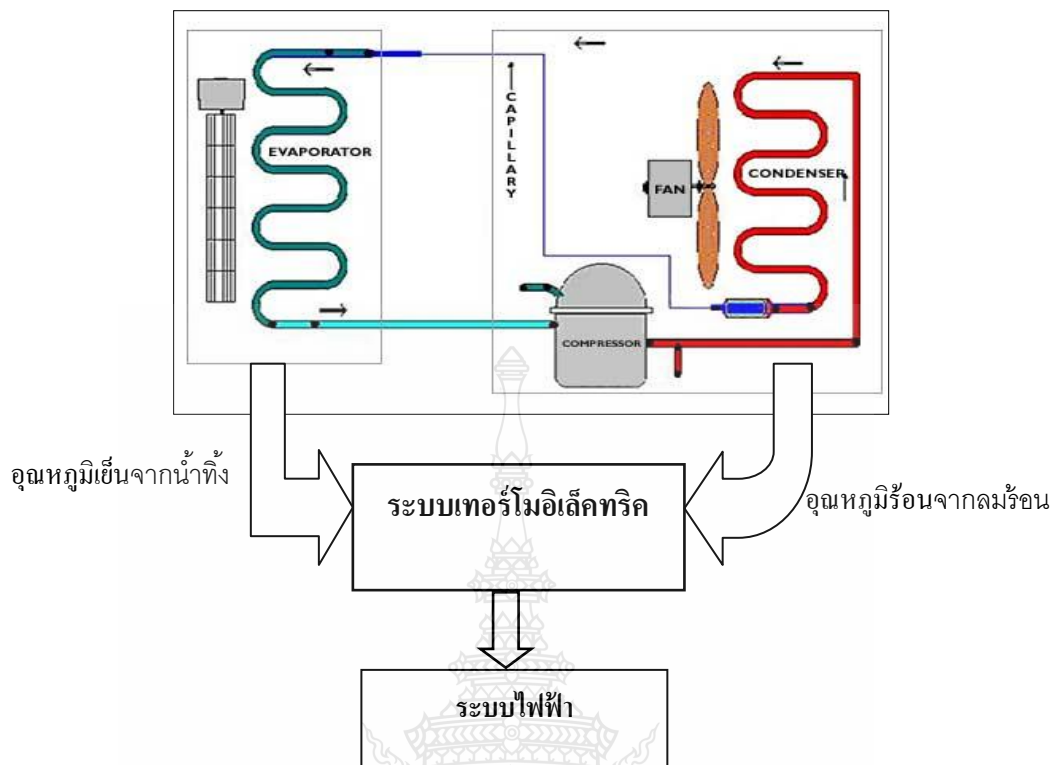
ภาพที่ 3.6 จำลองการทำงานการต่อขนานกันของเทอร์โมอิเล็กทริกส์โดยใช้โปรแกรม Matlab Simulink



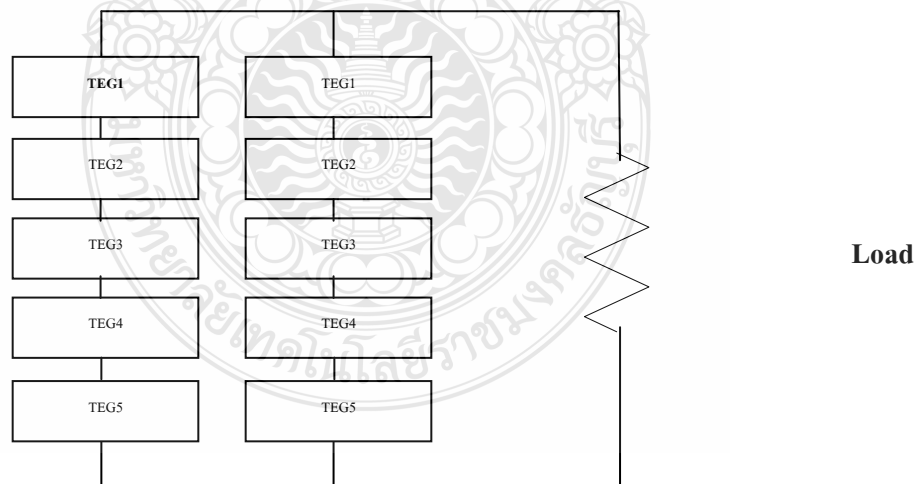
ภาพที่ 3.7 จำลองการทำงานการต่ออนุกรมและขนานกันของเทอร์โมอิเล็กทริกส์โดยใช้โปรแกรม Matlab Simulink

### 3.4 สร้างชุดต้นแบบการผลิตไฟฟ้าจากความร้อนสูญเสียเปล่าของระบบปรับอากาศด้วยวิธีการเทอร์โมอิเล็กทริก

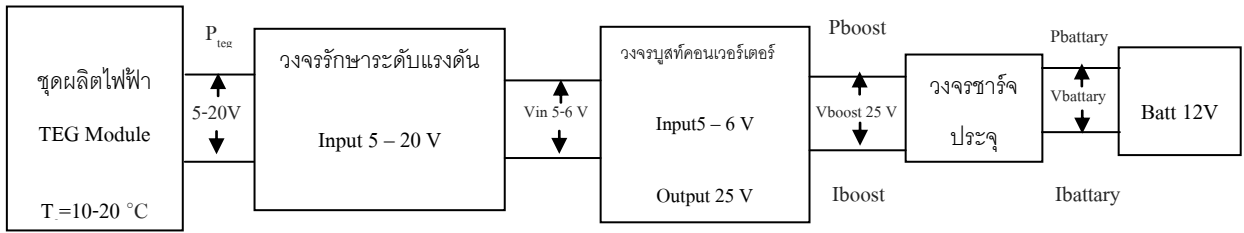
เทอร์โมอิเล็กทริกเป็นอุปกรณ์ที่ทำมาจากสารกึ่งตัวนำ สมบัติพิเศษของวัสดุที่สามารถผันความร้อนเป็นไฟฟ้า และสามารถผันไฟฟ้าเป็นความเย็น การต่อวงจรแบบอนุกรมจะให้ความต่างศักย์ไฟฟ้าเพิ่มขึ้น และการต่อวงจรแบบขนานจะทำให้กระแสไฟฟ้าที่ผลิตได้เพิ่มขึ้น[1,2,3] ในการวิจัยครั้งนี้จึงได้นำชุดเทอร์โมอิเล็กทริกมาต่ออนุกรมและขนานกัน 10 โมดูลดังแสดงในภาพที่ 3.9 เพื่อเพิ่มประสิทธิภาพการผลิตพลังงานไฟฟ้า



ภาพที่ 3.8 ระบบต้นแบบผลิตไฟฟ้าที่นำเสนอ

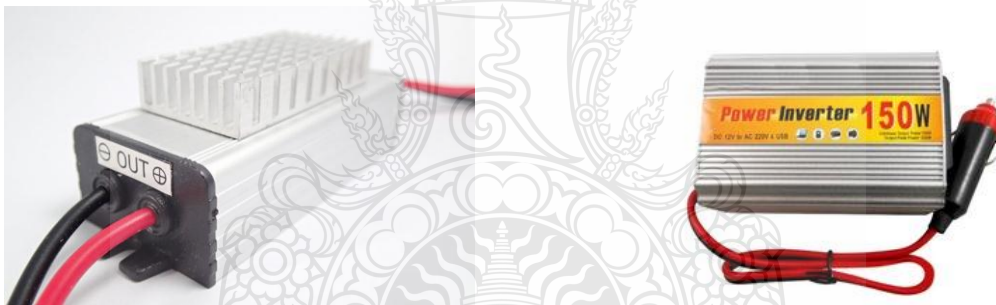


ภาพที่ 3.9 การต่อโมดูลเทอร์โมอิเล็กทริกเจเนอเรเตอร์



ภาพที่ 3.10 ชุดอัดประจุไฟฟ้าด้วยเทอร์โมอิเล็กทริกเจเนอเรเตอร์

ภาพที่ 3.10 แสดงส่วนประกอบโครงสร้างของชุดอัดประจุไฟฟ้าด้วยเทอร์โมอิเล็กทริกเจเนอเรเตอร์ โดยทำการเลือกอุปกรณ์ที่สามารถหาซื้อได้มาทำการประกอบเป็นชุดอัดประจุไฟฟ้าดังแสดงในภาพที่ 3.11 ก.เป็นอุปกรณ์ที่ทำหน้าที่รีขาระดับแรงดันและยกระดับแรงดันให้สูงขึ้นเพื่อให้มีความสามารถในการชาร์จประจุให้กับแบตเตอรี่ ในภาพที่ 3.11 ข.เป็นอุปกรณ์ที่ทำหน้าที่แปลงแรงดันไฟฟ้าที่ได้จากชุดผลิตไฟฟ้าโมดูลเทอร์โมอิเล็กทริกให้เป็นแรงดันไฟฟ้ากระแสสลับและในภาพที่ 3.11 ค.เป็นชุดไฟฟ้กุกเงินที่ใช้ในการประจุแบตเตอรี่ที่ได้จากชุดอัดประจุไฟฟ้า



(ก) โมดูลเพิ่มแรงดัน DC Boost Converter

(ข) อินเวอร์เตอร์ขนาด 150 วัตต์



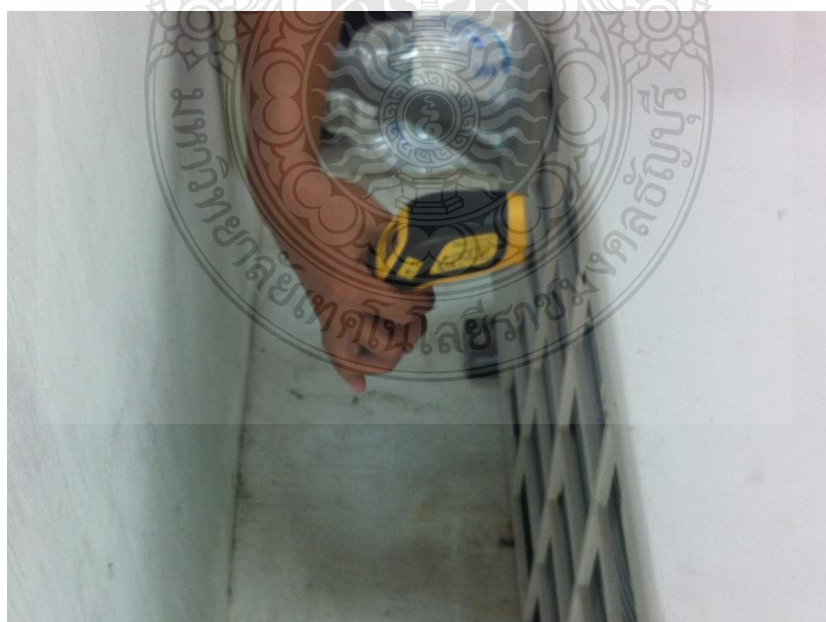
(ค) ชุดไฟฟ้กุกเงินแรงดันขนาด 12 โวลท์

ภาพที่ 3.11 (ก) โมดูลเพิ่มแรงดัน DC Boost Converter รุ่น Low Voltage Boost (ข) อินเวอร์เตอร์ DC to AC ขนาด 150 วัตต์ และ (ค) ชุดไฟฟ้กุกเงินแรงดันขนาด 12 โวลท์

3.4.1 ตรวจสอบอุณหภูมิทางด้านคอนเดนเซอร์เพื่อหาจุดติดตั้งชุดต้นแบบการผลิตไฟฟ้า  
ทำการทดสอบอุณหภูมิด้านคอนเดนเซอร์ของเครื่องปรับอากาศ วิเคราะห์หาตำแหน่งที่  
เหมาะสมในการติดตั้งชุดต้นแบบผลิตไฟฟ้าจากพลังงานสุญญเปล่า



ภาพที่ 3.12 ตรวจสอบอุณหภูมิด้านหน้าชุดคอนเดนเซอร์ของเครื่องปรับอากาศ



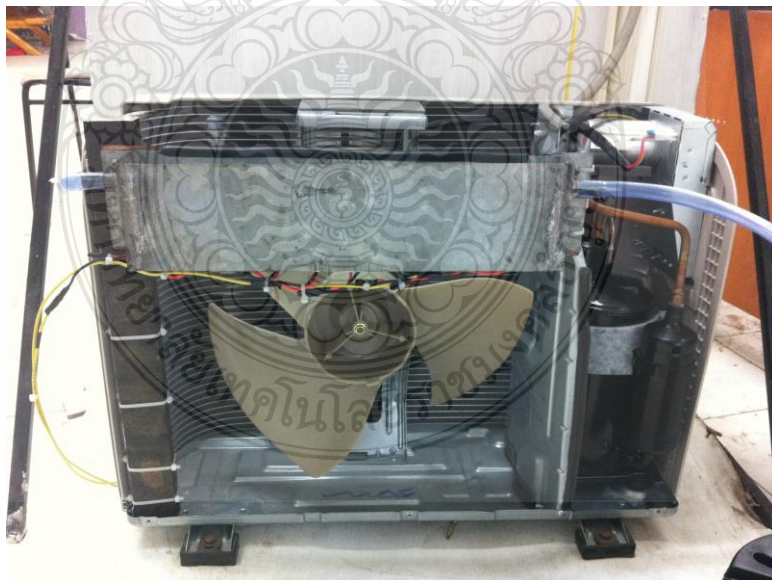
ภาพที่ 3.13 ตรวจสอบอุณหภูมิด้านหลังชุดคอนเดนเซอร์ของเครื่องปรับอากาศ



3.4.2 ดำเนินการติดตั้งชุดผลิตไฟฟ้าด้วยโมดูลเทอร์โมอิเล็กทริกด้านหน้าชุดคอนเดนเซอร์ของเครื่องปรับอากาศ



ภาพที่ 3.14 ติดตั้งชุดผลิตไฟฟ้าด้วยโมดูลเทอร์โมอิเล็กทริกด้านหน้าชุดคอนเดนเซอร์ของเครื่องปรับอากาศ



ภาพที่ 3.15 ติดตั้งชุดผลิตไฟฟ้าด้วยโมดูลเทอร์โมอิเล็กทริกด้านหน้าชุดคอนเดนเซอร์ของเครื่องปรับอากาศ

### 3.4.3 ติดตั้งอุปกรณ์ชุดผลิตไฟฟ้าด้วยเทอร์โมอิเล็กทริก



ภาพที่ 3.16 ติดตั้งอุปกรณ์ชุดผลิตไฟฟ้าด้วยโมดูลเทอร์โมอิเล็กทริก



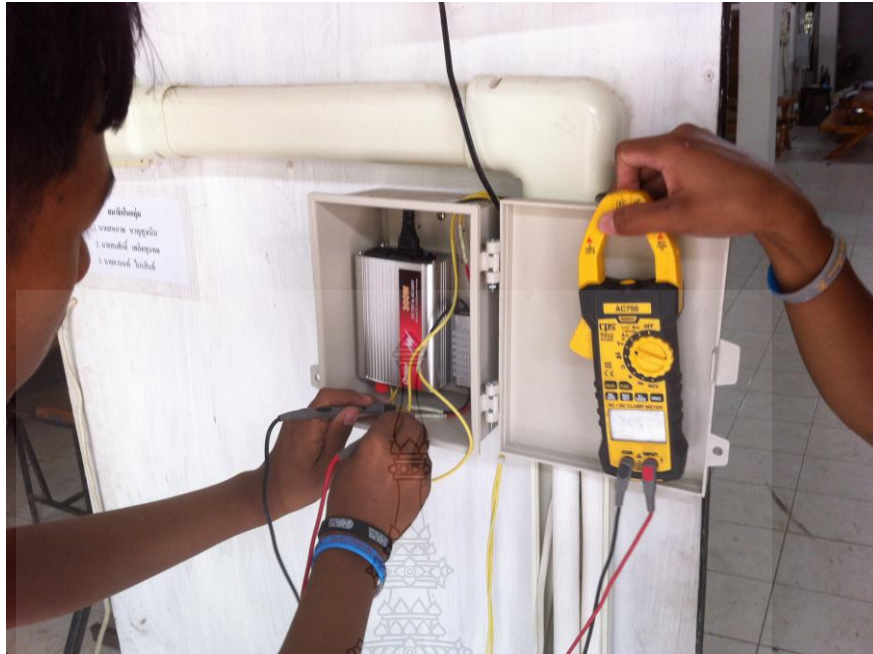
ภาพที่ 3.17 ติดตั้งอุปกรณ์ควบคุมชุดผลิตไฟฟ้าด้วยโมดูลเทอร์โมอิเล็กทริก



ภาพที่ 3.18 เดินสายไฟฟ้าอุปกรณ์ควบคุมชุดผลิตไฟฟ้าด้วยโมดูลเทอร์โมอิเล็กทริก



ภาพที่ 3.19 ทดสอบการติดตั้งอุปกรณ์ควบคุมชุดผลิตไฟฟ้าด้วยโมดูลเทอร์โมอิเล็กทริก

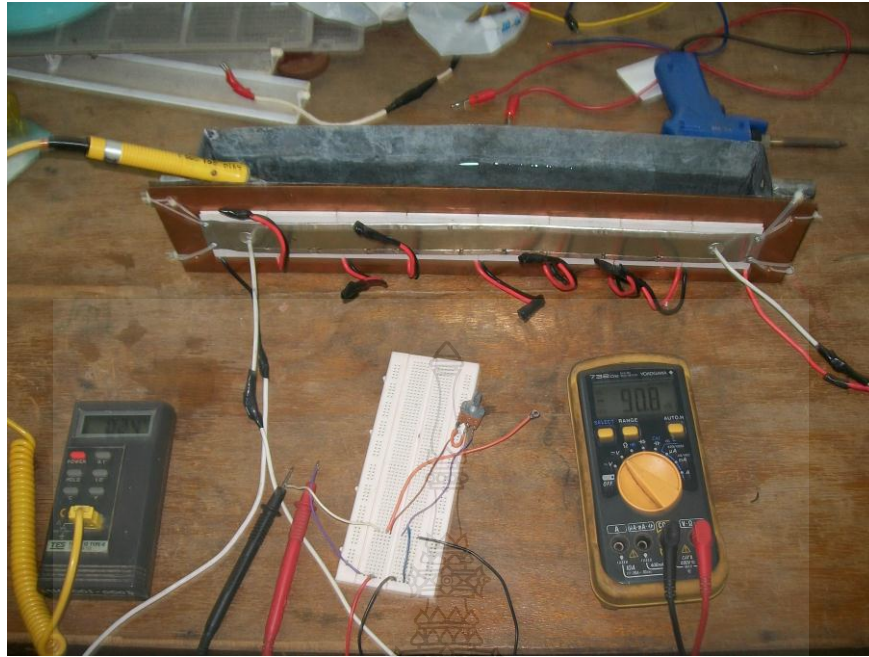


ภาพที่ 3.20 ทดสอบการติดตั้งอุปกรณ์ควบคุมชุดผลิตไฟฟ้าด้วยโมดูลเทอร์โมอิเล็กทริกเพื่อตรวจสอบหาจุดบกพร่องของชุดผลิตไฟฟ้า

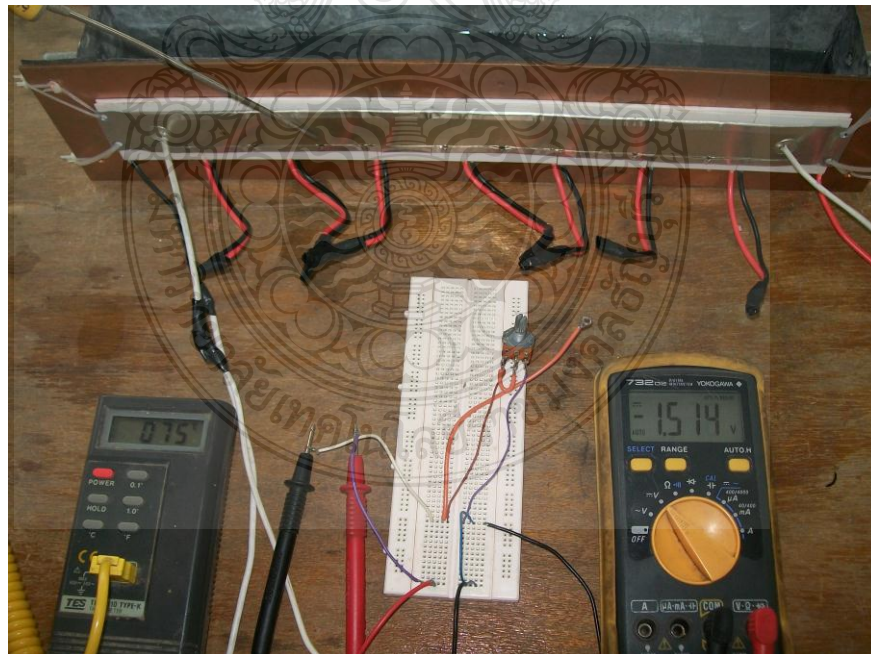
จากภาพที่ 3.12 – 3.20 แสดงขั้นตอนการติดตั้งชุดผลิตไฟฟ้าด้วยโมดูลเทอร์โมอิเล็กทริก รวมไปถึงขั้นตอนการตรวจสอบหาจุดบกพร่องในการติดตั้งเพื่อทำการแก้ไขให้พร้อมสำหรับการทดลองผลิตไฟฟ้าจากความร้อนสูญเปล่าของระบบปรับอากาศด้วยวิธีการเทอร์โมอิเล็กทริกของเครื่องปรับอากาศแบบแยกส่วน

#### 3.4.4 ทดลองและเก็บข้อมูลผลการทดลองผลิตไฟฟ้าด้วยโมดูลเทอร์โมอิเล็กทริก

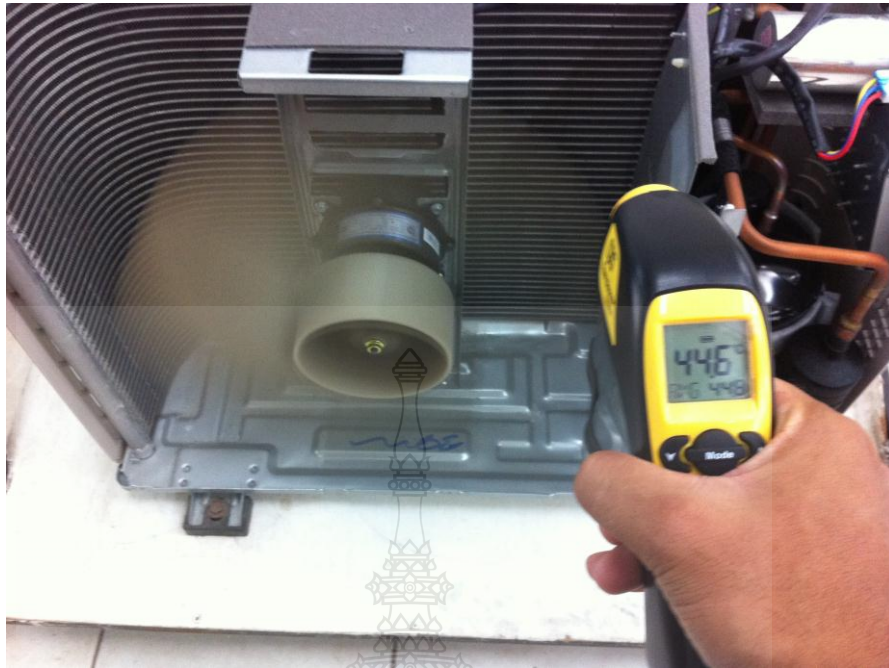
ในการทดสอบคุณสมบัติทางไฟฟ้าความร้อน จะใช้เทอร์โมอิเล็กทริกจำนวน 4 โมดูล ประกอบอยู่บนโครงสร้างระบบเดียวกัน โดยยึดติดผนังด้านร้อนของระบบด้วยฮีตเตอร์ ขนาด 1000 วัตต์ และผนังด้านเย็นของระบบระบายความร้อนออกด้วยน้ำเหลือทิ้งจากเครื่องปรับอากาศ ดังแสดงในภาพที่ 3.20 โดยในการทดลองจะทำการทดสอบคุณสมบัติความสามารถในการจ่ายกำลังไฟฟ้าของแต่ละโมดูล และทดสอบขีดความสามารถในการจ่ายกำลังไฟฟ้าเมื่อนำมาต่อรวมกัน ทั้งในลักษณะการขนานและการอนุกรม โดยปรับเปลี่ยนค่าโหลดเพื่อหาค่ากำลังไฟฟ้าสูงสุด



ภาพที่ 3.21 การทดสอบคุณสมบัติทางไฟฟ้าความร้อนของชุดเทอร์โมอิเล็กทริก



ภาพที่ 3.22 บันทึกและเก็บข้อมูลการทดสอบคุณสมบัติทางไฟฟ้าความร้อนของชุดเทอร์โมอิเล็กทริก



ภาพที่ 3.23 บันทึกและเก็บข้อมูลการทดสอบอุณหภูมิชุดคอนเดนเซอร์เครื่องปรับอากาศแบบแยกส่วนขณะที่เครื่องปรับอากาศทำงาน



ภาพที่ 3.24 บันทึกและเก็บข้อมูลการทดสอบอุณหภูมิชุดคอนเดนเซอร์เครื่องปรับอากาศแบบแยกส่วนขณะที่เครื่องปรับอากาศทำงาน



ภาพที่ 3.25 บันทึกและเก็บข้อมูลการผลิตไฟฟ้าชุดสาธิตขณะที่เครื่องปรับอากาศทำงาน

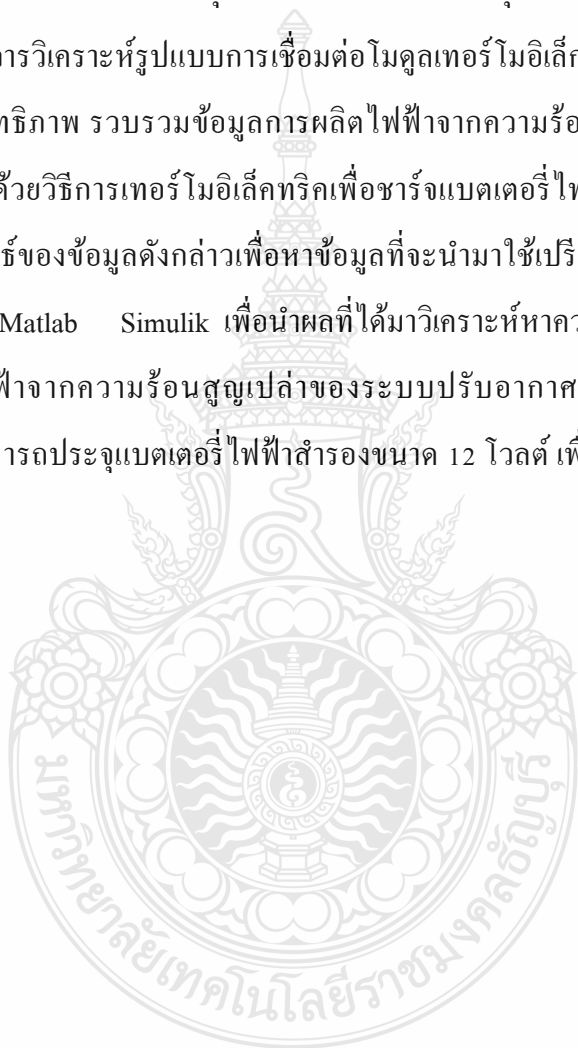


ภาพที่ 3.26 แสดงการผลิตไฟฟ้าเพื่อชาร์จประจุแบตเตอรี่ไฟฟ้านูกเงินของชุดสาธิตขณะที่เครื่องปรับอากาศทำงาน

จากภาพที่ 3.21 – 3.26 แสดงขั้นตอนการบันทึกข้อมูลชุดผลิตไฟฟ้าด้วยโมดูลเทอร์โมอิเล็กทริก เพื่อทำการแก้ไขให้พร้อมสำหรับการทดลองผลิตไฟฟ้าจากความร้อนสูญเสียเปล่าของระบบปรับอากาศ ด้วยวิธีการเทอร์โมอิเล็กทริกของเครื่องปรับอากาศแบบแยกส่วน

### 3.5 สรุป

วิธีการดำเนินงานวิจัยเริ่มจากศึกษาคุณสมบัติการทำงานของชุดผลิตไฟฟ้าด้วยโมดูลเทอร์โมอิเล็กทริกแต่ละโมดูล การวิเคราะห์รูปแบบการเชื่อมต่อ โมดูลเทอร์โมอิเล็กทริกหลายโมดูลให้ทำงานร่วมกันอย่างมีประสิทธิภาพ รวบรวมข้อมูลการผลิตไฟฟ้าจากความร้อนสูญเสียเปล่าของระบบปรับอากาศแบบแยกส่วนด้วยวิธีการเทอร์โมอิเล็กทริกเพื่อชาร์จแบตเตอรี่ไฟฟ้าสำรองขนาด 12 โวลต์ วิเคราะห์ความสัมพันธ์ของข้อมูลดังกล่าวเพื่อหาข้อมูลที่จะนำมาใช้เปรียบเทียบกับผลการจำลองการทำงานด้วยโปรแกรม Matlab Simulink เพื่อนำผลที่ได้มาวิเคราะห์หาความสัมพันธ์ในการสร้างชุดต้นแบบการผลิตไฟฟ้าจากความร้อนสูญเสียเปล่าของระบบปรับอากาศแบบแยกส่วนด้วยวิธีการเทอร์โมอิเล็กทริกสามารถประจุแบตเตอรี่ไฟฟ้าสำรองขนาด 12 โวลต์ เพื่อใช้ในการพัฒนาการผลิตไฟฟ้าต่อไป





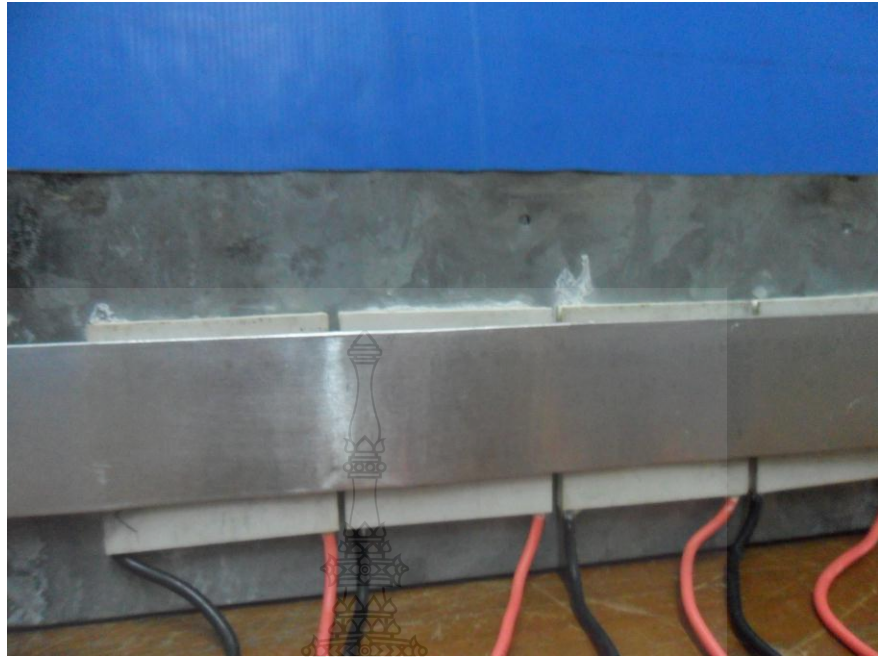
## บทที่ 4

### ผลการทดลอง

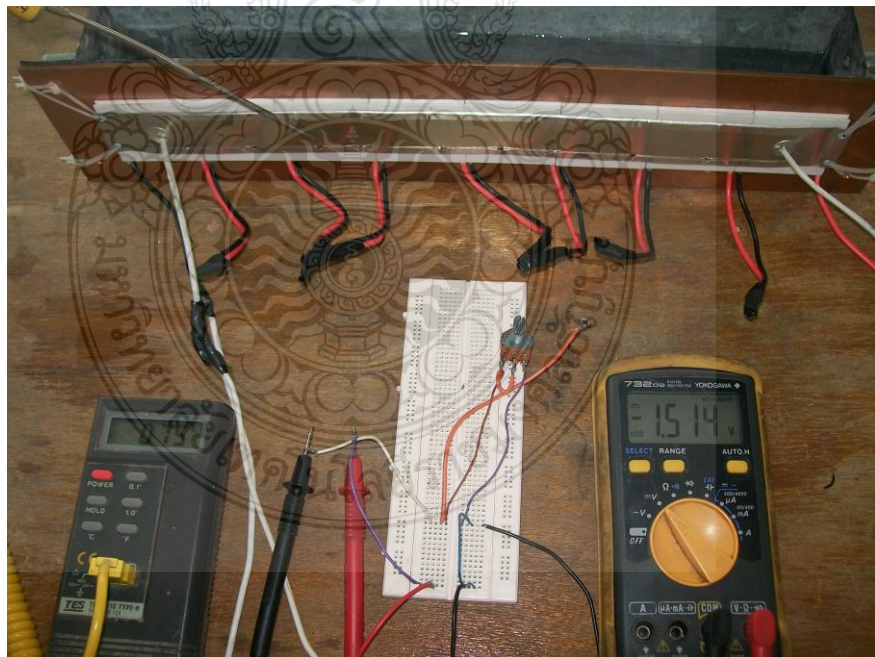
เนื้อหาในบทนี้จะประกอบไปด้วยการวิเคราะห์การเชื่อมต่อโมดูลเทอร์โมอิเล็กทริกหลายโมดูลให้ทำงานร่วมกันอย่างมีประสิทธิภาพ โดยทำการศึกษาคุณสมบัติการทำงานของโมดูลเทอร์โมอิเล็กทริกแต่ละโมดูล ทำการปรับเปลี่ยนค่าโหลดเพื่อทดสอบหาค่ากำลังไฟฟ้าสูงสุด นำโมดูลเทอร์โมอิเล็กทริกมาต่อร่วมกันในลักษณะขนานและอนุกรมและจำลองการทำงานของระบบโดยใช้โปรแกรม Matlab Simulink เพื่อนำผลที่ได้เปรียบเทียบกับผลที่ได้จากการจำลองระบบ และศึกษาการผลิตไฟฟ้าที่มีอุณหภูมิต่ำกว่า 100 องศาเซลเซียสจากความร้อนสูญเสียของเครื่องปรับอากาศด้วยอุปกรณ์เทอร์โมอิเล็กทริกโมดูล TEG 12750D ตามปรากฏการณ์ซีเบค นำพลังงานที่ได้ไปอัดประจุแบตเตอรี่ไฟฟ้าฉุกเฉินขนาด 12 โวลต์ด้วยแรงดันคงที่ 15 โวลต์

#### 4.1 การทดลองต่อร่วมกันของโมดูลเทอร์โมอิเล็กทริก

ในการทดสอบคุณสมบัติทางไฟฟ้าความร้อน จะใช้เทอร์โมอิเล็กทริกจำนวน 4 โมดูล ประกอบอยู่บนโครงสร้างระบบเดียวกัน โดยยึดติดผนังด้านร้อนของระบบด้วยฮีตเตอร์ ขนาด 1000 วัตต์ และผนังด้านเย็นของระบบระบายความร้อนออกด้วยน้ำเหลือทิ้งจากเครื่องปรับอากาศ ดังแสดงในภาพที่ 4.1 โดยในการทดลองจะทำการทดสอบคุณสมบัติความสามารถในการจ่ายกำลังไฟฟ้าของแต่ละโมดูล และทดสอบขีดความสามารถในการจ่ายกำลังไฟฟ้าเมื่อนำมาต่อร่วมกัน ทั้งในลักษณะการขนานและการอนุกรม โดยปรับเปลี่ยนค่าโหลดเพื่อหาค่ากำลังไฟฟ้าสูงสุด



ภาพที่ 4.1 ชุดทดสอบการต่อเทอร์โมอิเล็กทริก โมดูลร่วมกัน



ภาพที่ 4.2 การวัดค่าการต่อโมดูลเทอร์โมอิเล็กทริก

#### 4.1.1 คุณสมบัติของแต่ละโมดูล

จากข้อสมมุติฐานดังที่กล่าวข้างต้นจำเป็นต้องเก็บข้อมูลรายละเอียดคุณสมบัติของแต่ละโมดูลไว้เพื่ออ้างอิงในการวิเคราะห์ ได้ผลการทดสอบในตารางที่ 4.1 – 4.4

ตารางที่ 4.1 คุณสมบัติของโมดูลที่1 (ริมซ้าย) ที่  $T_h=190\text{ }^{\circ}\text{C}$  ,  $T_c=10\text{ }^{\circ}\text{C}$

โหลด ( $\Omega$ )	40	50	60	70	80	90	100
กระแส (mA)	13.20	9.52	8.89	8.28	7.78	6.82	6.07
แรงดัน (V)	1.06	1.08	0.71	1.09	1.04	0.98	1.08
กำลังไฟฟ้า(mW)	13.99	10.28	6.31	9.03	8.09	6.68	6.56

ตารางที่ 4.2 คุณสมบัติของโมดูลที่2 (ตัวที่ 2 จากซ้าย) ที่  $T_h=190\text{ }^{\circ}\text{C}$  ,  $T_c=10\text{ }^{\circ}\text{C}$

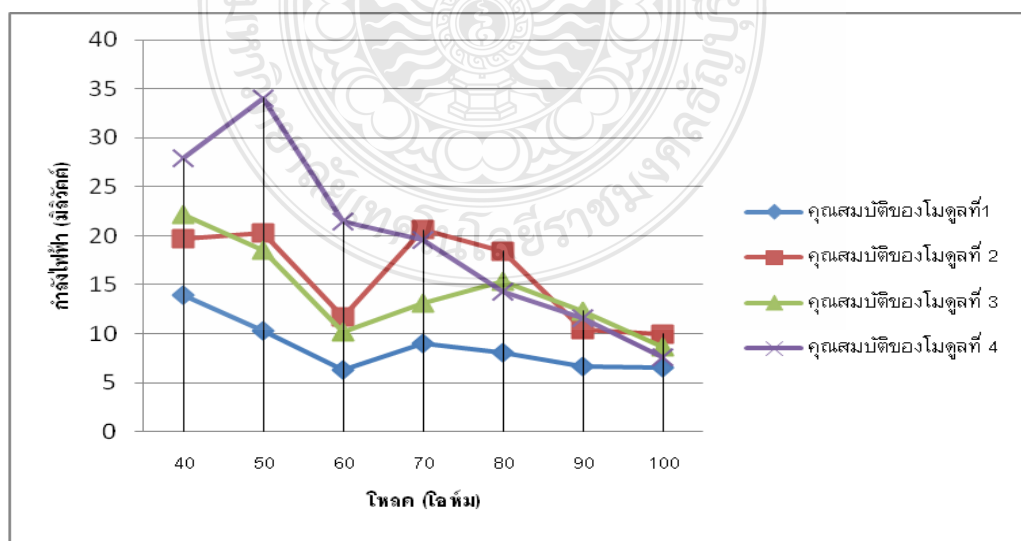
โหลด ( $\Omega$ )	40	50	60	70	80	90	100
กระแส (mA)	23.50	19.36	15.64	14.92	12.98	10.58	8.10
แรงดัน (V)	0.84	1.05	0.75	1.38	1.42	0.98	1.23
กำลังไฟฟ้า(mW)	19.74	20.33	11.73	20.59	18.43	10.37	9.96

ตารางที่ 4.3 คุณสมบัติของโมดูลที่2 (ตัวที่ 3 จากซ้าย) ที่  $T_h=190\text{ }^{\circ}\text{C}$  ,  $T_c=10\text{ }^{\circ}\text{C}$

โหลด ( $\Omega$ )	40	50	60	70	80	90	100
กระแส (mA)	23.08	18.46	15.98	13.68	11.63	10.02	7.67
แรงดัน (V)	0.96	1.00	0.64	0.96	1.32	1.23	1.13
กำลังไฟฟ้า(mW)	22.16	18.46	10.23	13.13	15.35	12.32	8.67

ตารางที่ 4.4 คุณสมบัติของโมดูลที่2 (ตัวริมขวา) ที่  $T_h=190\text{ }^{\circ}\text{C}$  ,  $T_c=10\text{ }^{\circ}\text{C}$

โหลด ( $\Omega$ )	40	50	60	70	80	90	100
กระแส (mA)	23.26	21.98	17.86	14.57	10.53	9.07	6.43
แรงดัน (V)	1.20	1.55	1.20	1.34	1.36	1.28	1.18
กำลังไฟฟ้า(mW)	27.91	34.07	21.43	19.52	14.32	11.61	7.59



ภาพที่ 4.3 กราฟคุณสมบัติของโมดูล

จากการทดลองโมดูลเทอร์โมอิเล็กทริกแต่ละ โมดูลจะเห็นว่าภายใต้การรับความร้อนอุณหภูมิเดียวกัน เมื่อเราทำการเพิ่มโหลด จะส่งผลให้กำลังไฟฟ้าที่ได้จากการทดลองมีค่าลดลง เนื่องด้วยความไม่สม่ำเสมอในกระบวนการผลิตในแต่ละช่วงเวลาของการผลิตจะส่งผลให้เกิดปริมาณพาหะการนำไฟฟ้าในสารกึ่งตัวนำที่แตกต่างกัน ทำให้ศักยภาพในการผลิตไฟฟ้าและค่าความต้านทานภายในของเทอร์โมอิเล็กทริกเปลี่ยนแปลงไปจากเดิมส่งผลถึงการด้อยประสิทธิภาพลงในการจ่ายกำลังไฟฟ้าของเทอร์โมอิเล็กทริกโดยรวม โมดูลที่ 4 ให้กำลังไฟฟ้าออกได้ดีที่สุด ขณะที่โมดูลที่ 2 และ 3 ให้กำลังไฟฟ้าที่มีค่าใกล้เคียงกัน ส่วนโมดูลที่ 1 จะให้กำลังไฟฟ้าได้ต่ำที่สุด จากภาพที่ 4.3 ผลที่ได้นี้เกิดจากการทดสอบคุณสมบัติโมดูลเทอร์โมอิเล็กทริกแต่ละ โมดูล ค่ากำลังไฟฟ้าจริงที่วัดได้มีค่าที่ใกล้เคียงกัน

#### 4.1.2 การอนุกรมกันของโมดูลเทอร์โมอิเล็กทริก

เมื่อนำโมดูลเทอร์โมอิเล็กทริกแต่ละ โมดูล มาต่อรวมกันแบบอนุกรมโดยเพิ่มจำนวนโมดูลเชื่อมต่อที่ละโมดูล จากการทดลองตามตารางที่ 4.5 – 4.7 ตามลำดับค่าแรงดันที่ได้เพิ่มขึ้นกระแสไฟฟ้ามี่ค่าคงที่เป็นผลให้ค่ากำลังไฟฟ้าที่จ่ายออกมาจะมีค่าเพิ่มขึ้น เมื่อปรับเปลี่ยนค่าโหลดเพิ่มขึ้นทำให้ค่ากระแสไฟฟ้าลดลง โดยที่ค่าแรงดันคงที่ ค่ากำลังไฟฟ้าที่จ่ายออกมาจะมีค่าลดลง เนื่องจากความไม่สม่ำเสมอของแต่ละโมดูลทำให้ประสิทธิภาพในการจ่ายกำลังไฟฟ้าของโมดูลเทอร์โมอิเล็กทริกโดยรวมลดลง

ตารางที่ 4.5 ผลการอนุกรมโมดูลที่ 1 และ 2 ( $T_h=190\text{ }^{\circ}\text{C}$ ,  $T_c=10\text{ }^{\circ}\text{C}$ )

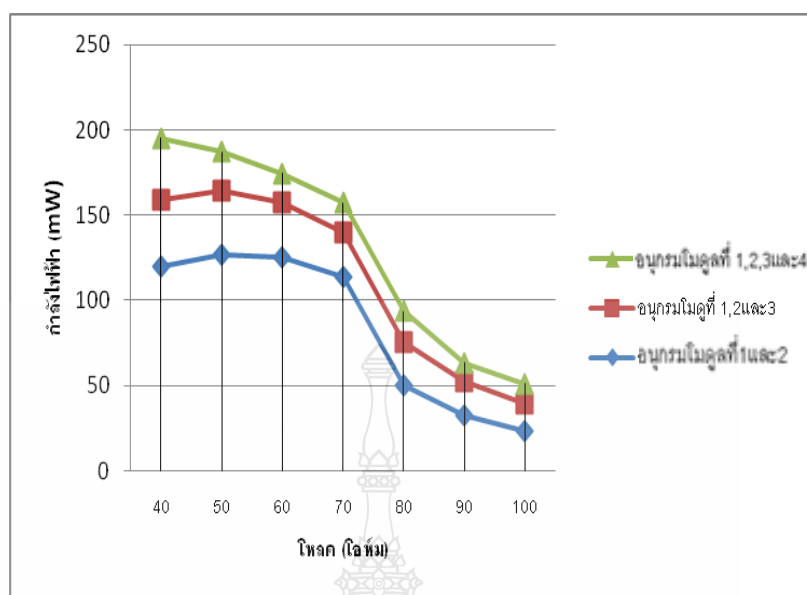
โหลด ( $\Omega$ )	40	50	60	70	80	90	100
กระแส (mA)	34.33	22.96	14.78	14.89	10.26	10.08	9.82
แรงดัน (V)	1.06	0.98	1.14	1.16	1.78	1.11	1.17
กำลังไฟฟ้า(mW)	36.39	22.50	16.85	17.27	18.26	11.19	11.49

ตารางที่ 4.6 ผลการอนุกรมโมดูลที่ 1,2 และ 3 ( $T_h=190\text{ }^\circ\text{C}$ ,  $T_c=10\text{ }^\circ\text{C}$ )

โหลด ( $\Omega$ )	40	50	60	70	80	90	100
กระแส (mA)	33.68	24.35	23.42	21.02	20.81	18.12	17.61
แรงดัน (V)	1.14	1.56	1.38	1.27	1.21	1.10	0.90
กำลังไฟฟ้า(mW)	38.40	37.99	32.32	26.70	25.18	19.93	15.85

ตารางที่ 4.7 ผลการอนุกรมโมดูลที่ 1,2,3 และ 4 ( $T_h=190\text{ }^\circ\text{C}$ ,  $T_c=10\text{ }^\circ\text{C}$ )

โหลด ( $\Omega$ )	40	50	60	70	80	90	100
กระแส (mA)	54.4	46.7	44.0	37.2	18.86	17.84	14.46
แรงดัน (V)	2.21	2.71	2.85	3.05	2.67	1.82	1.64
กำลังไฟฟ้า (mW)	120.22	126.56	125.40	113.46	50.36	32.47	23.71



ภาพที่ 4.4 กราฟของค่ากำลังไฟฟ้าเทียบกับ โหลดในการเชื่อมต่อโมดูลแบบอนุกรม

#### 4.1.3 การขนานของ โมดูลเทอร์ โมอิล็กทริก

เมื่อนำโมดูลเทอร์โมอิล็กทริกแต่ละโมดูล มาต่อร่วมกันแบบขนานโดยเพิ่มจำนวนโมดูลเชื่อมต่อทีละโมดูล จากการทดลองตามตารางที่ 4.8 – 4.10 ตามลำดับค่าแรงดันที่ได้คงที่ กระแสไฟฟ้ามีค่าเพิ่มขึ้นเป็นผลให้ค่ากำลังไฟฟ้าที่จ่ายออกมาจะมีค่าเพิ่มขึ้น เมื่อปรับเปลี่ยนค่าโหลดเพิ่มขึ้นทำให้ค่ากระแสไฟฟ้าคงที่ โดยที่ค่าแรงดันลดลง ค่ากำลังไฟฟ้าที่จ่ายออกมาจะมีค่าลดลง เนื่องจากความไม่สม่ำเสมอของแต่ละโมดูลทำให้ประสิทธิภาพในการจ่ายกำลังไฟฟ้าของโมดูลเทอร์โมอิล็กทริกโดยรวมลดลงตามที่ได้กล่าวไว้ข้างต้น ตารางที่ 4.8 ผลการขนาน โมดูลที่ 1 และ 2 ( $T_h=190\text{ }^{\circ}\text{C}$ ,  $T_c=10\text{ }^{\circ}\text{C}$ )

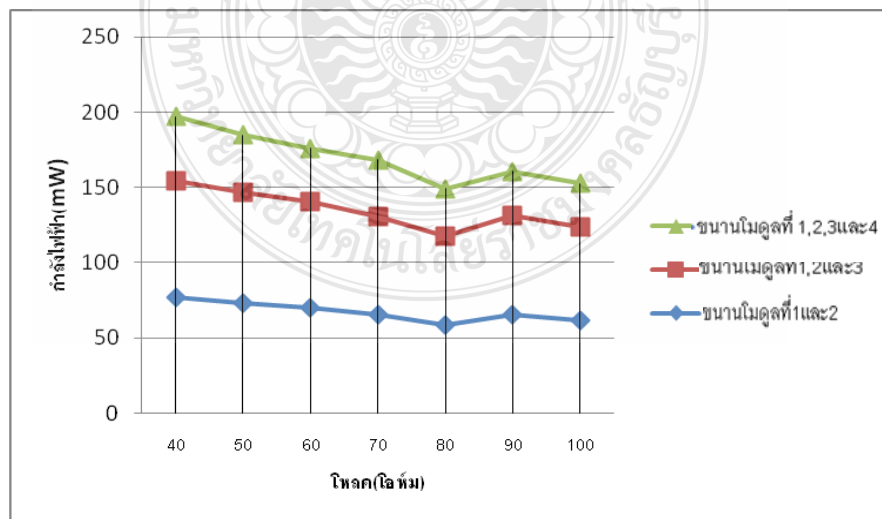
โหลด ( $\Omega$ )	40	50	60	70	80	90	100
กระแส (mA)	40.43	35.68	35.02	34.22	30.15	29.74	27.36
แรงดัน (V)	1.06	1.08	1.02	1.09	1.04	0.98	1.07
กำลังไฟฟ้า(mW)	42.86	38.53	35.72	37.30	31.36	29.15	29.28

ตารางที่ 4.9 ผลการขนาน โมดูลที่ 1,2 และ 3 ( $T_h=190\text{ }^{\circ}\text{C}$ ,  $T_c=10\text{ }^{\circ}\text{C}$ )

โหลด ( $\Omega$ )	40	50	60	70	80	90	100
กระแส (mA)	67.69	65.34	65.01	62.32	60.19	58.76	56.65
แรงดัน (V)	1.14	1.12	1.08	1.05	0.98	1.12	1.09
กำลังไฟฟ้า(mW)	77.17	73.18	70.21	65.44	58.99	65.81	61.75

ตารางที่ 4.10 ผลการขนาน โมดูลที่ 1, 2, 3 และ 4 ( $T_h=190\text{ }^{\circ}\text{C}$ ,  $T_c=10\text{ }^{\circ}\text{C}$ )

โหลด ( $\Omega$ )	40	50	60	70	80	90	100
กระแส (mA)	88.59	87.59	84.23	82.79	81.05	79.84	76.54
แรงดัน (V)	1.49	1.62	1.45	1.50	1.32	1.56	1.42
กำลังไฟฟ้า(mW)	132.00	141.90	122.13	124.19	106.99	124.55	108.69



ภาพที่ 4.5 กราฟของค่ากำลังไฟฟ้าเทียบกับ โหลดในการเชื่อมต่อ โมดูลแบบขนาน

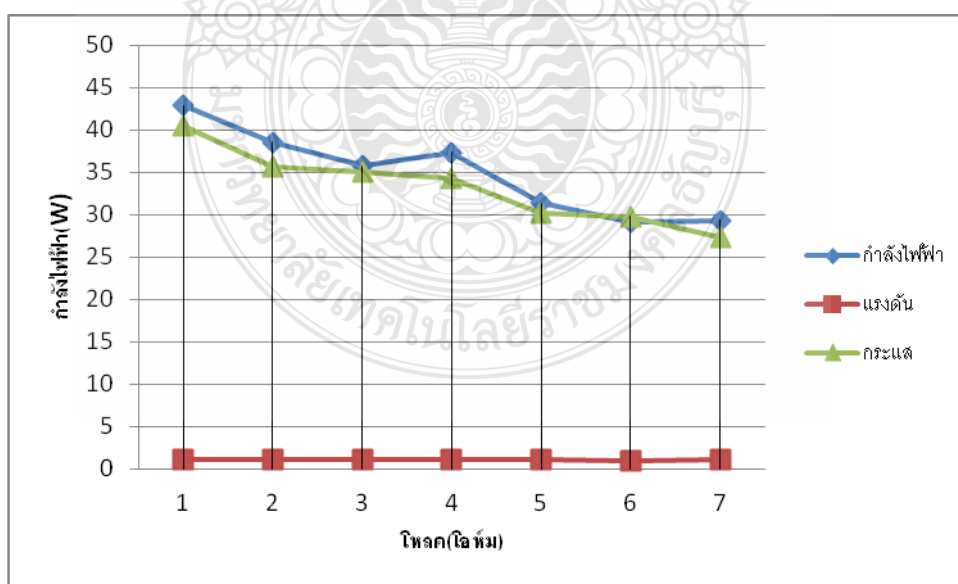


#### 4.1.4 การอนุกรมและขนานกันของโมดูลเทอร์โมอิเล็กทริก

เมื่อนำโมดูลเทอร์โมอิเล็กทริกแต่ละโมดูล มาต่อร่วมกันแบบขนานโดยเพิ่มจำนวนโมดูลเชื่อมต่อที่ละโมดูล จากการทดลองตามตารางที่ 4.11 ค่าแรงดันที่ได้มีค่าเพิ่มขึ้น กระแสไฟฟ้ามีค่าเพิ่มขึ้นเป็นผลให้ค่ากำลังไฟฟ้าที่จ่ายออกจะมีค่าเพิ่มขึ้น เมื่อปรับเปลี่ยนค่าโหลดเพิ่มขึ้นทำให้ค่ากระแสไฟฟ้าคงที่ โดยที่ค่าแรงดันลดลง ค่ากำลังไฟฟ้าที่จ่ายออกจะมีค่าลดลง เนื่องจากความไม่สม่ำเสมอของแต่ละโมดูลทำให้ประสิทธิภาพในการจ่ายกำลังไฟฟ้าของโมดูลเทอร์โมอิเล็กทริกโดยรวมลดลงตามที่ได้อธิบายไว้ข้างต้น

ตารางที่ 4.11 ผลการอนุกรมและขนานโมดูล ( $T_h = 190\text{ }^{\circ}\text{C}$ ,  $T_c = 10\text{ }^{\circ}\text{C}$ )

โหลด ( $\Omega$ )	40	50	60	70	80	90	100
กระแส (mA)	40.43	35.68	35.02	34.22	30.15	29.74	27.36
แรงดัน (V)	1.06	1.08	1.02	1.09	1.04	0.98	1.07
กำลังไฟฟ้า(mW)	42.86	38.53	35.72	37.30	31.36	29.15	29.28



ภาพที่ 4.6 กราฟของค่ากำลังไฟฟ้าเทียบกับโหลดในการเชื่อมต่อโมดูลแบบอนุกรมและขนาน

#### 4.2 ผลการทดลองคุณสมบัติโมดูลเทอร์โมอิเล็กทริกเปรียบเทียบผลกับการจำลองการทำงานด้วยโปรแกรม Matlab simulik

จากสมการที่ 2.4 นำมาเขียนสมการจำลองการทำงานของโมดูลเทอร์โมอิเล็กทริก ในโปรแกรม Matlab Simulik เพื่อใช้วิเคราะห์การทำงานเปรียบเทียบกับชุดต้นแบบการผลิตไฟฟ้าจากความร้อนสูญเสียของระบบปรับอากาศด้วยวิธีการเทอร์โมอิเล็กทริก สามารถเก็บข้อมูลเปรียบเทียบดังแสดงในตารางที่ 4.12 – 4.14

##### 4.2.1 คุณสมบัติของโมดูลเทอร์โมอิเล็กทริก

จากข้อสมมุติฐานดังที่กล่าวข้างต้น จำเป็นต้องเก็บข้อมูลรายละเอียดคุณสมบัติของแต่ละโมดูลไว้เพื่ออ้างอิงในการวิเคราะห์ ได้ผลการทดสอบในตารางที่ 4.12

ตารางที่ 4.12 คุณสมบัติของโมดูลเทอร์โมอิเล็กทริก ขณะที่  $V_{oc} = 15.2 \text{ V}$ ,  $I_{sc} = 30 \text{ A}$ ,  $r_i = 0.35$

$\Omega, T_h = 190 \text{ }^\circ\text{C}$

โหลด (w)	0	1	2	3	4	5	6	7	8	9	10
กระแส (A)	2.97	2.78	2.54	2.16	1.87	1.54	1.42	1.22	1.05	0.94	0.67
แรงดัน (V)	2.78	2.97	3.01	3.12	3.17	3.20	3.57	3.81	4.07	4.24	4.78
กำลังไฟฟ้า(W)	8.26	8.26	7.65	6.74	5.93	4.93	5.07	4.65	4.27	3.99	3.20

##### 4.2.2 การอนุกรมกันของโมดูลเทอร์โมอิเล็กทริก

เมื่อนำโมดูลเทอร์โมอิเล็กทริกมาต่อร่วมกันแบบอนุกรม ค่ากำลังไฟฟ้าที่จ่ายออกมาได้ผลดังตารางที่ 4.13

ตารางที่ 4.13 ผลการอนุกรม โมดูลเทอร์โมอิเล็กทริก ขณะที่  $V_{oc} = 15.2 \text{ V}, I_{sc} = 30 \text{ A}, r_i = 0.35$

$\Omega, T_h = 190 \text{ }^\circ\text{C}$

โหลด (w)	0	1	2	3	4	5	6	7	8	9	10
กระแส (A)	8.91	8.04	7.29	6.72	6.36	5.31	4.77	4.32	3.63	3.33	2.76
แรงดัน (V)	8.34	8.91	9.03	9.36	9.51	9.6	10.71	11.43	12.21	12.72	14.34
กำลังไฟฟ้า(W)	74.31	71.64	65.83	62.90	60.48	50.98	51.09	49.38	44.32	42.36	39.58

#### 4.2.3 การขนานของโมดูลเทอร์โมอิเล็กทริก

เมื่อนำโมดูลเทอร์โมอิเล็กทริกมาต่อร่วมกันแบบขนาน ค่ากำลังไฟฟ้าที่จ่ายออกมาได้ผลดัง

ตารางที่ 4.14

ตารางที่ 4.14 ผลการขนานโมดูลเทอร์โมอิเล็กทริก ขณะที่  $V_{oc} = 15.2 \text{ V}, I_{sc} = 30 \text{ A}, r_i = 0.35$

$\Omega, T_h = 190 \text{ }^\circ\text{C}$

โหลด (w)	0	1	2	3	4	5	6	7	8	9	10
กระแส (A)	5.94	4.88	4.26	3.78	3.84	3.08	2.44	1.88	1.74	1.88	1.22
แรงดัน (V)	5.56	5.94	6.02	6.24	6.34	6.4	7.14	7.62	8.14	8.48	9.56
กำลังไฟฟ้า(W)	33.03	28.99	25.65	23.59	24.35	19.71	17.42	14.33	14.16	15.94	11.66

#### 4.2.4 การอนุกรมและขนานกันของโมดูลเทอร์โมอิเล็กทริก

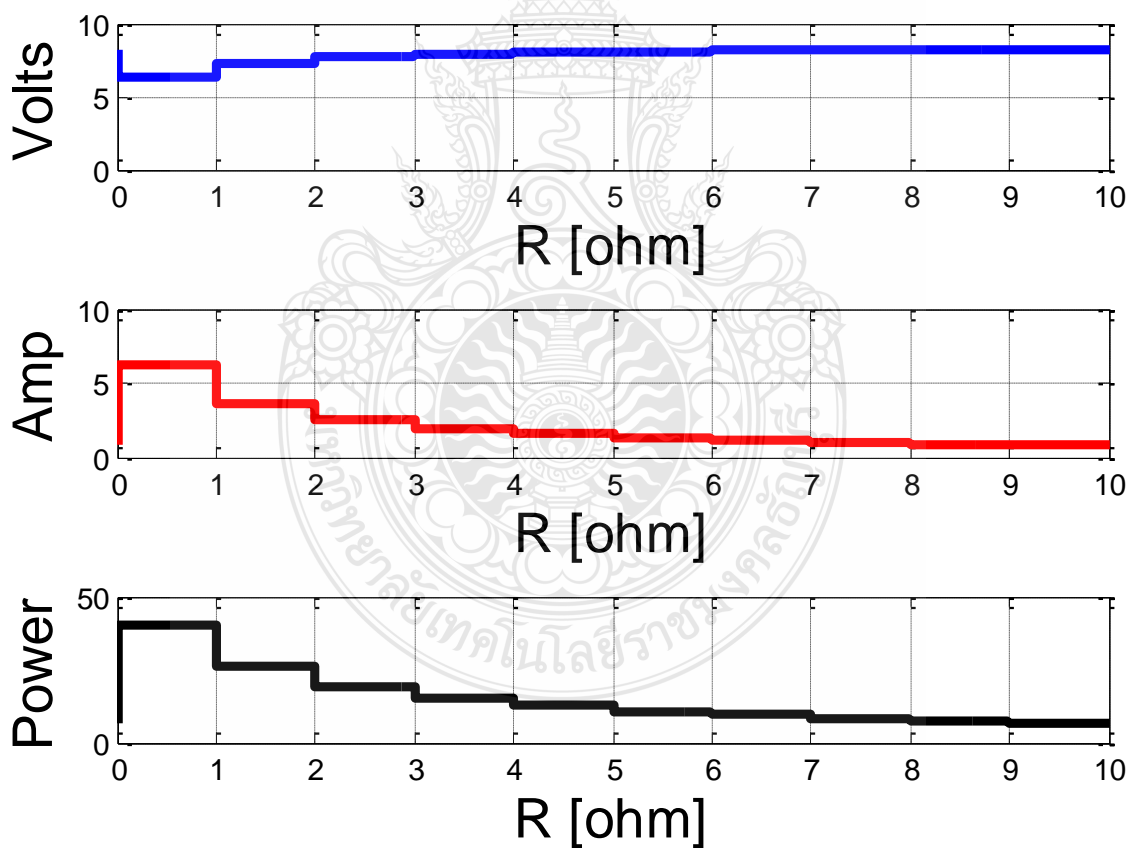
เมื่อนำโมดูลเทอร์โมอิเล็กทริกมาต่อร่วมกันแบบอนุกรมแล้วนำมาขนานกัน ค่ากำลังไฟฟ้าที่จ่ายออกมาได้ผลดังตารางที่ 4.15

ตารางที่ 4.15 ผลการอนุกรมและขนานกันของโมดูลเทอร์โมอิเล็กทริก ขณะที่  $V_{oc} = 15.2 \text{ V}$ ,  $I_{sc} = 30$

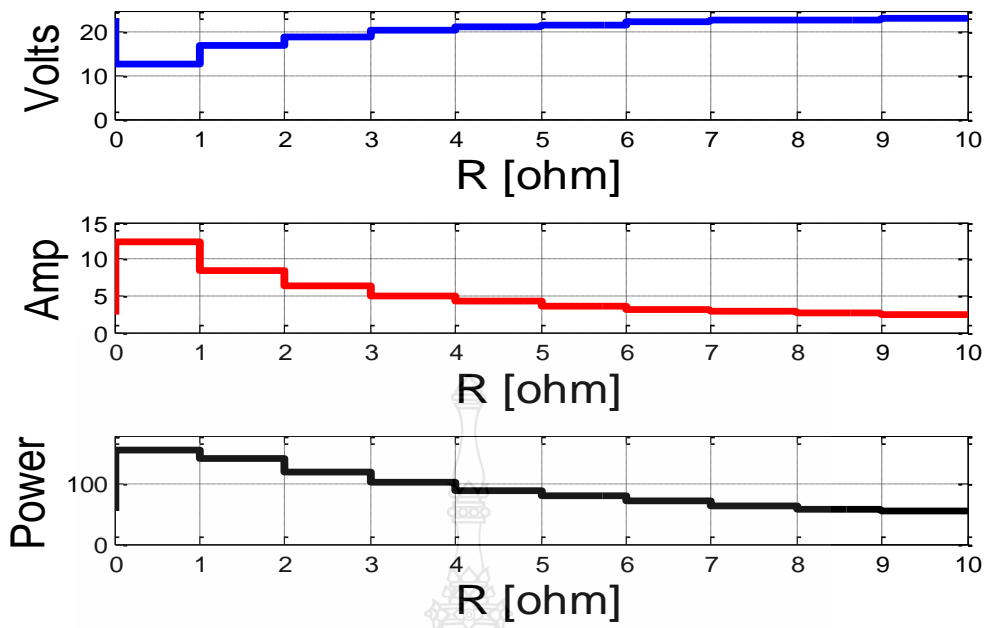
$A_{,ri} = 0.35 \text{ } \Omega$ ,  $T_h = 190 \text{ } ^\circ\text{C}$

โหลด (w)	0	1	2	3	4	5	6	7	8	9	10
กระแส (A)	9.15	9.14	9.11	9.04	8.98	8.96	8.56	8.42	8.10	7.95	7.52
แรงดัน (V)	12.51	12.44	12.38	12.10	12.04	11.78	11.46	11.26	11.14	11.08	10.94
กำลังไฟฟ้า(W)	114.47	113.70	112.78	109.38	108.12	105.55	98.10	94.81	90.23	88.09	82.27

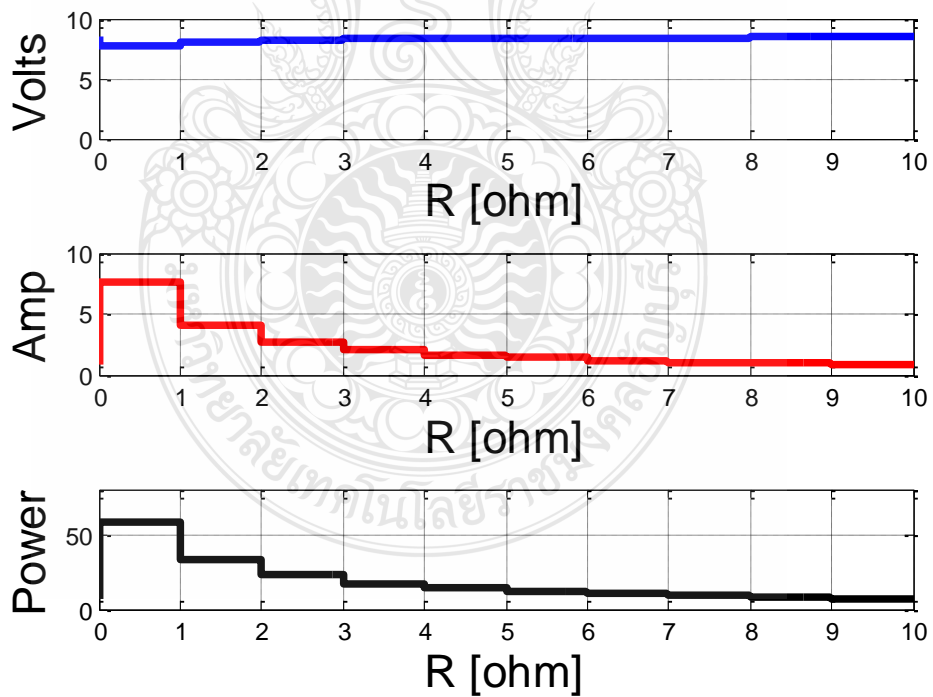
#### 4.3 ผลการทดสอบการจำลองการทำงานด้วยโปรแกรม Matlab simulik



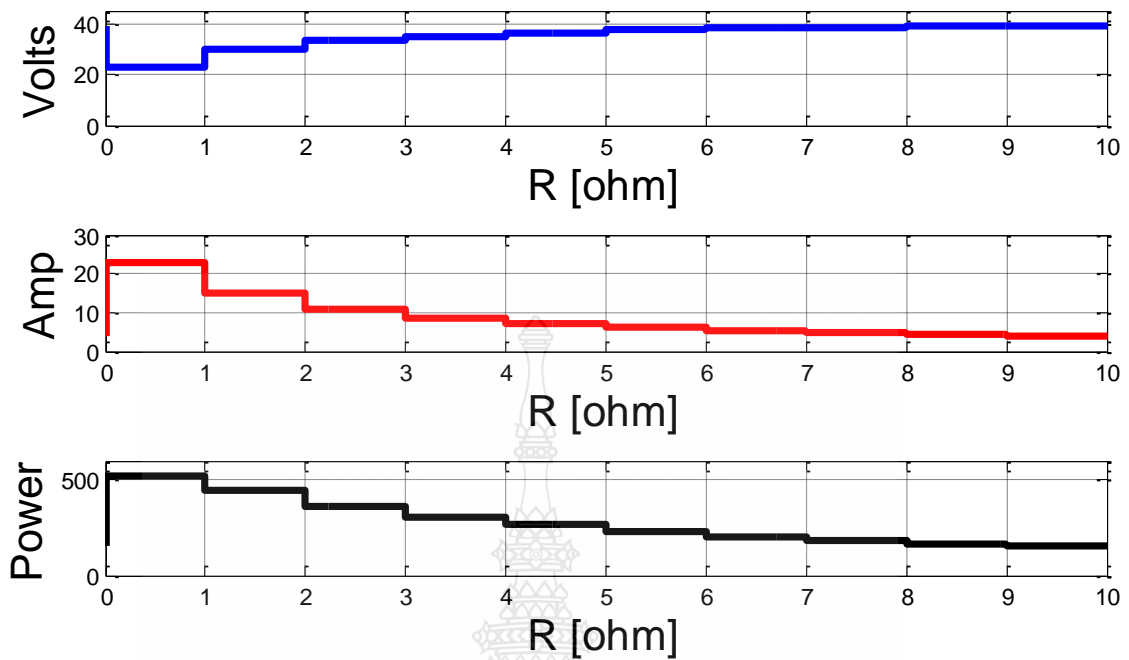
ภาพที่ 4.7 กราฟแสดงผลการทดลองที่จำลองการทำงานด้วยโปรแกรม Matlab simulik



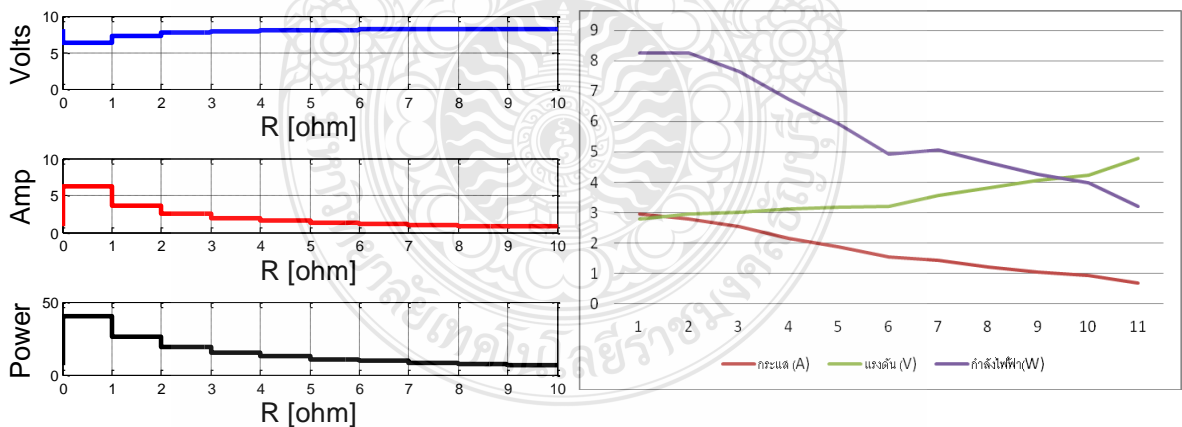
ภาพที่ 4.8 กราฟแสดงผลการทดลองที่จำลองการทำงานการต่ออนุกรมกันของเทอร์โมอิเล็กทริกด้วยโปรแกรม Matlab simulik



ภาพที่ 4.9 กราฟแสดงผลการทดลองที่จำลองการทำงานการต่อขนานกันของเทอร์โมอิเล็กทริกด้วยโปรแกรม Matlab simulik

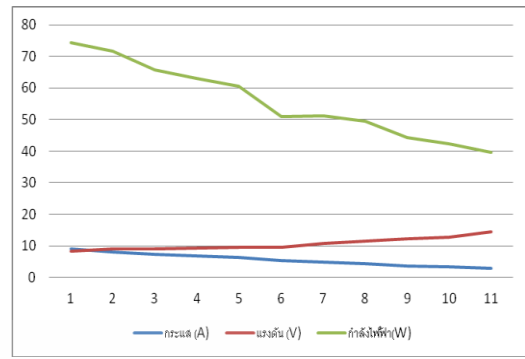
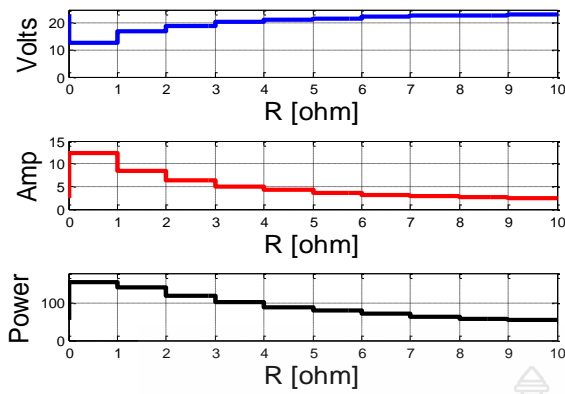


ภาพที่ 4.10 กราฟแสดงผลการทดลองที่จำลองการทำงานการต่ออนุกรมและขนานกันของเทอร์โมอิเล็กทริกด้วยโปรแกรม Matlab simulik



(ก)ผลที่ได้จากการจำลองการทำงานด้วยโปรแกรม (ข)ผลที่ได้จากการทดลอง Matlab simulik

ภาพที่ 4.11 กราฟแสดงคุณสมบัติเทอร์โมอิเล็กทริกเปรียบเทียบผลการทดลองที่จำลองการทำงานด้วยโปรแกรม Matlab simulik (ก)และผลที่ได้จากการทดลอง(ข)



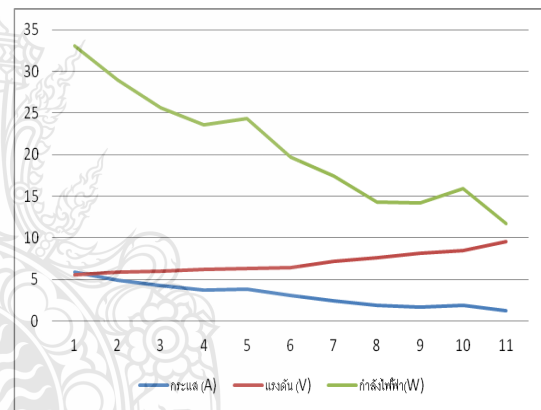
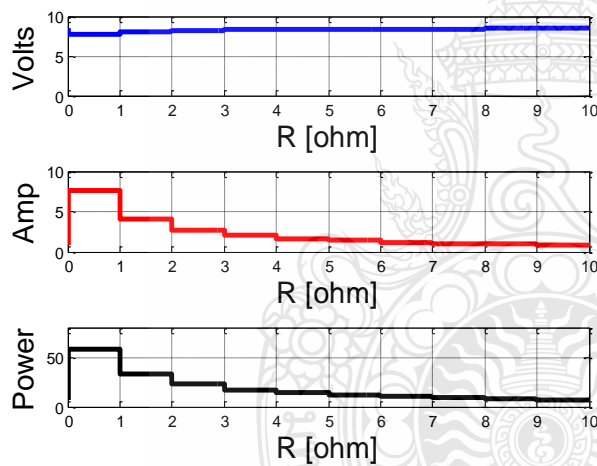
(ก)ผลที่ได้จากการจำลองการทำงานด้วยโปรแกรม

(ข)ผลที่ได้จากการทดลอง

Matlab simulik

ภาพที่ 4.12 กราฟแสดงการเปรียบเทียบผลการทดลองที่จำลองการทำงานการต่ออนุกรมกันของเทอร์

โมอิล็กทริกด้วยโปรแกรม Matlab simulik (ก)และผลที่ได้จากการทดลอง(ข)

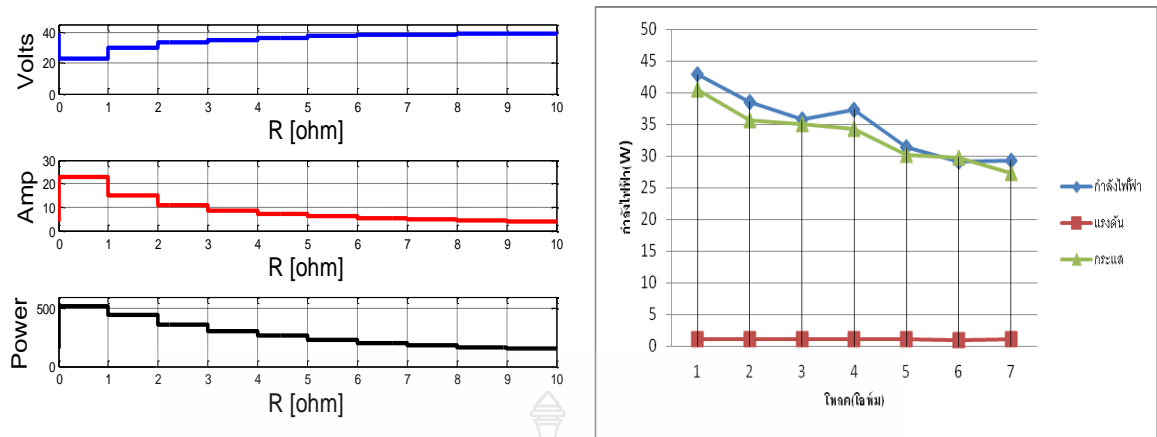


(ก) ผลที่ได้จากการจำลองการทำงานด้วยโปรแกรม (ข)ผลที่ได้จากการทดลอง

Matlab simulik

ภาพที่ 4.13 กราฟแสดงการเปรียบเทียบผลการทดลองที่จำลองการทำงานการต่อขนานกันของเทอร์

โมอิล็กทริกด้วยโปรแกรม Matlab simulik (ก)และผลที่ได้จากการทดลอง(ข)



(ก) ผลที่ได้จากการจำลองการทำงานด้วยโปรแกรม (ข)ผลที่ได้จากการทดลอง

Matlab simulik

ภาพที่ 4.14 กราฟแสดงการเปรียบเทียบผลการทดลองที่จำลองการทำงานการต่ออนุกรมและขนานกันของเทอร์โมอิเล็กทริกด้วยโปรแกรม Matlab simulik (ก)และผลที่ได้จากการทดลอง(ข)

#### 4.4 การผลิตไฟฟ้าจากความร้อนสูญเสียเปล่าของระบบปรับอากาศแบบแยกส่วนด้วยวิธีการเทอร์โมอิเล็กทริก เพื่อประจุแบตเตอรี่ไฟฟ้าฉุกเฉิน

การทดลองผลิตไฟฟ้าจากความร้อนสูญเสียเปล่าของเครื่องปรับอากาศแบบแยกส่วนด้วยเทอร์โมอิเล็กทริกเพื่อชาร์จแบตเตอรี่ไฟสำรอง ในการทดสอบแรงดันที่ผลิตได้มีค่าต่ำ ดังนั้นจึงมีความจำเป็นที่จะต้องยกระดับแรงดันไฟฟ้าด้วยวงจรบูสต์คอนเวอร์เตอร์เพื่อให้มีค่าแรงดันสูงขึ้น โดยตั้งค่าแรงดันขาออกไว้ที่ 20 โวลต์และแรงดันอัดประจุอยู่ที่ 15 โวลต์ซึ่งปริมาณกระแสไฟฟ้าจะแปรผันตามผลต่างแรงดันวงจรอัดประจุกับแรงดันแบตเตอรี่ ขณะเริ่มต้นแรงดันในแบตเตอรี่น้อย กระแสอัดประจุจะมีปริมาณมากและจะลดลงตามลำดับ ในขณะที่แรงดันอัดประจุยังคงที่อยู่ โดยวงจรในการอัดประจุแบตเตอรี่ประกอบด้วย ชุดผลิตไฟฟ้าด้วยเทอร์โมอิเล็กทริก วงจรรักษาระดับแรงดัน วงจรบูสต์คอนเวอร์เตอร์ และวงจรอัดประจุแบตเตอรี่ เมื่อได้รับพลังงานไฟฟ้าจากเทอร์โมอิเล็กทริกและมีการนำไปต่อกับโหลดจะทำให้แรงดันตกลงดังนั้นจึงใช้วงจรรักษาระดับแรงดันเพื่อรักษาระดับแรงดันให้คงที่ และใช้วงจรบูสต์คอนเวอร์เตอร์เพื่อยกระดับแรงดันที่ได้จากวงจรให้มีค่าสูงขึ้น โดยทั่วไปสามารถยกระดับแรงดันได้ประมาณ 1 – 4 เท่าของแรงดันอินพุทและนำไปชาร์จแบตเตอรี่ด้วยวงจรประจุแบตเตอรี่ต่อไป



ตารางที่ 4.16 ผลการทดสอบระบบผลิตไฟฟ้ากับคอนเดนเซอร์

$$\alpha=(3.5 \times 10^{-2})(\text{V/K}), R=(6.508 \times 10^{-3})(\text{โอห์ม}), K_t=(2.8 \times 10^{-3})(\text{Watt/cm-K}), n=(127)$$

เวลา ชม.	T <sub>h</sub> °C	T <sub>c</sub> °C	ΔT °C	V <sub>teg</sub> V	I <sub>teg</sub> A	P <sub>teg</sub> W	V <sub>boost</sub> V	I <sub>boost</sub> A	P <sub>boost</sub> W	V <sub>battery</sub> V	I <sub>battery</sub> A	P <sub>battery</sub> W	Q <sub>h</sub> W	η %
0.5	45	10	35	5.23	1.23	6.44	20.00	1.25	25.00	15.65	0.41	5.48	257.85	2.50
1.0	46	12	34	5.21	1.21	6.30	20.02	1.22	24.42	15.57	0.40	5.29	258.89	2.43
1.5	49	12	37	5.27	1.18	6.24	20.05	1.22	24.46	15.50	0.40	4.34	269.59	2.31
2.0	50	14	36	5.24	1.15	6.05	20.07	1.20	24.08	15.42	0.39	4.16	267.84	2.26
2.5	52	14	38	5.29	1.10	5.82	20.08	1.15	23.09	15.34	0.37	3.84	267.27	2.18
3.0	52	15	37	5.27	1.06	5.57	20.03	1.10	22.03	15.17	0.36	3.64	257.70	2.16
3.5	53	17	36	5.24	0.99	5.20	20.04	1.05	21.04	14.97	0.34	3.29	245.63	2.12

คำนวณค่าที่เวลา 0.5 ชม.

$$\begin{aligned} Q_h &= n(\alpha I T_h - 0.5 I^2 R + K_t \Delta T) \\ &= 127[(3.5 \times 10^{-2}) \times 1.23 \times 45 - (0.5 \times 1.23^2 \times (6.508 \times 10^{-3})) + (2.8 \times 10^{-3}) \times \\ &\quad (45-10)] \\ &= 257.85 \text{ W} \end{aligned}$$

คำนวณประสิทธิภาพเชิงความร้อนของเทอร์โมอิเล็กทริกจากสมการ =  $(P/Q_h) \times 100$

$$\eta = \frac{6.44}{257.85} \times 100 = 2.50\%$$

โดยที่  $Q_c / Q_h$  คือ ปริมาณความเย็นหรือความร้อนที่ให้กับเทอร์โมอิเล็กทริก (W)

$\alpha$  คือ สัมประสิทธิ์ของซีเบค ( $3.5 \times 10^{-2}$ ) (V/K)

$\Delta T$  คือ ผลต่างระหว่างอุณหภูมิด้านร้อนและอุณหภูมิด้านเย็น (K)

R คือ ความต้านทานไฟฟ้าของเทอร์โมอิเล็กทริก ( $6.508 \times 10^{-3}$ ) (โอห์ม)

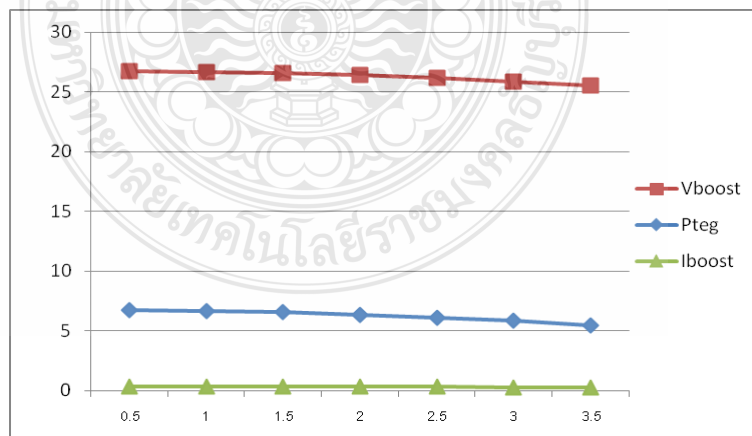
I คือ กระแสไฟฟ้า (A)

$T_c / T_h$  คือ อุณหภูมิด้านเย็นหรือด้านร้อนของเทอร์โมอิเล็กทริก (K)

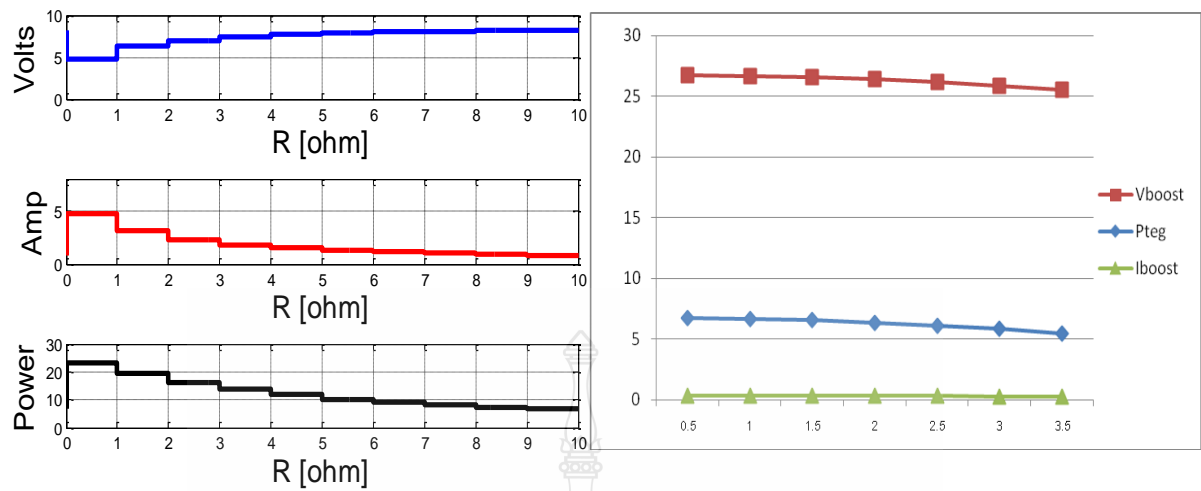
$K_t$  คือ ค่าสภาพนำความร้อนของเทอร์โมอิเล็กทริก ( $2.8 \times 10^{-3}$ ) (Watt/cm-K)

n คือ จำนวนเทอร์โมอิเล็กทริกใน 1 โมดูล (127)

จากตารางที่ 4.16 อุณหภูมิด้านร้อนจากคอนเดนเซอร์มีค่าประมาณ 52 องศาเซลเซียส ที่สภาวะคงตัว เมื่ออุณหภูมิผลต่างระหว่างด้านร้อนและด้านเย็นคงที่ สามารถคำนวณกำลังวัตต์ของเทอร์โมอิเล็กทริก ได้ที่ 5.95 วัตต์ ค่าแรงดัน 20.04 โวลต์ กระแส 30 มิลลิแอมแปร์ สามารถนำพลังงานที่ได้ไปอัดประจุ แบตเตอรี่ไฟฟ้าสำรองขนาด 12 โวลต์ด้วยแรงดันคงที่ 15 โวลต์ ขณะทำการประจุแรงดัน กระแสจะค่อยๆลดลงจาก 0.41 แอมแปร์เหลือ 0.34 แอมแปร์เมื่อแบตเตอรี่มีความจุเพิ่มขึ้น ปัจจัยที่มีผลต่อการผลิตไฟฟ้าคือแหล่งพลังงานความร้อนที่ใช้ในการผลิตไฟฟ้าและการควบคุมความแตกต่างของอุณหภูมิให้มีค่าสูงสุดจะทำให้ระบบผลิตไฟฟ้ามีประสิทธิภาพสูง

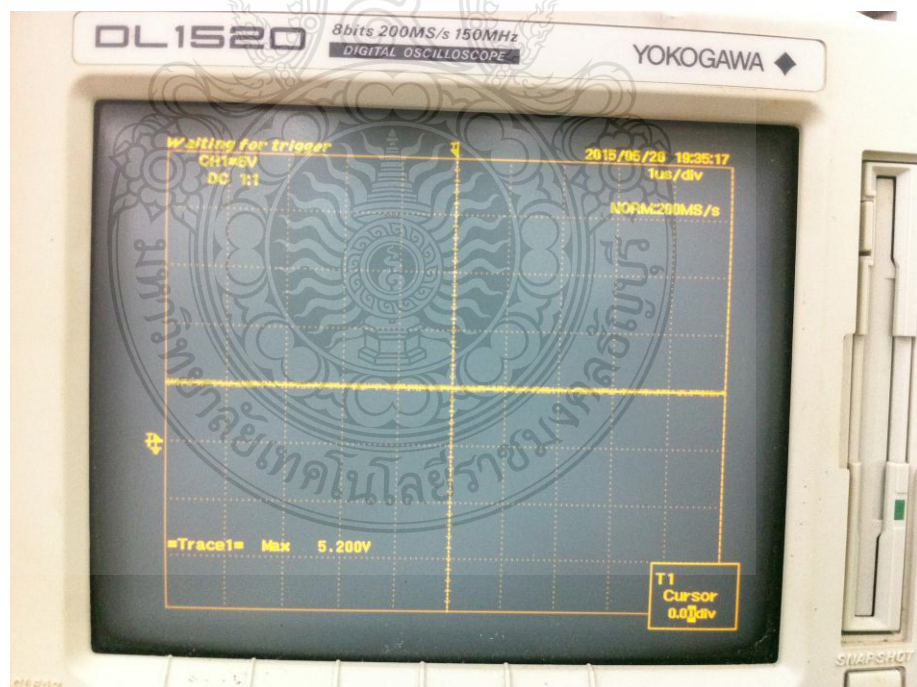


ภาพที่ 4.15 กราฟของค่ากำลังไฟฟ้าเทียบกับโหลดในการเชื่อมต่อโมดูลแบบอนุกรมและขนานที่อุณหภูมิของคอนเดนเซอร์เครื่องปรับอากาศ



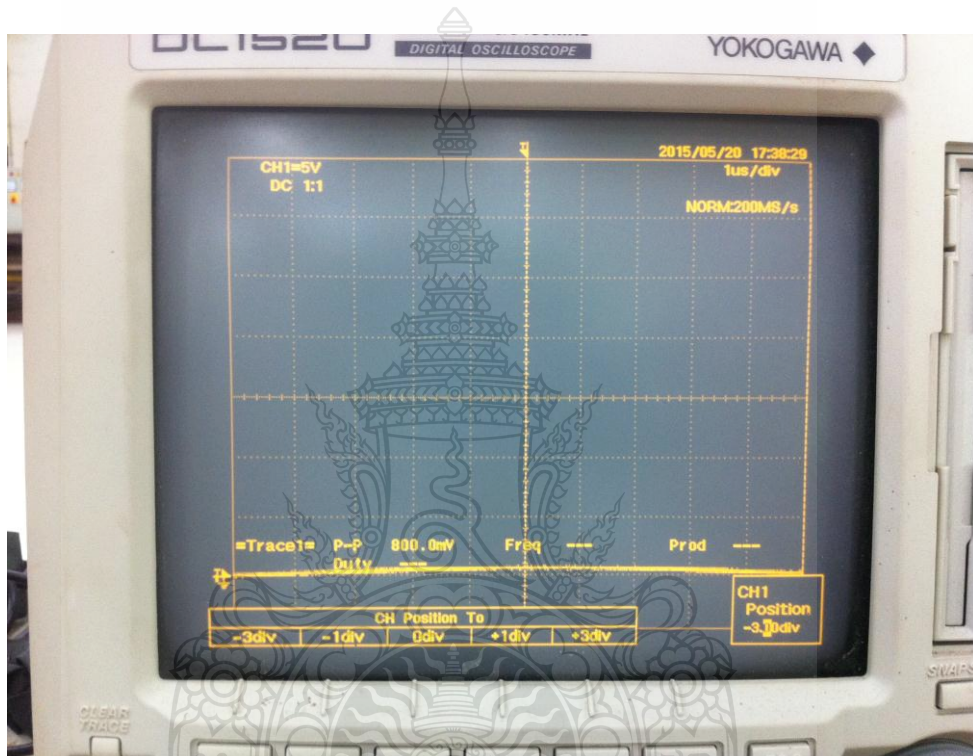
(ก) ผลที่ได้จากการจำลองการทำงานด้วยโปรแกรม (ข)ผลที่ได้จากการทดลอง  
Matlab simulik

ภาพที่ 4.16 กราฟแสดงการเปรียบเทียบผลการทดลองที่จำลองการทำงานการต่ออนุกรมและขนานกันของเทอร์โมอิเล็กทริกที่อุณหภูมิของคอนเดนเซอร์เครื่องปรับอากาศด้วยโปรแกรม Matlab simulik (ก)และผลที่ได้จากการทดลอง(ข)



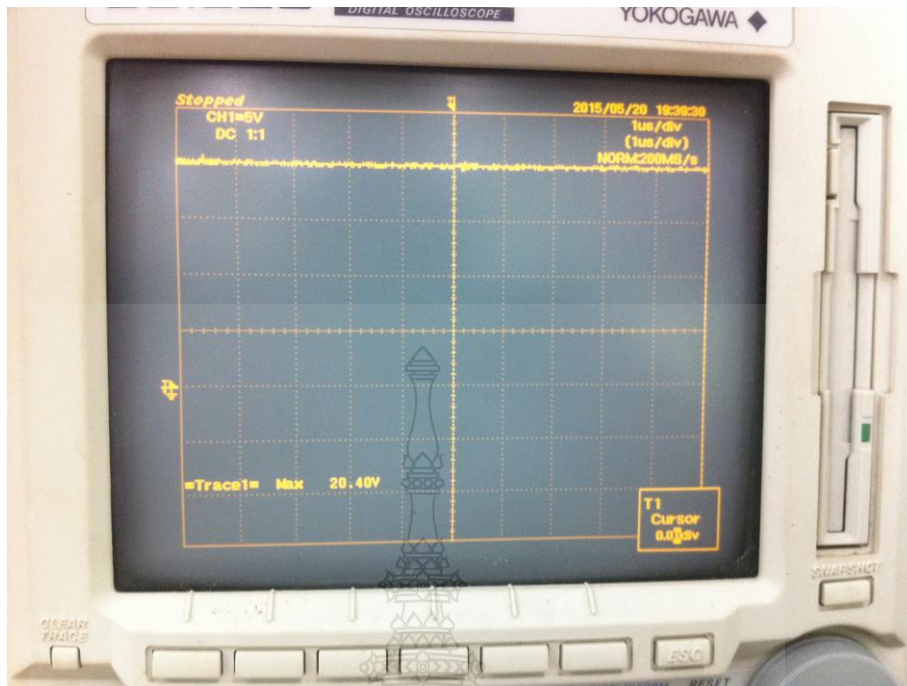
ภาพที่ 4.17 คลื่นสัญญาณแรงดันขาออกของเทอร์โมอิเล็กทริก โมดูลที่ต่ออนุกรมและขนานกัน

จากภาพที่ 4.17 แสดงการวัดรูปคลื่นสัญญาณแรงดันขาออกของเทอร์โมอิเล็กทริก โมดูลที่ต่ออนุกรม และขนานกันของเทอร์โมอิเล็กทริกที่อุณหภูมิของคอนเดนเซอร์เครื่องปรับอากาศได้แรงดันออกมาที่ 5.20 โวลต์ รูปคลื่นที่ได้จะมีลักษณะเป็นเส้นตรง จากนั้นจึงนำแรงดันที่ได้ไปเข้ากับวงจรยกระดับแรงดันต่อไป



ภาพที่ 4.18 คลื่นสัญญาณแรงดันที่ออกจากชุดยกระดับแรงดันไฟฟ้าก่อนทำการวัด

จากภาพที่ 4.18 แสดงรูปคลื่นสัญญาณแรงดันก่อนทำการวัดคลื่นสัญญาณที่ออกจากชุดยกระดับแรงดันไฟฟ้าที่อุณหภูมิของคอนเดนเซอร์เครื่องปรับอากาศ



ภาพที่ 4.19 คลื่นสัญญาณแรงดันที่ออกจากชุดขั้วระดับแรงดันไฟฟ้า

จากภาพที่ 4.19 แสดงการวัดรูปคลื่นสัญญาณแรงดันที่ออกจากชุดขั้วระดับแรงดันไฟฟ้าที่อุณหภูมิของคอนเดนเซอร์เครื่องปรับอากาศได้แรงดันออกมาที่ 20.40 โวลต์ รูปคลื่นที่ได้จะมีลักษณะเป็นเส้นตรง เมื่อได้แรงดันที่ออกจากวงจรระดับแล้วจึงนำไปต่อกับวงจรชาร์จ์ประจุและทำการชาร์จ์ประจุให้กับแบตเตอรี่ต่อไป

#### 4.5. สรุปผลการวิจัย

จากการทดลองโมดูลเทอร์โมอิเล็กทริกจะเห็นว่าเมื่อเราทำการเพิ่มโหลดจะทำให้กระแสไฟฟ้าที่ผลิตได้มีปริมาณลดลงส่งผลให้กำลังไฟฟ้าที่ผลิตได้มีปริมาณที่ลดลงตามไปด้วยและเมื่อทำการทดสอบวัดค่ากำลังไฟฟ้าของโมดูลเทอร์โมอิเล็กทริกจากการเชื่อมต่อกันของโมดูลเทอร์โมอิเล็กทริกทั้งการเชื่อมต่ออนุกรมกันของโมดูลเทอร์โมอิเล็กทริกและการเชื่อมต่อนานกันของโมดูลเทอร์โมอิเล็กทริก จะเห็นว่าการเปลี่ยนแปลงของกำลังไฟฟ้าเมื่อโหลดเปลี่ยนแปลงสำหรับการต่อแบบอนุกรมนั้นมีค่าต่ำกว่าการต่อแบบขนาน ถ้าพิจารณาในสภาพเลวร้ายที่เป็นไปได้ เช่นมีปัจจัยทำให้คุณสมบัติของโมดูลเทอร์โมอิเล็กทริกแตกต่างกัน การต่อแบบขนานจะให้ค่าการจ่ายแรงดันไฟฟ้าได้ดีกว่าแบบอนุกรม ความจริงข้อนี้สามารถนำไปใช้พิจารณาการใช้งานโมดูลเทอร์โมอิเล็กทริกได้โดยยึดหลักว่าหากใช้งานโมดูลเทอร์โมอิเล็กทริกโดยปราศจากวงจรแปลงผันไฟฟ้า การต่อแบบ

อนุกรมจะใช้งานกับโหลดได้ยาวนานกว่าการต่อแบบขนาน ในทางตรงข้ามหากใช้งาน โมดูลเทอร์โมอิเล็กทริกร่วมกับวงจรแปลงผันไฟฟ้าที่สามารถโปรแกรมติดตามกำลังไฟฟ้าสูงสุดได้ [4] การต่อโมดูลเทอร์โมอิเล็กทริกในรูปแบบขนานจะให้ประสิทธิภาพกำลังสูงกว่า ผลที่ได้นี้เกิดจากการทดสอบคุณสมบัติโมดูลเทอร์โมอิเล็กทริกค่ากำลังไฟฟ้าจริงที่วัดได้มีแนวโน้มลดลงไปตามการเปลี่ยนแปลงของโหลดที่เพิ่มขึ้น เมื่อทำการเพิ่มโมดูลมากขึ้นผลการทดลองกำลังไฟฟ้าจริงที่ได้จากการเชื่อมต่อแบบขนานจะมีค่าแรงดันที่มีประสิทธิภาพสูงกว่าการเชื่อมต่อแบบอนุกรม นำผลที่ได้จากการทดลองเปรียบเทียบกับผลการทดลองที่ได้จากการจำลองระบบโดยใช้โปรแกรมปรากฏว่ามีคุณสมบัติที่ใกล้เคียงกัน เมื่อทำการทดลองในสภาพอุณหภูมิที่ใช้ในการผลิตไฟฟ้าของเครื่องปรับอากาศแบบแยกส่วนนั้นมีความแตกต่างอุณหภูมิที่น้อยมากเมื่อเทียบกับการจำลองการทดสอบข้างต้น ในการทดสอบแรงดันที่ผลิตได้มีค่าต่ำ ดังนั้นจึงมีความจำเป็นที่จะต้องยกระดับแรงดันไฟฟ้าด้วยวงจรบูสท์คอนเวอร์เตอร์เพื่อให้มีค่าแรงดันสูงขึ้น โดยตั้งค่าแรงดันขาออกไว้ที่ 20 โวลต์และแรงดันอัดประจุอยู่ที่ 15 โวลต์ซึ่งปริมาณกระแสไฟฟ้าจะแปรผันตามผลต่างแรงดันวงจรอัดประจุกับแรงดันแบตเตอรี่



## บทที่ 5

### สรุปผลการวิจัยและข้อเสนอแนะ

#### 5.1 สรุปผลการวิจัย

ในสภาวะปัจจุบันแหล่งพลังงานต่าง ๆ เป็นสิ่งที่มีความจำเป็นในการดำเนินชีวิตประจำวัน พลังงานไฟฟ้าเป็นพลังงานที่มีความสำคัญต่อการดำเนินชีวิตประจำวันและภาคอุตสาหกรรมเป็นอย่างมาก พลังงานทั้งหมดที่ผลิตได้มาจากเชื้อเพลิงฟอสซิล คือ ก๊าซธรรมชาติ ถ่านหินและน้ำมันดีเซล พลังงานทดแทนที่ผลิตได้ เช่น พลังงานน้ำ พลังงานแสงอาทิตย์ หรือพลังงานจากชีวมวล ยังมีกำลังการผลิตที่น้อยมาก เป็นผลให้การผลิตไฟฟ้ามีราคาต้นทุนที่แพงขึ้นอย่างต่อเนื่องตามความต้องการของตลาดโลก

งานวิจัยนี้จึงได้นำเสนอการนำเทคโนโลยีเทอร์โมอิเล็กทริกเข้ามาใช้ในการผลิตกระแสไฟฟ้าซึ่งเป็นการสร้างกระแสไฟฟ้าเพื่อนำไปใช้ประโยชน์และยังเป็นการประหยัดพลังงานอีกทางหนึ่ง ไม่ทำลายสิ่งแวดล้อม มีอายุการใช้งานที่ยาวนาน และมีขนาดเล็กกะทัดรัด โครงการวิจัยนี้จะศึกษาการผลิตกระแสไฟฟ้าด้วยเทอร์โมอิเล็กทริกโดยใช้พลังงานความร้อนเหลือทิ้งจากเครื่องปรับอากาศ ซึ่งสามารถนำมาผลิตเป็นกระแสไฟฟ้าได้มาผลิตไฟฟ้า โดยอาศัยหลักการแปลงพลังงานจากความร้อนเป็นพลังงานไฟฟ้าโดยตรง

ซึ่งผลการศึกษาและทดลองพบว่า ในการทดสอบคุณสมบัติทางไฟฟ้าความร้อนเมื่อเราทำการเพิ่มโหลดจะทำให้กระแสไฟฟ้าที่ผลิตได้มีปริมาณลดลงส่งผลให้กำลังไฟฟ้าที่ผลิตได้มีปริมาณที่ลดลงตามไปด้วยและเมื่อทำการทดสอบวัดค่ากำลังไฟฟ้าของโมดูลเทอร์โมอิเล็กทริกจากการเชื่อมต่อกันของ โมดูลเทอร์โมอิเล็กทริกทั้งการเชื่อมต่ออนุกรมกันของ โมดูลเทอร์โมอิเล็กทริกและการเชื่อมต่อขนานกันของ โมดูลเทอร์โมอิเล็กทริก จะเห็นว่าการเปลี่ยนแปลงของกำลังไฟฟ้าเมื่อโหลดเปลี่ยนสำหรับการต่อแบบอนุกรมนั้นมีค่าต่ำกว่าการต่อแบบขนาน ถ้าพิจารณาในสภาพเลวร้ายที่เป็นไปได้ เช่น มีปัจจัยทำให้คุณสมบัติของ โมดูลเทอร์โมอิเล็กทริกแตกต่างกัน การต่อแบบขนานจะให้ค่าการจ่ายแรงดันไฟฟ้าได้ดีกว่าแบบอนุกรม ความจริงข้อนี้สามารถนำไปใช้พิจารณาการใช้งาน โมดูลเทอร์โมอิเล็กทริกได้ โดยยึดหลักว่าหากใช้งาน โมดูลเทอร์โมอิเล็กทริกโดยปราศจากวงจรแปลงผันไฟฟ้า การต่อแบบอนุกรมจะใช้งานกับโหลดได้ยากกว่าการต่อแบบขนาน ในทางตรงข้ามหากใช้งาน โมดูลเทอร์โมอิเล็กทริกร่วมกับวงจรแปลงผันไฟฟ้าที่สามารถโปรแกรมติดตามกำลังไฟฟ้าสูงสุดได้ การต่อ โมดูลเทอร์โมอิเล็กทริกในรูปแบบขนานจะให้ประสิทธิภาพกำลังสูงกว่า ผลที่ได้นี้

เกิดจากการทดสอบคุณสมบัติโมดูลเทอร์โมอิเล็กทริก ค่ากำลังไฟฟ้าจริงที่วัดได้มีแนวโน้มลดลงไปตามการเปลี่ยนแปลงของโหลดที่เพิ่มขึ้น เมื่อทำการเพิ่มโมดูลมากขึ้นผลการทดลองกำลังไฟฟ้าจริงที่ได้จากการเชื่อมต่อแบบขนานจะมีค่าแรงดันที่มีประสิทธิภาพสูงกว่าการเชื่อมต่อแบบอนุกรม นำผลที่ได้จากการทดลองเปรียบเทียบกับผลการทดลองที่ได้จากการจำลองระบบโดยใช้โปรแกรมปรากฏว่ามีคุณสมบัติที่ใกล้เคียงกัน เมื่อทำการทดลองผลิตไฟฟ้าจากความร้อนสูญเสียเปล่าของเครื่องปรับอากาศแบบแยกส่วนด้วยเทอร์โมอิเล็กทริกเพื่อชาร์จแบตเตอรี่ไฟฟูลจิ้น ในการทดสอบแรงดันที่ผลิตได้มีค่าต่ำ ดังนั้นจึงมีความจำเป็นที่จะต้องยกระดับแรงดันไฟฟ้าด้วยวงจรบูสท์คอนเวอร์เตอร์เพื่อให้มีค่าแรงดันสูงขึ้น โดยตั้งค่าแรงดันขาออกไว้ที่ 20 โวลต์และแรงดันอัดประจุอยู่ที่ 15 โวลต์ ซึ่งปริมาณกระแสไฟฟ้าจะแปรผันตามผลต่างแรงดันวงจรอัดประจุกับแรงดันแบตเตอรี่ ขณะเริ่มต้นแรงดันในแบตเตอรี่น้อย กระแสอัดประจุจะมีปริมาณมากและจะลดลงตามลำดับ ในขณะที่แรงดันอัดประจื่อยังคงที่อยู่ โดยวงจรในการอัดประจุแบตเตอรี่ประกอบด้วย ชุดผลิตไฟฟ้าด้วยเทอร์โมอิเล็กทริก วงจรรักษาระดับแรงดัน วงจรบูสท์คอนเวอร์เตอร์ และวงจรอัดประจุแบตเตอรี่ เมื่อได้รับพลังงานไฟฟ้าจากเทอร์โมอิเล็กทริกและมีการนำไปต่อกับโหลดจะทำให้แรงดันตกลงดังนั้นจึงใช้วงจรรักษาระดับแรงดันเพื่อรักษาระดับแรงดันให้คงที่ และใช้วงจรบูสท์คอนเวอร์เตอร์เพื่อยกระดับแรงดันที่ได้จากวงจรให้มีค่าสูงขึ้น โดยทั่วไปสามารถยกระดับแรงดันได้ประมาณ 1 – 4 เท่าของแรงดันอินพุทและนำไปชาร์จแบตเตอรี่ด้วยวงจรประจุแบตเตอรี่ต่อไป ที่อุณหภูมิด้านร้อนจากคอนเดนเซอร์มีค่าประมาณ 52 องศาเซลเซียส ที่สภาวะคงตัวเมื่ออุณหภูมิผลต่างระหว่างด้านร้อนและด้านเย็นคงที่สามารถคำนวณกำลังวัตต์ของเทอร์โมอิเล็กทริกได้ที่ 5.95 วัตต์ ค่าแรงดัน 20.04 โวลต์ กระแส 30 มิลลิแอมแปร์ สามารถนำพลังงานที่ได้ไปอัดประจุแบตเตอรี่ไฟฟูลจิ้นขนาด 12 โวลต์ด้วยแรงดันคงที่ 15 โวลต์ ขณะทำการประจุแรงดัน กระแสจะค่อยๆลดลงจาก 0.41 แอมแปร์เหลือ 0.34 แอมแปร์เมื่อแบตเตอรี่มีความจุเพิ่มขึ้น ปัจจัยที่มีผลต่อการผลิตไฟฟ้าคือแหล่งพลังงานความร้อนที่ใช้ในการผลิตไฟฟ้าและการควบคุมความแตกต่างของอุณหภูมิให้มีค่าสูงสุดจะทำให้ระบบผลิตไฟฟ้ามีประสิทธิภาพสูง จากการทดลองแสดงให้เห็นว่าการวิจัยครั้งนี้สามารถผลิตไฟฟ้าเพื่อประจุแบตเตอรี่ไฟฟูลจิ้นขนาด 6 โวลต์ได้จริง

## 5.2 ข้อเสนอแนะและแนวทางการพัฒนา

วิทยานิพนธ์นี้เป็นแนวทางในการศึกษาและวิเคราะห์แบบจำลองการทดลองผลิตไฟฟ้าจากความร้อนสูญเสียเปล่าของเครื่องปรับอากาศแบบแยกส่วนด้วยเทอร์โมอิเล็กทริกเพื่อชาร์จแบตเตอรี่ไฟฟูลจิ้น หากต้องการนำพลังงานจากระบบมาใช้ให้เกิดประโยชน์มากยิ่งขึ้นจะต้องเพิ่มจำนวนของ



เทอร์โมอิเล็กทริกให้มากขึ้นเพื่อที่จะทำให้ได้กำลังไฟฟ้าที่สูงขึ้นเพียงพอต่อการใช้งานกับโหลดที่เป็นเครื่องใช้ไฟฟ้าทั่วไป และเพื่อใช้เป็นข้อมูลในการพัฒนาสร้างวงจรควบคุมการทำงานของชุดผลิตไฟฟ้าด้วยเทอร์โมอิเล็กทริก ควรศึกษาวิเคราะห์หาตำแหน่งในการติดตั้งการติดตั้งชุดผลิตไฟฟ้าเพื่อลดการสูญเสียพลังงานและเพิ่มประสิทธิภาพการทำงานให้สูงขึ้น วิเคราะห์หาแหล่งความร้อนและการควบคุมผลต่างอุณหภูมิทำให้เกิดการใช้งานที่มีประสิทธิภาพสูงสุด พัฒนาระบบให้สามารถผลิตไฟฟ้าด้วยความร้อนจากพลังงานแสงอาทิตย์หรือพลังงานทางเลือกความร้อนประเภทอื่นๆ ได้เพื่อใช้เป็นแนวทางสำหรับผู้ที่มีความสนใจงานทางด้านเทคโนโลยีของเทอร์โมอิเล็กทริก การประยุกต์ใช้งานของเทอร์โมอิเล็กทริกหรือกักเก็บในระบบสำรองพลังงาน ต่อไป



## รายการอ้างอิง

- [1] ณัฐ จันท์ครบ ถัทรชัย เอี่ยมพรสิน อมร สมเจตน์เลิศเจริญ และเจนศักดิ์ เอกบุรณะวัฒน์, “การผลิตไฟฟ้าจากความร้อนเหลือทิ้งของเตาहुงต้มในครัวเรือนด้วยเทอร์โมอิเล็กทริก”, *การประชุมวิชาการทางวิศวกรรมไฟฟ้า ครั้งที่ 29*, มหาวิทยาลัยเทคโนโลยีราชมงคลธัญบุรี, 9-10 พฤศจิกายน 2549. หน้า 1194-1196.
- [2] Lertsatthanakorn, C., K. Wongsim, N. Jariyanoravisse and N. Suwannata, 2003, “**Experimental Study of a Lamp Thermoelectric Generator**”, The 2<sup>nd</sup> Regional Conference on Energy Technology towards a Clean Environment, Phuket, Thailand, pp.544 – 547.
- [3] นพพร พัชรประภิต\*, ยุทธสิทธิ์ แสนเรือน และพันธ์ชัย กาวิชัย, “**ระบบอัดประจุแบตเตอรี่ด้วยพลังงานเทอร์โมอิเล็กทริก**”, การประชุมวิชาการ ด้านพลังงานสิ่งแวดล้อมและวัสดุ ครั้งที่ 1, คณะพลังงานสิ่งแวดล้อมและวัสดุ 31 สิงหาคม 2550
- [4] ณัฐ จันท์ครบ, เสรี ชื่นอารมณ, เจนศักดิ์ เอกบุรณะวัฒน์, “**การวิเคราะห์รูปแบบการต่อเชื่อมกันทางไฟฟ้าของโมดูลเทอร์โมอิเล็กทริกเพื่อให้ได้ค่ากำลังไฟฟ้าสูงสุด**”, การประชุมวิชาการทางวิศวกรรมศาสตร์ มหาวิทยาลัยสงขลานครินทร์ ครั้งที่ 5, 10-11 พฤษภาคม 2550
- [5] Eakburanawat, J. and Boonyaroonate, I., 2005, “**Development of a thermoelectric battery charger with microcontroller-based maximum power point tracking technique**”, *Applied Energy*, Vol. 83, issue. 7, pp. 687-704.
- [6] B.L.WORSNOP, B.Sc., Ph.D. APPLICATIONS OF THERMOELECTRICITY Methuen’s Monographs On Physical Subjects, pp 3-109
- [7] Rowe, D.M., “**CRC Handbook of Thermoelectric**”, New York, CRC Press, 1995.
- [8] Anders Killander, John C. Bass, 1996, “**A Stove-Top Generator For Cold Areas**” *IEEE 15th International Conference on Thermoelectric*, pp.390-393
- [9] Yuri Gurevich, Georgiy Logvinov and Igor Volovichev, “**Nonequilibrium Carriers of Charge in Theory of Thermoelectric Phenomena**”, *Proceedings of the 22nd International Conference on Thermoelectrics*, pp.464-467.

## รายการอ้างอิง (ต่อ)

- [10] คณิต พิมพ์คำไหล,บุญยัง ปลั่งกลาง, “การวิเคราะห์รูปแบบการเชื่อมต่อกันทางไฟฟ้าของโมดูลเทอร์โมอิเล็กทริก TEG12750D” การประชุมวิชาการเครือข่ายพลังงานแห่งประเทศไทยครั้งที่ 8,2-4 พฤษภาคม 2555
- [11] คณิต พิมพ์คำไหล,บุญยัง ปลั่งกลาง, “การวิเคราะห์การเชื่อมต่อกันทางไฟฟ้าของโมดูลเทอร์โมอิเล็กทริก TEG12750D ด้วยการทดลองเปรียบเทียบกับการทำงานด้วยโปรแกรม Matlab Simulink”การประชุมสัมมนาเชิงวิชาการรูปแบบพลังงานทดแทนสู่ชุมชนแห่งประเทศไทย ครั้งที่ 6,13 – 15 พฤศจิกายน 2556
- [12] Rida Y.Nuwayhid, Alan Shinhadeh, Nesreen Ghaddar. “**Develeopment and testing of a domestics woodstove thermoelectric Generator with natural convection cooling**”, Energy Conversion & Management, Vol. xx, No. x, pp. xxx-xxx., 2004.
- [13] Jorge Vázquez, Miguel A. Sanz-Bobi, Rafael Palacios, \*Antonio Arenas, “**State of the Art of Thermoelectric Generators Based on Heat Recovered from the Exhaust Gases of Automobiles**” *Proceedings of the 7th European Workshop on Thermoelectrics*, Paper #17, Oct 2002, Pamplona, SPAIN.
- [14] วนิตา เอกบุรณะวัฒน์ เจนศักดิ์ เอกบุรณะวัฒน์ และอิชญา บุญญาอรุณเนตร “ระบบประจุแบตเตอรี่แบบใช้พลังงานจากเทอร์โมอิเล็กทริก” การประชุมวิชาการทางวิศวกรรมไฟฟ้า ครั้งที่ 27 (EECON 27) โรงแรม โซฟีเทลราชาออกคิด จังหวัดขอนแก่น วันที่ 29 – 30 ตุลาคม 2547
- [15] แสงดาว สัจข์แก้ว,ปิ่นอนงค์ แก้วมณีและสมภพ จิรเจษฎา(2546), “การศึกษาพฤติกรรมและการประยุกต์ใช้งานเทอร์โมอิเล็กทริกเจเนอเรเตอร์” ปรินูญานิพนธ์ ภาควิชาวิศวกรรมไฟฟ้า คณะวิศวกรรมศาสตร์ มหาวิทยาลัยเทคโนโลยีพระจอมเกล้าธนบุรี.
- [16] Lersatitthanakom C., J.Hirunlabh,J. Khedari and M.Daguenet (2002) “**Experimental Performance of a Ceiling – Type Free Convected Air Conditioner**”*Inter.J.Ambient Energy*,23,pp.59-68
- [17] Mahudur R,Roger S. “**Thermoelectric power-generation for battery charging**” In:Proceeding of the IEEE conference on energy management and power delivery,vol.1;1995.p.186-91

## รายการอ้างอิง (ต่อ)

- [18] Roth W, et al. “**Grid-independent power-supply for repeaters in mobile radio networks using photovoltaic/ thermoelectric hybrid systems**” In: Proceeding of the 16<sup>th</sup> international conference on thermoelectrics; 1977, p.582-5.
- [19] Min G, Rowe DM. “**Peltier devices as generators. CRC handbook of thermoelectric**” London: CRC Press; 1995 [Chapter 38].
- [20] Rowe DM, Min G. “**Design theory of thermoelectric modules for electrical power generation**” IEE Proc-Sci Meas Technol 1996; 143(6):351-6
- [21] Eakburanawat J, Khedari J, Hirunlabh J, Daguene M, Maneewan S, Teekasap S. “**Solar-biomass thermoelectric power generation simulation**” In: Proceeding of 22<sup>nd</sup> international conference on thermoelectrics, La Grande Motte, Montpellier, France; 2003.
- [22] Chung Henry Shu-Hung, Tse KK, Ron Hui SY, Mok CM, Ho MT “**A novel maximum power point tracking technique for solar panels using SEPIC or Cuk converter**” IEEE Trans Power Electron 2003; 18(3):717-24.
- [23] Koutroulis Eftichios, Kalaitzakis Kostas, Voulgaris NC “**Development of a microcontroller-based, photovoltaic maximum power point tracking control system**” IEEE Trans Power Electron 2003; 16(1):717-24.46-54.
- [24] เจริญพร เลิศสถิตชนกร, ณัฐวุฒิ สุวรรณทา “**การผลิตไฟฟ้าจากความร้อนทิ้งของตะเกียงโดยใช้เทอร์โมอิเล็กทริก**”, มหาวิทยาลัยมหาสารคาม; 2545
- [25] วันชัย ทรัพย์สิงห์, เอกสารประกอบการสอน, “**อิเล็กทรอนิกส์กำลังและการควบคุม**”, ภาควิชาวิศวกรรมไฟฟ้า คณะวิศวกรรมศาสตร์ มหาวิทยาลัยเทคโนโลยีราชมงคลธัญบุรี, ปทุมธานี; 2553
- [26] ภาณุพงศ์ ศิริกุล, วิทยานิพนธ์, “**การทดสอบวิเคราะห์ระบบระบายความร้อนเพื่อเพิ่มประสิทธิภาพในการผลิตไฟฟ้าด้วยแผ่นเพลเทียร์**”, มหาวิทยาลัยเทคโนโลยีราชมงคลธัญบุรี, ปทุมธานี; 2553
- [27] " Thermoelectric module." [ออนไลน์]. เข้าถึงได้ จาก: <http://www.novatecproducts.com/>

## รายการอ้างอิง (ต่อ)

about\_thermoelectric\_technology.htm.2554

- [28] "Electric Power Generated from Waste Heat.". [Online]. Available: [http://www.aist.go.jp/aist\\_e/list/latest\\_research/2005/20050617/20050617.html](http://www.aist.go.jp/aist_e/list/latest_research/2005/20050617/20050617.html).2013
- [29] Jorge Vázquez, Miguel A. Sanz-Bobi, Rafael Palacios, \*Antonio Arenas, “**State of the Art of Thermoelectric Generators Based on Heat Recovered from the Exhaust Gases of Automobiles**” *Proceedings of the 7th European Workshop on Thermoelectrics*, Paper #17, Oct 2002, Pamplona, SPAIN.
- [30] G.S. Nolas,J. Sharp,J. Goldsmid, *Thermoelectrics, “Basic Principles and New Materials Developments”*, Springer Science & Business Media, March 9, 2013
- [31] *A F Ioffe*, “**Semiconductor Thermoelements and Thermoelectric Cooling**”, London : Infosearch, ©1957
- [32] C. Wood, “**Materials for thermoelectric energy conversion**”, Jet Propulsion Laboratory, California Institute of Technology, U.S.A. : Available online 5 August 2003
- [33] " การจำแนกความร้อนเหลือทิ้ง.".[ออนไลน์].เข้าถึงได้ จาก: <http://www.spowerteam.co.th/index.php/article/energy-articles/151-classification-of-waste-heat.html>, กันยายน 2557

ภาคผนวก





ภาคผนวก ก

การใช้งานโปรแกรม Matlab/Simulink

## โปรแกรม MATLAB/SIMULINK

โปรแกรม Matlab หรือ Matrix Laboratory ได้เริ่มพัฒนาครั้งแรกโดย Dr. Cleve Moler ซึ่งเขียนโปรแกรมนี้ขึ้นมาด้วยภาษา Fortran โดยโปรแกรมนี้ได้พัฒนาภายใต้โครงการ LINPACK และ EISPACK Matlab เป็นโปรแกรมที่ออกแบบมาสำหรับการคำนวณทางคณิตศาสตร์โดยทั่วไป โดยเฉพาะอย่างยิ่งการคำนวณเวกเตอร์และเมทริกซ์ทั้งในระบบจำนวนจริงและระบบจำนวนเชิงซ้อน ซึ่งเป็นการเหมาะสมเป็นอย่างมากสำหรับการใช้งานในการคำนวณวิเคราะห์และออกแบบระบบ (System Design) ในทางวิศวกรรมทุกสาขา

Matlab เป็นโปรแกรมคอมพิวเตอร์สมรรถนะสูงใช้ในการคำนวณทางเทคนิค Matlab ได้รวมการคำนวณ การเขียนโปรแกรม และการแสดงผลรวมกันอยู่ในตัวโปรแกรมเดียวได้อย่างมีประสิทธิภาพ และอยู่ในลักษณะที่ง่ายต่อการใช้งาน นอกจากนี้ลักษณะของการเขียนสมการในโปรแกรมก็จะเหมือนการเขียนสมการคณิตศาสตร์งานที่ใช้ Matlab ก็เช่น การคำนวณทั่วไป การสร้างแบบจำลอง การวิเคราะห์ข้อมูล การแสดงผลในรูปแบบกราฟแบบทั่วไปและกราฟทางด้านวิทยาศาสตร์ และวิศวกรรมสามารถสร้างโปรแกรมในลักษณะที่ติดต่อกับผู้ใช้ทางกราฟฟิก

การทำงานของ Matlab จะสามารถทำงานได้ทั้งในลักษณะของการติดต่อโดยตรง (Interactive) คือการเขียนคำสั่งเข้าไปทีละคำสั่ง เพื่อให้ Matlab ประมวลผลไปเรื่อยๆ หรือสามารถที่จะรวบรวมชุดคำสั่งเหล่านั้นเป็นโปรแกรมก็ได้ ข้อสำคัญอย่างหนึ่งของ Matlab คือข้อมูลทุกตัวจะถูกเก็บในลักษณะของ array โดยในแต่ละตัวแปรจะได้รับการแบ่งเป็นส่วนย่อยเล็กๆ ขึ้น (หรือจะได้รับการแบ่งเป็น element นั้นเอง) ซึ่งการใช้ตัวแปรเป็น array ใน Matlab นี้เราไม่จำเป็นที่จะต้องจอง dimension เหมือนกับการเขียนโปรแกรมในภาษาต่างๆไป ซึ่งทำให้เราสามารถที่จะแก้ปัญหาของตัวแปร ที่อยู่ในลักษณะ เวกเตอร์และเมทริกซ์ได้โดยง่าย ทำให้ลดเวลาการทำงานลงได้อย่างมาก เมื่อเทียบกับการเขียนโปรแกรมโดย C หรือ Fortran นอกเหนือจากตัวโปรแกรม Matlab เองแล้ว บริษัท Math Works ผู้ผลิต Matlab ยังได้ผลิตเครื่องมือที่เรียกว่า Toolbox หรือ Simulink ซึ่งเป็นโปรแกรมที่เขียนขึ้นเพื่อประกอบกับการใช้ Matlab สำหรับงานที่จำเพาะเจาะจงหลายประเภท Simulink นั้น เป็นการนำเอาโปรแกรมที่เขียนขึ้นเป็นฟังก์ชัน

สำหรับ Matlab เพื่อให้ผู้ใช้งานมีความสะดวกในการเรียกใช้มากขึ้น ทำให้ผู้ใช้ไม่จำเป็นที่จะต้องสร้างโปรแกรมขึ้นมาใช้งานเองโดย Simulink ที่สร้างขึ้นจะครอบคลุมการทำงานด้านต่างๆ มากมาย ลำดับการคำนวณหรืออัลกอริทึมเพื่อแก้ปัญหาทางคณิตศาสตร์สามารถนำมาเขียนเป็น



ฟังก์ชันที่ต้องการมีการผ่านค่าตัวแปรเข้าออกจากฟังก์ชันหรือ โปรแกรมที่ไม่ต้องผ่านค่าตัวแปรเข้าออกของผู้ใช้เองเรียกว่า m file Matlab สามารถที่จะทำการคำนวณตามลำดับ (Sequential Execution) ในโปรแกรม m file ที่ผู้ใช้เขียนขึ้นและ m file เหล่านี้ ก็อาจจะถูกมองเป็นฟังก์ชันจากโปรแกรมอื่นๆ อีก ซึ่งการผ่านค่าเข้าออกฟังก์ชัน ในโปรแกรม Matlab มีความสะดวกเรียนรู้ได้ง่ายกว่าการใช้ภาษาคอมพิวเตอร์อื่นในการเขียนและเนื่องจากฟังก์ชันทางคณิตศาสตร์อื่นๆ ก็มีอยู่พร้อมแล้วเป็นจำนวนมาก ทำให้การเขียนโปรแกรมด้วย Matlab เป็นไปด้วยความรวดเร็ว

การอ่านและเก็บ (Read and Write) ค่าตัวแปรก็สามารถทำได้ทั้งในรูปแบบของ Matlab (Binary and File) หรือ ASCII File ก็ได้ทำให้การเชื่อมต่อ (Interface) ทางข้อมูลระหว่าง Matlab กับโปรแกรมอื่นเป็นไปโดยง่าย

## 1. การเริ่มต้นใช้งาน

เมื่อเข้ามาที่หน้าต่างโปรแกรม Matlab จะเจอหน้าต่างคำสั่งเป็นหน้าต่างแรกที่พบ เมื่อเปิดโปรแกรม Matlab การป้อนคำสั่งต่างๆ จะป้อนลงในหน้าต่างนั้นเพื่อทำการคำนวณและประมวลผลต่างๆ และเป็นหน้าต่างที่ใช้แสดงผลที่ได้จากการประมวลผลยกเว้นรูปภาพซึ่งจะแยกไปแสดงผลในหน้าต่างกราฟ ในการป้อนคำสั่งสำหรับการประมวลผลของโปรแกรม Matlab สามารถป้อนได้ 2 วิธีด้วยกันคือเป็นการป้อนคำสั่งหรือค่าตัวแปรต่างๆ บนหน้าต่างคำสั่งทีละคำสั่งตามขั้นตอนของการแก้ปัญหา หรือเป็นการกำหนดค่าตัวแปรต่างๆ และชุดคำสั่งต่างๆ ที่ใช้ทำการประมวลผลตามขั้นตอนของการคำนวณเพื่อแก้ปัญหาลงในไฟล์ซึ่งจะต้องเก็บไว้ด้วยนามสกุล .m โดยที่จะเรียกชุดตัวแปรและชุดคำสั่งทั้งหมดที่เขียนในลักษณะนี้ว่าโปรแกรม .m file

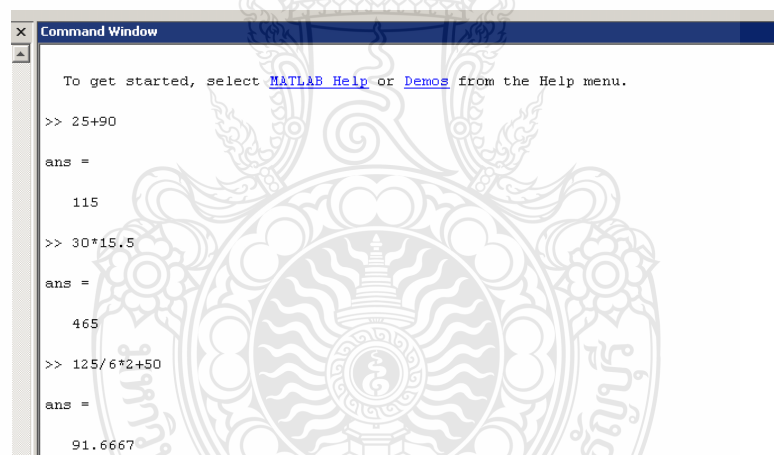
สำหรับผู้ใช้โปรแกรมคำสั่ง Matlab ครั้งแรกโปรแกรม Matlab มีคำสั่งซึ่งช่วยคุณลักษณะการใช้งานและความสามารถในการทำงานของโปรแกรม Matlab และคำสั่ง Computer ซึ่งจะแสดงชนิดของเครื่อง Computer ที่เรากำลังใช้งานอยู่ในขณะนั้นนอกจากนั้นยังมีคำสั่ง Help ซึ่งจะอธิบายการใช้คำสั่งต่างๆ รวมถึงรูปแบบคำสั่งที่มีใช้ในโปรแกรม Matlab สัญลักษณ์หนึ่งตัวที่ใช้บ่อยในโปรแกรม Matlab คือ % สัญลักษณ์ % เมื่อเป็นตัวแรกของคำสั่งหรือข้อความใดๆ จะเป็นเครื่องหมายที่บอกให้เครื่องทราบว่าไม่ต้องทำการประมวลผลใดๆ ต่อคำสั่งหรือข้อความที่อยู่หลังเครื่องหมายนี้ วัตถุประสงค์ของการใช้เครื่องหมายนี้ ก็เพื่อเป็นการเขียนคำอธิบายโปรแกรมในคำสั่งของบรรทัดต่อไป ที่เราได้เขียนไว้ทั้งนี้เป็นการเตือนความจำของเราเองถึงขั้นตอนการทำงานของโปรแกรม หรือผู้ที่นำโปรแกรมไปใช้ให้เข้าใจถึงตัวโปรแกรมที่เราเขียนนั้นหรือเรียกว่า Script file ซึ่งหมายถึงไฟล์ที่ถูกเก็บในรูปแบบของรหัส ASCII

Code โดย m file หรือ Script file นี้สามารถสร้างมาจากโปรแกรม Editor ใดๆ หรือโปรแกรม Word Processor ใดๆ ก็ได้ในการเรียกใช้โปรแกรม m-file นี้ สามารถทำได้ง่าย โดยเพียงแค่พิมพ์ชื่อของ m file โดยไม่ต้องตามด้วยนามสกุล .m ลงในหน้าต่างคำสั่ง โปรแกรม Matlab ก็จะไปทำการอ่านคำสั่งใน m file ชื่อนั้นๆ และทำการประมวลผลไปที่ละบรรทัดจนจบโปรแกรม

## 2. การคำนวณพื้นฐาน

เมื่อพิมพ์คำสั่งการคำนวณที่เครื่องหมาย “>>” Matlab จะทำการคำนวณแล้วจะแสดงผลคำตอบได้ทันทีแบบเดียวกับเครื่องคิดเลข สมมติว่าต้องการคำนวณ  $25+90$  สามารถพิมพ์เข้าไปได้ที่ดังนี้ >> 25+90 แล้วกด Enter ซึ่ง Matlab จะตอบออกมาทันทีในบรรทัดถัดมาว่า ans = 115 ดังภาพที่ ก.1

ซึ่งจะเห็นว่าลักษณะการเขียนประโยคคณิตศาสตร์จะเหมือนกับการเขียนภาษาสูงทั่วไป โดยจะกระทำในวงเล็บก่อนแล้วค่อยทำข้างนอก



```
Command Window
To get started, select MATLAB Help or Demos from the Help menu.
>> 25+90
ans =
    115
>> 30*15.5
ans =
    465
>> 125/6*2+50
ans =
   91.6667
```

ภาพที่ ก.1 ผลที่ได้จากการคำนวณใน Matlab

## 3. เมทริกซ์

โปรแกรม Matlab มีการใช้ฟังก์ชันหลายๆ ตัวเพื่อสร้างเมทริกซ์พิเศษขึ้น โดยเมทริกซ์เหล่านี้ อาจมีการใช้เฉพาะงาน หรืออาจใช้ในการคำนวณตามเทคนิคการคำนวณต่างๆ โดยส่วนมากเมทริกซ์เหล่านี้ มักตั้งขึ้นใกล้เคียงกับการทำงานของเมทริกซ์นั้นๆ การป้อนค่าให้กับสมาชิกในเมทริกซ์

สามารถทำได้โดยสมาชิกในหนึ่งแถวจะแบ่งด้วยการเว้นวรรค (Space) แต่ละแถวจะแบ่งด้วยเครื่องหมาย “;” (Semicolon) หรือด้วยการกด Enter เช่น

```
>> F = [3 5 7 ; 11 17 18]; Enter
```

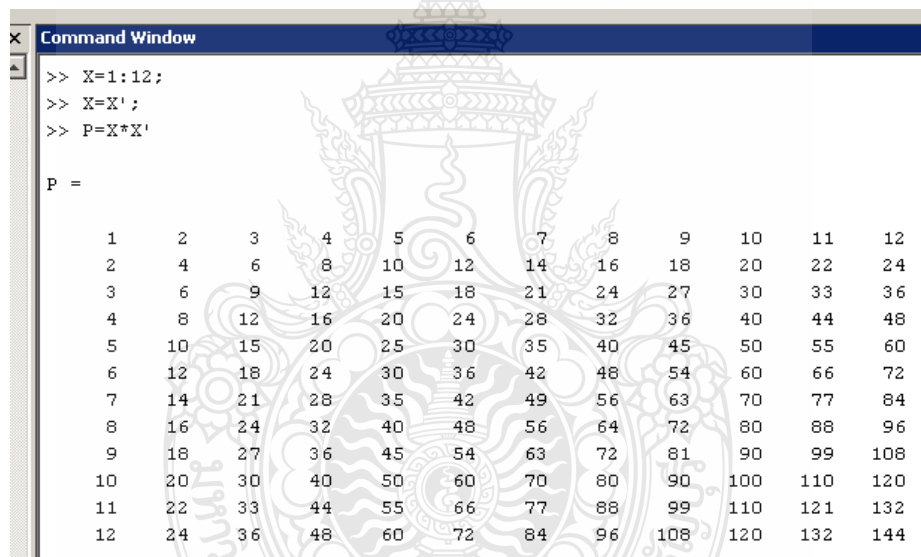
ตัวอย่างเช่น ต้องการทำการหาผลคูณ ในการคิดคือ ให้มองตารางสูตรคูณเป็นเมทริกซ์เกิดจาก

$P = XX^T$  เมื่อ X เป็นเวกเตอร์หลัก (Column Vector) ดังนั้นสร้างเวกเตอร์ขึ้นมาหนึ่งเวกเตอร์ มีค่าจาก 1 ถึง 12 โดยใช้คำสั่งคือ

```
>>X=1:12; Enter
```

```
>>X=X'; Enter
```

```
>>P=X*X' Enter
```



```
Command Window
>> X=1:12;
>> X=X';
>> P=X*X'

P =

     1     2     3     4     5     6     7     8     9    10    11    12
     2     4     6     8    10    12    14    16    18    20    22    24
     3     6     9    12    15    18    21    24    27    30    33    36
     4     8    12    16    20    24    28    32    36    40    44    48
     5    10    15    20    25    30    35    40    45    50    55    60
     6    12    18    24    30    36    42    48    54    60    66    72
     7    14    21    28    35    42    49    56    63    70    77    84
     8    16    24    32    40    48    56    64    72    80    88    96
     9    18    27    36    45    54    63    72    81    90    99   108
    10    20    30    40    50    60    70    80    90   100   110   120
    11    22    33    44    55    66    77    88    99   110   121   132
    12    24    36    48    60    72    84    96   108   120   132   144
```

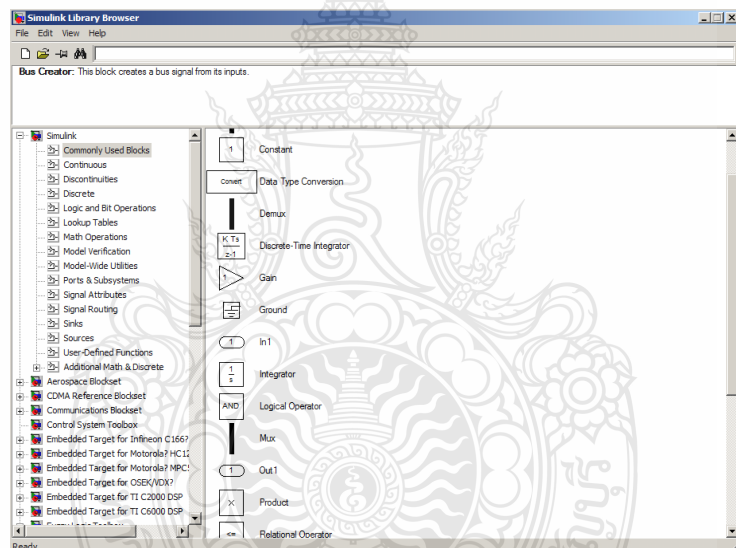
ภาพที่ ก.2 ตารางสูตรคูณแม่ 2 ถึงแม่ 12

#### 4. SIMULINK เบื้องต้น

โปรแกรม Matlab สามารถจำลองทดสอบ และวิเคราะห์การทำงานของระบบพลศาสตร์ในเชิงเวลา ได้โดยการใช้ Simulink ซึ่งเป็นเครื่องมือ Toolbox ที่อยู่ในโปรแกรม Matlab โดยจะทำงานภายใต้หน้าต่างที่เป็นการเชื่อมต่อทางรูปภาพ (GUI) ของ Simulink เท่านั้น คำว่า Simulink มาจากคำสองคำคือ Simulation และ Link การใช้งาน Simulink จะกระทำโดยการนำ Block ในหน้าต่าง

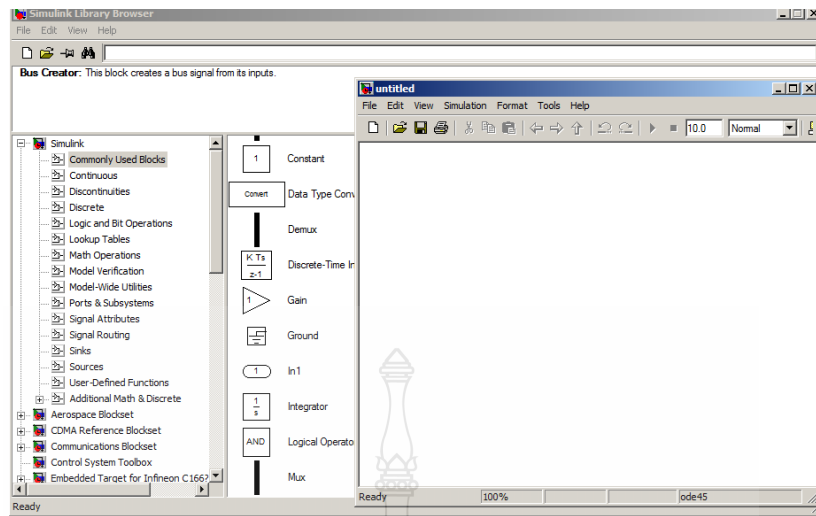
Library-Simulink มาต่อกันตามที่เราต้องการและสามารถจำลองระบบได้ทั้งระบบที่เป็นเชิงเส้น ไม่เป็นเชิงเส้น ระบบเวลาต่อเนื่องและไม่ต่อเนื่องการจำลองระบบสามารถกระทำได้โดยป้อนอินพุตที่ป้อนเข้าไป

โปรแกรม MATLAB/Simulink เป็น โปรแกรมในส่วนที่เพิ่มเติมเข้ามาใน โปรแกรม MATLAB ซึ่งเป็นโปรแกรมคำนวณเชิงตัวเลขที่มีประโยชน์อย่างหลากหลาย เช่น การใช้งานฟังก์ชันทางคณิตศาสตร์ขั้นสูง ,การคำนวณในเชิงตัวแปรเพื่อแก้สมการ ,การใช้งานร่วมกับฮาร์ดแวร์รูปแบบต่างๆ เป็นต้น ในส่วนของ Simulink นั้นเป็นเครื่องมือที่ใช้ในการเขียนโปรแกรมเพื่อหาคำตอบของสมการทางคณิตศาสตร์ โดยใช้รูปแบบของ block Diagram เป็นหลักทำให้มีความง่ายและสะดวกมากยิ่งขึ้น สำหรับองค์ประกอบของโปรแกรมนั้น จะสามารถสร้างแบบจำลองได้โดยใช้ Building Blocks ที่มีมาให้จาก Simulink Library Browser ดังภาพที่ ก.3

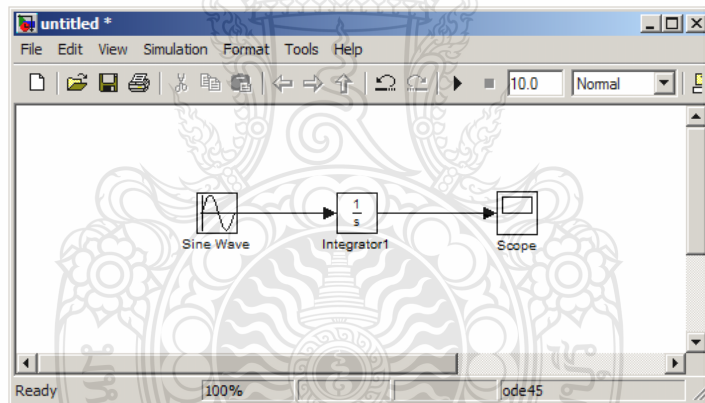


ภาพที่ ก.3 Block Diagram พื้นฐานใน Simulink Library Browser

ในโปรแกรม Simulink นั้น การจำลองปัญหาจะอาศัยการสร้างแผนภูมิ (Simulation Diagram) เพื่อการกำเนิด การรับ และส่งผ่านสัญญาณ ข้อมูลจาก block หนึ่งจะถูกส่งผ่านไปอีก block หนึ่งโดยจะผ่านเส้นเชื่อมต่อกัน โดยที่สามารถดูผลลัพธ์ของข้อมูลได้หลายลักษณะทั้ง Oscilloscope หรือ Display โดยสามารถเลือกจากในส่วนของ Sink ดังภาพที่ ก.4 และ ก.5



ภาพที่ ก.4 หน้าต่างสำหรับสร้างระบบจำลองของ Simulink



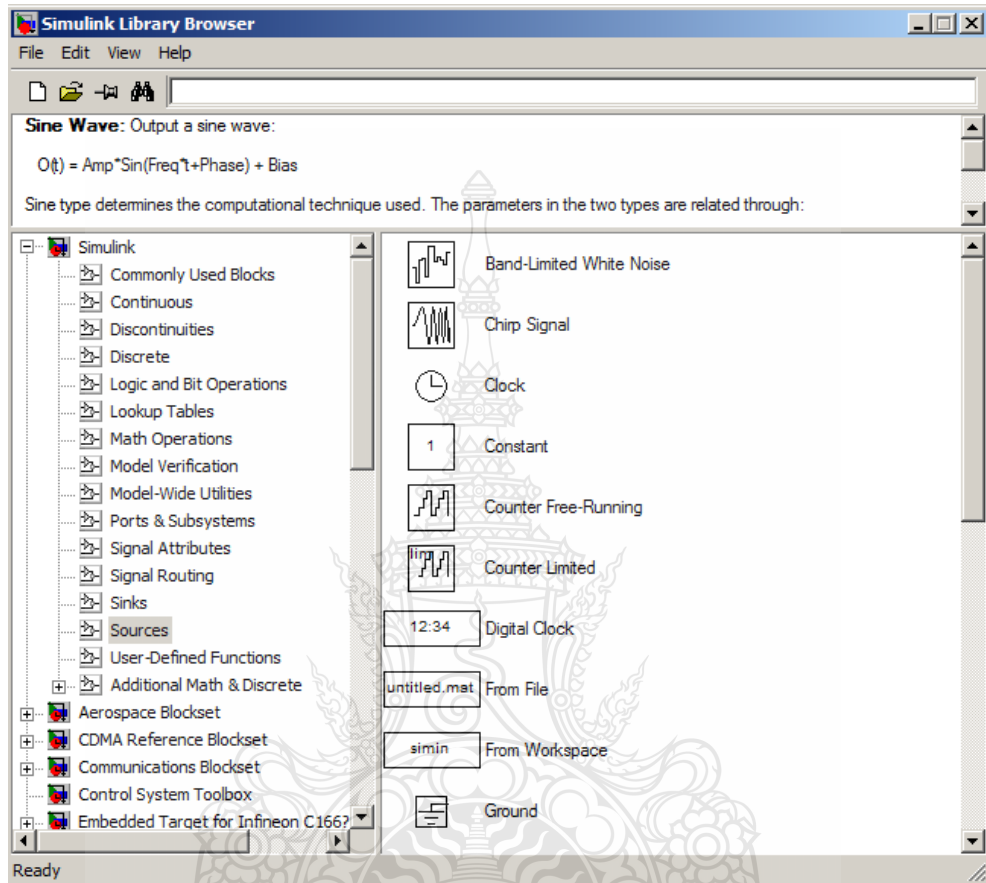
ภาพที่ ก.5 การเชื่อมต่อระหว่าง block ของ Simulink

## 5. กลุ่มของ block พื้นฐานใน Simulink

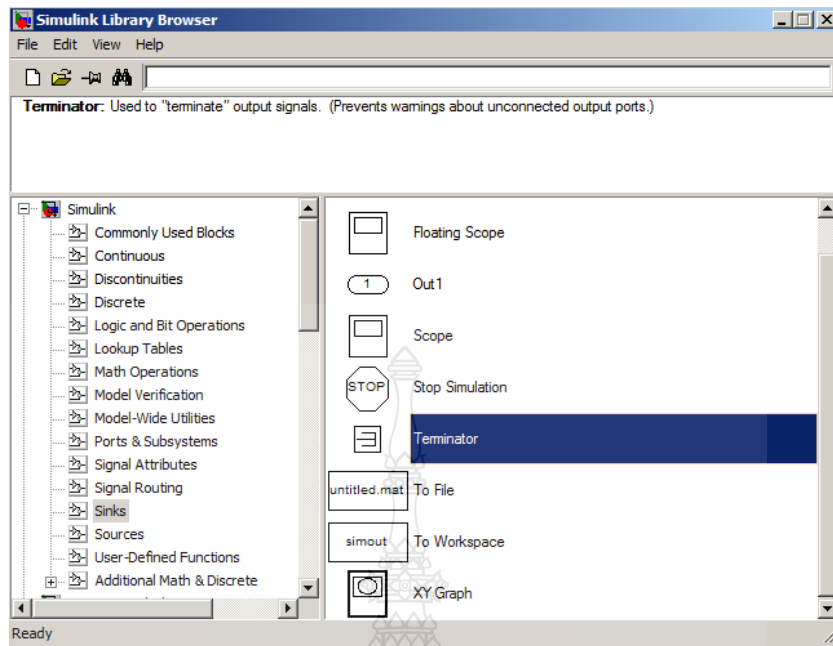
### ก. แหล่งกำเนิดสัญญาณ (Source) และแหล่งแสดงสัญญาณ (Sinks)

กลุ่มของ Source ที่กำหนดมาให้จะประกอบด้วยแหล่งกำเนิดข้อมูลหรือสัญญาณ เช่น แหล่งกำเนิดค่าคงที่ (Constant), แหล่งกำเนิดสัญญาณพัลส์ (Pulse Generator), แหล่งกำเนิดสัญญาณรูปไซน์ (Sine Wave) หรือแหล่งกำเนิดสัญญาณนาฬิกา (Clock) ที่มักใช้เพื่อจับเวลาการจำลองปัญหา

เป็นต้น ดังภาพที่ 2.28 กลุ่มของ Sinks เป็นกลุ่มที่จะใช้สำหรับเก็บข้อมูล (To Workspace) และแสดงผลของการแก้ปัญหา (Scope ,Display) เป็นต้น ดังภาพที่ ก.6



ภาพที่ ก.6 กลุ่ม block ของ Source



ภาพที่ ก.7 กลุ่ม block ของ Sinks

จากภาพที่ 6.7 กลุ่มของ Sinks มีดังนี้

Scope คือ การแสดงผลสัญญาณระหว่างการจำลองระบบบนออสซิลโลสโคป

To Workspace คือ เก็บค่าข้อมูลไว้ใน Workspace

Stop Simulation คือ หยุดการจำลองระบบเมื่อค่าอินพุตมีความแตกต่างจากศูนย์

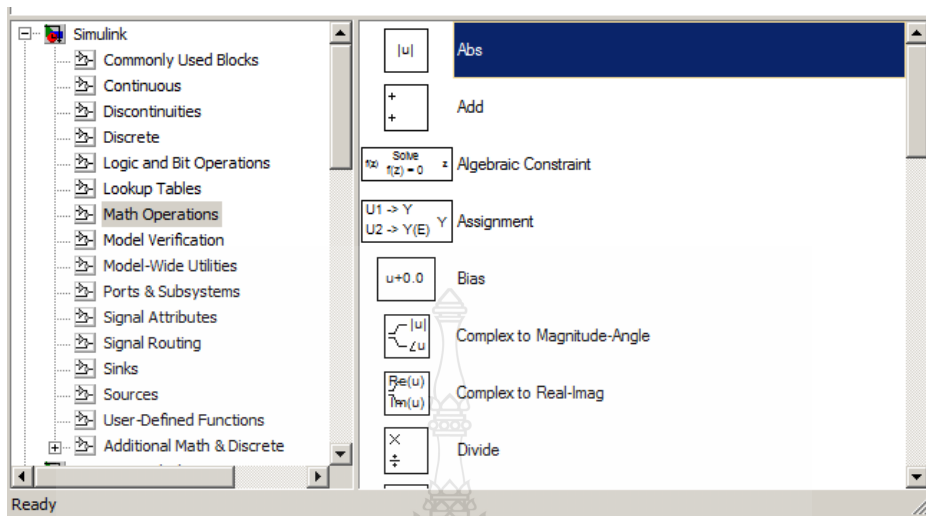
Display คือ การแสดงค่าข้อมูลบน Block

#### ข. การดำเนินการทางคณิตศาสตร์ (Math Operations)

กลุ่ม Math Operations มีหน้าที่เกี่ยวข้องกับการดำเนินการคณิตศาสตร์ต่างๆ มีดังนี้

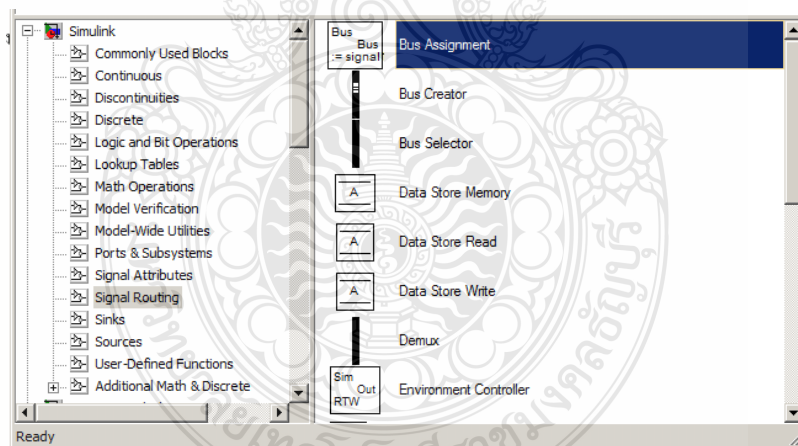
Sum คือ การรวมผลรวมอินพุต

- Product คือ การหาค่า Dot Product ของเวกเตอร์อินพุต
- Gain คือ การคูณอินพุตด้วยค่าคงที่ (Gain) ที่กำหนด
- Abs คือ การหาค่า Absolute ของอินพุต
- Math Function คือ การหาค่าฟังก์ชันทางคณิตศาสตร์ของอินพุต
- Trigonometric Function คือ การหาฟังก์ชันตรีโกณมิติของอินพุต
- Rounding Function คือ การหาฟังก์ชันการปัดเศษของอินพุต



ภาพที่ ก.8 กลุ่ม block ของ Math Operations

### ก. ทางเดินสัญญาณ (Signal Routing)



ภาพที่ ก.9 กลุ่ม block ของ Signal Routing

ในการจำลองระบบที่มีความซับซ้อน บางครั้งมีความจำเป็นต้องมีการรับส่งสัญญาณจากส่วนหนึ่งของระบบ ไปสู่อีกส่วนหนึ่งของระบบ ซึ่งการใช้เส้นเชื่อมอาจไม่สะดวกในการทำงาน ซึ่ง block ในกลุ่มนี้เป็นประเภท GOTO, FROM, Multiplexing จะทำให้แผนภูมิมีความเป็นระเบียบมากขึ้น

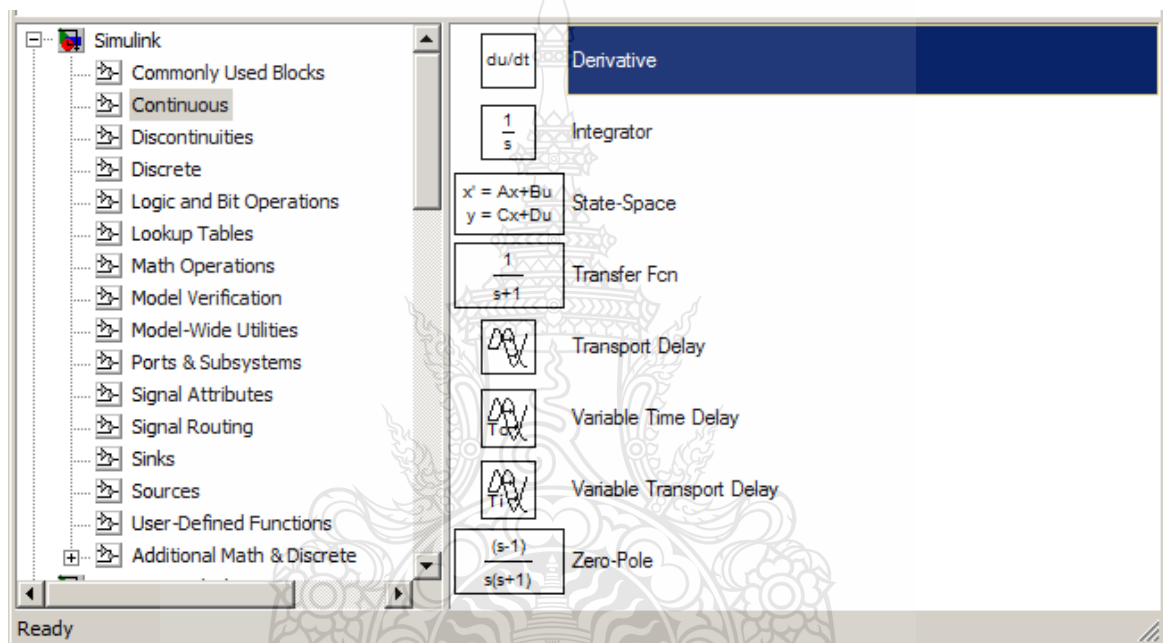


## ง. Continuous

จะประกอบด้วยกลุ่ม block ที่ใช้อธิบายฟังก์ชันเชิงเส้น ดังนี้

Integrator คือ การอินทิเกรตสัญญาณ

- Derivative คือ การหาอนุพันธ์ในเชิงเวลาของสัญญาณ
- State-Space คือ การสร้างระบบ Line-Time Invariant ในรูปแบบ State-Space
- Zero-Pole คือ การสร้าง Transfer Function ในรูปแบบ Zero-Pole



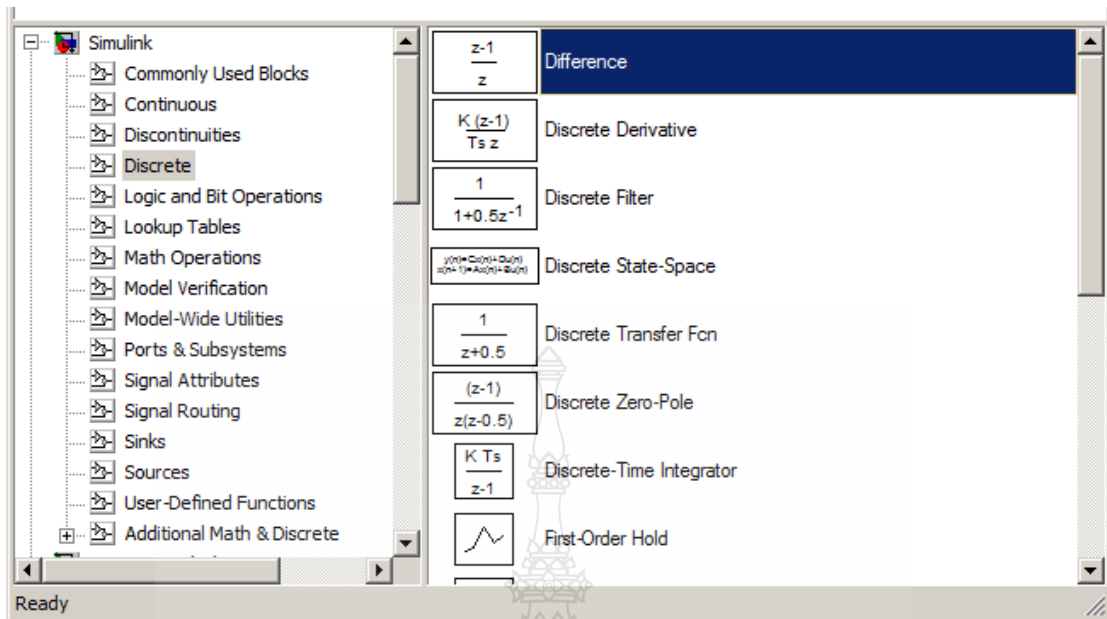
ภาพที่ ก.10 กลุ่ม block ของ Continuous

## จ. Discrete

จะประกอบด้วยกลุ่ม block ที่ใช้จำลองระบบเวลาไม่ต่อเนื่อง ดังนี้

Zero-Order Hold คือการสร้างฟังก์ชัน Sample-and-Hold

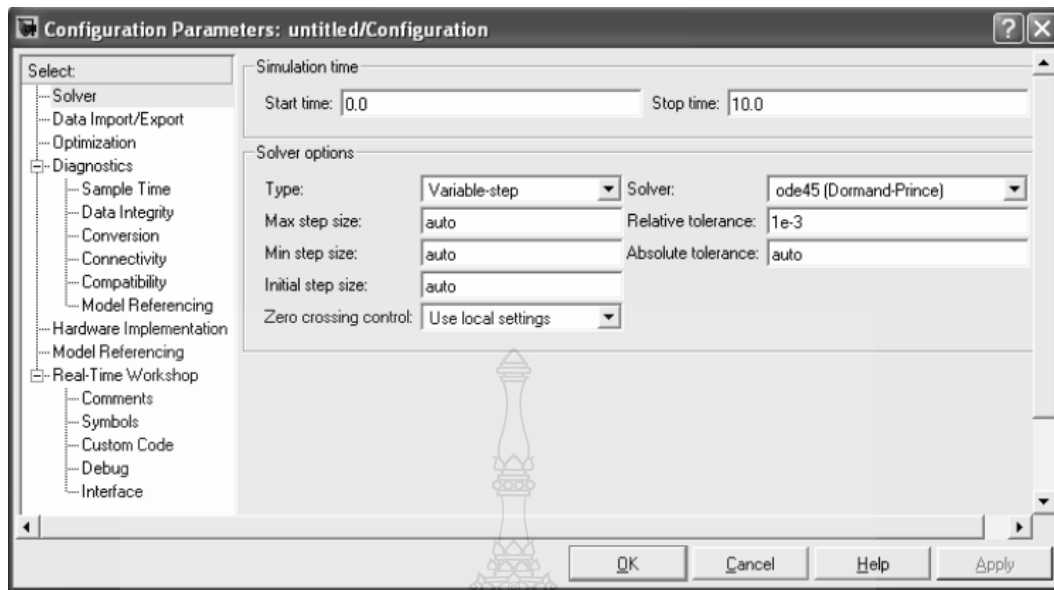
- Unit Delay คือ การ Delay อินพุตไปหนึ่งคาบตัวอย่าง
- Discrete-Time Integrator คือ การสร้างอินทิเกรต Discrete-Time
- Discrete State-Space คือ การสร้างระบบ Discrete-Time ในรูปแบบ State-Space
- Discrete Transfer Fcn คือ การสร้าง Discrete-Time Transfer Function
- Discrete Zero-Pole คือ การสร้าง Discrete-Time Transfer Function ในรูปแบบ Zero-Pole



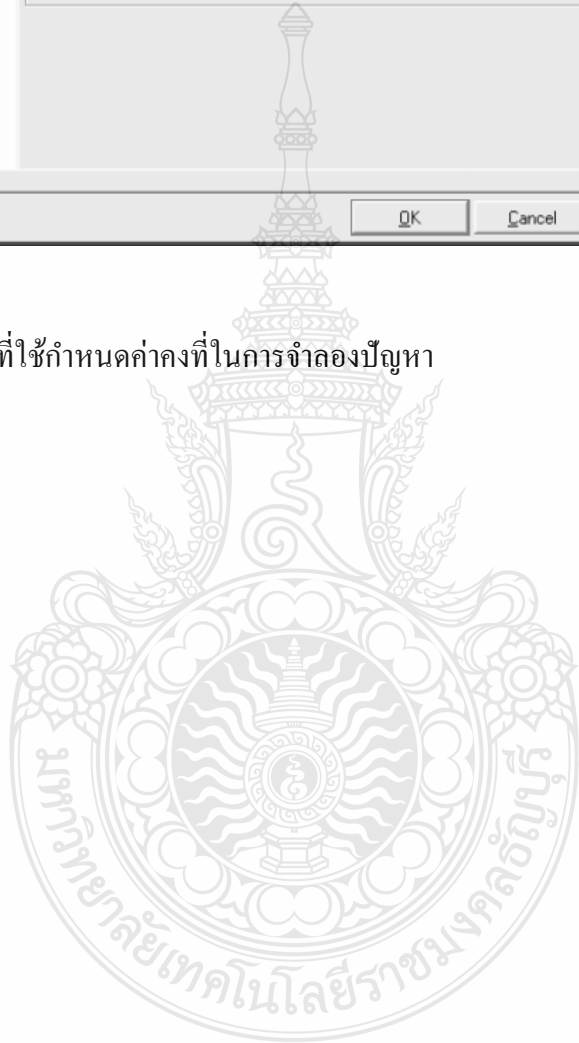
ภาพที่ ก.11 กลุ่ม block ของ Discrete

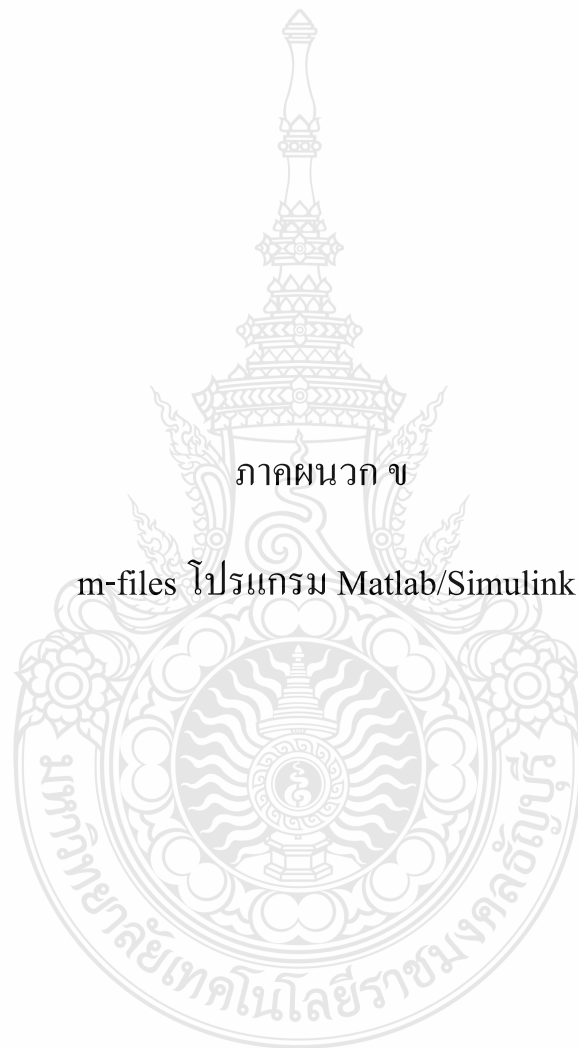
## 6. การกำหนดค่าคงที่ในการจำลองปัญหา (Parameters Configuration)

การจำลองปัญหาในคอมพิวเตอร์นั้น มีข้อสังเกตที่ต้องพึงระวัง คือระยะเวลาที่สนใจในการจำลองปัญหากับระยะเวลาในการจำลองปัญหา เช่นคอมพิวเตอร์อาจจะใช้ระยะเวลาในการจำลองการตอบสนองในช่วง 10 นาที ของระบบที่สนใจเพียง 1 วินาที ทำให้ระยะเวลาที่คอมพิวเตอร์ใช้ในการหาคำตอบของปัญหาที่สนใจไม่ตรงกันในการจำลองปัญหาโดยใช้ระเบียบวิธีเชิงตัวเลขที่ Step Size มีค่าไม่คงที่ (Variable Step Size) ค่า Step Size ที่มากที่สุดและน้อยที่สุดสามารถกำหนดได้ อย่างไรก็ตามระเบียบวิธีเชิงตัวเลขที่ Step Size มีค่าคงที่ (Fixed Step Size) เป็นวิธีที่มีกจะนิยมใช้ในการจำลองปัญหา เนื่องจากสามารถระบุช่วงเวลาหรือจุดของเวลาที่สนใจได้อย่างแม่นยำ ดังภาพที่ ก.12



ภาพที่ ก.12 หน้าต่างที่ใช้กำหนดค่าคงที่ในการจำลองปัญหา





ภาคผนวก ข

m-files โปรแกรม Matlab/Simulink

```
Alfa= 0.045;
```

```
DT= 190 ;
```

```
ri= 0.35 ;
```

```
t_min=0;
```

```
t_max=10;
```

```
figure(1);
```

```
subplot(3,1,1);
```

```
plot(t,Vload,'blue','LineWidth',3);
```

```
grid on;
```

```
ylabel('Volts','FontSize',18);
```

```
xlabel('R [ohm]','FontSize',18);
```

```
axis([t_min t_max 0 10]);
```

```
subplot(3,1,2);
```

```
plot(t,I,'red','LineWidth',3);
```

```
grid on;
```

```
ylabel('Amp','FontSize',18);
```

```
xlabel('R [ohm]','FontSize',18);
```

```
axis([t_min t_max 0 10]);
```

```
subplot(3,1,3);
```

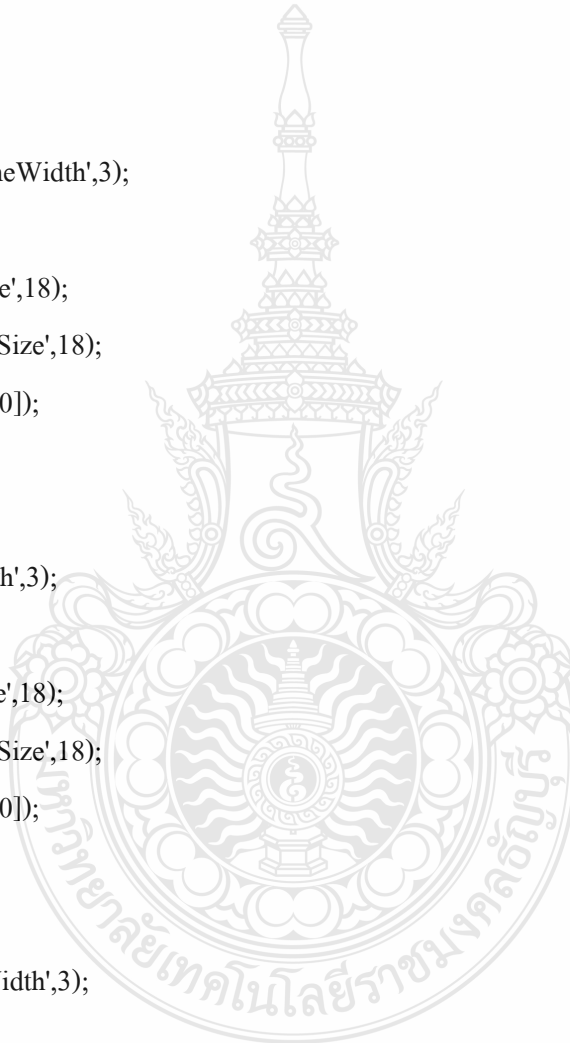
```
plot(t,P,'black','LineWidth',3);
```

```
grid on;
```

```
ylabel('Power','FontSize',18);
```

```
xlabel('R [ohm]','FontSize',18);
```

```
axis([t_min t_max 0 50]);
```

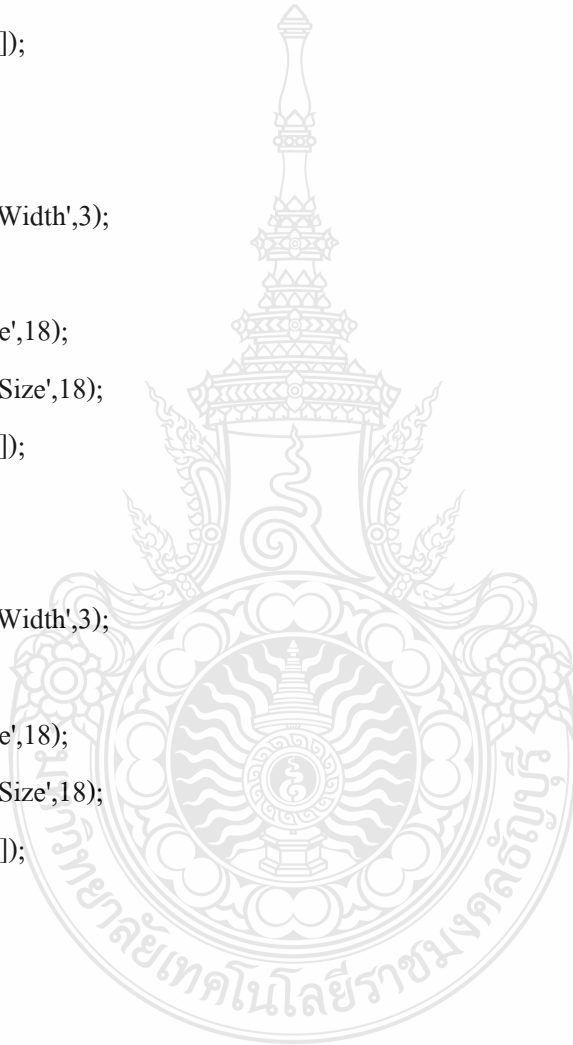


```
figure(2);
subplot(3,1,1);
plot(t,Vp1,'blue','LineWidth',3);
grid on;
ylabel('Volts','FontSize',18);
xlabel('Time [s]','FontSize',18);
axis([t_min t_max 0 2]);
```

```
subplot(3,1,2);
plot(t,Vp2,'blue','LineWidth',3);
grid on;
ylabel('Volts','FontSize',18);
xlabel('Time [s]','FontSize',18);
axis([t_min t_max 0 2]);
```

```
subplot(3,1,3);
plot(t,Vp3,'blue','LineWidth',3);
grid on;
ylabel('Volts','FontSize',18);
xlabel('Time [s]','FontSize',18);
axis([t_min t_max 0 2]);
```

```
figure(3);
subplot(3,1,1);
plot(t,Vp4,'blue','LineWidth',3);
grid on;
ylabel('Volts','FontSize',18);
xlabel('Time [s]','FontSize',18);
axis([t_min t_max 0 2]);
```

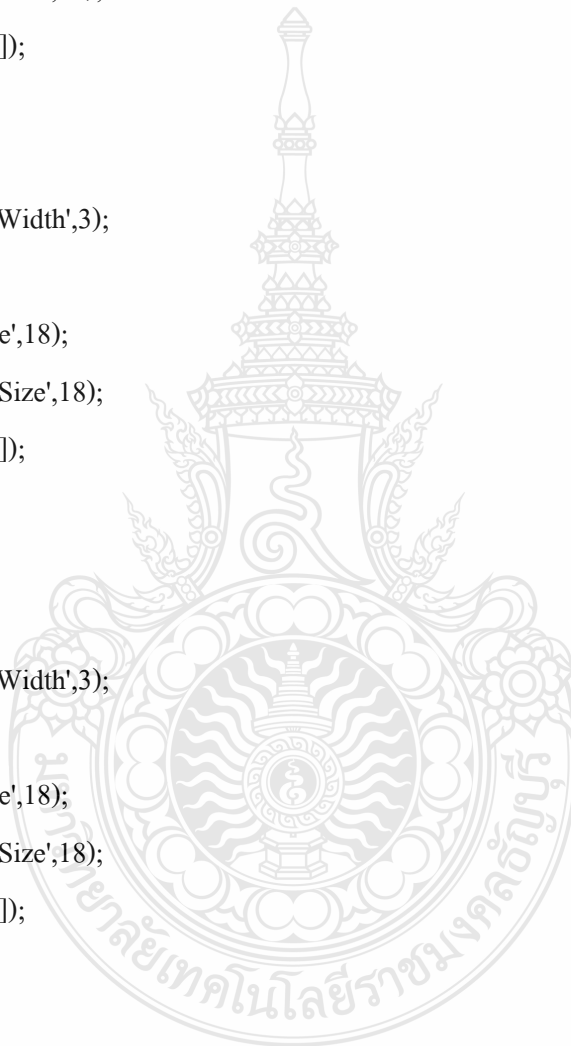


```
subplot(3,1,2);  
plot(t,Vp5,'blue','LineWidth',3);  
grid on;  
ylabel('Volts','FontSize',18);  
xlabel('Time [s]','FontSize',18);  
axis([t_min t_max 0 2]);
```

```
subplot(3,1,3);  
plot(t,Vp6,'blue','LineWidth',3);  
grid on;  
ylabel('Volts','FontSize',18);  
xlabel('Time [s]','FontSize',18);  
axis([t_min t_max 0 2]);
```

```
figure(4);  
subplot(3,1,1);  
plot(t,Vp7,'blue','LineWidth',3);  
grid on;  
ylabel('Volts','FontSize',18);  
xlabel('Time [s]','FontSize',18);  
axis([t_min t_max 0 2]);
```

```
subplot(3,1,2);  
plot(t,Vp8,'blue','LineWidth',3);  
grid on;  
ylabel('Volts','FontSize',18);  
xlabel('Time [s]','FontSize',18);  
axis([t_min t_max 0 2]);
```



```
subplot(3,1,3);  
plot(t,Vp9,'blue','LineWidth',3);  
grid on;  
ylabel('Volts','FontSize',18);  
xlabel('Time [s]','FontSize',18);  
axis([t_min t_max 0 2]);
```





ภาคผนวก ค

เอกสารข้อมูลของเทอร์โมอิเล็กทริกโมดูล



THERMO ELECTRICAL GENERATOR

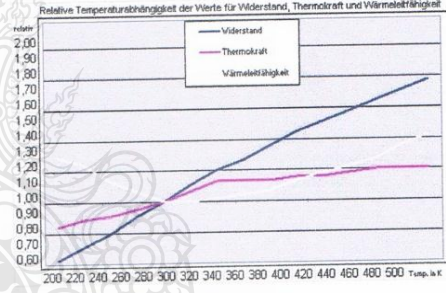


**TEG 127-250-37 Angaben bei ΔT = 230K T<sub>hot</sub> = 250 °C und T<sub>cold</sub> = 20 °C**

Maße dimensions L x B x H	U open circuit voltage	U last	ρ resistance at 300 K	R <sub>kr</sub> resistance corrected	I <sub>kurzschl.</sub> short circuit current	I last	Leistung power	V/K thermal force at 300 K	V/K <sub>kr</sub> corrected	W/K thermal conduct.	K/W thermal resistance	grad therm. efficiency	Wärme heat flow hot side	Wärme heat flow cold side
mm	V	V	Ω	Ω	A	A	W	α	α	k	R <sub>th</sub>	η	Q <sub>w</sub>	Q <sub>k</sub>
50x50x4,3	10,886	5,443	0,800	1,352	8,051	4,026	21,911	0,045	0,050	1,900	0,526	4,207	-520,8	501,1
<b>Angaben bei ΔT = 200K T<sub>hot</sub> = 220 °C und T<sub>cold</sub> = 20 °C</b>														
50x50x4,3	9,675	4,838	0,800	1,280	7,559	3,779	18,282	0,045	0,052	1,900	0,526	4,021	-454,7	439,0
<b>Angaben bei ΔT = 200K abzüglich Temperaturabfall durch die Keramikplatten (16 W/mK) und Wärmeleitpaste (8 W/mK) bei durchschnittl. therm. Anbindung</b>														
50x50x4,3	7,994	3,997	0,800	1,280	6,246	3,123	12,482	0,045	0,049	1,900	0,526	3,251	-384,0	372,5

Die Leistungsdaten gelten bei optimaler thermischer und elektrischer Anpassung und sind berechnet bei den angegebenen Werten für T<sub>hot</sub> und T<sub>cold</sub>. R<sub>kr</sub> und V/K<sub>kr</sub> geben den Temperaturkoeffizienten von Widerstand und Thermokraft bezogen auf die mittlere Temperatur zwischen T<sub>hot</sub> und T<sub>cold</sub> an. Die Leistungswerte in den ersten beiden Zeilen gelten für Temperaturen an den Thermocouples. Die Leistungsangabe der letzten Zeile berücksichtigt den Temperaturabfall durch den Wärmewiderstand der Keramikplatte und des Wärmeleitmittels bei mittlerem Wärmeübergangskoeffizienten. Im obigen Beispiel ist ein Temperaturabfall von + 15 °C auf der Warm- und 15 °C auf der Kaltseite auszugleichen. The values of the last line consider the drop of temperature by the thermal resistance of the ceramic plates and the thermal compound. A drop of temperature of 15 °C on the warm side and 15 °C on the cold side is to be adjusted.

- Mechanische Daten/mechanical data:**
- Anzahl/number of thermocouples: 127
  - Material/material: Bi<sub>2</sub>Te<sub>3</sub>
  - Höhentoleranz/height tolerance: ΔH ± 0,25 mm
  - Längentoleranz/length tolerance: 0,2 mm
  - Gewicht/weight: 50 g
  - max. Temperatur/max. temperatures: 250 °C, kurzzeitig bis 260 °C
  - max. Scherkraft/max. shear force: pro cm<sup>2</sup>, 125 N
  - max. Vibration/max. vibration: bis 55 Hz, 2 m/s<sup>2</sup>
  - max. Zugkraft/ max. tension: pro cm<sup>2</sup>, 195 N
  - Keramik Platten/ceramic plates: BK-96, Al<sub>2</sub>O<sub>3</sub>, 96 %
  - thermal conductivity of the ceramic: 15 W/mK, Höhe/height: 1 mm
  - Toleranz der thermischen und elektrischen Parameter: ± 6 %
  - tolerances of thermal and electric parameters: ± 6 %
  - Empfohlener Kühler/recommended cooler: liquid cooler, R<sub>th</sub>: 0,033 K/W



**Einbau- und Anwendungshinweise/notes:**  
 Die Rauhiefe der Einbaufäche sollte mindestens RZ 10, die Planizität mindestens 0,01 mm betragen. Optimaler Anpressdruck: 2-4 kg/cm<sup>2</sup>. Die mittlere Schichtdicke des Wärmeleitmittels sollte weniger als 20µm betragen. Mit den drei Werten: α = Thermokraft, ρ = Widerstand und κ = Wärmeleitfähigkeit ist der Thermogenerator in seiner Leistung vollständig beschrieben. Jedoch sind diese Größen temperaturabhängig und müssen mit Hilfe des oben stehenden Diagramms für jede absolute Temperatur einer speziellen Anwendung wie folgt korrigiert werden. The purity of surface processing on which TEG is installed must be better than 0,01 mm. The pressing force must be not less than 2-4 kg/cm<sup>2</sup>. The thickness of the thermal compound must be not less than 20µm. With the three values: α = thermoforce, ρ = el. resistance and κ = thermal conductivity the TEG is completely descriptive. The module parameters given above are valid for 300 K. As these parameters depend on the absolute temperature, they have to be corrected using the correction chart above and can be calculated as follows.

Die effektive Temperatur der Warmseite/eff. Temperatures warm side:  $\tilde{T}_{hot} = T_{hot} - R_{th,hot} \cdot \dot{Q}_{hot}$  und der Kaltseite/cold side:  $\tilde{T}_{cold} = T_{cold} + R_{th,cold} \cdot (\dot{Q}_{hot} - P)$

Die am Element auftretende Spannung/occurring voltage:  $U = \alpha(\tilde{T}_{hot}) \cdot \tilde{T}_{hot} - \alpha(\tilde{T}_{cold}) \cdot \tilde{T}_{cold} - \rho \cdot I$  Die Generatorleistung/el. power:  $P = I^2 \cdot R$  oder:  $P = U \cdot I$

Der mittlere elektrische Widerstand/el.resistance:  $\bar{\rho} = \frac{\int_{\tilde{T}_{cold}}^{\tilde{T}_{hot}} \frac{\rho(T)}{\kappa(T)} \cdot dT}{\int_{\tilde{T}_{cold}}^{\tilde{T}_{hot}} \frac{1}{\kappa(T)} \cdot dT}$  Die mittlere Wärmeleitfähigkeit/thermal conduction:  $\bar{\kappa} = \frac{\int_{\tilde{T}_{cold}}^{\tilde{T}_{hot}} \frac{1}{\kappa(T)} \cdot dT}{\int_{\tilde{T}_{cold}}^{\tilde{T}_{hot}} \frac{1}{\kappa(T)^2} \cdot dT}$

Die auf der heißen Seite aufgenommene Wärme berechnet sich/heat flow on hot side:  $\dot{Q}_{hot} = \frac{\bar{\rho}}{2} \cdot I^2 - \alpha \cdot I \cdot \tilde{T}_{hot} - \bar{\kappa} \cdot \Delta T$

Die auf der kalten Seite abgegebene Wärme beträgt/ heat flow on cold side:  $\dot{Q}_{cold} = \frac{\bar{\rho}}{2} \cdot I^2 + \alpha \cdot I \cdot \tilde{T}_{cold} + \bar{\kappa} \cdot \Delta T$

Der Wirkungsgrad berechnet sich/the efficiency:  $\eta = \frac{N}{\dot{Q}_{hot}} \cdot 100$  Die Güteiffer (nach Altenkirch)/figure of merit:  $Z = \frac{\alpha \cdot \bar{\rho} \cdot \sigma}{\kappa}$

- T<sub>hot</sub>: absolute Temperatur der Warmseite (Wärmequelle)/absolute temperature hot side
- T<sub>cold</sub>: absolute Temperatur der Kaltseite (Wärmesenke)/absolute temperature cold side
- R<sub>th,hot</sub>: thermischer Widerstand der Warmseite/thermal resistance hot side (der Keramikplatten, der Wärmeleitpaste etc.)/(ceramic plate, thermal compound, etc.)
- R<sub>th,k</sub>: thermischer Widerstand der Kaltseite/ thermal resistance cold side (der Keramikplatten, der Wärmeleitpaste etc.)/(ceramic plate, thermal compound, etc.)
- $\tilde{T}_{hot}$ : tatsächliche Temperatur der Warmseite/effektive temperature on the hot side
- $\tilde{T}_{cold}$ : tatsächliche Temperatur der Kaltseite/effektive temperature on the cold side
- $\dot{Q}_{hot}$ : Wärmestrom über das Element/heat flow needed on the hot side
- α(T): korrigierte Thermokraft/corrected thermal force
- ρ(T): korrigierter Widerstand/corrected electric resistance
- κ(T): korrigierte Wärmeleitfähigkeit/corrected thermal conduction
- $\bar{\rho}$ : effektiver el. Widerstand/ effective electric resistance
- $\bar{\kappa}$ : effektive Wärmeleitfähigkeit/ effective thermal conduction
- P: die vom Element abgegebene elektrische Leistung/el. power

Der Wirkungsgrad steigt mit der Temperaturdifferenz ΔT und sinkt mit der mittleren Temperatur. Der Wirkungsgrad ist optimal, wenn der Widerstand des Verbrauchers dem Innenwiderstand des Generators entspricht. Die Farbkonvention der Anschlussdrähte ist der des Pelletbetriebs entgegengesetzt: schwarz = plus; rot = minus. Handling a small device is much easier than handling of a big one. In many cases the use of two smaller TEG gives better results compared with only one big TEG. Please read the handling instructions for thermoelectric modules.

## ผลงานตีพิมพ์เผยแพร่

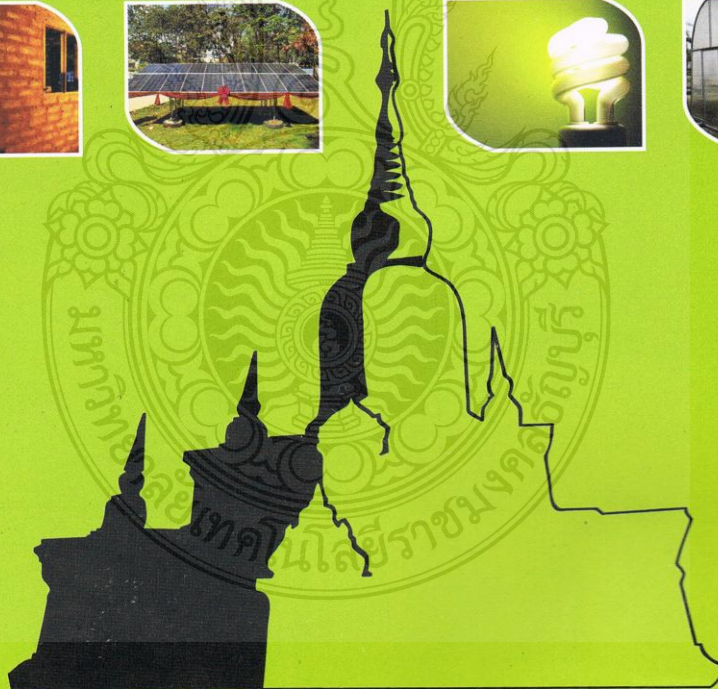
1. คณิต พิมพ์คำไหลและบุญยัง ปลั่งกลาง, “การวิเคราะห์รูปแบบการเชื่อมต่อกันทางไฟฟ้าของโมดูลเทอร์โมอิเล็กทริก TEG12750D” การประชุมวิชาการเครือข่ายพลังงานแห่งประเทศไทยครั้งที่ 8, 2-4 พฤษภาคม 2555
2. คณิต พิมพ์คำไหลและบุญยัง ปลั่งกลาง, “การวิเคราะห์การเชื่อมต่อกันทางไฟฟ้าของโมดูลเทอร์โมอิเล็กทริก TEG12750D ด้วยการทดลองเปรียบเทียบกับผลการจำลองการทำงานด้วยโปรแกรม Matlab Simulink” การประชุมสัมมนาเชิงวิชาการรูปแบบพลังงานทดแทนสู่ชุมชนแห่งประเทศไทย ครั้งที่ 6, 13 – 15 พฤศจิกายน 2556
3. คณิต พิมพ์คำไหลและบุญยัง ปลั่งกลาง, “ชุดชาร์จแบตเตอรี่จากพลังงานความร้อนสูญเสียเปล่าของเครื่องปรับอากาศแบบแยกส่วนด้วยเทอร์โมอิเล็กทริก” การประชุมวิชาการเครือข่ายวิศวกรรมไฟฟ้ามหาวิทยาลัยเทคโนโลยีราชมงคล ครั้งที่ 7, 27-29 พฤษภาคม พ.ศ. 2558

การประชุมวิชาการเครือข่ายพลังงานแห่งประเทศไทย ครั้งที่ 8  
The 8<sup>th</sup> Conference on Energy Network of Thailand; E-NETT 8



คณะวิศวกรรมศาสตร์ มหาวิทยาลัยมหาสารคาม

พลังงานและนวัตกรรมสีเขียวเพื่ออนาคตอาเซียน  
Green Energy and Innovations for ASEAN's Future



วันที่ 2-4 พฤษภาคม 2555 โรงแรมตักสิลา จังหวัดมหาสารคาม



### รายชื่อผู้ทรงคุณวุฒิพิจารณาบทความ

รศ.ดร. กุลเชษฐ์ เพียรทอง	มหาวิทยาลัยอุบลราชธานี
รศ.ดร. ฐานิตย์ เมธียนนท์	มหาวิทยาลัยเทคโนโลยีมหานคร
รศ.ดร. ฤทธิ์ กาศยปนนท์	มหาวิทยาลัยเทคโนโลยีพระจอมเกล้าธนบุรี
รศ.ดร. นรินทร์ วัฒนกุล	มหาวิทยาลัยธรรมศาสตร์
รศ.ดร. พงษ์เจต พรหมวงศ์	สถาบันเทคโนโลยีพระจอมเกล้าเจ้าคุณทหารลาดกระบัง
รศ.ดร. มานะ อมรกิจบำรุง	มหาวิทยาลัยเทคโนโลยีพระจอมเกล้าธนบุรี
รศ.ดร. สมเกียรติ ปรัชญาวาท	มหาวิทยาลัยเทคโนโลยีพระจอมเกล้าธนบุรี
รศ.ดร. อติศักดิ์ นาถกรณกุล	มหาวิทยาลัยเทคโนโลยีพระจอมเกล้าธนบุรี
รศ.ดร. สัมพันธ์ ฤทธิเดช	มหาวิทยาลัยมหาสารคาม
รศ.ดร. สิงห์ทอง พัฒนเศรษฐานนท์	มหาวิทยาลัยมหาสารคาม
รศ.ดร. เสริม จันทร์ฉาย	มหาวิทยาลัยศิลปากร
ผศ.ดร. จินดา เจริญพรพาณิชย์	สถาบันเทคโนโลยีพระจอมเกล้าเจ้าคุณทหารลาดกระบัง
ผศ.ดร. กิตติ สถาพรประสาธน์	มหาวิทยาลัยศรีนครินทรวิโรฒ
ผศ.ดร. จุฬารณณ์ เบญจปิยะพร	มหาวิทยาลัยขอนแก่น
ผศ.ดร. ชวลิต ถิ่นวงศ์พิทักษ์	มหาวิทยาลัยอุบลราชธานี
ผศ.ดร. ธนรัฐ ศรีวีระกุล	มหาวิทยาลัยอุบลราชธานี
ผศ.ดร. อำไพศักดิ์ ทิบุญมา	มหาวิทยาลัยอุบลราชธานี
ผศ.ดร. ชัยยงค์ เตชะไพโรจน์	มหาวิทยาลัยศิลปากร
ผศ.ดร. นริส ประทีนทอง	มหาวิทยาลัยเทคโนโลยีพระจอมเกล้าธนบุรี
ผศ.ดร. ปรีชา เต็มสุขสวัสดิ์	มหาวิทยาลัยเทคโนโลยีพระจอมเกล้าธนบุรี
ผศ.ดร. จีรวรรณ เตียรถีสวรรณ	มหาวิทยาลัยเทคโนโลยีพระจอมเกล้าธนบุรี
ผศ.ดร. ธนิต สวัสดิ์เสวี	มหาวิทยาลัยเทคโนโลยีพระจอมเกล้าธนบุรี
ผศ. สมบูรณ์ เวชกามา	มหาวิทยาลัยเทคโนโลยีพระจอมเกล้าธนบุรี
ผศ.ดร. วันชัย นิมฉวี	มหาวิทยาลัยหอการค้าไทย
ผศ.ดร. ศักดิ์ระวี ระวีกุล	มหาวิทยาลัยเทคโนโลยีมหานคร
ผศ.ดร. ศิริ ดวงพร	มหาวิทยาลัยราชภัฏอุดรธานี
ผศ.ดร. สมชาย มณีวรรณ	มหาวิทยาลัยนเรศวร
ผศ.ดร. นิพนธ์ เกตุจ้อย	มหาวิทยาลัยนเรศวร
ผศ.ดร. จินดาพร จำรัสเลิศลักษณ์	มหาวิทยาลัยมหาสารคาม
ผศ.ดร. เจริญพร เลิศสถิตชนกร	มหาวิทยาลัยมหาสารคาม
ผศ.ดร. บพิท บุปผโชติ	มหาวิทยาลัยมหาสารคาม
ผศ.ดร. ธีรพล ภูมิสะอาด	มหาวิทยาลัยมหาสารคาม



### รายชื่อผู้ทรงคุณวุฒิพิจารณาบทความ(ต่อ)

ผศ.ดร. ทรงชัย วิริยะอำไพวงศ์	มหาวิทยาลัยมหาสารคาม
ผศ.ดร. มณีรัตน์ องค์กรวรรณดี	มหาวิทยาลัยมหาสารคาม
ผศ.ดร. วรวัฒน์ เสี่ยงวิบูล	มหาวิทยาลัยมหาสารคาม
ผศ.ดร. อติศักดิ์ ปัตติยะ	มหาวิทยาลัยมหาสารคาม
ผศ.ดร. อนุสรณ์ แสงประจักษ์	มหาวิทยาลัยมหาสารคาม
ผศ.ดร. อภินันท์ อรุโสมถน	มหาวิทยาลัยมหาสารคาม
ดร. กันย์ วงศ์เกษม	การไฟฟ้าฝ่ายผลิตแห่งประเทศไทย
ดร. ดาเรศน์ กิตติโยภาส	กรมส่งเสริมการเกษตร และสมาคมวิศวกรรมเกษตรแห่งประเทศไทย
อ.ดร. ชลิตา เนียมนุ้ย	มหาวิทยาลัยเกษตรศาสตร์
อ.ดร. ชัยยันต์ จันทร์ศิริ	มหาวิทยาลัยขอนแก่น
อ.ดร. ณรงค์ อังกิมบัวน	มหาวิทยาลัยบูรพา
อ.ดร. เกียรติสิน กาญจนวินิชกุล	มหาวิทยาลัยมหาสารคาม
อ.ดร. จักรมาส เลหาวิช	มหาวิทยาลัยมหาสารคาม
อ.ดร. ณัฐวุฒิ สุวรรณทา	มหาวิทยาลัยมหาสารคาม
อ.ดร. นเรศ มีโส	มหาวิทยาลัยมหาสารคาม
อ.ดร. นิวัตร อังคิศิษุพันธ์	มหาวิทยาลัยมหาสารคาม
อ.ดร. นุชิตา สุวแพทย์	มหาวิทยาลัยมหาสารคาม
อ.ดร. พลกฤษณ์ จิตต์โต	มหาวิทยาลัยมหาสารคาม
อ.ดร. ละมุล วิเศษ	มหาวิทยาลัยมหาสารคาม
อ.ดร. สุนันทา เลาว์ณย์ศิริ	มหาวิทยาลัยมหาสารคาม
อ.ดร. สุพรรณณ ยั่งยืน	มหาวิทยาลัยมหาสารคาม
อ.ดร. อรุมา ลาสุนนท์	มหาวิทยาลัยมหาสารคาม
อ. ปรีชา ศรีประภาคาร	มหาวิทยาลัยมหาสารคาม
อ. ศิริลักษณ์ วงศ์เกษม	มหาวิทยาลัยมหาสารคาม
อ.ดร. วาญญู รอดประพัฒน์	มหาวิทยาลัยเทคโนโลยีราชมงคลตะวันออก
อ.ดร. กิตติศักดิ์ วิธินันทกิตต์	มหาวิทยาลัยเทคโนโลยีราชมงคลตะวันออก
อ.ดร. ระวี พรหมหลวงศรี	มหาวิทยาลัยราชภัฏอุดรธานี



## สารบัญญ (ต่อ)

รหัสบทความ	ชื่อบทความ	หน้า
AP15	การพัฒนาหัวฉีดแบบผสมอากาศก่อนการเผาไหม้สำหรับเครื่องยนต์กังหันแก๊สต้นแบบ <i>สุวัชชัย กิจสำราญกุล และ จารุวัตร เจริญสุข</i>	117
AP16	การอบแห้งยางแผ่นฝึ่งแห้งด้วยลมร้อนและพลังงานแสงอาทิตย์ <i>เถลิงราช นิลเชื้อวงศ์, สุภาวรรณ ภูริวณิชย์กุล และ ยุทธนา ภูริวณิชย์กุล</i>	118
AP17	แบบจำลองทางคณิตศาสตร์ของการอบแห้งด้วยรังสีอินฟราเรดและลมร้อนสำหรับปลาหมึกสดและปลาหมึกต้ม <i>ยุทธนา ภูริวณิชย์กุล และ สุภาวรรณ ภูริวณิชย์กุล</i>	119
AP18	การศึกษาประสิทธิภาพของฮีตเตอร์ไอน้ำร้อนความดันต่ำที่ใช้ในระบบอบแห้งสุญญากาศ <i>วรเชษฐ์ แสงสีดา, ธนรัฐ ศรีวีระกุล และ ชญานนท์ แสงมณี</i>	120
AP19	สภาวะของการอบแห้งที่มีผลต่ออุณหภูมิและคุณภาพการอบแห้งพริกไทยดำ <i>อัจฉรา แซ่ไคว้, สุภาวรรณ ภูริวณิชย์กุล และ ยุทธนา ภูริวณิชย์กุล</i>	121
AP20	การวิเคราะห์รูปแบบการเชื่อมต่อกันทางไฟฟ้าของโมดูลเทอร์โมอิเล็กทริก TEG12750D <i>คณิต พิมพ์คำไหล และ บุญยง ปลั่งกลาง</i>	122
AP21	การลดระยะเวลาในการอบแห้งไม้โดยใช้อากาศอบแห้งที่มีความชื้นสัมพัทธ์ต่ำ <i>อาทิตย์ เพียรทอง, นเรศ มีโต และ ศิริธร ศิริอมรรณ</i>	123
AP22	อิทธิพลของการอบแห้งของข้าวเปลือกเริ่มงอกต่อสารต้านอนุมูลอิสระโดยเทคนิคฟลูอิดไดเซชัน <i>กฤตัญญ์ แก้วยศ และ ชัยยงค์ เตชะไพโรจน์</i>	124
AP23	อิทธิพลของการจัดวางครีบนในเตาเผาแลกเปลี่ยนฟลูอิดเบดต่อพฤติกรรมการเผาไหม้ <i>ภัทรพันธ์ ทองยศ, สุรียา โชคเพิ่มพูน, ธีรพัฒน์ ชมภูคำ, ภาคภูมิ ศรีมรินทร์, ชินรัช เขียรพงษ์ และ พงษ์เจต พรหมวงศ์</i>	125
AP24	อิทธิพลของครีบบางเอียงแบบเยื้องกันต่อพฤติกรรมการถ่ายเทความร้อนภายในท่อสี่เหลี่ยมจัตุรัส <i>สุภัทรวัย สุวรรณพันธ์, สมพล สกุลหลง, ธีรพัฒน์ ชมภูคำ, สมิทธิ์ เขียมสอาด และ พงษ์เจต พรหมวงศ์</i>	126
AP25	การศึกษางานเชื่อมประสานท่อทองแดงด้วยหลักการเหนี่ยวนำความร้อน <i>จีระพงศ์ ศรีวิชัย และ นครินทร์ ศรีปัญญา</i>	127
AP26	การศึกษาสมรรถนะการระบายความร้อนเชิงเปรียบเทียบของท่อความร้อนที่ใช้ฮีตเตอร์ <i>เมธาสิทธิ์ โชคฤทัย, ธนรัฐ ศรีวีระกุล และ ณัฐ สุวรรณภูมิ</i>	128
AP27	อุปกรณ์ด้านอากาศพลศาสตร์ ที่มีผลกับการเปลี่ยนแปลงอัตราการสิ้นเปลืองเชื้อเพลิงของรถบรรทุก <i>ปรัชญา มุขดา, พิเชฐ นิลดวงดี, อาทิตย์ ทับทิมหอม, อุทัย ผ่องรัศมี และ กุลเชษฐ์ เพียรทอง</i>	129



## การวิเคราะห์รูปแบบการเชื่อมต่อกันทางไฟฟ้าของโมดูลเทอร์โมอิเล็กทริก TEG12750D The Analysis of Thermoelectric Modules Connection TEG12750D

คณิต พิมพ์คำไหล และ บุญยัง ปลั่งกลาง

ภาควิชาวิศวกรรมไฟฟ้า คณะวิศวกรรมศาสตร์ วิทยาลัยเทคโนโลยีราชมงคลธัญบุรี 39 หมู่ 1 ต. คลองหก อ. ธัญบุรี จ.ปทุมธานี 12110

โทรศัพท์: 02-549-3420, 085-197-3903 โทรสาร: 02-549-3422 E-mail: kanitpim@hotmail.com, pboonyang@hotmail.com

### บทคัดย่อ

บทความนี้เป็น การนำเสนอผลการวิเคราะห์รูปแบบการเชื่อมต่อโมดูลเทอร์โมอิเล็กทริกหลายโมดูลให้ทำงานร่วมกันอย่างมีประสิทธิภาพ โดยทำการศึกษาคุณสมบัติการทำงานของโมดูลเทอร์โมอิเล็กทริกแต่ละโมดูล โดยทำการติดตั้งอุปกรณ์เทอร์โมอิเล็กทริกด้านร้อนเข้ากับแผ่นลวดความร้อนขนาด 1000 วัตต์และด้านทำความเย็นติดตั้งกับกล่องรับน้ำทิ้งของเครื่องปรับอากาศ นำโมดูลเทอร์โมอิเล็กทริกมาต่อร่วมกันในลักษณะขนานและอนุกรม ทำการปรับเปลี่ยนค่าโหลดเพื่อหาค่ากำลังไฟฟ้าสูงสุด จากผลการทดลองพบว่าการต่อโมดูลแบบอนุกรมจะมีอัตราการเปลี่ยนแปลงกำลังไฟฟ้าต่อโหลดที่ต่ำกว่าการต่อโมดูลแบบขนาน ขณะที่การต่อโมดูลแบบขนานจะให้ค่ากำลังไฟฟ้าที่ต่ำกว่าการต่อโมดูลแบบอนุกรม เมื่อทำการเพิ่มโมดูลมากขึ้นผลการทดลองกำลังไฟฟ้าจริงที่ได้จากการต่อโมดูลแบบขนานจะมีค่าสูงกว่าการต่อโมดูลแบบอนุกรม

**คำสำคัญ:** เทอร์โมอิเล็กทริก, อนุกรม, ขนาน

### Abstract

This article presents the investigation and analysis of multiple connections of Thermo Electric modules in order to find the best effective connection. To study the properties of the Thermo Electric modules, each module is constructed by installing the hot-side with heating rod 1000W and cooling-side with cooling water box. Thermo Electric module is connected together in parallel and series. By adjusting the load to investigate the output power, the result showed that the series connection has the power rate lower than the parallel connection. The parallel connection is taking the higher power output than the series connection. Therefore parallel connection is recommended for higher power circuit.

**Keywords:** Thermo Electric, serial, parallel.

### 1. บทนำ

เทอร์โมอิเล็กทริกเป็นอุปกรณ์ที่ทำมาจากสารกึ่งตัวนำ สมบัติพิเศษของวัสดุที่สามารถผันความร้อนเป็นไฟฟ้า และสามารถผันไฟฟ้าเป็นความเย็น โดยอาศัยหลักการสั่นสะเทือนของโครงสร้างภายในของแข็งที่เป็นวัสดุเทอร์โมอิเล็กทริกในเชิงควอนตัม

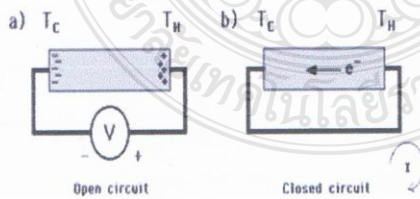
ฟิสิกส์เรียกว่า โฟนอน ( Phonon ) เมื่อวัสดุเทอร์โมอิเล็กทริกได้รับอุณหภูมิที่แตกต่างกัน ที่อุณหภูมิสูงก็จะถ่ายเทไปยังที่มีอุณหภูมิต่ำกว่า นั่นคือมีอิเล็กตรอน (Electron) และ โฮล (Hole) เคลื่อนที่ ซึ่งจะได้อิทธิพลออกมา ซึ่งสามารถนำมาสร้างเครื่องกำเนิดไฟฟ้าและสร้างเครื่องทำความเย็นได้ การผลิตไฟฟ้าจากเทอร์



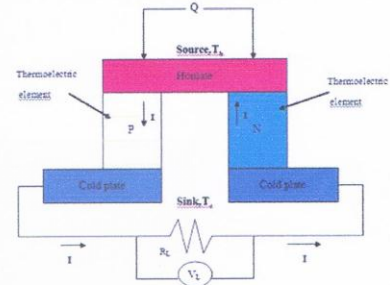


โมอิลิกทริกได้รับความนิยมเพิ่มมากขึ้นเนื่องจากเป็นแหล่งพลังงานที่สะอาด มีการนำพลังงานความร้อนเหลือทิ้งจากการใช้งานประจำวัน เช่น การผลิตไฟฟ้าจากเตาหุงต้ม[1] แต่เนื่องจากโมดูลเทอร์โมอิลิกทริกแต่ละโมดูลสร้างจากวัสดุสารกึ่งตัวนำ ชนิด N และ P หลายตัว การนำไปใช้โมดูลเดี่ยวจึงไม่เป็นปัญหา แต่เมื่อต้องการสร้างระบบให้สามารถจ่ายกำลังไฟฟ้าได้มากขึ้นจำเป็นต้องใช้โมดูลเทอร์โมอิลิกทริกหลายๆโมดูลมาต่อร่วมกัน ความไม่เท่ากันของคุณสมบัติต่างๆของแต่ละโมดูล และอุณหภูมิที่แต่ละโมดูลได้รับ จะมีผลทำให้ขีดความสามารถในการจ่ายกำลังไฟฟ้ารวมไม่เป็นไปอย่างที่คาดหวัง ในทางปฏิบัติสามารถแก้ไขได้ด้วยการเลือกเชื่อมต่อโมดูลเทอร์โมอิลิกทริกที่คุณสมบัติเหมือนกันหมดหรือใกล้เคียงกัน แต่ในความเป็นจริงแล้วผู้ใช้ไม่มีสิทธิ์ที่จะเลือกโมดูลมาทำการเชื่อมต่อได้ ซึ่งการได้มาของโมดูลเทอร์โมอิลิกทริก รุ่นเดียวกัน แต่ต่างกันในช่วงเวลาการผลิต รวมถึงความไม่สม่ำเสมอและคงที่ในกระบวนการผลิต ทำให้คุณสมบัติในการผลิตไฟฟ้าของโมดูลเทอร์โมอิลิกทริกแต่ละโมดูลแตกต่างกันออกไป เมื่อนำมาต่อร่วมกันย่อมทำให้ประสิทธิภาพในการจ่ายกำลังไฟฟ้ารวมเปลี่ยนแปลงไป ในบทความนี้ได้ทำการทดสอบและวิเคราะห์วิธีการเชื่อมต่อโมดูลเทอร์โมอิลิกทริกในลักษณะที่แตกต่างกันที่ให้ความสามารถในการจ่ายกำลังไฟฟ้าเกิดขึ้นได้ ภายใต้สมมุติฐานความไม่สม่ำเสมอของคุณสมบัติทางไฟฟ้าในแต่ละโมดูล

2. โครงสร้างและคุณสมบัติของเทอร์โมอิลิกทริก



รูปที่ 1 แสดงความต่างศักย์ซีเบคและการไหลของกระแสไฟฟ้า



รูปที่ 2 โครงสร้างของเซลล์เทอร์โมอิลิกทริก

เทอร์โมอิลิกทริกสร้างพลังงานไฟฟ้าจากความแตกต่างอุณหภูมิระหว่างผิวยกต่อ P-N กับผนังอีกด้านของสาร P,N ดังรูปที่ 1 แสดงความต่างศักย์ซีเบคและการไหลของกระแสไฟฟ้า ส่วนรูปที่ 2 แสดงโครงสร้างของเซลล์เทอร์โมอิลิกทริก ค่าความต่างศักย์ของอุณหภูมิที่เกิดขึ้นระหว่างผนังทั้งสองด้านนี้กระตุ้นให้เกิดปรากฏการณ์ซีเบค ( Seebeck ) เป็นปรากฏการณ์ที่มีรากฐานอยู่ที่การผันความร้อนเป็นไฟฟ้า ความสำคัญทางกายภาพของมันสามารถเห็นได้โดยการพิจารณาปรากฏการณ์ของการบังคับเกรเดียนต์ของอุณหภูมิสม่ำเสมอให้ไหลไปตามตัวนำจำกัด ผลักดันให้เกิดการเคลื่อนตัวของพาหะไฟฟ้าในสารกึ่งตัวนำ P และ N ก่อตัวเป็นอำนาจสนามไฟฟ้าภายในที่มีศักย์ไฟฟ้าเกิดขึ้นสัมพันธ์กับอุณหภูมิสำหรับสมการของ Seebeck effect ถ้าเขียนในรูปของความต่างศักย์และค่าความแตกต่างระหว่างอุณหภูมิ จะได้ว่า

$$v = \alpha(\nabla T) \tag{1}$$

โดยที่  $\alpha$  คือ ค่าสัมประสิทธิ์ซีเบคในสารกึ่งตัวนำ  $T$  คือฟังก์ชันอุณหภูมิระหว่างผนังของเทอร์โมอิลิกทริก และเมื่อพิจารณาถึงรายละเอียดที่เกิดขึ้นในสารกึ่งตัวนำทั้งสองขณะใช้งาน[2] พบว่า

$$v = - \left( \frac{\alpha_n \sigma_n + \alpha_p \sigma_p}{\alpha_n + \alpha_p} \right) \Delta T \tag{2}$$



และค่าความต้านทานภายในที่เกิดขึ้นในสารกึ่งตัวนำมีค่าเป็นตามสมการ

$$r_i = \frac{2a}{(\sigma_n + \sigma_p)} \left( 1 + \frac{\rho_p}{\rho_n} \frac{1}{\xi \operatorname{acch} \xi a + 2\tau S a \xi^2} \right) \quad (3)$$

โดยที่  $\xi^{-1} = \sqrt{\frac{2\tau T_0}{e^2 n_0} \frac{\sigma_n \sigma_p}{(\sigma_n + \sigma_p)}}$  เป็น Diffusion ที่

เกิดขึ้นในสารกึ่งตัวนำ และ  $\tau = \frac{1}{2\gamma_i n_0}$ , โดยที่  $\gamma_i$  คือ

capture coefficient ในสารกึ่งตัวนำ  $n_0, p_0$  คือ ปริมาณพาหะการนำไฟฟ้าในสารชนิด N, P  $\alpha_n, \alpha_p$  คือ ค่าสัมประสิทธิ์ซีเบคในสาร N, P  $\sigma_n = \rho_n \mu_n, \sigma_p = \rho_p \mu_p$  คือสภาพความนำไฟฟ้าของสาร N, P  $\rho_n, \rho_p$  คือความหนาแน่นของพาหะนำไฟฟ้าในสาร N, P  $\mu_n, \mu_p$  คือสภาพความคล่องตัวของพาหะนำไฟฟ้าในสาร N, P และ S คือพื้นที่ที่เกิด Recombination ซึ่งในกรณีที่มีกระแสไหลมากๆ แล้ว ( $S \rightarrow \infty$ ), ( $\tau \rightarrow 0$ ) ค่าความต้านทานของสารกึ่งตัวนำจะลดรูปเป็นดังสมการ

$$r_i = \frac{2a}{\sigma_n + \sigma_p} \quad (4)$$

ความไม่สม่ำเสมอในกระบวนการผลิตในแต่ละช่วงเวลาของการผลิตจะส่งผลให้เกิดปริมาณพาหะการนำไฟฟ้าในสารกึ่งตัวนำที่แตกต่างกัน ซึ่งผลดังกล่าวนี้ทำให้ศักยภาพในการผลิตไฟฟ้าและค่าความต้านทานภายในของเทอร์โมอิเล็กทริกเปลี่ยนแปลงไปจากเดิม และเมื่อนำโมดูลเทอร์โมอิเล็กทริกหลายๆโมดูลมาเชื่อมต่อกัน ความแตกต่างเหล่านี้จะส่งผลถึงการต่อยประสิทธิภาพลงในการจ่ายกำลังไฟฟ้าของเทอร์โมอิเล็กทริกโดยรวม

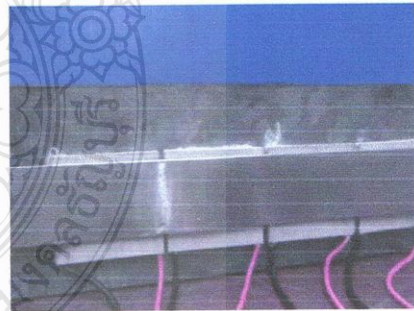
### 3. การทดลองต่อร่วมกันของโมดูลเทอร์โมอิเล็กทริก

การเชื่อมต่อโมดูลเทอร์โมอิเล็กทริกหลายๆโมดูลให้ทำงานร่วมกันสามารถทำได้ 3 ลักษณะ

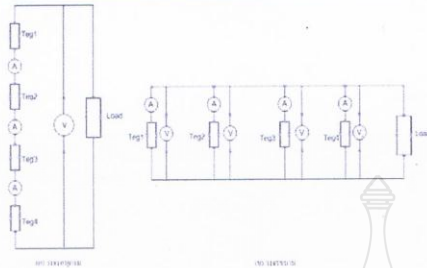
ด้วยกันคือ การเชื่อมต่อโมดูลเทอร์โมอิเล็กทริกแบบอนุกรม การเชื่อมต่อโมดูลเทอร์โมอิเล็กทริกแบบขนาน และการเชื่อมต่อโมดูลเทอร์โมอิเล็กทริกแบบผสม จากความไม่สม่ำเสมอในคุณสมบัติของโมดูลเทอร์โมอิเล็กทริกแต่ละโมดูล ทำให้การเชื่อมต่อโมดูลเทอร์โมอิเล็กทริกในแต่ละแบบให้ประสิทธิภาพกำลังไฟฟ้าที่แตกต่างกันออกไป จะมากหรือน้อยขึ้นอยู่กับความแตกต่างในคุณสมบัติของโมดูลเทอร์โมอิเล็กทริกแต่ละโมดูลที่นำมาเชื่อมต่อกัน

### 4. การทดลอง

ในการทดสอบคุณสมบัติทางไฟฟ้าความร้อนจะใช้เทอร์โมอิเล็กทริกจำนวน 4 โมดูล ประกอบอยู่บนโครงสร้างระบบเดียวกัน โดยยึดติดผนังด้านร้อนของระบบด้วย ฮีตเตอร์ ขนาด 1000 วัตต์ และผนังด้านเย็นของระบบระบายความร้อนออกด้วยน้ำเหลือทิ้งจากเครื่องปรับอากาศ ดังแสดงในรูปที่ 3 โดยในการทดลองจะทำการทดสอบคุณสมบัติความสามารถในการจ่ายกำลังไฟฟ้าของแต่ละโมดูล และทดสอบขีดความสามารถในการจ่ายกำลังไฟฟ้าเมื่อนำมาต่อร่วมกัน ทั้งในลักษณะการขนานและการอนุกรม โดยปรับเปลี่ยนค่าโหลดเพื่อหาค่ากำลังไฟฟ้าสูงสุด



รูปที่ 3 ชุดทดสอบการต่อเทอร์โมอิเล็กทริกโมดูลร่วมกัน



รูปที่ 4 วงจรการต่อโมดูลเทอร์โมอิเล็กทริก



รูปที่ 5 การวัดค่าการต่อโมดูลเทอร์โมอิเล็กทริก

## 5. ผลการทดลอง

### 5.1 คุณสมบัติของแต่ละโมดูล

จากข้อมูลมาตรฐานดังกล่าวข้างต้นจำเป็นต้องเก็บข้อมูลรายละเอียดคุณสมบัติของแต่ละโมดูลไว้เพื่ออ้างอิงในการวิเคราะห์ ได้ผลการทดสอบในตารางที่ 1 - 4

ตารางที่ 1 คุณสมบัติของโมดูลที่ 1 (ริมซ้าย)

ที่  $T_h=190\text{ }^{\circ}\text{C}$ ,  $T_c=10\text{ }^{\circ}\text{C}$

โหลด ( $\Omega$ )	40	50	60	70	80	90	100
กระแส (mA)	13.20	9.52	8.89	8.28	7.78	6.82	6.07
แรงดัน (V)	1.06	1.08	0.71	1.09	1.04	0.98	1.08
กำลังไฟฟ้ (mW)	13.99	10.28	6.31	9.03	8.09	6.68	6.56

ตารางที่ 2 คุณสมบัติของโมดูลที่ 2 (ตัวที่ 2 จากซ้าย)  
ที่  $T_h=190\text{ }^{\circ}\text{C}$ ,  $T_c=10\text{ }^{\circ}\text{C}$

โหลด ( $\Omega$ )	40	50	60	70	80	90	100
กระแส (mA)	23.50	19.36	15.64	14.92	12.98	10.58	8.10
แรงดัน (V)	0.84	1.05	0.75	1.38	1.42	0.96	1.23
กำลังไฟฟ้ (mW)	19.74	20.33	11.73	20.59	18.43	10.37	9.96

ตารางที่ 3 คุณสมบัติของโมดูลที่ 2 (ตัวที่ 3 จากซ้าย)  
ที่  $T_h=190\text{ }^{\circ}\text{C}$ ,  $T_c=10\text{ }^{\circ}\text{C}$

โหลด ( $\Omega$ )	40	50	60	70	80	90	100
กระแส (mA)	23.08	18.46	15.98	13.68	11.63	10.02	7.67
แรงดัน (V)	0.96	1.00	0.64	0.96	1.32	1.23	1.13
กำลังไฟฟ้ (mW)	22.16	18.46	10.23	13.13	15.35	12.32	8.67

ตารางที่ 4 คุณสมบัติของโมดูลที่ 2 (ตัวริมขวา) ที่  
 $T_h=190\text{ }^{\circ}\text{C}$ ,  $T_c=10\text{ }^{\circ}\text{C}$

โหลด ( $\Omega$ )	40	50	60	70	80	90	100
กระแส (mA)	23.26	21.98	17.86	14.57	10.53	9.07	6.43
แรงดัน (V)	1.20	1.55	1.20	1.34	1.36	1.28	1.18
กำลังไฟฟ้ (mW)	27.91	34.07	21.43	19.52	14.32	11.61	7.59

จากการทดลองโมดูลเทอร์โมอิเล็กทริกแต่ละโมดูลจะเห็นว่าภายใต้การรับความร้อนอุณหภูมิเดียวกันเมื่อเราทำการเพิ่มโหลด จะส่งผลให้กำลังไฟฟ้ที่ได้จากการทดลองมีค่าลดลง เนื่องด้วยความไม่สม่ำเสมอในกระบวนการผลิตในแต่ละช่วงเวลาของการผลิตจะส่งผลให้เกิดปริมาณพาหะการนำไฟฟ้ในสารกึ่งตัวนำที่แตกต่างกัน ทำให้ศักยภาพในการผลิตไฟฟ้และค่าความต้านทานภายในของเทอร์โมอิเล็กทริกเปลี่ยนแปลงไปจากเดิมส่งผลถึงการด้อยประสิทธิภาพลงในการจ่ายกำลังไฟฟ้ของเทอร์โมอิเล็กทริกโดยรวม โมดูลที่ 4 ให้กำลังไฟฟ้ได้ดีที่สุด ขณะที่โมดูลที่ 2 และ 3 ให้กำลังไฟฟ้ที่มีค่าใกล้เคียงกัน ส่วนโมดูลที่ 1 จะให้กำลังไฟฟ้ได้ต่ำที่สุด

### 5.2 การอนุกรมกันของโมดูลเทอร์โมอิเล็กทริก

เมื่อนำโมดูลเทอร์โมอิเล็กทริกแต่ละโมดูล มาต่อร่วมกันแบบอนุกรมโดยเพิ่มจำนวนโมดูลเชื่อมต่อทีละโมดูล จากการทดลองตามตารางที่ 5 , 6 และ 7 ตามลำดับค่าแรงดันที่ได้เพิ่มขึ้น กระแสไฟฟ้มีค่าคงที่



เป็นผลให้ค่ากำลังไฟฟ้าที่จ่ายออกมาจะมีค่าเพิ่มขึ้น เมื่อปรับเปลี่ยนค่าโหลดเพิ่มขึ้นทำให้ค่ากระแสไฟฟ้าลดลง โดยที่ค่าแรงดันคงที่ ค่ากำลังไฟฟ้าที่จ่ายออกมาจะมีค่าลดลง เนื่องจากความไม่สม่ำเสมอของแต่ละโมดูลทำให้ประสิทธิภาพในการจ่ายกำลังไฟฟ้าของโมดูลเทอร์โมอิเล็กทริกโดยรวมลดลง

ตารางที่ 5 ผลการอนุกรมโมดูลที่ 1 และ 2 ( $T_h=190\text{ }^{\circ}\text{C}$ ,  $T_c=10\text{ }^{\circ}\text{C}$ )

โหลด ( $\Omega$ )	40	50	60	70	80	90	100
กระแส (mA)	34.33	22.96	14.78	14.89	10.26	10.08	9.82
แรงดัน (V)	1.06	0.98	1.14	1.16	1.78	1.11	1.17
กำลังไฟฟ้า(mW)	36.39	22.50	16.85	17.27	18.26	11.19	11.49

ตารางที่ 6 ผลการอนุกรมโมดูลที่ 1, 2 และ 3 ( $T_h=190\text{ }^{\circ}\text{C}$ ,  $T_c=10\text{ }^{\circ}\text{C}$ )

โหลด ( $\Omega$ )	40	50	60	70	80	90	100
กระแส (mA)	33.68	24.35	23.42	21.02	20.81	18.12	17.61
แรงดัน (V)	1.14	1.56	1.38	1.27	1.21	1.10	0.90
กำลังไฟฟ้า(mW)	38.40	37.99	32.32	26.70	25.18	19.93	15.85

ตารางที่ 7 ผลการอนุกรมโมดูลที่ 1, 2, 3 และ 4 ( $T_h=190\text{ }^{\circ}\text{C}$ ,  $T_c=10\text{ }^{\circ}\text{C}$ )

โหลด ( $\Omega$ )	40	50	60	70	80	90	100
กระแส (mA)	54.4	46.7	44.0	37.2	18.86	17.84	14.46
แรงดัน (V)	2.21	2.71	2.85	3.05	2.67	1.82	1.64
กำลังไฟฟ้า (mW)	120.22	126.56	125.40	113.46	50.36	32.47	23.71

### 5.3 การขนานของของโมดูลเทอร์โมอิเล็กทริก

เมื่อนำโมดูลเทอร์โมอิเล็กทริกแต่ละโมดูล มาต่อร่วมกันแบบขนานโดยเพิ่มจำนวนโมดูลเชื่อมต่อทีละโมดูล จากการทดลองตามตารางที่ 8, 9 และ 10 ตามลำดับค่าแรงดันที่ได้นั้นที่ กระแสไฟฟ้ามีค่าเพิ่มขึ้นเป็นผลให้ค่ากำลังไฟฟ้าที่จ่ายออกมาจะมีค่าเพิ่มขึ้น เมื่อปรับเปลี่ยนค่าโหลดเพิ่มขึ้นทำให้ค่ากระแสไฟฟ้าคงที่ โดยที่ค่าแรงดันลดลง ค่ากำลังไฟฟ้าที่จ่ายออกมาจะมีค่าลดลง เนื่องจากความไม่สม่ำเสมอของแต่ละโมดูลทำให้ประสิทธิภาพในการจ่ายกำลังไฟฟ้าของโมดูลเทอร์โมอิเล็กทริกโดยรวมลดลงตามที่ได้กล่าวไว้ข้างต้น

ตารางที่ 8 ผลการขนานโมดูลที่ 1 และ 2 ( $T_h=190\text{ }^{\circ}\text{C}$ ,  $T_c=10\text{ }^{\circ}\text{C}$ )

โหลด ( $\Omega$ )	40	50	60	70	80	90	100
กระแส (mA)	40.43	35.68	35.02	34.22	30.15	29.74	27.36
แรงดัน (V)	1.06	1.08	1.02	1.09	1.04	0.98	1.07
กำลังไฟฟ้า(mW)	42.86	38.53	35.72	37.30	31.36	29.15	29.28

ตารางที่ 9 ผลการขนานโมดูลที่ 1, 2 และ 3 ( $T_h=190\text{ }^{\circ}\text{C}$ ,  $T_c=10\text{ }^{\circ}\text{C}$ )

โหลด ( $\Omega$ )	40	50	60	70	80	90	100
กระแส (mA)	67.69	65.34	65.01	62.32	60.19	58.76	56.65
แรงดัน (V)	1.14	1.12	1.08	1.05	0.98	1.12	1.09
กำลังไฟฟ้า(mW)	77.17	73.18	70.21	65.44	58.99	65.81	61.75

ตารางที่ 10 ผลการขนานโมดูลที่ 1, 2, 3 และ 4 ( $T_h=190\text{ }^{\circ}\text{C}$ ,  $T_c=10\text{ }^{\circ}\text{C}$ )

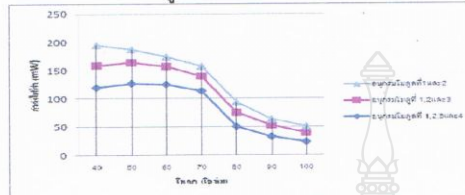
โหลด ( $\Omega$ )	40	50	60	70	80	90	100
กระแส (mA)	88.59	87.59	84.23	82.79	81.05	79.84	76.54
แรงดัน (V)	1.49	1.62	1.45	1.50	1.32	1.56	1.42
กำลังไฟฟ้า(mW)	132.00	141.90	122.13	124.19	106.99	124.55	108.69

### 6. สรุป

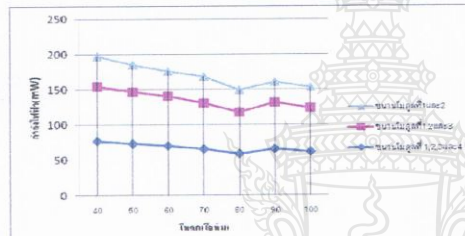
จากผลการทดสอบวัดค่ากำลังไฟฟ้าจากการเชื่อมต่อกันของโมดูลเทอร์โมอิเล็กทริกทั้งการเชื่อมต่ออนุกรมกันของโมดูลเทอร์โมอิเล็กทริกและการเชื่อมต่อขนานกันของโมดูลเทอร์โมอิเล็กทริก นำมาพล็อตกราฟได้ในรูปที่ 6 และ 7 ตามลำดับ จะเห็นว่าการเปลี่ยนแปลงของกำลังไฟฟ้าเมื่อโหลดเปลี่ยนสำหรับการต่อแบบอนุกรมนั้นมีความต่ำกว่าการต่อแบบขนาน ถ้าพิจารณาในสภาพเลวร้ายที่เป็นไปได้ เช่น มีปัจจัยทำให้คุณสมบัติของโมดูลเทอร์โมอิเล็กทริกแตกต่างกัน การต่อแบบขนานจะให้ค่าการจ่ายกำลังไฟฟ้าสูงสุดได้ดีกว่าแบบอนุกรม ความจริงข้อนี้สามารถนำไปใช้พิจารณาการใช้งานโมดูลเทอร์โมอิเล็กทริกได้ โดยยึดหลักว่าหากใช้งานโมดูลเทอร์โมอิเล็กทริกโดยปราศจากวงจรแปลงผันไฟฟ้า การต่อแบบอนุกรมจะใช้งานกับโหลดได้ยากกว่าการต่อแบบขนาน ในทางตรงข้ามหากใช้งานโมดูลเทอร์โมอิเล็กทริกร่วมกับวงจรแปลงผันไฟฟ้าที่สามารถ



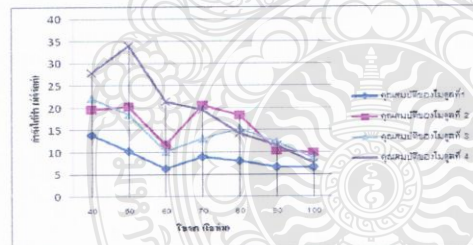
โปรแกรมติดตามกำลังไฟฟ้าสูงสุดได้ [4] การต่อโมดูลเทอร์โมอิเล็กทริกในรูปแบบขนานจะให้ประสิทธิภาพกำลังสูงกว่า



รูปที่ 6 กราฟของค่ากำลังไฟฟ้าเทียบกับโพลดในการเชื่อมต่อโมดูลแบบขนาน



รูปที่ 7 กราฟของค่ากำลังไฟฟ้าเทียบกับโพลดในการเชื่อมต่อโมดูลแบบขนาน



รูปที่ 8 กราฟคุณสมบัติของโมดูลเทอร์โมอิเล็กทริก

จากรูปที่ 8 ผลที่ได้นี้เกิดจากการทดสอบคุณสมบัติโมดูลเทอร์โมอิเล็กทริกแต่ละโมดูล ค่ากำลังไฟฟ้าจริงที่วัดได้มีค่าที่ใกล้เคียงกัน

#### 7.เอกสารอ้างอิง

[1] Anders Killander, John C. Bass, 1996, "A Stove-Top Generator For Cold Areas", *IEEE*

15th International Conference on Thermoelectric, pp.390-393

[2] Yuri Gurevich, Georgiy Logvinov and Igor Volovichev, "Nonequilibrium Carriers of Charge in Theory of Thermoelectric Phenomena", *Proceedings of the 22nd International Conference on Thermoelectrics*, pp.464-467.

[3] Eakburanawat, J. and Boonyaroonate, I., 2005, "Development of a thermoelectric battery charger with microcontroller-based maximum power point tracking technique", *Applied Energy*, Vol. 83, issue. 7, pp. 687-704.

[4] ณัฐ จันท์ครบ ฉัตรชัย เอี่ยมพรสิน อมร สมเจตน์ เลิศเจริญ และเจนศักดิ์ เอกบุรณะวัฒน์, "การผลิตไฟฟ้าจากความร้อนเหลือทิ้งของเตาหุงต้มในครัวเรือนด้วยเทอร์โมอิเล็กทริก", *การประชุมวิชาการทางวิศวกรรมไฟฟ้า ครั้งที่ 29*, มหาวิทยาลัยเทคโนโลยีราชมงคลธัญบุรี, 9-10 พฤศจิกายน 2549. หน้า 1194-1196.

[5] Lertsatthanakorn, C., K. Wongsim, N. Jariyanoravisse and N. Suwannata, 2003, "Experimental Study of a Lamp Thermoelectric Generator", *The 2<sup>nd</sup> Regional Conference on Energy Technology towards a Clean Environment*, Phuket, Thailand, pp.544 – 547.

[6] นพพร พัชรประทีป, ยุทธสิทธิ์ แสนเรือน และพันธ์ชัย กาวิชัย, "ระบบอัดประจุแบตเตอรี่ด้วยพลังงานเทอร์โมอิเล็กทริก", *การประชุมวิชาการด้านพลังงานสิ่งแวดล้อมและวัสดุ ครั้งที่ 1*, คณะพลังงานสิ่งแวดล้อมและวัสดุ 31 สิงหาคม 2550

[7] ณัฐ จันท์ครบ, เสรี ชื่นอารมณ, เจนศักดิ์ เอกบุรณะวัฒน์, "การวิเคราะห์รูปแบบการต่อเชื่อมกันทางไฟฟ้าของโมดูลเทอร์โมอิเล็กทริกเพื่อให้ได้ค่ากำลังไฟฟ้าสูงสุด", *การประชุมวิชาการทางวิศวกรรมศาสตร์มหาวิทยาลัยสงขลานครินทร์ ครั้งที่ 5*, 10-11 พฤษภาคม 2550



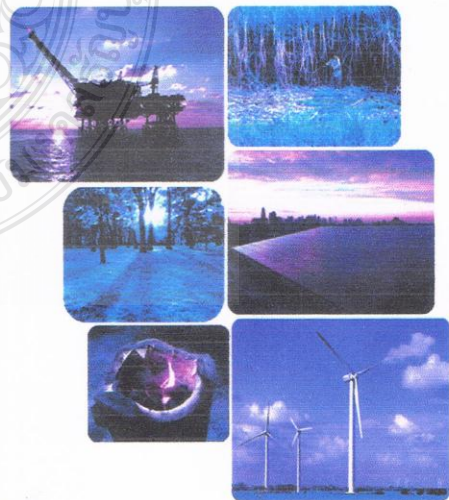
**การประชุมสัมมนาเชิงวิชาการ  
พลังงานทดแทนสู่ชุมชนแห่งประเทศไทย ครั้งที่ 6**

**The 6<sup>th</sup> Thailand Renewable Energy for Community Conference**

**TREC-6**

**13-15 พฤศจิกายน 2556  
ณ มหาวิทยาลัยเทคโนโลยีราชมงคล**

- CP** ไฟฟ้าชุมชน
- CF** เชื้อเพลิงชุมชน
- CT** ความร้อนชุมชน
- EC** การประหยัดพลังงาน
- CE** สิ่งแวดล้อมชุมชน



คณะกรรมการผู้ทรงคุณวุฒิตรวจสอบทางวิชาการ

การประชุมสัมมนาเชิงวิชาการรูปแบบพลังงานทดแทนสู่ชุมชนแห่งประเทศไทยครั้งที่ 6

ชื่อ	สกุล	มหาวิทยาลัย
รองศาสตราจารย์ ดร.สิงห์ทอง	พัฒนเศรษฐานนท์	มหาวิทยาลัยมหาสารคาม
รองศาสตราจารย์ อีรพนธ์	พุทธิภูมิวิวงศ์	มหาวิทยาลัยมหาสารคาม
รองศาสตราจารย์ ศักดิ์เดช	สังคพัฒน์	มหาวิทยาลัยราชภัฏกาฬสินธุ์
ผู้ช่วยศาสตราจารย์ ดร.อมตะ	ทัศนภักดิ์	มหาวิทยาลัยศรีประทุม
ผู้ช่วยศาสตราจารย์ ดร.พิสิษฐ์	มณีโชติ	มหาวิทยาลัยนเรศวร
ผู้ช่วยศาสตราจารย์ ดร.จกกรี	ศรีนนท์ฉัตร	มหาวิทยาลัยเทคโนโลยีราชมงคลธัญบุรี
ผู้ช่วยศาสตราจารย์ ดร.ภาณุ	ประทุมพรรัตน์	มหาวิทยาลัยเทคโนโลยีราชมงคลธัญบุรี
ผู้ช่วยศาสตราจารย์ ดร.กฤษณ์ชนม์	ภูมิศักดิ์พิชญ์	มหาวิทยาลัยเทคโนโลยีราชมงคลธัญบุรี
ผู้ช่วยศาสตราจารย์ ดร.อำนาจ	เรืองวารี	มหาวิทยาลัยเทคโนโลยีราชมงคลธัญบุรี
ผู้ช่วยศาสตราจารย์ ดร.วารุณี	อริยวิริยะนันท์	มหาวิทยาลัยเทคโนโลยีราชมงคลธัญบุรี
ผู้ช่วยศาสตราจารย์ ดร.นิพนธ์	เกตุจ้อย	มหาวิทยาลัยนเรศวร
ผู้ช่วยศาสตราจารย์ ดร.ประพิธาร์	ธนรักษ์	มหาวิทยาลัยนเรศวร
ผู้ช่วยศาสตราจารย์ ดร.พิสิษฐ์	มณีโชติ	มหาวิทยาลัยนเรศวร
ผู้ช่วยศาสตราจารย์ ดร.วรนุช	แจ้งสว่าง	มหาวิทยาลัยราชภัฏพระนคร
ผู้ช่วยศาสตราจารย์ ดร.ธีรพงศ์	เหล่าสุวรรณ	มหาวิทยาลัยมหาสารคาม
ผู้ช่วยศาสตราจารย์ ดร.บัณฑิต	กฤษดาคม	มหาวิทยาลัยเทคโนโลยีราชมงคลอีสาน นครราชสีมา
ผู้ช่วยศาสตราจารย์ ดร.อนิรุท	มุกข์กันต์	มหาวิทยาลัยอุบลราชธานี
ผู้ช่วยศาสตราจารย์ ดร.อนุสรณ์	แสงประจักษ์	มหาวิทยาลัยมหาสารคาม
ผู้ช่วยศาสตราจารย์ วีระวุฒิ	อรุณวรรณนะ	มหาวิทยาลัยมหาสารคาม
ผู้ช่วยศาสตราจารย์ ดร.บุญยัง	ปลั่งกลาง	มหาวิทยาลัยเทคโนโลยีราชมงคลธัญบุรี
ผู้ช่วยศาสตราจารย์ ดร.ศุภกิจ	วรศิลป์ชัย	ศูนย์เทคโนโลยีโลหะแห่งชาติ
ผู้ช่วยศาสตราจารย์ ดร.พัฒนพล	มีนา	มหาวิทยาลัยมหาสารคาม
อาจารย์ ดร.รัฐศักดิ์	พรหมมาศ	มหาวิทยาลัยเทคโนโลยีราชมงคลรัตนโกสินทร์
อาจารย์ ดร.กิตติศักดิ์	วิธินันทกิตต์	มหาวิทยาลัยเทคโนโลยีราชมงคลตะวันออก
อาจารย์ ดร.บวรกิตต์	เนคมานูรักษ์	มหาวิทยาลัยเทคโนโลยีราชมงคลรัตนโกสินทร์
อาจารย์ ดร.ศุภชัย	ฤทธิ์เจริญวัตถุ	มหาวิทยาลัยมหาสารคาม
อาจารย์ ดร.ปรเมษฐ์	จันทร์เพ็ญ	มหาวิทยาลัยมหาสารคาม
อาจารย์ ดร.สุชาติ	โอชคลัง	มหาวิทยาลัยมหาสารคาม
อาจารย์ ดร.อภิพงษ์	พุ่มคำ	มหาวิทยาลัยมหาสารคาม
อาจารย์ ดร.วิจิตรา	สิงห์หิรัญสรณ์	มหาวิทยาลัยมหาสารคาม
อาจารย์ ดร.นิชดา	สุวแพทย์	มหาวิทยาลัยมหาสารคาม
อาจารย์ ดร.สุภกร	หาญสูงเนิน	มหาวิทยาลัยมหาสารคาม
อาจารย์ ดร.สุรชัย	จันทร์ศรี	มหาวิทยาลัยราชภัฏชัยภูมิ

คณะกรรมการผู้ทรงคุณวุฒิตรวจสอบทางวิชาการ

การประชุมสัมมนาเชิงวิชาการรูปแบบพลังงานทดแทนสู่ชุมชนแห่งประเทศไทยครั้งที่ 6

ชื่อ	สกุล	มหาวิทยาลัย
อาจารย์ ดร.เพชรรัตน์	ใจบุญ	มหาวิทยาลัยราชภัฏสกลนคร
อาจารย์ ดร.พิมพ์พรพรรณ	กำพลานนท์วัฒน์	มหาวิทยาลัยเทคโนโลยีราชมงคลรัตนโกสินทร์
อาจารย์ ดร.วรจิต	เศรษฐพรพรค	มหาวิทยาลัยราชภัฏเชียงใหม่
อาจารย์ ดร.วิจิตรา	สิงห์หิรัญสุนทรณ์	มหาวิทยาลัยมหาสารคาม
อาจารย์ ดร.สถาพร	ทองวิค	มหาวิทยาลัยเทคโนโลยีราชมงคลธัญบุรี
อาจารย์ ดร.วิรัชชัย	โรยรินทร์	มหาวิทยาลัยเทคโนโลยีราชมงคลธัญบุรี
อาจารย์ ดร.ประจวบ	อินระวงศ์	มหาวิทยาลัยเทคโนโลยีราชมงคลอีสาน นครราชสีมา
อาจารย์ นุอร	ชูทอง	มหาวิทยาลัยเทคโนโลยีราชมงคลรัตนโกสินทร์
อาจารย์ ปรีชา	ศรีประภาคาร	มหาวิทยาลัยมหาสารคาม
อาจารย์ วุฒิศาสตร์	โชคแก้ว	มหาวิทยาลัยมหาสารคาม
อาจารย์ ชีรภัทร์	อนุชาติ	มหาวิทยาลัยราชภัฏเลย
อาจารย์ ยุทธนา	อุไรชื่น	มหาวิทยาลัยมหาสารคาม
อาจารย์ ดร.อาทิตย์	ฉิงสูงเนิน	มหาวิทยาลัยมหาสารคาม
อาจารย์ ดร.ประธาน	ศรีวิไล	มหาวิทยาลัยมหาสารคาม
อาจารย์ ดร.ดาริน	อ่อนขาว	มหาวิทยาลัยมหาสารคาม
ดร. อำพล	อาภาชนากร	สำนักงานนวัตกรรมแห่งชาติ





บทความวิจัย: ไฟฟ้าชุมชน (CP)		หน้า
CP001	การวิเคราะห์การเชื่อมต่อกันทางไฟฟ้าของโมดูลเทอร์โมอิเล็กทริก TEG12750D ด้วยการทดลองเปรียบเทียบกับจำลองการทำงานด้วยโปรแกรม MatLab Simulink นายคณิต พิมพ์คำไหล	233
CP002	การทดสอบการผลิตไฟฟ้าของกังหันลมแกนนอนแบบใช้กังหันสองชุดติดตั้งบนแกนเดียวกัน นายวินัย บุญน้อย	242
CP003	การประเมินศักยภาพพลังงานลมจากข้อมูลสถานีตรวจวัดอุตุณิยวิทยา มหาวิทยาลัยเกษตรศาสตร์ วิทยาเขตศรีราชา นายวรสิทธิ์ ศรีบุญ	251
CP004	เครื่องวัดพลังงานและคำนวณค่าไฟฟ้าของหลอดแอลอีดีฟลูออเรสเซนต์กับหลอดฟลูออเรสเซนต์ ด้วยไมโครคอนโทรลเลอร์แบบเวลาจริง นายผดุง กิจแสง	259
CP005	การควบคุมการแกว่งความถี่ต่ำของระบบเชื่อมโยงพลังงานทดแทนในชนบท นายอมร อ้นกรอง	267
CP006	การผลิตไฟฟ้าจากคลื่นทะเลสำหรับชุมชนห่างไกล นางสาวณัฐวรรณ หรั่งแก้ว	276
CP007	การควบคุมกำลังแอกทิฟโรงต้นกำลังเซลล์เชื้อเพลิงในระบบจำหน่าย โดยใช้ตัวแปลงผันที่ดับเบิ้ลยูเอ็ม นายบรรณฤดี บริบูรณ์	280
CP008	การศึกษาและออกแบบวงจรแปลงผันไฟฟ้ากระแสตรงแบบสองทิศทางสำหรับระบบพลังงานทดแทนจากเซลล์แสงอาทิตย์ นางสาวเสาวนีย์ กันตะ	290
CP009	ศึกษาการออกแบบฟิวส์สวิตช์แรงต่ำโดยใช้นวนเรซิน นายวิทยา โสสีทา	297
CP010	การจำลองเส้นโค้งสมรรถนะของกังหันลมแบบแกนนอน นายอภิชาติ ไชยขันธุ์	305
CP011	การศึกษาชุดควบคุมประจุไฟฟ้าแบบสมาร์ตสำหรับแบตเตอรี่ในระบบไฟฟ้าเซลล์แสงอาทิตย์ นายยุทธพงษ์ ทองช่วง	314
CP012	การออกแบบกังหันน้ำผลิตไฟฟ้าขนาดเล็กแบบครอสโฟลว์ด้วยโปรแกรมทางพลศาสตร์ของไหล นายบัณฑิต เสรีกิจ	322
CP013	การเปรียบเทียบประสิทธิภาพใบกังหันลมด้วยโปรแกรมทางพลศาสตร์ของไหล นายชาคริต จินลอย	332
CP014	การออกแบบระบบไฟโตโวลตาอิกสำหรับชุมชนในชนบทไทย นายมนตรี สุขเศรษฐ์	337
CP015	การวิเคราะห์ผลการออกแบบหม้อแปลงเตสลา ที่ใช้การสวิตช์แบบอิเล็กทรอนิกส์แทนสปาร์คแกป โดยการจำลองระบบด้วยโปรแกรมคอมพิวเตอร์ นายสุพจน์ วรวิพรหมมา	346

CP001

การวิเคราะห์การเชื่อมต่อกันทางไฟฟ้าของโมดูลเทอร์โมอิเล็กทริก TEG12750D ด้วยการทดลอง  
เปรียบเทียบกับจำลองการทำงานด้วยโปรแกรม Matlab Simulink

The Analysis of module power, joining Thermo Electric TEG12750D compared with experimental  
simulation using Matlab Simulink

คณิต พิมพ์คำไหล และ บุญยัง ปลั่งกลาง

ภาควิชาวิศวกรรมไฟฟ้า คณะวิศวกรรมศาสตร์

มหาวิทยาลัยเทคโนโลยีราชมงคลธัญบุรี 39 หมู่ 1 ต. คลองหก อ. ธัญบุรี จ.ปทุมธานี 12110

โทรศัพท์: 02-549-3571, 081- 492- 9562 โทรสาร: 02-549-3422

E-mail: kanit2547@thaimail.com, pboonyang@gmail.com

#### บทคัดย่อ

บทความนี้เป็นกวนนำเสนอผลการวิเคราะห์การเชื่อมต่อโมดูลเทอร์โมอิเล็กทริกหลายโมดูลให้ทำงานร่วมกันอย่างมีประสิทธิภาพ โดยทำการศึกษาคุณสมบัติการทำงานของโมดูลเทอร์โมอิเล็กทริกแต่ละโมดูล โดยการติดตั้งอุปกรณ์เทอร์โมอิเล็กทริกด้านร้อนเข้ากับแผ่นลวดความร้อนขนาด 1000 วัตต์และด้านทำความเย็นติดตั้งกับกล่องรับน้ำเย็น นำโมดูลเทอร์โมอิเล็กทริกมาต่อรวมกันในลักษณะขนานและอนุกรมและจำลองการทำงาน ของระบบโดยใช้โปรแกรม Matlab Simulink เพื่อนำผลที่ได้เปรียบเทียบกับผลที่ได้จากการจำลองระบบ จากผลการทดลองพบว่า การต่อโมดูลแบบอนุกรมจะมีอัตราการเปลี่ยนแปลงกำลังไฟฟ้าต่อโหนดที่ต่ำกว่าการเชื่อมต่อแบบขนาน ขณะที่การเชื่อมต่อแบบขนานจะให้ค่าแรงดันไฟฟ้าที่ต่ำกว่าการเชื่อมต่อแบบอนุกรม เมื่อทำการเพิ่มโมดูลมากขึ้นผลการทดลองกำลังไฟฟ้าจริงที่ได้จากการเชื่อมต่อแบบขนานจะมีค่าแรงดันที่มีประสิทธิภาพสูงกว่า การเชื่อมต่อแบบอนุกรม นำผลที่ได้จากการทดลองเปรียบเทียบกับผลการทดลองที่ได้จากการจำลองระบบโดยใช้โปรแกรมปรากฏว่ามีคุณสมบัติที่ใกล้เคียงกัน

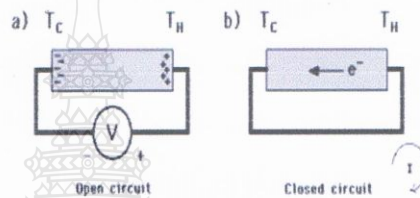
คำสำคัญ: เทอร์โมอิเล็กทริก, อนุกรม, ขนาน

#### 1. บทนำ

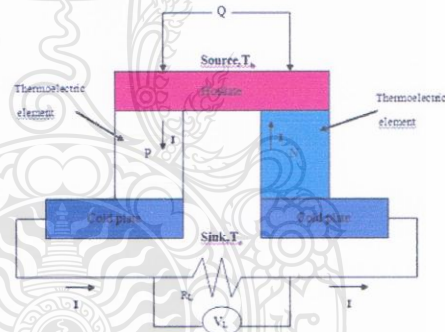
เทอร์โมอิเล็กทริกเป็นอุปกรณ์ที่ทำมาจากสารกึ่งตัวนำ สมบัติพิเศษของวัสดุที่สามารถผันความร้อนเป็นไฟฟ้า และสามารถผันไฟฟ้าเป็นความร้อน โดยอาศัยหลักการสั่นสะเทือนของโครงสร้างภายในของแข็งที่เป็นวัสดุเทอร์โมอิเล็กทริกในเชิงควอนตัมที่เรียกว่า โฟนอน (Phonon) เมื่อวัสดุเทอร์โมอิเล็กทริกได้รับอุณหภูมิที่แตกต่างกัน ที่อุณหภูมิสูงก็จะถ่ายเทไปยังที่มีอุณหภูมิต่ำกว่า นั่นคือมีอิเล็กตรอน (Electron) และ โฮล (Hole) เคลื่อนที่ ซึ่งจะได้ออกมา ซึ่งสามารถนำมาสร้างเครื่องกำเนิดไฟฟ้าและสร้างเครื่องทำความเย็นได้ การผลิตไฟฟ้าจากเทอร์โมอิเล็กทริกได้รับความนิยมเพิ่มมากขึ้นเนื่องจากเป็นแหล่งพลังงานที่สะอาด มีการนำพลังงานความร้อนเหลือทิ้งจากการใช้งานประจำวัน เช่น การผลิตไฟฟ้าจากเตาหุงต้ม[1] แต่เนื่องจากโมดูลเทอร์โมอิเล็กทริกแต่ละโมดูลสร้างจากวัสดุสารกึ่งตัวนำ ชนิด N และ P หลายตัว การนำไปใช้โมดูลเดียวจึงไม่เป็นปัญหา แต่เมื่อต้องการสร้างระบบให้สามารถจ่ายกำลังไฟฟ้าได้มากขึ้นจำเป็นต้องใช้โมดูลเทอร์โมอิเล็กทริกหลายๆโมดูลมาต่อรวมกัน ความไม่เท่ากันของคุณสมบัติต่างๆของแต่ละโมดูล และอุณหภูมิที่แต่ละโมดูลได้รับ จะมีผลทำให้ขีดความสามารถในการจ่ายกำลังไฟฟ้าวามไม่เป็นไปอย่างที่คาดหวัง ในทางปฏิบัติสามารถแก้ไข

ได้ด้วยการเลือกเชื่อมต่อโมดูลเทอร์โมอิเล็กทริกที่คุณสมบัติเหมือนกันหมดหรือใกล้เคียงกัน แต่ในความเป็นจริงแล้วผู้ใช้ไม่มีสิทธิ์ที่จะเลือกโมดูลมาทำการเชื่อมต่อได้ ซึ่งการได้มาของโมดูลเทอร์โมอิเล็กทริก รุ่นเดียวกันแต่ต่างกันที่ช่วงเวลาการผลิต รวมถึงความไม่สม่ำเสมอและคงที่ในกระบวนการผลิต ทำให้คุณสมบัติในการผลิตไฟฟ้าของโมดูลเทอร์โมอิเล็กทริกแต่ละโมดูลแตกต่างกันออกไป เมื่อนำมาต่อรวมกันย่อมทำให้ประสิทธิภาพในการจ่ายกำลังไฟฟ้าวัดเปลี่ยนแปลงไป ในบทความนี้ได้ทำการทดสอบและวิเคราะห์วิธีการเชื่อมต่อโมดูลเทอร์โมอิเล็กทริกในลักษณะที่ต่างกันที่ทำให้ความสามารถในการจ่ายกำลังไฟฟ้าเกิดขึ้นได้ ภายใต้สมมุติฐานความไม่สม่ำเสมอของคุณสมบัติทางไฟฟ้าในแต่ละโมดูล

## 2. โครงสร้างและคุณสมบัติของเทอร์โมอิเล็กทริก



รูปที่ 1 แสดงความต่างศักย์ซีเบคและการไหลของกระแสไฟฟ้า



รูปที่ 2 โครงสร้างของเซลล์เทอร์โมอิเล็กทริก

เทอร์โมอิเล็กทริกสร้างพลังงานไฟฟ้าจากความแตกต่างอุณหภูมิระหว่างผิวนำรอยต่อ P-N กับผิวนำอีกด้านของสาร P,N ดังรูปที่ 1 แสดงความต่างศักย์ซีเบคและการไหลของกระแสไฟฟ้า ส่วนรูปที่ 2 แสดงโครงสร้างของเซลล์เทอร์โมอิเล็กทริก ค่าความต่างศักย์ของอุณหภูมิที่เกิดขึ้นระหว่างผิวนำทั้งสองด้านนี้กระตุ้นให้เกิดปรากฏการณ์ซีเบค (Seebeck) เป็นปรากฏการณ์ที่มีรากฐานอยู่ที่การผันความร้อนเป็นไฟฟ้าความสำคัญทางกายภาพของมันสามารถเห็นได้โดยการพิจารณาปรากฏการณ์ของการบังคับกับเกรเดียนต์ของอุณหภูมิสม่ำเสมอให้ไหลไปตามตัวนำจำกัดผลึกตันให้เกิดการเคลื่อนตัวของพาหะไฟฟ้าในสารกึ่งตัวนำ P และ N ก่อตัวเป็นอำนาจสนามไฟฟ้าภายในที่มีศักย์ไฟฟ้าเกิดขึ้นสัมพันธ์กับอุณหภูมิ สำหรับสมการของ Seebeck effect ถ้าเขียนในรูปของความต่างศักย์และค่าความแตกต่างระหว่างอุณหภูมิ จะได้ว่า

$$\Delta v = \alpha (\nabla T) \quad (1)$$

โดยที่  $\alpha$  คือ ค่าสัมประสิทธิ์ซีเบคในสารกึ่งตัวนำ  $T$  คือฟังก์ชันอุณหภูมิระหว่างผนังของเทอร์โมอิเล็กทริก และเมื่อพิจารณาถึงรายละเอียดที่เกิดขึ้นในสารกึ่งตัวนำทั้งสองขณะใช้งาน[2] พบว่า

$$v = - \left( \frac{\alpha_n \sigma_n + \alpha_p \sigma_p}{\alpha_n + \alpha_p} \right) \Delta T \quad (2)$$

และค่าความต้านทานภายในที่เกิดขึ้นในสารกึ่งตัวนำมีค่าเป็นตามสมการ

$$r_i = \frac{2a}{(\sigma_n + \sigma_p)} \left( 1 + \frac{\rho_p}{\rho_n} \frac{1}{\xi a \operatorname{acth} \xi a + 2\tau S a \xi^2} \right) \quad (3)$$

โดยที่  $\xi^{-1} = \sqrt{\frac{2\tau T_0}{e^2 n_0} \frac{\sigma_n \sigma_p}{(\sigma_n + \sigma_p)}}$  เป็น Diffusion ที่เกิดขึ้นในสารกึ่งตัวนำ และ  $\tau = \frac{1}{2\gamma_i n_0}$ , โดยที่  $\gamma_i$  คือ capture coefficient ในสารกึ่งตัวนำ  $n_0, p_0$  คือ ปริมาณพาหะการนำไฟฟ้าในสารชนิด N,P  $\alpha_n, \alpha_p$  คือ ค่าสัมประสิทธิ์ซีเบคในสาร N,P  $\sigma_n = \rho_n \mu_n, \sigma_p = \rho_p \mu_p$  คือสภาพความนำไฟฟ้าของสาร N,P  $\rho_n, \rho_p$  คือ ความหนาแน่นของพาหะนำไฟฟ้าในสาร N,P  $\mu_n, \mu_p$  คือสภาพความคล่องตัวของพาหะนำไฟฟ้าในสาร N,P และ  $S$  คือพื้นที่ผิวที่เกิด Recombination ซึ่งในกรณีที่มีกระแสไหลมากๆแล้ว ( $S \rightarrow \infty$ ), ( $\tau \rightarrow 0$ ) ค่าความต้านทานของสารกึ่งตัวนำจะลดรูปเป็นดังสมการ

$$r_i = \frac{2a}{\sigma_n + \sigma_p} \quad (4)$$

ความไม่สม่ำเสมอในกระบวนการผลิตในแต่ละช่วงเวลาของการผลิตจะส่งผลให้เกิดปริมาณพาหะการนำไฟฟ้าในสารกึ่งตัวนำที่แตกต่างกัน ซึ่งผลดังกล่าวนี้ทำให้ศักยภาพในการผลิตไฟฟ้าและค่าความต้านทานภายในของเทอร์โมอิเล็กทริกเปลี่ยนแปลงไปจากเดิม และเมื่อนำโมดูลเทอร์โมอิเล็กทริกหลายๆโมดูลมาเชื่อมต่อกัน ความแตกต่างเหล่านี้จะส่งผลถึงการด้อยประสิทธิภาพลงในการจ่ายกำลังไฟฟ้าของเทอร์โมอิเล็กทริกโดยรวม

### 3. การทดลองต่อร่วมกันของโมดูลเทอร์โมอิเล็กทริก

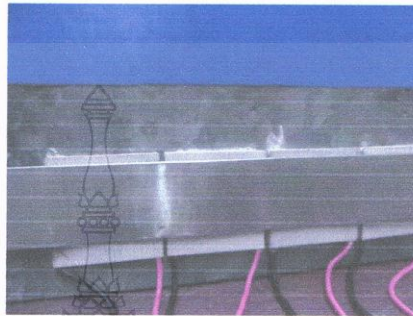
การเชื่อมต่อโมดูลเทอร์โมอิเล็กทริกหลายๆโมดูลให้ทำงานร่วมกันสามารถทำได้ 3 ลักษณะด้วยกันคือ การเชื่อมต่อโมดูลเทอร์โมอิเล็กทริกแบบอนุกรม การเชื่อมต่อโมดูลเทอร์โมอิเล็กทริกแบบขนาน และการเชื่อมต่อโมดูลเทอร์โมอิเล็กทริกแบบผสม จากความไม่สม่ำเสมอในคุณสมบัติของโมดูลเทอร์โมอิเล็กทริกแต่ละโมดูล ทำให้การเชื่อมต่อโมดูลเทอร์โมอิเล็กทริกในแต่ละแบบให้ประสิทธิภาพกำลังไฟฟ้าที่แตกต่างกันออกไป จะมากหรือน้อยขึ้นอยู่กับความแตกต่างในคุณสมบัติของโมดูลเทอร์โมอิเล็กทริกแต่ละโมดูลที่นำมาเชื่อมต่อกัน

### 4. การทดลอง

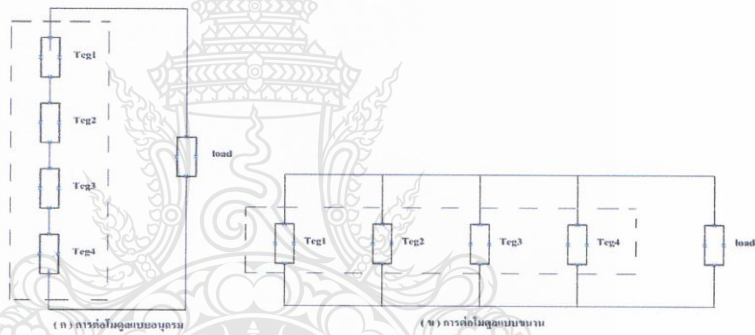
#### 4.1 การทดลองวัดค่าจากโมดูลเทอร์โมอิเล็กทริก

ในการทดสอบคุณสมบัติทางไฟฟ้าความร้อน จะใช้เทอร์โมอิเล็กทริกจำนวน 4 โมดูล ประกอบอยู่บนโครงสร้างระบบเดียวกัน โดยยึดติดผนังด้านร้อนของระบบด้วย ฮีตเตอร์ ขนาด 1000 วัตต์ และผนังด้านเย็นของระบบระบายความร้อนออกด้วยน้ำเย็น ดังแสดงในรูปที่ 3 โดยในการทดลองจะทำการทดสอบคุณสมบัติ

ความสามารถในการจ่ายกำลังไฟฟ้าของแต่ละโมดูล และทดสอบขีดความสามารถในการจ่ายกำลังไฟฟ้าเมื่อนำมาต่อรวมกัน ทั้งในลักษณะการขนานและการอนุกรม โดยปรับเปลี่ยนค่าโหลดเพื่อหาค่ากำลังไฟฟ้าสูงสุด

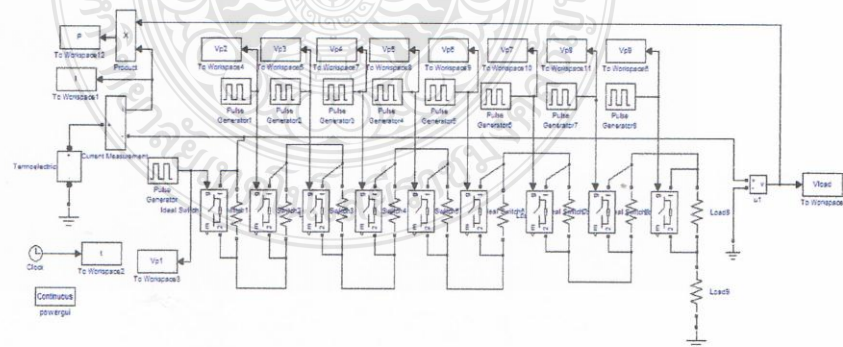


รูปที่ 3 ชุดทดสอบการต่อเทอร์โมอิเล็กทริกโมดูลร่วมกัน

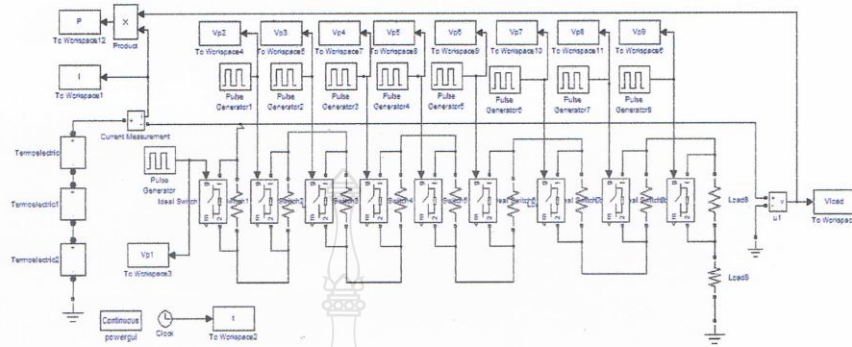


รูปที่ 4 วงจรการต่อโมดูลเทอร์โมอิเล็กทริก

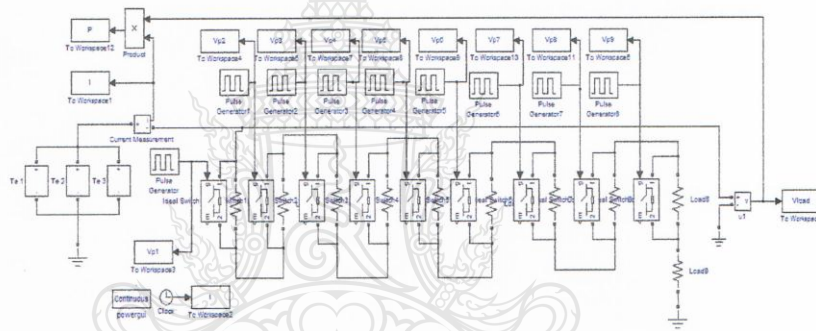
#### 4.2 การจำลองการทำงานด้วยโปรแกรม Matlab simulink



รูปที่ 5 จำลองการทำงานของเทอร์โมอิเล็กทริกส์โดยใช้โปรแกรม Matlab Simulink



รูปที่ 6 จำลองการทำงานการต่ออนุกรมกันของเทอร์โมอิเล็กทริกส์โดยใช้โปรแกรม Matlab Simulink



รูปที่ 7 จำลองการทำงานการต่ออนุกรมกันของเทอร์โมอิเล็กทริกส์โดยใช้โปรแกรม Matlab Simulink

5. ผลการทดลอง

5.1 คุณสมบัติของโมดูลเทอร์โมอิเล็กทริก

จากข้อมูลพื้นฐานดังที่กล่าวข้างต้น จำเป็นต้องเก็บข้อมูลรายละเอียดคุณสมบัติของแต่ละโมดูลไว้เพื่ออ้างอิงในการวิเคราะห์ ได้ผลการทดสอบในตารางที่ 1

ตารางที่ 1 คุณสมบัติของโมดูลเทอร์โมอิเล็กทริก ขณะที่  $V_{oc} = 15.2 \text{ V}$ ,  $I_{sc} = 30 \text{ A}$ ,  $r_i = 0.35 \Omega$ ,  $T_h = 190 \text{ }^\circ\text{C}$

โหลด (w)	0	1	2	3	4	5	6	7	8	9	10
กระแส (A)	2.97	2.78	2.54	2.16	1.87	1.54	1.42	1.22	1.05	0.94	0.67
แรงดัน (V)	2.78	2.97	3.01	3.12	3.17	3.20	3.57	3.81	4.07	4.24	4.78
กำลังไฟฟ้า(W)	8.26	8.26	7.65	6.74	5.93	4.93	5.07	4.65	4.27	3.99	3.20

### 5.2 การอนุกรมกันของโมดูลเทอร์โมอิเล็กทริก

เมื่อนำโมดูลเทอร์โมอิเล็กทริกมาต่อรวมกันแบบอนุกรม ค่ากำลังไฟฟ้าที่จ่ายออกมาได้ผลดังตารางที่ 2 ตารางที่ 2 ผลการอนุกรมโมดูลเทอร์โมอิเล็กทริก ขณะที่  $V_{oc} = 15.2 \text{ V}$ ,  $I_{sc} = 30 \text{ A}$ ,  $r_i = 0.35 \Omega$ ,  $T_h = 190^\circ \text{C}$

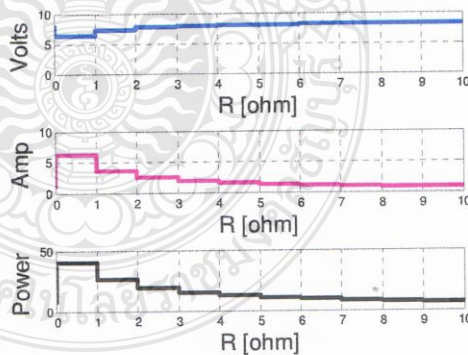
โหลด (w)	0	1	2	3	4	5	6	7	8	9	10
กระแส (A)	8.91	8.04	7.29	6.72	6.36	5.31	4.77	4.32	3.63	3.33	2.76
แรงดัน (V)	8.34	8.91	9.03	9.36	9.51	9.6	10.71	11.43	12.21	12.72	14.34
กำลังไฟฟ้า(W)	74.31	71.64	65.83	62.90	60.48	50.98	51.09	49.38	44.32	42.36	39.58

### 5.3 การขนานของของโมดูลเทอร์โมอิเล็กทริก

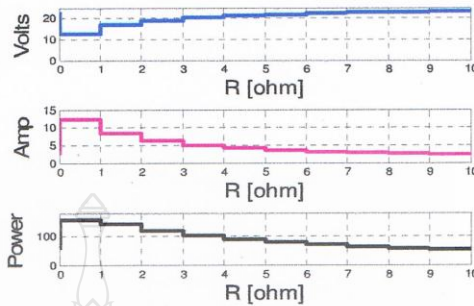
เมื่อนำโมดูลเทอร์โมอิเล็กทริกมาต่อรวมกันแบบขนาน ค่ากำลังไฟฟ้าที่จ่ายออกมาได้ผลดังตารางที่ 3 ตารางที่ 3 ผลการขนานโมดูลเทอร์โมอิเล็กทริก ขณะที่  $V_{oc} = 15.2 \text{ V}$ ,  $I_{sc} = 30 \text{ A}$ ,  $r_i = 0.35 \Omega$ ,  $T_h = 190^\circ \text{C}$

โหลด (w)	0	1	2	3	4	5	6	7	8	9	10
กระแส (A)	5.94	4.88	4.26	3.78	3.84	3.08	2.44	1.88	1.74	1.88	1.22
แรงดัน (V)	5.56	5.94	6.02	6.24	6.34	6.4	7.14	7.62	8.14	8.48	9.56
กำลังไฟฟ้า(W)	33.03	28.99	25.65	23.59	24.35	19.71	17.42	14.33	14.16	15.94	11.66

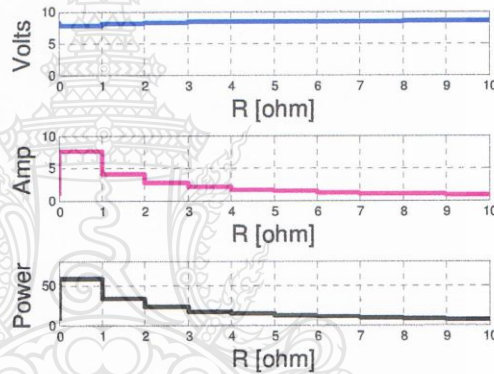
### 5.4 ผลการทดสอบการจำลองการทำงานด้วยโปรแกรม Matlab simulik



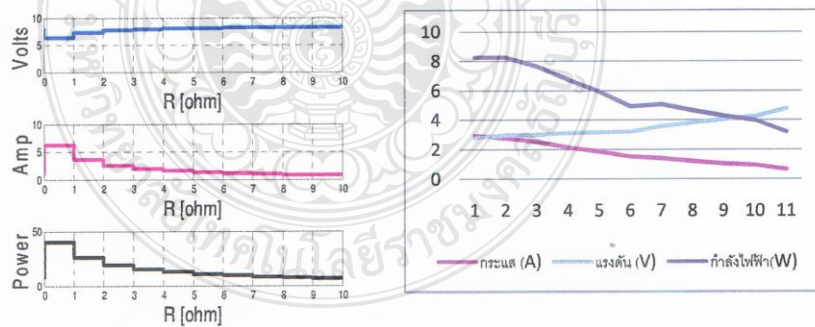
รูปที่ 8 กราฟแสดงผลการทดลองที่จำลองการทำงานด้วยโปรแกรม Matlab simulik



รูปที่ 9 กราฟแสดงผลการทดลองที่จำลองการทำงานการต่ออนุกรมกันของเทอร์โมอิเล็กทริกส์ด้วยโปรแกรม Matlab simulik

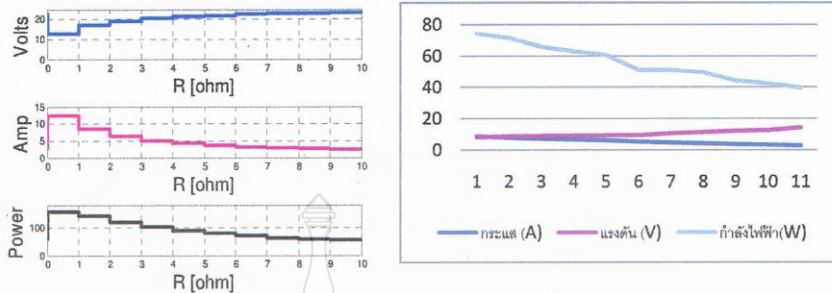


รูปที่ 10 กราฟแสดงผลการทดลองที่จำลองการทำงานการต่อขนานกันของเทอร์โมอิเล็กทริกส์ด้วยโปรแกรม Matlab simulik

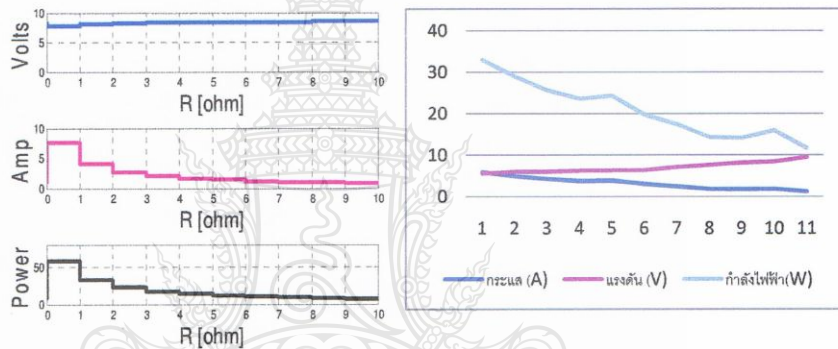


(ก)ผลที่ได้จากการจำลองการทำงานด้วยโปรแกรม Matlab simulik (ข)ผลที่ได้จากการทดลอง  
รูปที่ 11 กราฟแสดงคุณสมบัติเทอร์โมอิเล็กทริกเปรียบเทียบผลการทดลองที่จำลองการทำงานด้วยโปรแกรม Matlab simulik (ก)และผลที่ได้จากการทดลอง(ข)





(ก) ผลที่ได้จากการจำลองการทำงานด้วยโปรแกรม Matlab simulik (ข) ผลที่ได้จากการทดลอง  
รูปที่ 12 กราฟแสดงการเปรียบเทียบผลการทดลองที่จำลองการทำงานการต่ออนุกรมกันของเทอร์โมอิเล็กทริกส์  
ด้วยโปรแกรม Matlab simulik (ก) และผลที่ได้จากการทดลอง(ข)



(ก) ผลที่ได้จากการจำลองการทำงานด้วยโปรแกรม Matlab simulik (ข) ผลที่ได้จากการ  
ทดลอง  
รูปที่ 13 กราฟแสดงการเปรียบเทียบผลการทดลองที่จำลองการทำงานการต่อขนานกันของเทอร์โมอิเล็กทริกส์  
ด้วยโปรแกรม Matlab simulik (ก) และผลที่ได้จากการทดลอง(ข)

### 6. สรุป

จากการทดลองโมดูลเทอร์โมอิเล็กทริกจะเห็นว่าเมื่อเราทำการเพิ่มโหลดจะทำให้กระแสไฟฟ้าที่ผลิตได้มีปริมาณลดลงส่งผลให้กำลังไฟฟ้าที่ผลิตได้มีปริมาณที่ลดลงตามไปด้วย สามารถพล็อตกราฟได้ดังรูปที่ 8 และเมื่อทำการทดสอบวัดค่ากำลังไฟฟ้าของโมดูลเทอร์โมอิเล็กทริกจากการเชื่อมต่อกันของโมดูลเทอร์โมอิเล็กทริกทั้งการเชื่อมต่อกันของโมดูลเทอร์โมอิเล็กทริกและการเชื่อมต่อกันของโมดูลเทอร์โมอิเล็กทริก นำมาพล็อตกราฟได้ในรูปที่ 9 และ รูปที่ 10 ตามลำดับ จะเห็นว่า การเปลี่ยนแปลงของกำลังไฟฟ้าเมื่อโหลดเปลี่ยนสำหรับการต่อแบบอนุกรมนั้นมีค่าต่ำกว่าการต่อแบบขนาน ถ้าพิจารณาในสภาพเลวร้ายที่เป็นไปได้ เช่น มีปัจจัยทำให้คุณสมบัติของโมดูลเทอร์โมอิเล็กทริกแตกต่างกัน การต่อแบบขนานจะให้ค่าการจ่ายแรงดันไฟฟ้าได้ดีกว่าแบบอนุกรม ความจริงข้อนี้สามารถนำไปใช้พิจารณาการใช้งานโมดูลเทอร์โมอิเล็กทริกได้ โดยยึดหลักว่าหากใช้งานโมดูลเทอร์โมอิเล็กทริกโดยปราศจากวงจรแปลงผันไฟฟ้า การต่อแบบอนุกรมจะใช้งานกับโหลดได้ยาวนานกว่าการต่อแบบขนาน ในทางตรงข้ามหากใช้งานโมดูลเทอร์โมอิเล็กทริกร่วมกับวงจรแปลงผันไฟฟ้าที่สามารถ

โปรแกรมติดตามกำลังไฟฟ้าสูงสุดได้ [4] การต่อโมดูลเทอร์โมอิเล็กทริกในรูปแบบขนานจะให้ประสิทธิภาพกำลังสูงกว่า ผลที่ได้เกิดจากการทดสอบคุณสมบัติโมดูลเทอร์โมอิเล็กทริกกำลังไฟฟ้าจริงที่วัดได้มีแนวโน้มลดลงไปตามการเปลี่ยนแปลงของโหลดที่เพิ่มขึ้น เมื่อทำการเพิ่มโมดูลมากขึ้นผลการทดลองกำลังไฟฟ้าจริงที่ได้จากการเชื่อมต่อแบบขนานจะมีค่าแรงดันที่มีประสิทธิภาพสูงกว่าการเชื่อมต่อแบบอนุกรม นำผลที่ได้จากการทดลองเปรียบเทียบกับผลการทดลองที่ได้จากการจำลองระบบโดยใช้โปรแกรมปรากฏว่ามีคุณสมบัติที่ใกล้เคียงกัน

#### 7.เอกสารอ้างอิง

- [1] Anders Killander, John C. Bass, 1996, "A Stove-Top Generator For Cold Areas", IEEE 15th International Conference on Thermoelectric, pp.390-393
- [2] Yuri Gurevich, Georgiy Logvinov and Igor Volovichev, " Nonequilibrium Carriers of Charge in Thery of Thermoelectric Phenomena", Proceedings of the 22nd International Conference on Thermoelectrics, pp.464-467.
- [3] Eakburanawat, J. and Boonyaroonate, I., 2005, "Development of a thermoelectric battery charger with microcontroller-based maximum power point tracking technique", Applied Energy, Vol. 83, issue. 7, pp. 687-704.
- [4] ณัฐ จันท์ครบ, ณัฏรัชย์ เอี่ยมพรสิน, อมร สมเจตน์เลิศเจริญ และเจนศักดิ์ เอกบูรณะวัฒน์, "การผลิตไฟฟ้าจากความร้อนเหลือทิ้งของเตาหุงต้มในครัวเรือนด้วยเทอร์โมอิเล็กทริก", การประชุมวิชาการทางวิศวกรรมไฟฟ้า ครั้งที่ 29, มหาวิทยาลัยเทคโนโลยีราชมงคลธัญบุรี, 9-10 พฤศจิกายน 2549, หน้า 1194-1196.
- [5] Lertsatthanakom, C., K. Wongsim, N. Jariyanoravisse and N. Suwannata, 2003, "Experimental Study of a Lamp Thermoelectric Generator", The 2<sup>nd</sup> Regional Conference on Energy Technology towards a Clean Environment, Phuket, Thailand, pp.544 – 547.
- [6] นพพร พัชรประภิติ, ยุทธสิทธิ์ แสนเรือน และพนัชนัย กาวิชัย, "ระบบอัดประจุแบตเตอรี่ด้วยพลังงานเทอร์โมอิเล็กทริก", การประชุมวิชาการ ด้านพลังงานสิ่งแวดล้อมและวัสดุ ครั้งที่ 1, คณะพลังงานสิ่งแวดล้อมและวัสดุ 31 สิงหาคม 2550
- [7] ณัฐ จันท์ครบ, เสรี ชื่นอารมย์, เจนศักดิ์ เอกบูรณะวัฒน์, "การวิเคราะห์รูปแบบการต่อเชื่อมกันทางไฟฟ้าของโมดูลเทอร์โมอิเล็กทริกเพื่อให้ได้กำลังไฟฟ้าสูงสุด", การประชุมวิชาการทางวิศวกรรมศาสตร์ มหาวิทยาลัยสงขลานครินทร์ ครั้งที่ 5, 10-11 พฤษภาคม 2550



RMUTK  
 กรมส่งเสริมวิชาการไฟฟ้า ครั้งที่ 7

EENET2015



การประชุมวิชาการเครือข่ายวิศวกรรมไฟฟ้า  
 มหาวิทยาลัยเทคโนโลยีราชมงคล ครั้งที่ 7

The 7<sup>th</sup> Conference of Electrical Engineering Network  
 of Rajamangala University of Technology



Conference Topics

- ไฟฟ้ากำลัง (PW)
- อิเล็กทรอนิกส์กำลัง (PE)
- อิเล็กทรอนิกส์ (EE)
- ไฟฟ้าสื่อสาร (ES)
- ระบบควบคุมและการวัด (CT)
- การประมวลผลสัญญาณดิจิทัล (DS)
- พลังงานและการอนุรักษ์พลังงาน (ES)
- งานวิจัยใหม่ที่เกี่ยวข้องกับวิศวกรรมไฟฟ้า (GN)
- คอมพิวเตอร์และเทคโนโลยีสารสนเทศ (CP)
- นวัตกรรมและดีประสิทธิ์ (IN)

คณะกรรมการจัดการประชุมวิชาการ

ภาควิชาวิศวกรรมไฟฟ้าและโทรคมนาคม คณะวิศวกรรมศาสตร์  
 มหาวิทยาลัยเทคโนโลยีราชมงคลธัญบุรี  
 2 ถนนพหลโยธิน แขวงจตุจักร เขตจตุจักร กรุงเทพฯ 10120  
<http://www.eenet2015.org>



**เอกสารนี้**

Copyright © 2018 by the author(s). Published by the author(s).

Proceedings of the 7<sup>th</sup> Conference of Electrical Engineering Network of Rajabhat University of Technology 2018 (ENET 2018)

**รายนามผู้ทรงคุณวุฒิพิจารณาบทความ**

ศาสตราจารย์ ดร. ประยุทธ์ อัครเอกฉาน	มหาวิทยาลัยเทคโนโลยีพระจอมเกล้าพระนครเหนือ
ศาสตราจารย์ ดร. โกสินทร์ ชำนาญ	มหาวิทยาลัยเทคโนโลยีพระจอมเกล้าธนบุรี
รองศาสตราจารย์ ดร. พรชัย พุกแก้วกานนท์	มหาวิทยาลัยสงขลานครินทร์
รองศาสตราจารย์ ดร. มนต์ ภาณุชนนเศรษฐ	มหาวิทยาลัยสงขลานครินทร์
รองศาสตราจารย์ ดร. วิจิตร กิณนธ	สถาบันเทคโนโลยีพระจอมเกล้าเจ้าคุณทหารลาดกระบัง
รองศาสตราจารย์ ดร. วิบูลย์ ชื่นนอก	มหาวิทยาลัยเทคโนโลยีพระจอมเกล้าพระนครเหนือ
รองศาสตราจารย์ ดร. ธนวิวัฒน์ ชามวณิชเลิศ	สถาบันเทคโนโลยีพระจอมเกล้าเจ้าคุณทหารลาดกระบัง
รองศาสตราจารย์ ดร. เวศิน ปิยรัตน์	มหาวิทยาลัยศรีนครินทรวิโรฒ
รองศาสตราจารย์ ดร. สุรินทร์ คำผ่อง	สถาบันเทคโนโลยีพระจอมเกล้าเจ้าคุณทหารลาดกระบัง
รองศาสตราจารย์ ดร. กิ่งดี ชนงกุลศิริ	มหาวิทยาลัยศรีปทุม
รองศาสตราจารย์ ดร. ธนิตชัย กุศลธรรมวิมลรัตน์	มหาวิทยาลัยเทคโนโลยีสุรนารี
รองศาสตราจารย์ ดร. บัณฑิต คำมิ่งมณี	มหาวิทยาลัยเทคโนโลยีพระจอมเกล้าพระนครเหนือ
รองศาสตราจารย์ ดร. ปฎิพัทธ์ จรุงนง	มหาวิทยาลัยเทคโนโลยีพระจอมเกล้าพระนครเหนือ
รองศาสตราจารย์ ดร. สันติ หวังนิลพานโต	สถาบันเทคโนโลยีปทุมวัน
รองศาสตราจารย์ ดร. เมธีธร รณนุกศิริวัฒน์	สถาบันเทคโนโลยีปทุมวัน
รองศาสตราจารย์ ดร. สุภัทรี ชิวฉิวทรัพย์	สถาบันเทคโนโลยีพระจอมเกล้าเจ้าคุณทหารลาดกระบัง
รองศาสตราจารย์ ดร. สมพร สิริสาธาณกุล	มหาวิทยาลัยเทคโนโลยีพระจอมเกล้าพระนครเหนือ
รองศาสตราจารย์ ดร. สมเกียรติ สุขนพราช บุษ	มหาวิทยาลัยเทคโนโลยีราชมงคลสุวรรณภูมิ
รองศาสตราจารย์ ดร. ศานติ นิลชัย	มหาวิทยาลัยเทคโนโลยีราชมงคลธัญบุรี
รองศาสตราจารย์ ดร. ไทศด โสภนโรจน์	มหาวิทยาลัยเทคโนโลยีราชมงคลธัญบุรี
รองศาสตราจารย์ ดร. สติชม อภินุศ	มหาวิทยาลัยเทคโนโลยีพระนคร
รองศาสตราจารย์ ดร. สันติฉกร วุฒิสงขลภกิจ	จุฬาลงกรณ์มหาวิทยาลัย
รองศาสตราจารย์ ดร. พิสิษฐ บุญศรีเมธี	สถาบันเทคโนโลยีพระจอมเกล้าเจ้าคุณทหารลาดกระบัง
รองศาสตราจารย์ ดร. กฤษณ์ธรรม ภูมิวิมลศิริชัย	มหาวิทยาลัยเทคโนโลยีราชมงคลธัญบุรี
รองศาสตราจารย์ ดร. ณัฐชา จันทร์ทิพย์	มหาวิทยาลัยสงขลานครินทร์
รองศาสตราจารย์ ดร. ประเวรัฐ ปิ่นปทุมรัฐ	มหาวิทยาลัยเทคโนโลยีราชมงคลธัญบุรี
รองศาสตราจารย์ คณิศร เชนแก้วพัฒนานนท์	มหาวิทยาลัยสงขลานครินทร์
รองศาสตราจารย์ นภัทร วัฒนพิพัฒน์	มหาวิทยาลัยเทคโนโลยีราชมงคลสุวรรณภูมิ
รองศาสตราจารย์ ชัยณรงค์ วิเศษศักดิ์วิชัย	มหาวิทยาลัยเทคโนโลยีราชมงคลกรุงเทพ

### รายนามผู้ทรงคุณวุฒิพิจารณาบทความ

รองศาสตราจารย์ สมสิน วาสุบงกช	มหาวิทยาลัยเทคโนโลยีราชมงคลธัญบุรี
รองศาสตราจารย์ บุญเจริญ วงศ์ศิริศึกษา	มหาวิทยาลัยสกลนคร
ผู้ช่วยศาสตราจารย์ ดร. สมภาร จันทะสิทธิ์	มหาวิทยาลัยเทคโนโลยีราชมงคลศรีวิชัย
ผู้ช่วยศาสตราจารย์ ดร. ขาวชัย ทองโสภา	มหาวิทยาลัยเทคโนโลยีสุรนารี
ผู้ช่วยศาสตราจารย์ ดร. พิเชฐ ม่วงนวล	สถาบันเทคโนโลยีพระจอมเกล้าเจ้าคุณทหารลาดกระบัง
ผู้ช่วยศาสตราจารย์ ดร. จักริ ศรินนทีศรี	มหาวิทยาลัยเทคโนโลยีราชมงคลธัญบุรี
ผู้ช่วยศาสตราจารย์ ดร. กุสุมาลย์ เฉลิมยานนท์	มหาวิทยาลัยสกลนคร
ผู้ช่วยศาสตราจารย์ ดร. ปวีร์ชกรณ์ ชารีรัมย์	มหาวิทยาลัยเทคโนโลยีราชมงคลศรีวิชัย
ผู้ช่วยศาสตราจารย์ ดร. ชิตวัฒน์ สาอุ	มหาวิทยาลัยเทคโนโลยีราชมงคลศรีวิชัย
ผู้ช่วยศาสตราจารย์ ดร. วันชัย ทวีชัยสิทธิ์	มหาวิทยาลัยเทคโนโลยีราชมงคลธัญบุรี
ผู้ช่วยศาสตราจารย์ ดร. สมศักดิ์ พิธิญาโณ	มหาวิทยาลัยเทคโนโลยีราชมงคลธัญบุรี
ผู้ช่วยศาสตราจารย์ ดร. บุญยงค์ ปลั่งสงวน	มหาวิทยาลัยเทคโนโลยีราชมงคลธัญบุรี
ผู้ช่วยศาสตราจารย์ ดร. จักริ ศรินนทีศรี	มหาวิทยาลัยเทคโนโลยีราชมงคลธัญบุรี
ผู้ช่วยศาสตราจารย์ ดร. อำนวย เต็มราษฎร์	มหาวิทยาลัยเทคโนโลยีราชมงคลธัญบุรี
ผู้ช่วยศาสตราจารย์ ดร. อุกฤษณ์ ชำสุรัมย์	มหาวิทยาลัยเชียงใหม่
ผู้ช่วยศาสตราจารย์ ดร. สุพรศักดิ์ สุวรรณภักดี	จุฬาลงกรณ์มหาวิทยาลัย
ผู้ช่วยศาสตราจารย์ ดร. นรมงคล วัฒนศิริ	จุฬาลงกรณ์มหาวิทยาลัย
ผู้ช่วยศาสตราจารย์ ดร. นิธิชัย เกษมสันต์	จุฬาลงกรณ์มหาวิทยาลัย
ผู้ช่วยศาสตราจารย์ ดร. สวัสดิ์ ชินท่าไม้	มหาวิทยาลัยศรีนครินทร
ผู้ช่วยศาสตราจารย์ ดร. สักการะ งามนิทร	สถาบันเทคโนโลยีปทุมวัน
ผู้ช่วยศาสตราจารย์ ดร. วิเชียร ศรีนงศิริ	มหาวิทยาลัยเทคโนโลยีราชมงคลธัญบุรี
ผู้ช่วยศาสตราจารย์ ดร. สมเกียรติ พงษ์พานิช	มหาวิทยาลัยเทคโนโลยีพระจอมเกล้าพระนครเหนือ
ผู้ช่วยศาสตราจารย์ ดร. ประเสริฐ คุ้มทองชัย	มหาวิทยาลัยเทคโนโลยีพระจอมเกล้าสุรนารี
ผู้ช่วยศาสตราจารย์ ดร. ปวีณา สาคูรัมย์	มหาวิทยาลัยเทคโนโลยีราชมงคลสุรนารี
ผู้ช่วยศาสตราจารย์ ดร. กัดวิวัฒน์ ชิงพรศรี	มหาวิทยาลัยเทคโนโลยีราชมงคลสุรนารี
ผู้ช่วยศาสตราจารย์ ดร. กฤษเดช นวัตกรรม	มหาวิทยาลัยเทคโนโลยีราชมงคลธัญบุรี
ผู้ช่วยศาสตราจารย์ ดร. เจนศักดิ์ เฉลิมพระวิวัฒน์	มหาวิทยาลัยเทคโนโลยีราชมงคลรัตนโกสินทร์
ผู้ช่วยศาสตราจารย์ ดร. กิ่งศักดิ์ ศรีภักดิ์	มหาวิทยาลัยเทคโนโลยีราชมงคลรัตนโกสินทร์
ผู้ช่วยศาสตราจารย์ ดร. อรรถพล บัวแป้นรัมย์	มหาวิทยาลัยเทคโนโลยีราชมงคลรัตนโกสินทร์

### รายนามผู้ทรงคุณวุฒิพิจารณาบทความ

ผู้ช่วยศาสตราจารย์ ดร. ศุภรัตน์เชษฐ์ ฤกษ์ปรีดาพรค์ มหาวิทยาลัยมหามกุฏราชวิทยาลัย	
ผู้ช่วยศาสตราจารย์ ดร. ชามูชัย เศรษฐวงษ์	มหาวิทยาลัยเทคโนโลยีราชมงคลธัญบุรี
ผู้ช่วยศาสตราจารย์ ดร. อรุณ คำนำน	มหาวิทยาลัยเทคโนโลยีราชมงคลธัญบุรี
ผู้ช่วยศาสตราจารย์ ดร. วันไชย คำสน	มหาวิทยาลัยเทคโนโลยีราชมงคลธัญบุรี
ผู้ช่วยศาสตราจารย์ ดร. พานิช อินต๊ะ	มหาวิทยาลัยเทคโนโลยีราชมงคลธัญบุรี
ผู้ช่วยศาสตราจารย์ ดร. กฤษณา อึ้งขันธ์	มหาวิทยาลัยเทคโนโลยีราชมงคลธัญบุรี
ผู้ช่วยศาสตราจารย์ วีโรจน์ พิธาจนชัย	มหาวิทยาลัยเทคโนโลยีราชมงคลธัญบุรี
ผู้ช่วยศาสตราจารย์ อนุวัตร ปะระเสริญสิทธิ์	มหาวิทยาลัยสงขลานครินทร์
ผู้ช่วยศาสตราจารย์ สวัสดิ์ ศันตบุตร	มหาวิทยาลัยสงขลานครินทร์
ผู้ช่วยศาสตราจารย์ ธวัชชัย ทางวิเศษสุวรรณ	มหาวิทยาลัยสงขลานครินทร์
ผู้ช่วยศาสตราจารย์ ศิวินัย แคนณ	มหาวิทยาลัยเทคโนโลยีราชมงคลธัญบุรี
ผู้ช่วยศาสตราจารย์ ทน ฐานถาวรพงษ์	มหาวิทยาลัยเทคโนโลยีราชมงคลพระนคร
ผู้ช่วยศาสตราจารย์ พิชญ์ ศาภาธรรม	มหาวิทยาลัยเทคโนโลยีราชมงคลพระนคร
ผู้ช่วยศาสตราจารย์ ศุภกวีณมศรีโชติแก้ว	มหาวิทยาลัยเทคโนโลยีราชมงคลพระนคร
ผู้ช่วยศาสตราจารย์ ไกศล นิลโสภา	มหาวิทยาลัยเทคโนโลยีราชมงคลพระนคร
ผู้ช่วยศาสตราจารย์ กนกพันธ์ วัฒนวิเชียร	มหาวิทยาลัยเทคโนโลยีราชมงคลพระนคร
ผู้ช่วยศาสตราจารย์ สุราษฎร์ ทองกุลเกียรติ	มหาวิทยาลัยเทคโนโลยีราชมงคลสุวรรณภูมิ
ผู้ช่วยศาสตราจารย์ เฉลิมศักดิ์ นิมิตต์นิวัฒน์	มหาวิทยาลัยเทคโนโลยีราชมงคลสุวรรณภูมิ
ผู้ช่วยศาสตราจารย์ วาณีย์ ฤกษ์พันธ์	มหาวิทยาลัยเทคโนโลยีราชมงคลสุวรรณภูมิ
ผู้ช่วยศาสตราจารย์ ศนตพัฒน์ คำนิญญู	มหาวิทยาลัยเทคโนโลยีราชมงคลสุวรรณภูมิ
ผู้ช่วยศาสตราจารย์ วีโรจน์ เกษรวิเศษศรี	มหาวิทยาลัยเทคโนโลยีราชมงคลกรุงเทพ
ผู้ช่วยศาสตราจารย์ สันติพงศ์ อภิชาติกุล	มหาวิทยาลัยเทคโนโลยีราชมงคลอีสาน
ผู้ช่วยศาสตราจารย์ สุทธิวัฒน์ ตันสิทธิ์	มหาวิทยาลัยเทคโนโลยีราชมงคลอีสาน
ผู้ช่วยศาสตราจารย์ ประเสริฐ น้อยบุญมีน้อม	มหาวิทยาลัยเทคโนโลยีราชมงคลอีสาน
ผู้ช่วยศาสตราจารย์ วิษณุ ทองเล็ก	มหาวิทยาลัยเทคโนโลยีราชมงคลธัญบุรี
ผู้ช่วยศาสตราจารย์ นิพนธ์ เกษมโนกุล	มหาวิทยาลัยเทคโนโลยีราชมงคลธัญบุรี
ผู้ช่วยศาสตราจารย์ วิเศษฐ พิพย์ประเสริฐ	มหาวิทยาลัยเทคโนโลยีราชมงคลธัญบุรี
ผู้ช่วยศาสตราจารย์ กิตติกร ชันฉะถ์	มหาวิทยาลัยเทคโนโลยีราชมงคลศรีวิชัย
อาจารย์ ดร. กิ่งกิติ อินทวิเศษ	มหาวิทยาลัยเทคโนโลยีราชมงคลศรีวิชัย

### รายนามผู้ทรงคุณวุฒิพิจารณาบทความ

อาจารย์ ดร. วุฒิชัย วิชกุล	มหาวิทยาลัยสงขลานครินทร์
อาจารย์ ดร. สันติ บูราช	มหาวิทยาลัยเทคโนโลยีพระจอมเกล้าธนบุรี
อาจารย์ ดร. ธนภูมิพร พันธุ์คง	มหาวิทยาลัยเทคโนโลยีราชมงคลธัญบุรี
ผู้ช่วยศาสตราจารย์ ดร. สุรินทร์ นพเมฆาม	มหาวิทยาลัยเทคโนโลยีราชมงคลธัญบุรี
อาจารย์ ดร. ฉัตรชัย ศุภพิทักษ์สกุล	มหาวิทยาลัยเทคโนโลยีราชมงคลธัญบุรี
อาจารย์ ดร. พุดกษย นันทนาวงศา	มหาวิทยาลัยเทคโนโลยีราชมงคลธัญบุรี
อาจารย์ ดร. ศิริชัย เดชธัญญ์	มหาวิทยาลัยเทคโนโลยีราชมงคลธัญบุรี
อาจารย์ ดร. กิตติวัฒน์ นิเมกิตผล	มหาวิทยาลัยเทคโนโลยีราชมงคลธัญบุรี
อาจารย์ ดร. วิเชียร อุบลแก้ว	มหาวิทยาลัยเทคโนโลยีราชมงคลธัญบุรี
อาจารย์ ดร. แสนศักดิ์ สีสอน	สถาบันเทคโนโลยีปทุมวัน
อาจารย์ ดร. สุวีชา แก้วธาดา	มหาวิทยาลัยเทคโนโลยีราชมงคลอีสาน
อาจารย์ ดร. กฤษณา สมสืบ	มหาวิทยาลัยเทคโนโลยีราชมงคลอีสาน
อาจารย์ ดร.พรเทพ ปัญญาแก้ว	มหาวิทยาลัยเทคโนโลยีราชมงคลอีสาน
อาจารย์ ดร. พิชัย ธงุเปล่า	มหาวิทยาลัยเทคโนโลยีราชมงคลอีสาน
อาจารย์ ดร. นิธิโรจน์ พงษ์วรรณเจริญ	มหาวิทยาลัยเทคโนโลยีราชมงคลอีสาน
อาจารย์ ดร. แฉา พิศน	มหาวิทยาลัยเทคโนโลยีราชมงคลอีสาน
อาจารย์ ดร. นำพน พิธีสารวิมลบุญ	มหาวิทยาลัยเทคโนโลยีราชมงคลอีสาน
อาจารย์ ดร. สันหวงษ์ ขจรผล	มหาวิทยาลัยเทคโนโลยีราชมงคลอีสาน
อาจารย์ ดร. เสกสรร พงษ์สุวรรณ	มหาวิทยาลัยเทคโนโลยีราชมงคลอีสาน
ผู้ช่วยศาสตราจารย์ ดร. บัญญัติ นิโกะโชชิโมริ	มหาวิทยาลัยเทคโนโลยีราชมงคลพระนคร
อาจารย์ ดร. ณัฐพงศ์ พันธุ์บุญ	มหาวิทยาลัยเทคโนโลยีราชมงคลพระนคร
อาจารย์ ดร. พนา ศุภิสาทอง	มหาวิทยาลัยเทคโนโลยีราชมงคลพระนคร
อาจารย์ ดร. สุวณัฐ เศษพิง	มหาวิทยาลัยเทคโนโลยีราชมงคลพระนคร
อาจารย์ ดร. พลิชญ์ สุวรรณกิจคาร	มหาวิทยาลัยเทคโนโลยีราชมงคลพระนคร
อาจารย์ ดร. ชนกวรรณ วงศ์กัณฑ์พิชญ์	มหาวิทยาลัยเทคโนโลยีราชมงคลพระนคร
อาจารย์ ดร. อุมารินทร์ แสงพานิช	มหาวิทยาลัยเกษตรศาสตร์
อาจารย์ ดร. นาสตา คล้ายเรือง	มหาวิทยาลัยเกษตรศาสตร์
อาจารย์ ดร. ช่างณรงค์ นามมงคล	จุฬาลงกรณ์มหาวิทยาลัย
อาจารย์ ดร. อุทธนา กัมพะพจน	มหาวิทยาลัยเทคโนโลยีราชมงคลสุวรรณภูมิ



### รายนามผู้ทรงคุณวุฒิพิจารณาบทความ

อาจารย์ ดร. ศิริสุภา ไชยทองสุข

อาจารย์ ดร. สมพร ศรีวิมลพล

อาจารย์ ดร. ไชยบุรณ์ เกียรติสุขคนธา

อาจารย์ ดร. ปารัชยา อินธราจักษ์

อาจารย์ ดร. พิณิจ ศรีจร

อาจารย์ ดร. วรณีย์ วงศ์ไทรรัตน์

อาจารย์ ดร. มงคล กุศลนิมย

อาจารย์ ดร. ประสพโชค ให้อ่องคำ

อาจารย์ ดร. มนต์ สมุทสรเกษม

อาจารย์ ดร. ไกรฤกษ์ ทยชัย

อาจารย์ ดร. พิสิศ กิตติสุวรรณ

อาจารย์ ดร. ศุภกิต แก้วทวงศา

อาจารย์ ดร. จิตต์ดุจณี ทองปาน

อาจารย์ ดร. วิวัฒน์ พิภพ

อาจารย์ ดร. วิฑูรย์ พรมณี

อาจารย์ ดร. นพพร สิริประภัส

อาจารย์ ดร. ชานัญญา ราษฎร์พิบูลย์

อาจารย์ ดร. นันทกฤษณ์ ศรีชัยวี

อาจารย์ ดร. พงกฤษณ์ ขุนศรี

อาจารย์ ดร. เมธิณี เมธีพิลา

อาจารย์ ดร. บุพศิ ศิริเกษม

อาจารย์ ดร. ชวิญชัย น้อยวิธานุศาสตร์

อาจารย์ ดร. นิวิตร บุญญา

อาจารย์ ดร. ปารัชยา อินธราจักษ์

อาจารย์ ดร. สุบงกช โคโศภณย์

อาจารย์ ดร. ธนนท์ นำอิน

อาจารย์ รีก ฤกษ์พงศ์

อาจารย์ อภาพศ นภาวีระ

อาจารย์ จิระพงศ์ ศรีวิชัย

มหาวิทยาลัยเทคโนโลยีราชมงคลสุวรรณภูมิ

มหาวิทยาลัยเทคโนโลยีราชมงคลสุวรรณภูมิ

มหาวิทยาลัยเทคโนโลยีราชมงคลสุวรรณภูมิ

มหาวิทยาลัยเทคโนโลยีราชมงคลอีสาน

มหาวิทยาลัยเทคโนโลยีราชมงคลอีสาน

มหาวิทยาลัยเทคโนโลยีราชมงคลอีสาน

มหาวิทยาลัยเทคโนโลยีราชมงคลอีสาน

มหาวิทยาลัยเทคโนโลยีราชมงคลรัตนโกสินทร์

มหาวิทยาลัยเทคโนโลยีราชมงคลรัตนโกสินทร์

มหาวิทยาลัยเทคโนโลยีราชมงคลรัตนโกสินทร์

มหาวิทยาลัยเทคโนโลยีราชมงคลรัตนโกสินทร์

มหาวิทยาลัยเทคโนโลยีราชมงคลธัญบุรี

มหาวิทยาลัยเทคโนโลยีราชมงคลธัญบุรี

มหาวิทยาลัยเทคโนโลยีราชมงคลธัญบุรี

มหาวิทยาลัยเทคโนโลยีราชมงคลธัญบุรี

มหาวิทยาลัยเทคโนโลยีราชมงคลธัญบุรี

มหาวิทยาลัยเทคโนโลยีราชมงคลธัญบุรี

มหาวิทยาลัยเทคโนโลยีราชมงคลธัญบุรี

มหาวิทยาลัยเทคโนโลยีราชมงคลธัญบุรี

มหาวิทยาลัยเทคโนโลยีราชมงคลธัญบุรี

มหาวิทยาลัยเทคโนโลยีราชมงคลธัญบุรี

มหาวิทยาลัยเทคโนโลยีราชมงคลธัญบุรี

มหาวิทยาลัยเทคโนโลยีราชมงคลธัญบุรี

มหาวิทยาลัยเทคโนโลยีราชมงคลธัญบุรี

มหาวิทยาลัยเทคโนโลยีราชมงคลธัญบุรี

มหาวิทยาลัยเทคโนโลยีราชมงคลธัญบุรี

มหาวิทยาลัยเทคโนโลยีราชมงคลอีสาน

มหาวิทยาลัยเทคโนโลยีราชมงคลอีสาน

มหาวิทยาลัยเทคโนโลยีราชมงคลอีสาน

### รายนามผู้ทรงคุณวุฒิพิจารณาบทความ

อาจารย์ ภาณุมาศ แสนพร	มหาวิทยาลัยเทคโนโลยีราชมงคลธัญบุรี
อาจารย์ เฉลิมภา พรหมเกษ	มหาวิทยาลัยเทคโนโลยีราชมงคลธัญบุรี
อาจารย์ นศวินทร์ ศรีปัญญา	มหาวิทยาลัยเทคโนโลยีราชมงคลธัญบุรี
อาจารย์ สยาม ปะจุกทะศรี	มหาวิทยาลัยเทคโนโลยีราชมงคลธัญบุรี
อาจารย์ มีชัย มั่นใจ	มหาวิทยาลัยเทคโนโลยีราชมงคลธัญบุรี
อาจารย์ สุบุญ จุฑาทงคะวิระวิวัฒน์	มหาวิทยาลัยเทคโนโลยีราชมงคลธัญบุรี
อาจารย์ อูชา ศาสตร์มงคล	มหาวิทยาลัยเทคโนโลยีราชมงคลธัญบุรี
อาจารย์ ชอบบคุณ ไชยวงศ์	มหาวิทยาลัยเทคโนโลยีราชมงคลธัญบุรี
อาจารย์ สุวิไลยา ศิริศิลป์	มหาวิทยาลัยเทคโนโลยีราชมงคลธัญบุรี
อาจารย์ วาที รศ. กฤษณา บุญมีวิเศษ	มหาวิทยาลัยเทคโนโลยีราชมงคลธัญบุรี
อาจารย์ นววิทย์ กิจเจริญ	มหาวิทยาลัยเทคโนโลยีราชมงคลธัญบุรี
อาจารย์ ปริญญา กิตติสุทธิ์	มหาวิทยาลัยเทคโนโลยีราชมงคลธัญบุรี
อาจารย์ พิณจ ฉัตรจริง	มหาวิทยาลัยเทคโนโลยีราชมงคลธัญบุรี
อาจารย์ สมชาย เนียมสูงเนิน	มหาวิทยาลัยเทคโนโลยีราชมงคลธัญบุรี
อาจารย์ นิติพงษ์ ป่านกลาง	มหาวิทยาลัยเทคโนโลยีราชมงคลธัญบุรี
อาจารย์ พรธมศักดิ์ อภิมิตร	มหาวิทยาลัยเทคโนโลยีราชมงคลธัญบุรี
อาจารย์ ศักดิ์พงศ์ ฉัญฉุยแสง	มหาวิทยาลัยเทคโนโลยีราชมงคลธัญบุรี
อาจารย์ สมยศ สันติมาลี	มหาวิทยาลัยเทคโนโลยีราชมงคลธัญบุรี
อาจารย์ วุฒิชัย จันทราธรรม	มหาวิทยาลัยเทคโนโลยีราชมงคลธัญบุรี
อาจารย์ ตะวัน ชุนสาธา	มหาวิทยาลัยเทคโนโลยีราชมงคลธัญบุรี
อาจารย์ มนัส บุญเกียรติพงษ์	มหาวิทยาลัยเทคโนโลยีราชมงคลพระนคร
อาจารย์ สมเกียรติ หอมแก้ว	มหาวิทยาลัยเทคโนโลยีราชมงคลพระนคร
อาจารย์ สาคร วุฒิสัมพันธ์	มหาวิทยาลัยเทคโนโลยีราชมงคลพระนคร
อาจารย์ พูนศรี วรรณการ	มหาวิทยาลัยเทคโนโลยีราชมงคลพระนคร
อาจารย์ เวทีรินทร์ ชัยสุภานุเสวีรัฐ	มหาวิทยาลัยเทคโนโลยีราชมงคลพระนคร
อาจารย์ สุวิสิทธิ์ ปรัชญานันท์	มหาวิทยาลัยเทคโนโลยีราชมงคลพระนคร
อาจารย์ จตุรงค์ จตุรฉัตรชัยกุล	มหาวิทยาลัยเทคโนโลยีราชมงคลพระนคร
อาจารย์ ฉัตรศักดิ์ วีธีกรรม	มหาวิทยาลัยเทคโนโลยีราชมงคลพระนคร
อาจารย์ ธนาวัฒน์ ตันมณีประเสริฐ	มหาวิทยาลัยเทคโนโลยีราชมงคลพระนคร

### รายนามผู้ทรงคุณวุฒิพิจารณาบทความ

อาจารย์ อานนท์ สิงห์เสถียร

อาจารย์ อภิษฎา ทองวิเศษ

อาจารย์ ธนเกียรติ วัฒนวิฑิต

อาจารย์ นิธิมิตร นิลาศ

อาจารย์ พิทรนันทน์ ศรีธนาภุชยกุล

อาจารย์ มาลีสา ตั้งจิตเจษฎา

อาจารย์ อาณี สมวงศ์

อาจารย์ ปฏิวัติ บุญญา

อาจารย์ อานนท์ พวงชิงรัมย์

อาจารย์ วิสุทธิ์ ต้นศิริรุ่งเรือง

อาจารย์ สุวุฒิ ศุ่มทอง

อาจารย์ เสกชัย เนาวนิช

อาจารย์ ดร. วุฒิวัฒน์ คงรัตนประเสริฐ

อาจารย์ ชูศักดิ์ ชุ่มเกษมสันติสุข

อาจารย์ บุญช่วย เจริญผล

อาจารย์ เสกพล สมบูรณ์ศรี

อาจารย์ วินัย อนุชาวิฑิต

อาจารย์ ดร. อานนท์ บุณศิริวัฒน์

อาจารย์ ชามภูมิตี ฐาภาสันติสุข

อาจารย์ สุวัฒน์ ศิวเจริญวัฒน์

อาจารย์ สุภณ พงษ์สิงห์

อาจารย์ กิตติวุฒิ จินนบุบผา

อาจารย์ รุ่งเพชร คงนภกร

อาจารย์ มงคล คำนำรุ่งตระกูล

อาจารย์ สิงห์ชัย บุญปึงทศน์

อาจารย์ อธิศักดิ์ แซ่สงวิฑิต

อาจารย์ โสภกา แซ่เส็ง

อาจารย์ เจษฎาพร สถาบันทรัพย์

อาจารย์ ศิลาพล ฉ่ำเมียรกุล

มหาวิทยาลัยเทคโนโลยีราชมงคลพระนคร

มหาวิทยาลัยเทคโนโลยีราชมงคลพระนคร

มหาวิทยาลัยเทคโนโลยีราชมงคลพระนคร

มหาวิทยาลัยเทคโนโลยีราชมงคลพระนคร

มหาวิทยาลัยเทคโนโลยีราชมงคลสุวรรณภูมิ

มหาวิทยาลัยเทคโนโลยีราชมงคลสุวรรณภูมิ

มหาวิทยาลัยเทคโนโลยีราชมงคลสุวรรณภูมิ

มหาวิทยาลัยเทคโนโลยีราชมงคลสุวรรณภูมิ

มหาวิทยาลัยเทคโนโลยีราชมงคลสุวรรณภูมิ

มหาวิทยาลัยเทคโนโลยีราชมงคลสุวรรณภูมิ

มหาวิทยาลัยเทคโนโลยีราชมงคลสุวรรณภูมิ

มหาวิทยาลัยเทคโนโลยีราชมงคลสุวรรณภูมิ

มหาวิทยาลัยเทคโนโลยีราชมงคลสุรนันทน์

มหาวิทยาลัยเทคโนโลยีราชมงคลสุรนันทน์

มหาวิทยาลัยเทคโนโลยีราชมงคลสุรนันทน์

มหาวิทยาลัยเทคโนโลยีราชมงคลสุรนันทน์

มหาวิทยาลัยเทคโนโลยีราชมงคลสุรนันทน์

มหาวิทยาลัยเทคโนโลยีราชมงคลสุรนันทน์

มหาวิทยาลัยเทคโนโลยีราชมงคลสุรนันทน์

มหาวิทยาลัยเทคโนโลยีราชมงคลสุรนันทน์

มหาวิทยาลัยเทคโนโลยีราชมงคลสุรนันทน์

มหาวิทยาลัยเทคโนโลยีราชมงคลอีสาน

มหาวิทยาลัยเทคโนโลยีราชมงคลอีสาน

มหาวิทยาลัยเทคโนโลยีราชมงคลอีสาน

มหาวิทยาลัยเทคโนโลยีราชมงคลรัตนโกสินทร์

มหาวิทยาลัยเทคโนโลยีราชมงคลรัตนโกสินทร์

มหาวิทยาลัยเทคโนโลยีราชมงคลรัตนโกสินทร์

มหาวิทยาลัยเทคโนโลยีราชมงคลรัตนโกสินทร์

มหาวิทยาลัยเทคโนโลยีราชมงคลรัตนโกสินทร์

**บทความเป็น**

การประชุมวิชาการระดับชาติ/นานาชาติทางวิศวกรรมไฟฟ้าและเทคโนโลยีสารสนเทศ ครั้งที่ 1

Proceedings of the 1<sup>st</sup> Conference of Electrical Engineering Network of Rajabhat University of Technology 2018 (ENNET 2018)

**รายนามผู้ทรงคุณวุฒิพิจารณาบทความ**

อาจารย์ กาญจน์ธัญญา หานิชเจริญ	มหาวิทยาลัยเทคโนโลยีราชมงคลธัญบุรี
อาจารย์ ปกรณ์ ชูชีพราช	มหาวิทยาลัยเทคโนโลยีราชมงคลธัญบุรี
อาจารย์ ชามภูมุตต อนุชโยโกศล	มหาวิทยาลัยเทคโนโลยีราชมงคลธัญบุรี
อาจารย์ พิธาวิจน์ มีสุข	มหาวิทยาลัยเทคโนโลยีราชมงคลธัญบุรี
อาจารย์ สุจิตต์ อังสุข	มหาวิทยาลัยเทคโนโลยีราชมงคลธัญบุรี
อาจารย์ เมธาณัน หงษ์อนุวงศ์	มหาวิทยาลัยเทคโนโลยีราชมงคลธัญบุรี
อาจารย์ เตืองยศ นนทบุรี	มหาวิทยาลัยเทคโนโลยีราชมงคลธัญบุรี
อาจารย์ ไกรวิทย์ พิณภก	มหาวิทยาลัยเทคโนโลยีราชมงคลธัญบุรี
อาจารย์ พุทธิพงษ์ นฤคพิพัฒน์	มหาวิทยาลัยเทคโนโลยีราชมงคลกรุงเทพ
อาจารย์ ดร. สาธิตาธ ขจรเสียมคำ	มหาวิทยาลัยเทคโนโลยีราชมงคลธัญบุรี
อาจารย์ ไชยวัฒน์ บุญมี	มหาวิทยาลัยเทคโนโลยีราชมงคลสุวรรณภูมิ
ดร. สุวิทย์ อัจฉริยะเนตร	สถาบันวิจัยเทคโนโลยีแห่งประเทศไทย (วท)
ดร. อรรถ พงษ์พยอม	กรมไฟฟ้าส่วนภูมิภาค
ดร. ชูวงศ์ วัฒนศักดิ์อุปาส	มหาวิทยาลัยเทคโนโลยี
ดร. ชนัญญา จินสุทธี	มหาวิทยาลัยเทคโนโลยี
อาจารย์ มนต์ศิริ จินสุทธี	มหาวิทยาลัยเทคโนโลยี
อาจารย์ ปวีญ์ สว่างาม	มหาวิทยาลัยเทคโนโลยี
รองศาสตราจารย์ ดร. สุรวัฒน์ บุญมี	มหาวิทยาลัยเทคโนโลยีราชมงคลธัญบุรี (ผ่านตรงส่วน)





ಇದರಲ್ಲಿ ಮಹಿಳಾ ಸಂಘಟನೆಗಳಿಗೆ ಪ್ರತ್ಯೇಕ ಕೋಶಗಳನ್ನು ಸೇರಿಸಿ ಸಂವಿಧಾನದ ಅನುಚಿತ ಜಾತಿಗಳಿಗೆ ಸೀಟುಗಳನ್ನು ಕಲ್ಪಿಸಿ

The 7<sup>th</sup> Conference of Electrical Engineering Network of Rajaramanna University of Technology

ಕ್ರ. ಸಂ.	ಪಾಠ್ಯಕ್ರಮದ ವಿಷಯ	ಪಾಠ್ಯಕ್ರಮದ ವಿಷಯ	ಪಾಠ್ಯಕ್ರಮದ ವಿಷಯ	ಪಾಠ್ಯಕ್ರಮದ ವಿಷಯ
1040-1020 U	PHC	PHC	PHC	PHC
1040-1030 U	PHC	PHC	PHC	PHC
1040-1040 U	PHC	PHC	PHC	PHC
1040-1050 U	PHC	PHC	PHC	PHC
1040-1060 U	PHC	PHC	PHC	PHC
1040-1070 U	PHC	PHC	PHC	PHC
1040-1080 U	PHC	PHC	PHC	PHC
1040-1090 U	PHC	PHC	PHC	PHC
1040-1100 U	PHC	PHC	PHC	PHC
1100-1140 U	PHC	PHC	PHC	PHC
1100-1150 U	PHC	PHC	PHC	PHC
1100-1160 U	PHC	PHC	PHC	PHC
1100-1170 U	PHC	PHC	PHC	PHC
1100-1180 U	PHC	PHC	PHC	PHC
1100-1190 U	PHC	PHC	PHC	PHC
1100-1200 U	PHC	PHC	PHC	PHC
1200-1240 U	PHC	PHC	PHC	PHC
1200-1250 U	PHC	PHC	PHC	PHC
1200-1260 U	PHC	PHC	PHC	PHC
1200-1270 U	PHC	PHC	PHC	PHC
1200-1280 U	PHC	PHC	PHC	PHC
1200-1290 U	PHC	PHC	PHC	PHC
1200-1300 U	PHC	PHC	PHC	PHC
1300-1340 U	PHC	PHC	PHC	PHC
1300-1350 U	PHC	PHC	PHC	PHC
1300-1360 U	PHC	PHC	PHC	PHC
1300-1370 U	PHC	PHC	PHC	PHC
1300-1380 U	PHC	PHC	PHC	PHC
1300-1390 U	PHC	PHC	PHC	PHC
1300-1400 U	PHC	PHC	PHC	PHC
1400-1440 U	PHC	PHC	PHC	PHC
1400-1450 U	PHC	PHC	PHC	PHC
1400-1460 U	PHC	PHC	PHC	PHC
1400-1470 U	PHC	PHC	PHC	PHC
1400-1480 U	PHC	PHC	PHC	PHC
1400-1490 U	PHC	PHC	PHC	PHC
1400-1500 U	PHC	PHC	PHC	PHC



การนำเสนอผลงานวิชาการที่ประชุมวิชาการระดับนานาชาติ มหาวิทยาลัยราชภัฏรำไพพรรณี ประจำปี ๒๕๕๘ ครั้งที่ ๗

The 7<sup>th</sup> Conference of Electrical Engineering Network of Rajamangala University of Technology

หัวข้อ	วิทยากร	สถานที่	เอกสาร	อุปกรณ์
Session 1	Dr. Ch. Pongkajorn	ONE	Dr. C. Pongkajorn	Tablet 2
0040-1010/14	Dr. Ch. Pongkajorn	ONE	Dr. C. Pongkajorn	Tablet 2
0041-1011/14	Dr. Ch. Pongkajorn	ONE	Dr. C. Pongkajorn	Tablet 2
0042-1012/14	Dr. Ch. Pongkajorn	ONE	Dr. C. Pongkajorn	Tablet 2
0043-1013/14	Dr. Ch. Pongkajorn	ONE	Dr. C. Pongkajorn	Tablet 2
0044-1014/14	Dr. Ch. Pongkajorn	ONE	Dr. C. Pongkajorn	Tablet 2
0045-1015/14	Dr. Ch. Pongkajorn	ONE	Dr. C. Pongkajorn	Tablet 2
0046-1016/14	Dr. Ch. Pongkajorn	ONE	Dr. C. Pongkajorn	Tablet 2
0047-1017/14	Dr. Ch. Pongkajorn	ONE	Dr. C. Pongkajorn	Tablet 2
0048-1018/14	Dr. Ch. Pongkajorn	ONE	Dr. C. Pongkajorn	Tablet 2
0049-1019/14	Dr. Ch. Pongkajorn	ONE	Dr. C. Pongkajorn	Tablet 2
0050-1020/14	Dr. Ch. Pongkajorn	ONE	Dr. C. Pongkajorn	Tablet 2
0051-1021/14	Dr. Ch. Pongkajorn	ONE	Dr. C. Pongkajorn	Tablet 2
0052-1022/14	Dr. Ch. Pongkajorn	ONE	Dr. C. Pongkajorn	Tablet 2
0053-1023/14	Dr. Ch. Pongkajorn	ONE	Dr. C. Pongkajorn	Tablet 2
0054-1024/14	Dr. Ch. Pongkajorn	ONE	Dr. C. Pongkajorn	Tablet 2
0055-1025/14	Dr. Ch. Pongkajorn	ONE	Dr. C. Pongkajorn	Tablet 2
0056-1026/14	Dr. Ch. Pongkajorn	ONE	Dr. C. Pongkajorn	Tablet 2
0057-1027/14	Dr. Ch. Pongkajorn	ONE	Dr. C. Pongkajorn	Tablet 2
0058-1028/14	Dr. Ch. Pongkajorn	ONE	Dr. C. Pongkajorn	Tablet 2
0059-1029/14	Dr. Ch. Pongkajorn	ONE	Dr. C. Pongkajorn	Tablet 2
0060-1030/14	Dr. Ch. Pongkajorn	ONE	Dr. C. Pongkajorn	Tablet 2
0061-1031/14	Dr. Ch. Pongkajorn	ONE	Dr. C. Pongkajorn	Tablet 2
0062-1032/14	Dr. Ch. Pongkajorn	ONE	Dr. C. Pongkajorn	Tablet 2
0063-1033/14	Dr. Ch. Pongkajorn	ONE	Dr. C. Pongkajorn	Tablet 2
0064-1034/14	Dr. Ch. Pongkajorn	ONE	Dr. C. Pongkajorn	Tablet 2
0065-1035/14	Dr. Ch. Pongkajorn	ONE	Dr. C. Pongkajorn	Tablet 2
0066-1036/14	Dr. Ch. Pongkajorn	ONE	Dr. C. Pongkajorn	Tablet 2
0067-1037/14	Dr. Ch. Pongkajorn	ONE	Dr. C. Pongkajorn	Tablet 2
0068-1038/14	Dr. Ch. Pongkajorn	ONE	Dr. C. Pongkajorn	Tablet 2
0069-1039/14	Dr. Ch. Pongkajorn	ONE	Dr. C. Pongkajorn	Tablet 2
0070-1040/14	Dr. Ch. Pongkajorn	ONE	Dr. C. Pongkajorn	Tablet 2
0071-1041/14	Dr. Ch. Pongkajorn	ONE	Dr. C. Pongkajorn	Tablet 2
0072-1042/14	Dr. Ch. Pongkajorn	ONE	Dr. C. Pongkajorn	Tablet 2
0073-1043/14	Dr. Ch. Pongkajorn	ONE	Dr. C. Pongkajorn	Tablet 2
0074-1044/14	Dr. Ch. Pongkajorn	ONE	Dr. C. Pongkajorn	Tablet 2
0075-1045/14	Dr. Ch. Pongkajorn	ONE	Dr. C. Pongkajorn	Tablet 2
0076-1046/14	Dr. Ch. Pongkajorn	ONE	Dr. C. Pongkajorn	Tablet 2
0077-1047/14	Dr. Ch. Pongkajorn	ONE	Dr. C. Pongkajorn	Tablet 2
0078-1048/14	Dr. Ch. Pongkajorn	ONE	Dr. C. Pongkajorn	Tablet 2
0079-1049/14	Dr. Ch. Pongkajorn	ONE	Dr. C. Pongkajorn	Tablet 2
0080-1050/14	Dr. Ch. Pongkajorn	ONE	Dr. C. Pongkajorn	Tablet 2
0081-1051/14	Dr. Ch. Pongkajorn	ONE	Dr. C. Pongkajorn	Tablet 2
0082-1052/14	Dr. Ch. Pongkajorn	ONE	Dr. C. Pongkajorn	Tablet 2
0083-1053/14	Dr. Ch. Pongkajorn	ONE	Dr. C. Pongkajorn	Tablet 2
0084-1054/14	Dr. Ch. Pongkajorn	ONE	Dr. C. Pongkajorn	Tablet 2
0085-1055/14	Dr. Ch. Pongkajorn	ONE	Dr. C. Pongkajorn	Tablet 2
0086-1056/14	Dr. Ch. Pongkajorn	ONE	Dr. C. Pongkajorn	Tablet 2
0087-1057/14	Dr. Ch. Pongkajorn	ONE	Dr. C. Pongkajorn	Tablet 2
0088-1058/14	Dr. Ch. Pongkajorn	ONE	Dr. C. Pongkajorn	Tablet 2
0089-1059/14	Dr. Ch. Pongkajorn	ONE	Dr. C. Pongkajorn	Tablet 2
0090-1060/14	Dr. Ch. Pongkajorn	ONE	Dr. C. Pongkajorn	Tablet 2
0091-1061/14	Dr. Ch. Pongkajorn	ONE	Dr. C. Pongkajorn	Tablet 2
0092-1062/14	Dr. Ch. Pongkajorn	ONE	Dr. C. Pongkajorn	Tablet 2
0093-1063/14	Dr. Ch. Pongkajorn	ONE	Dr. C. Pongkajorn	Tablet 2
0094-1064/14	Dr. Ch. Pongkajorn	ONE	Dr. C. Pongkajorn	Tablet 2
0095-1065/14	Dr. Ch. Pongkajorn	ONE	Dr. C. Pongkajorn	Tablet 2
0096-1066/14	Dr. Ch. Pongkajorn	ONE	Dr. C. Pongkajorn	Tablet 2
0097-1067/14	Dr. Ch. Pongkajorn	ONE	Dr. C. Pongkajorn	Tablet 2
0098-1068/14	Dr. Ch. Pongkajorn	ONE	Dr. C. Pongkajorn	Tablet 2
0099-1069/14	Dr. Ch. Pongkajorn	ONE	Dr. C. Pongkajorn	Tablet 2
0100-1070/14	Dr. Ch. Pongkajorn	ONE	Dr. C. Pongkajorn	Tablet 2

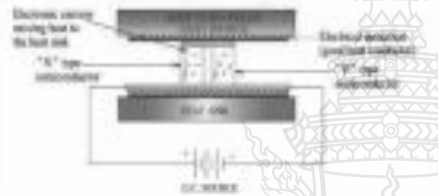
มหาวิทยาลัยราชภัฏจันทบุรีและการจัดการพลังงาน (ES)		หน้า
E508	ซิมูเลชันกังหันลม // Wind Turbine Simulator สุชาติ ธรรมสาร, สุจิตรา บุญชู, สุทธิศักดิ์ ธรรมสวัสดิ์, สุวิภา ใสสาร, สุชน ด้วง, สันติศักดิ์ ธรรมสาร และ วิไล ใสสาร ภาควิชาวิศวกรรมไฟฟ้า คณะวิศวกรรมศาสตร์ มหาวิทยาลัยเทคโนโลยีราชมงคลธัญบุรี ภาควิชาวิศวกรรมไฟฟ้า คณะวิศวกรรมศาสตร์ มหาวิทยาลัยเทคโนโลยีราชมงคลธัญบุรี	353
E509	การปรับปรุงประสิทธิภาพการไหลของพลังงานในอาคาร สำนักงาน Building Energy Code (กรณีศึกษา : อาคารสำนักงาน) // A building envelope improvement for increasing energy efficiency in building by Building Energy Code program (Case study : Existing office building) ณัฐ วัฒนศิริ และ นริศ เตชะทรง ภาควิชาวิศวกรรมเครื่องกล ภาควิชาวิศวกรรมเครื่องกล	356
E510	การวิเคราะห์ผลกระทบที่มีต่อการไหลของกระแสไฟฟ้า // Voltage Analyzed for Influencing the Load สุทธิศักดิ์ ธรรมสวัสดิ์ และ สุจิตรา บุญชู ภาควิชาวิศวกรรมไฟฟ้า คณะวิศวกรรมศาสตร์	360
E511	การประยุกต์ใช้เครื่องขับมอเตอร์ความเร็วแปรผันเพื่อประหยัดพลังงานในระบบส่งกำลังไฟฟ้า // Variable Speed Drive for energy saving in oil pump วิไล ใสสาร และ สุจิตรา บุญชู ภาควิชาวิศวกรรมไฟฟ้า คณะวิศวกรรมศาสตร์	364
E512	ชุดชาร์จแบตเตอรี่ชนิดที่ทำงานร่วมกับระบบปรับอากาศแบบแยกส่วนด้วยเทอร์โมอิเล็กทริก // Battery Charger Unit from waste heat of Split Type Air Conditioning System by Thermoelectric ณัฐ วัฒนศิริ และ สุทธิศักดิ์ ธรรมสวัสดิ์ ภาควิชาวิศวกรรมเครื่องกล	368
E513	การวิเคราะห์และออกแบบการไหลของกระแสไฟฟ้าในระบบผลิตไฟฟ้า // Analysis and Implementation of Electricity generation by Thermoelectric Module สุจิตรา บุญชู และ สุทธิศักดิ์ ธรรมสวัสดิ์ ภาควิชาวิศวกรรมไฟฟ้า คณะวิศวกรรมศาสตร์	372
E514	การประยุกต์ใช้สมการเชิงอนุพันธ์เพื่อพยากรณ์การแผ่รังสีดวงอาทิตย์ // Levenberg-Marquardt Algorithm // Forecasting of Solar Radiation Using Application of ANN by Levenberg-Marquardt Algorithm สุทธิศักดิ์ ธรรมสวัสดิ์ และ สุจิตรา บุญชู ภาควิชาวิศวกรรมไฟฟ้า คณะวิศวกรรมศาสตร์	376
E519	การวิเคราะห์และออกแบบชุดชาร์จแบตเตอรี่สำหรับระบบผลิตพลังงานจากเซลล์แสงอาทิตย์ในระบบผลิตไฟฟ้าอัจฉริยะ // Analysis and Design of Smart Charger Unit for PV Battery สุจิตรา บุญชู, สันติศักดิ์ ธรรมสวัสดิ์ และ สุทธิศักดิ์ ธรรมสวัสดิ์ ภาควิชาวิศวกรรมไฟฟ้า คณะวิศวกรรมศาสตร์	380
E520	Performance Study of a Novel Liquid Metal Anode Solid Oxide Fuel Cell Ferdinand Kasper Rajabhat's Institute of Technology-Ludwigshafen	384



ด้วยพลังงานที่น้อยคือ Low Voltage Base โดยทั่วไปแล้วคุณสมบัติของโลหะที่นำมาใช้เป็นตัวนำไฟฟ้าที่ดีในวงจรอิเล็กทรอนิกส์นั้นจะมีความต้านทานไฟฟ้าที่ต่ำและค่าสัมประสิทธิ์อุณหภูมิของความต้านทานไฟฟ้าที่ต่ำหรือเป็นลบ ซึ่งหมายความว่าเมื่ออุณหภูมิของตัวนำไฟฟ้าเพิ่มขึ้น ความต้านทานไฟฟ้าจะลดลงหรือเพิ่มขึ้นเพียงเล็กน้อยเท่านั้น โดยทั่วไปแล้วค่าสัมประสิทธิ์อุณหภูมิของความต้านทานไฟฟ้าของโลหะจะอยู่ในช่วงประมาณ 0.003 ถึง 0.005 ต่อองศาเซลเซียส ซึ่งหมายความว่าเมื่ออุณหภูมิของโลหะเพิ่มขึ้น 1 องศาเซลเซียส ความต้านทานไฟฟ้าจะเพิ่มขึ้นหรือลดลงเพียง 0.3% ถึง 0.5% เท่านั้น

2. ชนิดของสารกึ่งตัวนำ

2.1 โครงสร้างและคุณสมบัติของสารกึ่งตัวนำชนิด n



รูปที่ 2 โครงสร้างของสารกึ่งตัวนำชนิด n

เมื่อใส่โด๊ปสารกึ่งตัวนำชนิด n ไปแล้วจะพบว่ามีอิเล็กตรอนอิสระเคลื่อนที่ด้วยความเร็วเฉลี่ยประมาณ  $10^6$  เมตรต่อวินาที ซึ่งเร็วกว่าอิเล็กตรอนเคลื่อนที่ในตัวนำธรรมดาประมาณ  $10^3$  เท่า โดยที่ค่าเฉลี่ยของความเร็วเคลื่อนที่ของอิเล็กตรอนอิสระในตัวนำธรรมดาจะอยู่ที่ประมาณ  $10^3$  เมตรต่อวินาที

$$v = q(V/J) \tag{20}$$

$$J = \frac{q(T_h - T_c)}{R + R_c} \tag{21}$$

$$Q_h = \alpha IT_h + KA\Delta T - 0.5I^2R \tag{22}$$

$$Q_c = \alpha IT_c + KA\Delta T - 0.5I^2R \tag{23}$$

$$\eta = \frac{P}{Q_h} = \frac{Q_c - Q_h}{Q_h} = \frac{\alpha IT_c + KA\Delta T - 0.5I^2R}{\alpha IT_h + KA\Delta T - 0.5I^2R} \tag{24}$$

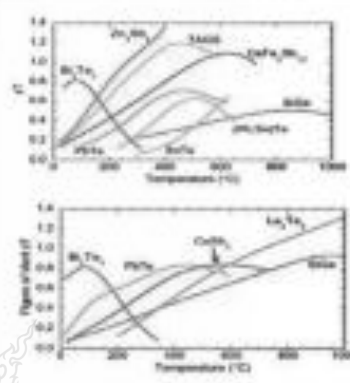
โดยที่ค่าเฉลี่ยของความเร็วเคลื่อนที่ของอิเล็กตรอนอิสระในตัวนำธรรมดาจะอยู่ที่ประมาณ  $10^3$  เมตรต่อวินาที

$$\eta_{max} = \frac{T_h - T_c}{T_h} \frac{M-1}{M+T_c/T_h} \tag{25}$$

$$M = \sqrt{1 + 3T_{ser}} \tag{26}$$

เมื่อ  $\eta$  - ประสิทธิภาพ,  $T_h$  - อุณหภูมิที่อุณหภูมิสูง,  $T_c$  - อุณหภูมิที่อุณหภูมิต่ำ,  $R$  - ค่าต้านทานภายใน,  $R_c$  - ค่าต้านทานที่สัมผัสกับขั้วต่อ,  $K$  - ค่าสัมประสิทธิ์การนำความร้อน,  $A$  - พื้นที่หน้าตัด,  $I$  - กระแสไฟฟ้า

ค่าการนำความร้อนที่อุณหภูมิสูงคือ  $(W/m \cdot K)$  - ค่าการนำไฟฟ้า คือ  $\alpha$ ,  $\alpha_p$  - ค่าสัมประสิทธิ์อุณหภูมิของความต้านทาน,  $K$  - ค่าสัมประสิทธิ์การนำความร้อน,  $A$  - ค่าพื้นที่หน้าตัด,  $I$  - ค่ากระแสไฟฟ้า,  $R$  - ค่าความต้านทานภายใน,  $R_c$  - ค่าความต้านทานที่สัมผัสกับขั้วต่อ,  $M$  - ค่าสัมประสิทธิ์การนำความร้อนที่อุณหภูมิสูง,  $T_h$  - อุณหภูมิที่อุณหภูมิสูง,  $T_c$  - อุณหภูมิที่อุณหภูมิต่ำ



รูปที่ 3 ความสัมพันธ์ระหว่างอุณหภูมิของสารกึ่งตัวนำชนิด n กับค่าสัมประสิทธิ์การนำความร้อน

2.2 การเคลื่อนที่ของอิเล็กตรอนอิสระในตัวนำธรรมดา

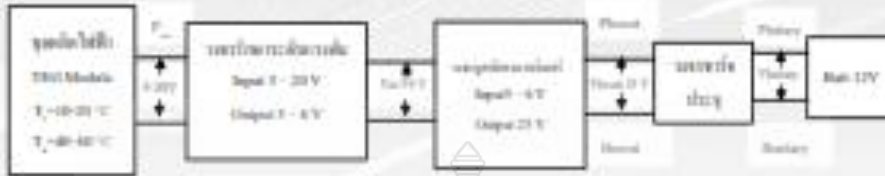
การเคลื่อนที่ของอิเล็กตรอนอิสระในตัวนำธรรมดาจะเกิดขึ้นเมื่อใส่โด๊ปสารกึ่งตัวนำชนิด n ไปแล้วจะพบว่ามีอิเล็กตรอนอิสระเคลื่อนที่ด้วยความเร็วเฉลี่ยประมาณ  $10^6$  เมตรต่อวินาที ซึ่งเร็วกว่าอิเล็กตรอนเคลื่อนที่ในตัวนำธรรมดาประมาณ  $10^3$  เท่า โดยที่ค่าเฉลี่ยของความเร็วเคลื่อนที่ของอิเล็กตรอนอิสระในตัวนำธรรมดาจะอยู่ที่ประมาณ  $10^3$  เมตรต่อวินาที

โดยที่ค่าเฉลี่ยของความเร็วเคลื่อนที่ของอิเล็กตรอนอิสระในตัวนำธรรมดาจะอยู่ที่ประมาณ  $10^3$  เมตรต่อวินาที

**ภาพที่ 7B**

การประยุกต์ใช้เทคโนโลยีการแปลงพลังงานไฟฟ้าในระบบ

Proceedings of the 7<sup>th</sup> Conference of Electrical Engineering Network of Rajabhat University of Technology 2018 (EENET 2018)



รูปที่ 7 ชุดแปลงไฟฟ้าในระบบแปลงพลังงาน

**2.3 การออกแบบและติดตั้งอุปกรณ์**



การประยุกต์ใช้เทคโนโลยีการแปลงพลังงานในระบบ

รูปที่ 8 อุปกรณ์แปลง DC-DC Converter (D Load Voltage Regulator) ขนาดกำลัง 10 W และ 100 W

การประยุกต์ใช้เทคโนโลยีการแปลงพลังงานในระบบ

รูปที่ 9 อุปกรณ์แปลง DC-DC Converter (D Load Voltage Regulator) ขนาดกำลัง 10 W และ 100 W

การประยุกต์ใช้เทคโนโลยีการแปลงพลังงานในระบบ

รูปที่ 10 อุปกรณ์แปลง DC-DC Converter (D Load Voltage Regulator) ขนาดกำลัง 10 W และ 100 W

การประยุกต์ใช้เทคโนโลยีการแปลงพลังงานในระบบ



รูปที่ 11 อุปกรณ์แปลง DC-DC Converter (D Load Voltage Regulator) ขนาดกำลัง 10 W และ 100 W

การประยุกต์ใช้เทคโนโลยีการแปลงพลังงานในระบบ

**2.4 การออกแบบชุดอุปกรณ์ไฟฟ้าในระบบแปลงพลังงาน**

การประยุกต์ใช้เทคโนโลยีการแปลงพลังงานในระบบ

รูปที่ 12 อุปกรณ์แปลง DC-DC Converter (D Load Voltage Regulator) ขนาดกำลัง 10 W และ 100 W

การประยุกต์ใช้เทคโนโลยีการแปลงพลังงานในระบบ

รูปที่ 13 อุปกรณ์แปลง DC-DC Converter (D Load Voltage Regulator) ขนาดกำลัง 10 W และ 100 W

การประยุกต์ใช้เทคโนโลยีการแปลงพลังงานในระบบ

รูปที่ 14 อุปกรณ์แปลง DC-DC Converter (D Load Voltage Regulator) ขนาดกำลัง 10 W และ 100 W

การประยุกต์ใช้เทคโนโลยีการแปลงพลังงานในระบบ

รูปที่ 15 อุปกรณ์แปลง DC-DC Converter (D Load Voltage Regulator) ขนาดกำลัง 10 W และ 100 W

การประยุกต์ใช้เทคโนโลยีการแปลงพลังงานในระบบ

รูปที่ 16 อุปกรณ์แปลง DC-DC Converter (D Load Voltage Regulator) ขนาดกำลัง 10 W และ 100 W

**2.5 การติดตั้งอุปกรณ์ไฟฟ้าในระบบแปลงพลังงาน**

การประยุกต์ใช้เทคโนโลยีการแปลงพลังงานในระบบ

รูปที่ 17 อุปกรณ์แปลง DC-DC Converter (D Load Voltage Regulator) ขนาดกำลัง 10 W และ 100 W

การประยุกต์ใช้เทคโนโลยีการแปลงพลังงานในระบบ



## ประวัติผู้เขียน



ชื่อ - นามสกุล	นายคณิต พิมพ์คำไหล
วัน เดือน ปีเกิด	4 กุมภาพันธ์ 2520
ที่อยู่	185 หมู่ 1 บ้านแดง ต.บ้านแดง อ.พิบูลย์รักษ์ จ.อุดรธานี
การศึกษา	สำเร็จการศึกษาระดับวิศวกรรมศาสตรบัณฑิต สาขาวิศวกรรมไฟฟ้า จากมหาวิทยาลัยศรีปทุม สำเร็จการศึกษาระดับครุศาสตรมหาบัณฑิต สาขาวิศวกรรมไฟฟ้า จากมหาวิทยาลัยเทคโนโลยีพระจอมเกล้าธนบุรี
ประสบการณ์การทำงาน	พ.ศ. 2544 – 2546 บริษัท มาจินอลพรีอเพอร์ตีส์ ตำแหน่ง หัวหน้าช่าง พ.ศ. 2546 – 2556 วิทยาลัยเทคนิคหลวงพ่อกุณ ประสิษฐุโ ต.ด่านขุนทด อ.ด่านขุนทด จ.นครราชสีมา ตำแหน่ง ครู ค.ศ.1 แผนกวิชาช่างไฟฟ้ากำลัง พ.ศ. 2555 – ปัจจุบัน วิทยาลัยเทคนิคหลวงพ่อกุณ ประสิษฐุโ ต.ด่านขุนทด อ.ด่านขุนทด จ.นครราชสีมา ตำแหน่ง ครู ค.ศ.2 แผนกวิชาช่างไฟฟ้ากำลัง

